



“十二五”普通高等教育本科国家级规划教材



卫生部“十二五”规划教材
全国高等医药教材建设研究会“十二五”规划教材

全国高等学校教材

供基础、临床、预防、口腔医学类专业用

医学统计学

Medical Statistics

第**6**版

主 审 马斌荣

主 编 李 康 贺 佳

副主编 杨士保 马 骏



人民卫生出版社
PEOPLE'S MEDICAL PUBLISHING HOUSE





“十二五”普通高等教育本科国家级规划教材

卫生部“十二五”规划教材

全国高等医药教材建设研究会“十二五”规划教材

全国高等学校教材

供基础、临床、预防、口腔医学类专业用

医学统计学

Medical Statistics

第6版

主 审 马斌荣

主 编 李 康 贺 佳

副主编 杨士保 马 骏

编 者 (按姓氏笔画排序)

马 骏 (天津医科大学)

杨士保 (中南大学)

尹 平 (华中科技大学)

沈其君 (宁波大学)

方 亚 (厦门大学)

易 东 (第三军医大学)

刘 艳 (哈尔滨医科大学)

贺 佳 (第二军医大学)

刘启贵 (大连医科大学)

钟晓妮 (重庆医科大学)

吴 骋 (第二军医大学)

钱 聪 (中国医科大学)

张丕德 (广东药学院)

梁维君 (湖南师范大学)

李 康 (哈尔滨医科大学)

学术秘书 侯 艳 (哈尔滨医科大学)

007045

人民卫生出版社

图书在版编目(CIP)数据

医学统计学 / 李康等主编. —6 版. —北京: 人民卫生出版社, 2013

ISBN 978-7-117-17078-9

I. ①医… II. ①李… III. ①医学统计—统计学—高等学校—教材 IV. ①R195.1

中国版本图书馆 CIP 数据核字(2013)第 056964 号

人卫社官网	www.pmph.com	出版物查询, 在线购书
人卫医学网	www.ipmph.com	医学考试辅导, 医学数据库服务, 医学教育资源, 大众健康资讯

版权所有, 侵权必究!

医学统计学

第 6 版

主 编: 李 康 贺 佳

出版发行: 人民卫生出版社(中继线 010-59780011)

地 址: 北京市朝阳区潘家园南里 19 号

邮 编: 100021

E - mail: pmph@pmph.com

购书热线: 010-59787592 010-59787584 010-65264830

印 刷: 北京铭成印刷有限公司

经 销: 新华书店

开 本: 850×1168 1/16 印张: 16

字 数: 440 千字

版 次: 1990 年 6 月第 1 版 2013 年 3 月第 6 版

2013 年 3 月第 6 版第 1 次印刷(总第 38 次印刷)

标准书号: ISBN 978-7-117-17078-9/R·17079

定 价: 42.00 元

打击盗版举报电话: 010-59787491 E-mail: WQ@pmph.com

(凡属印装质量问题请与本社市场营销中心联系退换)



全国高等学校五年制本科临床医学专业 第八轮

规划教材修订说明

全国高等学校五年制本科临床医学专业卫生部规划教材自1978年第一轮出版至今已有35年的历史。几十年来,在教育部、卫生部的领导和支持下,以裘法祖、吴阶平、吴孟超、陈灏珠等院士为代表的我国几代德高望重、有丰富的临床和教学经验、有高度责任感和敬业精神的国内外著名院士、专家、医学家、教育家参与了本套教材的创建和每一轮教材的修订工作,使我国的五年制本科临床医学教材从无到有,从少到多,从多到精,不断丰富、完善与创新,形成了课程门类齐全、学科系统优化、内容衔接合理、结构体系科学的由规划教材、配套教材、配套光盘、数字出版、网络增值服务组成的立体化教材格局。这套教材为我国千百万医学生的培养和成才提供了根本保障,为我国培养了一代又一代高水平、高素质的合格医学人才,为推动我国医疗卫生事业的改革和发展做出了历史性巨大贡献,并通过教材的创新建设和高质量发展,推动了我国高等医学本科教育的改革和发展,促进了我国医药学相关学科或领域的教材建设和教育发展,走出了一条适合中国医药学教育和卫生事业发展实际的具有中国特色医药学教材建设和发展的道路,创建了中国特色医药学教育教材建设模式。老一辈医学教育家和科学家们亲切地称这套教材是中国医学教育的“干细胞”教材。

本套第八轮教材修订启动之时,正是全球医学教育百年反思之际,更是我国医疗卫生体制改革和医学教育改革全方位深入推进之时,教育部、卫生部共同召开了全国医学教育改革工作会议,启动了“5+3”为主体的临床医学教育综合改革,形成了以医改推动教改,教改服务医改的历史发展格局。人民卫生出版社和全国高等医药教材建设研究会紧紧抓住医学教育综合改革的历史发展机遇期,以全国高等学校五年制本科临床医学专业第八轮规划教材全面启动为契机,以规划教材创新建设,全面推进国家级规划教材建设工作,服务于医改和教改。

第八轮教材的修订原则是积极贯彻落实教育部、卫生部关于实施临床医学教育综合改革的意见,努力优化人才培养结构,坚持以需求为导向,构建发展以“5+3”模式为主体的临床医学人才培养体系;改革课程体系、教学内容、教学方法和评价考核办法;将医德教育贯穿于医学教育的全过程,强化临床实践教学,采取多种措施,切实落实好“早临床、多临床、反复临床”的要求,提高医学生的临床实践能力。

在全国医学教育综合改革精神鼓舞下和老一辈医学家奉献精神的感召下,全国一大批临床教学、科研、医疗第一线的中青年专家、学者、教授继承和发扬了老一辈的优秀传统,以严谨治学的科学态度和无私奉献的敬业精神,积极参与第八轮教材的修订和建设,紧密结合五年制临床医学专业培养目标、高等医学教育教学改革的需要和医药卫生行业人才的需求,借鉴国内外医学教育经验,不断创新编写思路和编写模式,不断完善表现形式和内容,不断提升编写水平和质量,已逐渐将每一部教材打造成了学科精品教材,使第八轮全套教材更加成熟、完善和科学,从而构建了适合“5+3”为主体的医学教育综合改革需要和卓越临床医师培养需求的教材体系,推动了适合中国国情的五年制本科临床医学专业课程体系的建立。



本次修订和编写特点如下:

1. 教材编写修订工作是在教育部、卫生部的领导和支持下,按照“5+3”为主体的临床医学教育综合改革的时间表、路线图和施工图进行顶层设计,由全国高等医药教材建设研究会规划,全国临床医学专业教材评审委员会审定,院士、专家把关,全国各医学院校知名专家、教授编写,人民卫生出版社高质量精品出版。

2. 教材编写修订工作是根据教育部培养目标、卫生部行业要求、社会用人需求,在全国进行科学调研的基础上,借鉴国内外医学人才培养模式和教材建设经验,充分研究论证本专业人才素质要求、学科体系构成、课程体系设计和教材体系规划后,科学进行的。

3. 在全国广泛、深入调研的基础上,总结和汲取了前七轮教材的编写经验和成果,尤其是对一些不足之处进行了大量的修改和完善,并在充分体现科学性、权威性的基础上,更考虑其全国范围的代表性和适用性。

4. 教材编写修订工作着力进行课程体系的优化改革和教材体系的建设创新——科学整合课程、淡化学科意识、实现整体优化、注重系统科学、保证点面结合。继续坚持“三基、五性、三特定”的教材编写原则,以确保教材质量。

5. 为配合教学改革的需要、减轻学生负担和体现“干细胞”教材特色,全套教材精炼文字、压缩字数,注重提高内容质量,并根据学科需要,采用大16开国际开本、双色或彩色印刷,以提高印装质量和可读性。同时,在每一页都增加了留白,便于学生记录和标记书中重点知识。

6. 为满足教学资源的多样化需求,实现教材系列化、立体化和数字化建设,大部分教材配有配套教材和数字出版的教学资料,并实现了全套教材的网络增值服务,方便老师教学和学生自主学习,实现了数字化资源共享。

第八轮教材共有53种,其中新增2种,即《医患沟通》和《肿瘤学概论》;更名1种,即《急诊医学》更名为《急诊与灾难医学》;合并2种,即《生物化学》与《医学分子生物学》合并为《生物化学与分子生物学》。全套教材均为“十二五”普通高等教育本科国家级规划教材(除《肿瘤学概论》外)和卫生部“十二五”规划教材,于2013年6月全部出版发行。

本套教材是在我国医学教育综合改革,构建“5+3”为主体的临床医学人才培养体系背景下组织编写的,希望全国各广大院校在使用过程中能够多提供宝贵意见,反馈使用信息,以逐步修改和完善教材内容,提高教材质量,为第九轮教材的修订工作建言献策。

全国高等学校五年制本科临床医学专业 第八轮

教材目录

1.	医用高等数学	第 6 版	主编 张选群	副主编 马建忠 吕丹 刘春扬
2.	医学物理学	第 8 版	主编 王磊 冀敏	副主编 李晓春 吴明海
3.	基础化学	第 8 版	主编 魏祖期 刘德育	副主编 李雪华 陈朝军
4.	有机化学	第 8 版	主编 陆阳 刘俊义	副主编 叶玲 邓健
5.	医学生物学	第 8 版	主编 傅松滨	副主编 王培林 刘佳
6.	系统解剖学	第 8 版	主编 柏树令 应大君	副主编 丁文龙 刘学政 孙晋浩
7.	局部解剖学	第 8 版	主编 刘树伟 李瑞锡	副主编 张绍祥 羊惠君
8.	组织学与胚胎学	第 8 版	主编 邹仲之 李继承	副主编 曾园山 周莉
9.	生物化学与分子生物学	第 8 版	主编 查锡良 药立波	副主编 周春燕 冯作化 方定志 何凤田
10.	生理学	第 8 版	主编 朱大年 王庭槐	副主编 罗自强 管又飞 金学隆
11.	医学微生物学	第 8 版	主编 李凡 徐志凯	副主编 黄敏 郭晓奎
12.	人体寄生虫学	第 8 版	主编 诸欣平 苏川	副主编 吴忠道 李朝品
13.	医学免疫学	第 6 版	主编 曹雪涛	副主编 熊思东 姚智
14.	病理学	第 8 版	主编 李玉林	副主编 文继舫 唐建武 来茂德 步宏
15.	病理生理学	第 8 版	主编 王建枝 殷莲华	副主编 吴立玲 孙连坤 李文斌
16.	药理学	第 8 版	主编 杨宝峰	副主编 苏定冯
17.	医学心理学	第 6 版	主编 姚树桥 杨彦春	副主编 杨艳杰 潘芳 赵旭东
18.	法医学	第 6 版	主编 王保捷 侯一平	副主编 丛斌 赵子琴
19.	诊断学	第 8 版	主编 万学红 卢雪峰	副主编 刘成玉 胡申江 康熙雄 杨炯
20.	医学影像学	第 7 版	主编 白人驹 徐克	副主编 韩萍 龚启勇 张雪林 王滨
21.	内科学	第 8 版	主编 葛均波 徐永健	副主编 梅长林 唐承薇 王辰 周晋
22.	外科学	第 8 版	主编 陈孝平 汪建平	副主编 秦新裕 刘玉村 张英泽
23.	妇产科学	第 8 版	主编 谢幸 苟文丽	副主编 林仲秋 狄文 马丁 孔北华
24.	儿科学	第 8 版	主编 王卫平	副主编 毛萌 李廷玉 申昆玲 常立文
25.	神经病学	第 7 版	主编 贾建平 陈生弟	副主编 崔丽英 王伟
26.	精神病学	第 7 版	主编 郝伟 于欣	副主编 许毅 吴爱勤 李涛 刘金同



27.	传染病学	第 8 版	主编 李兰娟 任 红	副主编 高志良 牛俊奇
28.	眼科学	第 8 版	主编 赵堪兴 杨培增	副主编 瞿 佳 姚 克
29.	耳鼻咽喉头颈外科学	第 8 版	主编 田勇泉	副主编 韩东一 迟放鲁 孙爱华
30.	口腔科学	第 8 版	主编 张志愿 俞光岩	副主编 凌均荣 杨丕山
31.	皮肤性病学	第 8 版	主编 张学军	副主编 陆洪光 高兴华
32.	核医学	第 8 版	主编 李少林 王荣福	副主编 张永学 匡安仁
33.	流行病学	第 8 版	主编 沈洪兵 齐秀英	副主编 刘 民 叶冬青
34.	卫生学	第 8 版	主编 朱启星	副主编 牛 侨 吴小南
35.	预防医学	第 6 版	主编 傅 华	副主编 段广才 黄国伟
36.	中医学	第 8 版	主编 高鹏翔	副主编 卜 平 陈金水 陈利国
37.	医学计算机应用	第 5 版	主编 袁同山 阳小华	副主编 白宝钢
38.	体育	第 5 版	主编 裴海泓	副主编 程 鹏
39.	医学细胞生物学	第 5 版	主编 陈誉华	副主编 杨 恬 刘艳平
40.	医学遗传学	第 6 版	主编 左 伋	副主编 顾鸣敏 张咸宁
41.	临床药理学	第 5 版	主编 李 俊	副主编 刘克辛 袁 洪
42.	医学统计学	第 6 版	主编 李 康 贺 佳	副主编 杨士保 马 骏
43.	医学伦理学	第 4 版	主编 孙福川 王明旭	副主编 陈晓阳 宫福清
44.	临床流行病学与循证医学	第 4 版	主编 刘续宝 王素萍	副主编 孙业桓 时景璞
45.	康复医学	第 5 版	主编 黄晓琳 燕铁斌	副主编 王宁华 励建安
46.	医学文献检索与论文写作	第 4 版	主编 郭继军	副主编 马 路 张 帆
47.	卫生法	第 4 版	主编 汪建荣	副主编 达庆东 田 侃
48.	医学导论	第 4 版	主编 马建辉 闻德亮	副主编 肖海鹏 郭永松 曹德品
49.	全科医学概论	第 4 版	主编 祝培珠	副主编 胡传来 路孝琴
50.	麻醉学	第 3 版	主编 杨拔贤 李文志	副主编 刘 进 姚尚龙 郭曲练 邓小明
51.	急诊与灾难医学	第 2 版	主编 沈 洪 刘中民	副主编 王育珊 周荣斌 于学忠
52.	医患沟通		主编 王锦帆 尹 梅	副主编 唐宏宇 赵明杰
53.	肿瘤学概论		主编 王冠军 赫 捷	副主编 张清媛 李 薇 周云峰



第六届全国高等学校五年制本科临床医学专业 教材评审委员会名单

顾 问

沈晓明 王德炳 刘德培 吴孟超 刘允怡

主任委员

陈灏珠 钟南山

副主任委员

王卫平 杨宝峰 龚非力 柯 杨 石应康 郑树森

委 员 (以姓氏笔画为序)

王 滨 王冠军 王家良 王鸿利 文历阳 文民刚 文继舫
孔北华 田勇泉 白 波 白人驹 冯友梅 吕兆丰 朱明德
刘吉成 闫剑群 李玉林 步 宏 吴在德 吴肇汉 汪建平
沈 悌 陆再英 郎景和 赵 群 赵玉沛 南登崑 柏树令
曹雪涛 崔慧先 葛均波 曾因明 曾晓荣 雷 寒 瞿 佳



高水平、高质量的医学教育既是办好人民满意教育的重要组成部分,也是医疗卫生事业改革发展的重要支撑。随着我国医药卫生体制改革的不断深入,对高等医学教育改革也提出了更高的要求。如何培养适应国家需要、人民满意的高质量、高水平医学人才是当前医学教育的首要任务。为此,在“十二五”开局之年,教育部和卫生部共同组织实施了医学教育综合改革。

医学教育综合改革要求我们深入贯彻落实教育规划纲要和医药卫生体制改革的意见,遵循医学教育规律,以改革创新为动力,着力于医学教育发展与医药卫生事业发展的紧密结合,着力于人才培养模式和体制、机制的重点突破,着力于医学生职业道德和临床实践能力的显著提升,着力于医学教育质量保障体系的明显加强,从而全面提高医学人才培养质量,为发展医药卫生事业和提高人民健康水平提供坚实的人才保障。

教材建设在提高人才培养质量中发挥着重要的基础性作用,对此教育部一直高度重视,要求以教材建设为抓手,推动医学课程和教学方法改革。一本好的教材,给医学生以正确的引导,给临床医生以正确的指导。人民卫生出版社作为国家级优秀出版单位,承担了大量教材的规划和出版工作,形成了课程种类齐全、学科体系合理、配套服务全面的教材出版模式。尤其是在以吴阶平、裘法祖、吴孟超、陈灏珠等院士为代表的老一辈医学大家的付出和带领下,在一大批医学教育精英的努力和参与下,其出版的五年制本科临床医学专业规划教材为我国医学界培养了一代又一代优秀的医药学人才,为推动我国医疗卫生事业的改革和发展做出了巨大的历史贡献。

此次第八轮五年制本科临床医学专业规划教材的修订工作是在贯彻党的十八大关于“深化教育领域综合改革”精神的背景下,在落实卫生部、教育部联合下发的《关于实施临床医学教育综合改革的若干意见》的基础上启动的。修订工作贯穿了医学教育综合改革的要求,特别是注重将医德教育贯穿于医学教育的全过程,增加了《医患沟通》一书,同时强化临床实践教学,配套编写了相关的实践指导,以提高医学生的临床实践能力。

我们相信,在教育、卫生系统的通力合作下,在广大医学教育工作者的大力支持和参与下,第八轮五年制本科临床医学专业规划教材的修订出版对推动医学教育综合改革,提高医学人才培养质量将产生积极的推动作用。

教育部部长助理

2013年3月



马斌荣



男, 1938年4月生于上海。教授, 博士生导师。1962年毕业于复旦大学数学系概率统计专业, 之后在北京首都医科大学任教, 享受国家国务院特殊津贴。现任中国卫生部国家医师资格考试中心专家委员会专家、北京市医疗器械评审专家委员会荣誉专家、高等院校教育技术协会学术委员会委员兼副秘书长。

从事教学工作50年, 人民卫生出版社、全国高等学校医学五年制教材《医学统计学》第3~5版主编。在科研方面, “中医关幼波教授对肝炎的辨证施治电子计算机程序”获北京市科学技术进步奖一等奖, “医学图像三维重构”获北京市科学技术进步奖二等奖, “虚拟现实三维多媒体中枢神经解剖学CAI课件”获北京市高等教育教学成果一等奖, “医学病例案例库”获北京市高等教育教学成果二等奖。主编《中医专家系统与中医知识库》(北京出版社), 编著《SPSS for windows在医学统计中的应用》第1~4版(科学出版社)。曾获首届吴阶平优秀教师奖、北京市有突出贡献专家。



李 康

男, 1957年10月生于黑龙江省哈尔滨市。博士, 教授, 博士生导师, 哈尔滨医科大学卫生统计学教研室主任, 澳大利亚拉筹伯(Latrobe)大学兼职教授。曾留学日本新潟大学医学部。主要社会学术兼职: 中国统计学会理事, 中国卫生信息学会理事, 中国卫生信息学会统计理论与方法专业委员会副主任委员, 中国系统工程学会医药系统工程专业委员会副主任委员, 中华预防医学统计专业委员会委员; 黑龙江省统计学会常务理事; 《中国卫生统计》和《中国医院统计》杂志编委。

从事医学统计学教学工作30年, 曾参加10部《医学统计学》全国规划教材编写, 获教育部博士点博士生导师基金1项。在科研方面, 曾主持4项国家自然科学基金项目, 参加3项国家重点研究项目; 在国内外发表专业学术论文80余篇。曾获黑龙江省高校师德先进个人、黑龙江省卫生系统有突出贡献中青年专家。



贺 佳

女, 1963年7月生于吉林省长春市。现任上海第二军医大学卫生勤务学系卫生统计学教研室主任, 教授, 博士生导师。主要社会兼职: 中国卫生信息学会医学统计教育专业委员会副主任委员, 中国现场统计研究会生物医学统计学会副理事长, 中国人民解放军医学科学技术委员会卫生信息学专业委员会副主任委员, 上海市临床流行病学专业委员会副主任委员等职; 上海市杨浦区政协委员; 中国科学院上海生命科学研究院、上海交通大学医学院健康科学研究所客座研究员。

从事教学工作至今27年。负责的《医学统计学》课程获国家精品课程、上海市精品课程、军队优质课程。主编著作、教材17部, 参加编写著作、教材30余部。上海市领军人才、上海市优秀学科带头人、上海市三八红旗手标兵。负责国家自然科学基金、上海市基础研究重点等课题20余项。曾获上海市科技进步一等奖、二等奖, 上海医学科技二等奖。自主研发软件9套, 获国家版权局著作权保护。在国内外发表学术论文200余篇, 特别是在国际著名期刊《The Lancet》上发表一篇评述。



杨土保

男, 1962年7月生于湖南省郴州市。博士, 教授, 博士生导师。现任中南大学公共卫生学院副院长。主要社会兼职: 湖南省卫生统计专业委员会副主任委员, 湖南省流行病学专业委员会副主任委员, 湖南省肿瘤防治专业委员会副主任委员, 《中国老年学杂志》等3种杂志编委。加拿大渥太华大学和美国华盛顿大学访问学者。

从事教学工作至今30年, 参加国家规划教材8部。主持各级科研项目10余项, 发表研究论文70余篇, 获得省部级科研成果奖3项。获得湖南省高校青年骨干教师和“121”人才工程第三层次人才称号。



马 骏

男, 1962年7月生于天津。博士, 教授, 博士生导师。天津医科大学卫生统计学学科带头人, 天津市普通高等学校卫生统计学精品课程负责人。主要社会兼职: 中国统计教育学会第五届理事, 全国统计教材编审委员会第六届委员会委员, 天津市医疗保险研究会副会长, 天津市统计学会常务理事, 天津市现场统计研究会常务理事, 天津市食品药品监督管理局审评专家等职。

从事教学工作28年。近年, 主持国家级课题1项, 省部级课题3项, 横向合作课题20余项; 发表论文80余篇, 科研工作获各种奖励6项。



医学统计学是现代医学研究中的一门基础学科,是关于收集数据和分析数据的科学。医学研究中,由于生物现象的变异较大,各种因素错综复杂,实验或观察结果往往受到多种因素的影响,而统计学的重要作用就在于能够透过偶然现象来探索其规律性,并以适当的方式将研究结果表达出来。医学统计学作为建立统计分析思维的必修课程,有助于医学生在专业学习和临床实践中更好地阅读文献和进行科学研究。随着计算机统计软件的广泛应用,复杂的统计学计算问题能够快速方便地得到解决,这就要求使用者对统计学的基本原理、方法及其应用条件有一定的了解和熟悉,并且能够看懂数据分析的结果。为此,本书注重结合医学实例介绍统计学原理和方法,而不拘泥于繁杂的计算过程,使其适合医学生和医学研究人员使用。

本教材在第5版《医学统计学》基础上做出适当调整。在内容上,增加了目前应用较为广泛的一些统计学方法,如重复测量数据分析、logistic 回归分析、生存分析、临床试验设计和样本含量估计等;统计图表一章增加了撰写科研论文时经常使用的几种统计图;附录一给出了国际上临床随机对照试验(RCT)研究报告的参考标准(2010);附录二给出了SPSS 软件对各章实例分析的实现方法。例题选择上,尽量使用临床和基础研究的实际范例。在各章的习题中,增加了单项选择题的数量,有助于读者对正文内容的深入理解,还可作为执业医师资格考试的参考资料。各高校可以根据教学条件选择合适的教学内容,参考教学时数为32~54学时,部分章节可作为自学内容。

本书的主要特点是内容简洁,通过实例讲解统计学名词、概念、原理和方法,尽量简化复杂的运算过程。为了更好地使用本教材,改进了原有的教学配套PPT课件,并由第二军医大学的吴骋老师结合各章例题,制作了SPSS统计软件的视频教学。PPT课件、SPSS视频教学及教材中练习题的参考答案一并放入教材的网络增值服务中。

由于编者水平和时间所限,书中错误和疏漏之处恐在所难免,诚恳希望广大读者批评指正。

李 康

2013年2月于哈尔滨

第一章	绪论	1
	第一节 医学统计学的作用	1
	第二节 医学统计学的基本内容	2
	第三节 医学统计学中的基本概念	2
第二章	定量数据的统计描述	7
	第一节 频数分布	7
	第二节 集中趋势的统计指标	9
	第三节 变异程度的统计指标	13
第三章	正态分布与医学参考值范围	19
	第一节 正态分布	19
	第二节 医学参考值范围	22
第四章	定性数据的统计描述	28
	第一节 常用相对数	28
	第二节 医学中常用的相对数指标	31
	第三节 相对数指标使用的注意事项	33
第五章	统计表与统计图	36
	第一节 统计表	36
	第二节 统计图	39
第六章	参数估计与假设检验	50
	第一节 参数估计	50
	第二节 假设检验	55

第七章	t 检验	60
	第一节 t 检验	60
	第二节 方差不齐时两样本均数的 t' 检验	63
	第三节 t 检验中的注意事项	65
	第四节 假设检验中两类错误	66
第八章	方差分析	70
	第一节 完全随机设计的方差分析	70
	第二节 随机区组设计的方差分析	73
	第三节 多个样本均数的两两比较	75
	第四节 方差齐性检验	76
	第五节 其他设计类型的方差分析	77
第九章	χ^2 检验	84
	第一节 四格表资料的 χ^2 检验	84
	第二节 配对四格表资料的 χ^2 检验	88
	第三节 $R \times C$ 列联表资料的 χ^2 检验	89
第十章	非参数秩和检验	95
	第一节 配对设计资料的符号秩和检验	95
	第二节 两独立样本比较的秩和检验	97
	第三节 多个独立样本比较的秩和检验	99
第十一章	线性回归与相关	104
	第一节 线性回归	104
	第二节 线性相关	108
	第三节 线性回归与相关应用的注意事项	111
第十二章	多元线性回归	114
	第一节 多元线性回归	114
	第二节 多元逐步回归	119
	第三节 多元线性回归的注意事项	121

第十三章	logistic 回归分析	125
	第一节 logistic 回归	125
	第二节 条件 logistic 回归	131
	第三节 logistic 回归应用及注意事项	134
第十四章	生存分析	139
	第一节 生存分析的基本概念	139
	第二节 生存率曲线及比较	141
	第三节 多变量 Cox 回归分析	145
第十五章	实验设计与临床试验设计	151
	第一节 实验设计的三要素	151
	第二节 实验设计的三原则	153
	第三节 临床试验设计及统计分析问题	155
	第四节 样本含量估算	158
附录 1	CONSORT statement-RCT 研究报告的信息(2010)	163
附录 2	SPSS 统计软件上机实习	165
附录 3	统计用表	213
	中英文名词对照索引	232

第一章 绪 论

在本章中,我们将给出医学统计学的定义和研究对象,并用实例说明医学统计学在医学研究中的重要作用,同时简要介绍医学统计学包含的基本内容。在此基础上,重点学习医学统计学中的几个基本概念。

第一节 医学统计学的作用

医学统计学(medical statistics)是临床医学、基础医学、公共卫生学和医疗卫生服务研究中的一门基础学科,是关于收集数据、分析数据和由数据得出结论的一组概念、原则和方法。医学研究中,由于生物现象的变异较大,各种因素错综复杂,由实验或观察得到的结果往往会受到许多随机因素的影响,如使用两种药物治疗冠心病,试验药物和对照药物有效率分别为 87% 和 82%,这种结果能否说明试验药物优于对照药物?由样本数据获得的结果,其差别既可能是药物本身作用引起,也有可能是随机波动所致,是否由于药物作用造成了两组疗效的差别,需要使用统计学方法进行推断。统计学的重要作用在于能够透过偶然现象来探测其规律性,使研究结论具有科学性。

为了理解统计学在实际工作中的作用和意义,现通过两个经典案例来说明。

1. 1962 年美国医学学会杂志(JAMA)曾发表了一篇关于胃溃疡治疗新技术的报告,该报告根据动物实验和 24 名患者的临床试验结果得出结论,即将冷冻液导入胃中使胃冷却可以缓解溃疡症状,之后这一研究成果在临床中被广泛应用。但有研究者发现,这项研究在设计上存在严重问题,如未合理地设立对照组。后经过严格的随机对照试验,证明胃冷却的方法只是暂时性的缓解胃部疼痛,该法不仅不能治疗胃溃疡,反而可能会加重胃部的溃疡,从而否定了这种治疗胃溃疡的方法。

2. 20 世纪 80 年代早期,两项观察性研究结果提示孕妇在怀孕期间补充维生素可以降低新生儿神经管缺陷(neural tube defect, NTD)的风险,但一直无法证实。医学研究委员会维生素研究小组于 1991 年开展了一项大规模的随机对照试验,结果显示:593 名服用叶酸(B 族维生素)的女性中,6 名新生儿患有神经管缺陷;602 名没有服用叶酸的女性中,21 名新生儿患有神经管缺陷。该项研究使用统计学方法确定了服用叶酸组与对照组的差别不是简单偶然出现的,而是归因于叶酸的作用。

根据上述两个实例,我们可以提出以下几个问题:

- (1) 胃溃疡治疗新技术的研究结论为什么会出现错误?
- (2) 为了证明服用叶酸的作用,应如何进行分组?
- (3) 如何准确地估计两组新生儿中出现神经管缺陷(NTD)的发病率?
- (4) 如何比较两组 NTD 的发病率是否有差别?

以上这些问题的解决,都需要运用统计学设计原则和统计分析方法。

综上,医学统计学的研究对象是医学中具有不确定性结果的事物,其主要作用是通过数据的偶然性揭示内在的规律性。统计分析的要点是正确地选用统计分析方法,并结合专业知识作出科学的结论。医学工作者通过学习和运用统计学方法,可以更好地理解医学专业杂志的内容、撰写科学论文、加强与统计专业人员沟通的能力,从而达到提高科研水平的目的。

第二节 医学统计学的基本内容

医学统计学的基本内容包括统计设计、数据整理、统计描述和统计推断。这四项基本内容相互联系。

1. **统计设计** 医学研究主要包括实验性研究和观察性研究。研究设计有专业设计和统计设计,两者相辅相成。专业设计主要包括:选题、根据研究目的确定研究对象、处理因素、实验或观察方法、实验材料和设备、实验效应或观察指标等;统计设计主要包括实验分组或抽样方法、样本含量估计、数据管理与质量控制、拟使用的统计分析方法等。由于研究设计上的错误在数据分析阶段无法更正,所以在研究开始时就应与统计专业人员合作或向其咨询。统计设计能够提高研究效率,并使结果更加准确和可靠。

2. **数据整理** 数据整理主要是指对数据质量进行的检查,考虑数据分布及变量转换,检查异常值和数据是否符合特定的统计分析方法要求等。有效数字使用以同一形式表达,使人容易领会并确信在实验或观察过程中数据的精密度始终保持一致。医学研究中,当观测到的偏差比合理预期大时,应当仔细考虑,如果没有充分的理由说明它是不合理的,就应当予以保留;随意将那些自认为“过大或过小”的数据舍弃掉,不仅可能使实验研究的真实性受到破坏,还有可能失去新发现的机会(如基因突变)。

3. **统计描述** 统计描述用来描述及总结一组数据的重要特征,其目的是使实验或观察得到的数据表达清楚并便于分析。通常,统计描述给出资料的大致轮廓和进一步分析的方向,结果的表达方式主要是统计指标、统计表和统计图。统计指标的作用是把大量数据用简单的数字表达它的一些重要特征,帮助形成对总体的看法,如数据的平均水平和变异程度。统计表是编写统计分析报告和撰写科学论文必不可少的表达形式,其作用是可以代替冗长的文字叙述,便于分析和对比。统计图能够更生动、形象地表达结果,给人以深刻印象。统计图表的正确使用对撰写科学论文的质量有很大的影响。如果一组数据是整个总体的观察结果,统计描述即可得出明确的结论,但更多情况是数据来自随机抽取的样本,这时还需要使用统计推断方法。

4. **统计推断** 统计推断指由样本数据的特征推断总体特征的方法,包括参数估计和假设检验。参数估计分为点估计和区间估计。区间估计的重要性在于可以得出估计不准的概率。例如,在研究某种新药的降压效果时,舒张压治疗前后差值的95%可信区间为10.41~13.05mmHg,即真实差值没有被包含在这一区间内的概率只有5%。假设检验则是从另一角度去分析数据,重点是比较参数的大小。由于存在生物个体变异和随机测量误差,不能简单地根据样本计算出的结果直接判断总体的情况。如欲比较甲乙两种治疗高血压药物的疗效,试验结果显示甲药平均降压11mmHg,乙药平均降压7mmHg,由于抽样误差的影响,并不能说明甲药的降压效果优于乙药,重新再做一次试验很可能会得到相反的结果。假设检验的作用是能够辨别出由随机波动引起这种差别的概率大小,如果概率很小(如 $P < 0.05$),则可以得出甲药优于乙药的结论。不同类型的数据可以用相应的统计方法作分析,如 t 检验、方差分析、 χ^2 检验、相关性分析、多元回归分析等。各种假设检验得到的 P 值是得出结论的主要依据。

第三节 医学统计学中的基本概念

一、同质与变异

同质(homogeneity)是指根据研究目的所确定的观察单位其性质应大致相同。观察单位是研究的基本单元,可以是一个人、一个地点、一只动物、一份生物样品等。然而,即使性质相同

的事物,如果观察同一指标,各观察单位之间由于存在个体差异,也会使测量结果不同,这种差异称为变异(variation)。医学研究的对象是有机的生命体,其机能十分复杂,不同的个体在相同的条件下,对外界环境因素可以产生不同的反应。例如,同种族、同年龄、同性别的健康人,在相同的条件下测其脉搏、呼吸、体温等生理指标均可能存在很大的差异。在临床治疗中,用同样的药物治疗病情相同的病人,疗效也不尽相同。即使在相同条件的实验室里,不同动物之间的各项指标也有明显的差异。变异是生物个性的反映,若所研究的同质群体中所有个体完全相同,只需观察任意一个个体即可,无须使用统计学进行研究。个体间的变异来源于一些未加控制或无法控制、甚至不明因素所致的随机波动。例如研究儿童的身高时,要求性别、年龄、民族、地区等影响身高较大的、易控制的因素要相同,而不易控制的遗传、营养等影响因素则可以忽略。

由于医学统计学研究的对象是有变异的事物,因此无法用 1~2 例的观测结果推论出一般规律。例如,我们不能用某一健康成人的红细胞数作为一般健康成人的红细胞数;也不能因为使用某一种药物治疗一例冠心病患者有效,就断定这种药物治疗冠心病有效。科学研究工作的主要任务之一是要从表现为偶然性的大量数据中,分析出其中必然性的规律,而统计学就是解决这一问题的有效工具。

二、变量与数据类型

变量(variable)是反映实验或观察对象生理、生化、解剖等特征的指标,变量的观测值称为数据(data)。例如,体温是一个变量,它随着时间的变化而变化,也会因个体的差异而不同;身高、体重、性别、年龄、血型、疗效等都是变量,它们的观测值称为数据。具体可分为定量数据(quantitative data)、定性数据(qualitative data)和有序数据(ordinal data)三种数据类型。

1. 定量数据 也称计量资料。变量的观测值是定量的,其特点是能够用数值大小衡量其水平的高低,一般有计量单位。根据变量的取值特征可分为连续型数据和离散型数据。连续型定量数据具有无限可能的值,例如身高、体重、血压、温度等。离散型定量数据通常只能取正整数,例如家庭成员数、脉搏、白细胞计数等。

2. 定性数据 也称计数资料。变量的观测值是定性的,表现为互不相容的类别或属性。通常情况下,定性数据指类别(属性)之间没有程度或顺序上的差别,它可以进一步分为二分类和多分类,如性别分为男和女,血型分为 A、B、O、AB 等。

3. 有序数据 也称半定量数据或等级资料。变量的观测值是定性的,但各类别(属性)之间有程度或顺序上的差别,如尿糖的化验结果分为-、+、++、+++、药物的治疗效果按照显效、有效、好转、无效分类等。

统计分析方法的选用与数据类型有密切的关系。根据分析的需要,不同类型的变量或数据之间可以进行转换。例如原始的血红蛋白为定量数据,如果将血红蛋白分为正常与异常两类,则可以根据需要按照二分类定性数据进行分析;如果将其分为正常、轻度贫血、中度贫血、重度贫血四个等级时,则可以根据需要按照有序数据进行分析。

三、总体和样本

总体(population)是根据研究目的确定的所有同质观察单位的全体,它包括所有定义范围内的个体变量值。样本(sample)是从研究总体中抽取部分有代表性的观察单位,对变量进行观测得到的数据。例如,在特定社区中随机选取 200 名成年男子进行体检,测其基本的生命体征:身高、体重、血压、脉搏、心率。在这个例子中,有 5 个变量,分别为身高、体重、血压、脉搏和心率,观察单位是随机抽取的每个成年男子;如果感兴趣的总体是该社区的全部成年男性

的基本生命体征,那么这 200 名成年男子的 5 个变量测量结果构成了样本。需要注意的是,研究总体可以包括无限的个体,例如研究尿激酶原治疗心肌梗死的疗效,这里总体同质的基础是有心肌梗死的患者和接受尿激酶原治疗的患者,没有时间和空间的限制。无论有限总体还是无限总体,我们把描述总体特征的指标称为参数(parameter),描述样本特征的指标称为统计量(statistic)。为了保证总体的同质性和样本的可靠性与代表性,应当严格确定总体范围,用随机化的方法选择有代表性的样本,进行正确而有效的研究设计。

四、误 差

误差(error)是指观测值与真实值、样本统计量与总体参数之间的差别。根据误差的性质和来源主要可以分为系统误差(systematic error)、随机测量误差(random measurement error)和抽样误差(sampling error)几种类型。

1. 系统误差 有时也称作统计偏倚。系统误差由一些固定因素产生,如仪器未进行归零校正、标准试剂校准不好、测量者读取测量值不准、试验对象选择不合适、医生对疗效标准掌握偏高或偏低等原因。系统误差的大小通常恒定或按照一定规律变化,具有明确的方向性。这类误差可以通过周密的研究设计和测量过程标准化等措施加以消除或控制。

2. 随机测量误差 在测量过程中,即使仪器初始状态及标准试剂已经校正,但由于各种偶然因素的影响也会造成同一测量对象多次测定的结果不完全相同,这种随机产生的误差称为随机测量误差。实际中,产生随机测量误差的主要原因是生物体的自然变异和各种不可预知因素产生的误差,这种误差往往没有固定的大小和方向,但具有一定的统计规律(如服从正态分布)。随机测量误差不可避免,但可以通过多次测量获得的均数对真实值进行准确的估计。

3. 抽样误差 抽样误差是随机误差中最重要的一种误差。由于生物的个体变异,从总体中随机抽取一个样本进行研究,所得样本统计量与相应的总体参数往往不相同,这种由于抽样而引起的样本统计量与总体参数间的差异,在统计学上称为抽样误差。抽样误差主要来源于个体的变异,如果没有个体变异,就不存在抽样误差。抽样误差可以用统计方法进行分析,一般来说,样本含量越大,则抽样误差越小,样本统计量与总体参数越接近。

五、概 率

概率(probability)是描述某事件发生可能性大小的度量。事件 A 发生的概率可以写成 $P(A)$,其取值范围为 $0 \leq P(A) \leq 1$ 。 $P(A)=0$ 表示该事件不可能发生, $P(A)=1$ 表示该事件必然发生。概率也可以用稳定的频率进行解释,即在大量的观察或试验中,事件 A 出现的相对频率。如某地区调查了 20 000 名成年人的高血压患病情况,结果有 4000 人患病,估计该地区的人群患病率为 20%;若从该地区随机抽取一名成年人,则估计该对象患有高血压病的概率为 20%。医学数据的一个重要特征是其不确定性,这种不确定性可以使用概率表达。若要全面了解试验,则必须知道试验的全部可能结果及各种结果发生的概率,即必须知道随机变量的概率分布(probability distribution),如血型的分布。

在统计学上,统计推断的结论都是基于一定概率得出的,习惯上将 $P \leq 0.05$ 的事件称为小概率事件,表示在一次试验中发生的可能性很小。如果小概率事件在现实中出现,就要追究其原因。如对两种药物降压效果的差别进行假设检验,由于抽样误差的存在,无论两种药物的疗效是否有差别,两个样本均数之间总会存在一定的差异,这种差异是否由于抽样误差造成,需要通过 P 值来确定。如果 $P \leq 0.05$ 则说明当前试验结果显示的差别是由于“偶然”所致的可能性不足 5%,因此可以做出有差别的结论。

练习题

一、单项选择题

1. 医学统计学研究的对象是()
 - A. 医学中的小概率事件
 - B. 各种类型的数据
 - C. 动物和人的本质
 - D. 有变异的医学事物
 - E. 疾病的预防与治疗
2. 用样本推论总体,具有代表性的样本通常指的是()
 - A. 总体中最容易获得的部分个体
 - B. 在总体中随意抽取的任意个体
 - C. 挑选总体中的有代表性的部分个体
 - D. 用方法抽取的部分个体
 - E. 依照随机原则抽取总体中的部分个体
3. 下列观测结果属于有序数据的是()
 - A. 收缩压测量值
 - B. 脉搏数
 - C. 住院天数
 - D. 病情程度
 - E. 四种血型
4. 随机测量误差指的是()
 - A. 由某些固定的因素引起的误差
 - B. 由不可预知的偶然因素引起的误差
 - C. 选择样本不当引起的误差
 - D. 选择总体不当引起的误差
 - E. 由操作失误引起的误差
5. 系统误差指的是()
 - A. 由某些固定的因素引起的误差
 - B. 由操作失误引起的误差
 - C. 选择样本不当引起的误差
 - D. 样本统计量与总体参数间的误差
 - E. 由不可预知的偶然因素引起的误差
6. 抽样误差指的是()
 - A. 由某些固定的因素引起的误差
 - B. 由操作失误引起的误差
 - C. 选择样本不当引起的误差
 - D. 样本统计量与总体参数间的误差
 - E. 由不可预知的偶然因素引起的误差
7. 收集数据不可避免的误差是()
 - A. 随机误差
 - B. 系统误差
 - C. 过失误差
 - D. 记录误差
 - E. 仪器故障误差
8. 统计学中所谓的总体通常指的是()
 - A. 自然界中的所有研究对象
 - B. 概括性的研究结果
 - C. 同质观察单位的全体
 - D. 所有的观察数据
 - E. 具有代表性意义的数据
9. 统计学中所谓的样本通常指的是()
 - A. 可测量的生物性样品
 - B. 统计量
 - C. 某一变量的测量值
 - D. 数据中有代表性的一部分
 - E. 总体中有代表性的部分观察单位
10. 医学研究中抽样误差的主要来源是()
 - A. 测量仪器不够准确
 - B. 检测出现错误

C. 统计设计不合理

D. 生物个体的变异

E. 样本量不够

二、简答题

1. 医学统计学的主要作用是什么?
2. 医学统计学包括哪些基本内容?
3. 统计描述与统计推断的主要特点是什么?
4. 统计量与参数的差别是什么?
5. 常见的三类误差是什么? 应采取什么措施和方法加以控制?
6. 研究尿激酶原治疗心肌梗死的疗效, 以瑞替普酶作为对照, 该项研究共包含几个总体?

(李 康)

第二章 定量数据的统计描述

本章学习定量数据的统计描述方法。这一部分的内容主要包括频数表、直方图和统计指标。利用频数表和直方图可以清楚地揭示数据的分布类型和特征,统计指标则可以概括性地描述一组数据的集中趋势或平均水平。学习这些方法的目的在于能够有效地组织、整理和表达统计数据的信息。

第一节 频数分布

通过实验或观察等各种方式得到的原始数据,如果是定量数据并且观察的例数较多,可以对数据进行分组,然后制作频数表或绘制直方图,用以显示数据的分布规律。

一、频数表

频数表(frequency table)是统计表的一种,它同时列出观察指标的可能取值区间及其在各区间内出现的频数。具体做法:先根据观察个体的数值大小进行分组,然后计算每组中观察值出现的次数。由于这种数据表达方式较完整地体现了观察值的分布规律,所以也称作频数分布表。

在编制频数表时,通常先将选定的组列出,每一组段的起点称下限,终点称上限(上限一般不列出),然后将原始数据归到不同的组段中,最后计算不同组段中数据的个数,即可得到各组的频数。

现结合实例说明频数表的编制方法和应注意的问题。

例 2-1 某地用随机抽样方法检查了 140 名成年男子的红细胞计数,检测结果如表 2-1 所示。

表 2-1 某地 140 名成年男性红细胞数($\times 10^{12}/L$)

4.76	5.26	5.61	5.95	4.46	4.57	4.31	5.18	4.92	4.27	4.77	4.88
5.00	4.73	4.47	5.34	4.70	4.81	4.93	5.04	4.40	5.27	4.63	5.50
5.24	4.97	4.71	4.44	4.94	5.05	4.78	4.52	4.63	5.51	5.24	4.98
4.33	4.83	4.56	5.44	4.79	4.91	4.26	4.38	4.87	4.99	5.60	4.46
4.95	5.07	4.80	5.30	4.65	4.77	4.50	5.37	5.49	5.22	4.58	5.07
4.81	4.54	3.82	4.01	4.89	4.62	5.12	4.85	4.59	5.08	4.82	4.93
5.05	4.40	4.14	5.01	4.37	5.24	4.60	4.71	4.82	4.94	5.05	4.79
4.52	4.64	4.37	4.87	4.60	4.72	4.83	5.33	4.68	4.80	4.15	4.65
4.76	4.88	4.61	3.97	4.08	4.58	4.31	4.05	4.16	5.04	5.15	4.50
4.62	4.73	4.47	4.58	4.70	4.81	4.55	4.28	4.78	4.51	4.63	4.36
4.48	4.59	5.09	5.20	5.32	5.05	4.41	4.52	4.64	4.75	4.49	4.22
4.71	5.21	4.94	4.68	5.17	4.91	5.02	4.76				

1. 确定组数 进行数据分组时首先应考虑组数,分组过少会导致信息损失较大;分组过多则可能使数据分布的规律性不能明显地表示出来。通常情况下组数选择在 8~15 之间,以能显示数据的分布规律为宜。

2. 确定组距 分组时必须事先规定组距,组距的宽度按相邻两组的下限之差计算,一般应

取相同的组距。将全距除以组数可以得到组距的近似值。全距即数据中最大值与最小值之差,如果用 R 表示全距, k 表示组数, 则参考组距为 R/k 。组距的选择应符合专业习惯, 得到参考组距后再结合实际情况作适当地调整。如表 2-1 数据中的最大值为 5.95, 最小值为 3.82, 全距为 2.13, 现拟分 10 个组, 参考组距为

$$i = \frac{R}{k} = \frac{2.13}{10} \approx 0.21$$

因为通常比较习惯含有 0.20 或 0.25 个单位倍数的区间宽度, 因此可以在 0.20 和 0.25 两种组距中选择。若用 0.20 作为组距, 则总共有 11 个区间; 若用 0.25 作为组距, 则有 9 个区间。权衡后选择组距为 0.20 比较合适。

有些资料因为数据中有特大或特小的数值也可以采用不等组距, 如某些食物中毒的潜伏期, 大部分在短时间内出现症状, 只有极少部分人经过较长的时间后才有反应, 这种情况可以将后面的一些组段作适当的合并, 并可以将最后一个组段以“大于……”表示, 以避免出现一些组段频数为零的情况。

3. 确定组限 一个频数分布必须包括整个资料范围的全部数据, 即一个数据必须能够归属于某一组, 同时只能归属于一个组, 不能兼属。为此, 实际组限在每组中只包含下限而不包含上限, 如第一组为“3.80~”、第二组为“4.00~”, 凡小于 4.00 者均应分入第一组, 达 4.00 者则在第二组。

4. 确定频数 由原始数据可得例 2-1 的频数表, 如表 2-2 所示。

表 2-2 某地 140 名正常男性红细胞计数的频数表

红细胞数($\times 10^{12}/L$)	组中值	频数	累积频数	频率(%)	累积频率(%)
(1)	(2)	(3)	(4)	(5)	(6)
3.80~	3.9	2	2	1.43	1.43
4.00~	4.1	6	8	4.29	5.71
4.20~	4.3	11	19	7.86	13.57
4.40~	4.5	25	44	17.86	31.43
4.60~	4.7	32	76	22.86	54.29
4.80~	4.9	27	103	19.29	73.57
5.00~	5.1	17	120	12.14	85.71
5.20~	5.3	13	133	9.29	95.00
5.40~	5.5	4	137	2.86	97.86
5.60~	5.7	2	139	1.43	99.29
5.80~6.00	5.9	1	140	0.71	100.00

二、直 方 图

将表 2-1 的资料编成频数表后, 可以看出数据的分布情况, 若绘制成直方图(histogram)则更直观。直方图是以垂直条段代表频数分布的一种图形, 条段的高度代表各组的频数, 由纵轴标度; 各组的组限由横轴标度, 条段的宽度表示组距。如将表 2-2 资料绘制直方图, 如图 2-1 所示。

从图 2-1 明显看出该地区正常成年男性红细胞数的分布特点: 数据多集中在 $4.80 \times 10^{12}/L$ 附近, 两侧对称下降, 最小值不低于 $3.80 \times 10^{12}/L$, 最大值不超过 $6.00 \times 10^{12}/L$ 。绘制直方图的频数表资料一般为等距分组, 对于不等距资料应先将不等距的各组频数折算为等距频数, 然后再作图。

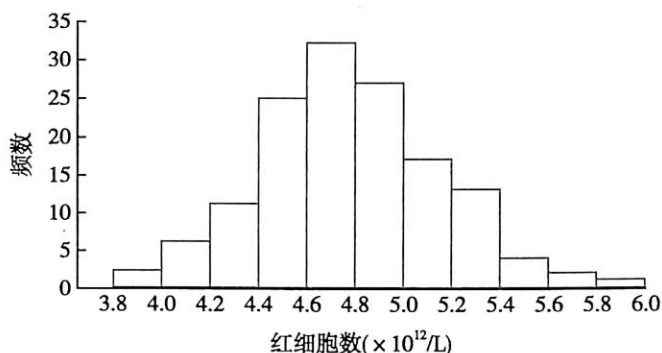


图 2-1 140 名正常成年男性红细胞计数的直方图

三、频数分布表的用途

1. 作为陈述资料的形式,可以代替原始资料,便于进一步分析。

2. 便于观察数据的分布类型。医学研究中常见的资料分布类型可分为对称分布和偏态分布两大类。在对称分布资料中,正态分布(normal distribution)是一种非常重要的分布类型,其特征是中间组段的频数最多,两侧的频数分布对称,并按一定的规律下降,表 2-2 的频数分布即近似呈正态分布(参见图 2-1)。如果频数分布的高峰向左偏移,长尾向右侧延伸称为正偏态分布,相反则称为负偏态分布。在统计分析时常需要根据资料的分布形式选择相应的统计分析方法,因此对数据分布形式的判定非常重要。

3. 便于发现资料中某些远离群体的特大或特小值。如在频数表中连续出现 0 的频数后,又出现了一些频数就值得怀疑,应进行检查和核对,必要时可通过统计检验决定取舍。

4. 当样本含量比较大时,可用各组段的频率作为概率的估计值。如表 2-2 第(3)栏的频数除以总例数即为第(5)栏的频率,由此可推测成年男子的红细胞计数值出现在各组段的概率分别为 0.014, 0.043, 0.079, …, 0.007。

总之,通过频数分布表和直方图,可以大致看出观察资料的形态和特征。如果需要进一步用数字概括、明确地描述频数分布的特征则应使用统计指标描述的方法。

第二节 集中趋势的统计指标

平均数(average)是描述一组观察值集中位置或平均水平的统计指标,它常作为一组数据的代表值用于分析和进行组间的比较。平均数有多种,常用的有算术均数、几何均数和中位数等。

一、算术均数

算术均数(arithmetic mean)简称为均数,用于说明一组观察值的平均水平或集中趋势,是描述定量数据的一种最常用的方法。均数计算有直接法和加权法。

(一) 直接法

将所有的观察值 X_1, X_2, \dots, X_n 直接相加再除以观察例数,写成公式为

$$\bar{X} = \frac{X_1 + X_2 + \dots + X_n}{n} = \frac{\sum X}{n} \quad (2-1)$$

式中, \bar{X} 表示样本均数; \sum 是希腊字母(读作 sigma), 表示求和的符号; n 为样本观察例数。如为例 2-1 的数据用上面公式计算,可算得 140 名正常成年男子红细胞数的均值为

$$\bar{X} = \frac{4.76 + 5.26 + 5.61 + \dots + 5.02 + 4.76}{140} = 4.776 (\times 10^{12} / L)$$

(二) 加权法

加权法是根据频数表计算均数的一种方法。当观察例数较多时,资料通常要分组编成频数表,对已经编成频数表的资料不能再用公式(2-1)计算,这种情况下我们可以把各组的组中值视为各组观察值的代表值,分别乘以各组的频数得到各组观察值之和,然后将它们相加得到观察值的总和再除以总例数。用公式表示为

$$\bar{X} = \frac{f_1 x_1 + f_2 x_2 + \cdots + f_k x_k}{n} = \frac{\sum f x}{n} \quad (2-2)$$

式中 k 表示频数表的组段数; f_1, f_2, \cdots, f_k 及 x_1, x_2, \cdots, x_k 分别表示 1 至 k 组的频数及组中值,见表 2-2 第(3)栏和第(2)栏;组中值=(本组段下限+本组段上限)/2,如“4.00~”组段的组中值为 $(4.00+4.20)/2=4.10$,余类推。

将表 2-2 的数据代入公式(2-2),有

$$\bar{X} = \frac{2 \times 3.90 + 6 \times 4.10 + 11 \times 4.30 + \cdots + 2 \times 5.70 + 1 \times 5.90}{140} = 4.784 (\times 10^{12}/L)$$

由此可见,在样本例数较多的情况下,加权法与直接法算得的结果相差不大。

(三) 均数的应用

均数的意义容易理解,而且结果也比较稳定,因而应用极为广泛。但是它主要适用于对称分布或偏度不大的资料,尤其适合正态分布资料。由于在计算均数时用到了每一个观察值,在偏态较大的情况下,算出的均值容易受到频数分布尾端极大或极小值的影响,不能真正地反映分布的集中位置,这时应考虑改用其他方法。

二、几何均数

医学研究中有一类比较特殊的资料,如抗体滴度、细菌计数、血清凝集效价、某些物质浓度等,其数据特点是观察值间按倍数关系变化,对此可以计算几何均数(geometric mean)以描述其平均水平。几何均数用 G 表示,计算公式为

$$G = \sqrt[n]{X_1 X_2 \cdots X_n} \quad (2-3)$$

即将 n 个观察值连乘后开 n 次方。为了计算方便,常改用对数的形式计算,即

$$G = \lg^{-1} \left(\frac{\lg X_1 + \lg X_2 + \cdots + \lg X_n}{n} \right) = \lg^{-1} \left(\frac{\sum \lg X}{n} \right) \quad (2-4)$$

可以看出,几何均数相当于各观察值对数的均值再取反对数。对于频数表资料,若用 f_1, f_2, \cdots, f_k 及 x_1, x_2, \cdots, x_k 分别表示 1 至 k 组的频数及各组中位取值,则几何均数为

$$G = \lg^{-1} \left(\frac{f_1 \lg x_1 + f_2 \lg x_2 + \cdots + f_k \lg x_k}{n} \right) = \lg^{-1} \left(\frac{\sum f \lg x}{n} \right) \quad (2-5)$$

例 2-2 测得 10 个人的血清滴度的倒数分别为 2, 2, 4, 4, 8, 8, 8, 8, 32, 32, 求平均滴度。如果计算均数,其值为 $\bar{X} = 10.8$, 现计算几何均数为:

$$G = \lg^{-1} \left(\frac{\lg 2 + \lg 2 + \lg 4 + \lg 4 + \lg 8 + \lg 8 + \lg 8 + \lg 8 + \lg 32 + \lg 32}{10} \right) \approx 7$$

显然在这里均数不能代表其平均水平,选择几何均数则比较合适。故 10 份血清滴度的平均水平为 1:7。

例 2-3 某医师使用胎盘浸出液钩端螺旋体菌苗对 326 名农民接种 2 个月后测得血清 IgG 抗体滴度见表 2-3, 试计算平均抗体滴度。

表 2-3 胎盘浸出液钩端螺旋体菌苗接种 2 个月后血清 IgG 抗体滴度

IgG 滴度倒数	例数	IgG 滴度倒数	例数
20	16	320	54
40	57	640	25
80	76	1280	23
160	75		

$$G = \lg^{-1} \left(\frac{16 \lg 20 + 57 \lg 40 + 76 \lg 80 + 75 \lg 160 + 54 \lg 320 + 25 \lg 640 + 23 \lg 1280}{326} \right) \approx 139$$

即胎盘浸出液钩端螺旋体菌苗接种 2 个月后血清 IgG 抗体的平均滴度为 1:139。

几何均数在医学研究领域多用于血清学和微生物学中。有些明显呈偏态分布的资料经过对数变换后呈对称分布,也可以采用几何均数描述其平均水平,但要注意观察值中不能有 0 或负数,否则在作对数变换之前需要加一个常数。同一组观察值的几何均数总是小于它的算术均数。

三、中位数和百分位数

(一) 中位数

将一组观察值从小到大按顺序排列 $X_1 \leq X_2 \leq \dots \leq X_n$, 居中心位置的数值即为中位数 (median), 记为 M 。当观察例数 n 为奇数时, 中位数是按顺序排列在第 $(n+1)/2$ 项的观察值; 当观察例数为偶数时, 则中位数是按顺序排列在第 $n/2$ 项和第 $(n/2)+1$ 项之间, 即该两项的平均值。在全部观察值中有半数的值比 M 大, 另有半数的值比 M 小。例如, 现测得 5 个人的极低密度脂蛋白 (VLDL) 中的载脂 B 蛋白的含量 (mmol/L) 分别为 0.0095、0.0322、0.0617、0.0970、0.1085, 中位数等于 0.0617 mmol/L; 若仅测量了四个值 0.0095、0.0322、0.0617、0.0970, 则中位数为 $(0.0322 + 0.0617)/2 = 0.0470$ (mmol/L)。另外也可以根据频数表资料计算中位数。下面通过实例说明它的计算方法。

例 2-4 对某地 630 名 50~60 岁的正常女性检查了血清甘油三酯含量 (mmol/L), 资料如表 2-4 所示, 试计算其中位数。

表 2-4 某地 630 名正常女性血清甘油三酯含量 (mmol/L) 的频数表

甘油三酯 (1)	频数 (2)	累积频数 (3)	累积频率 (%) (4)
0.10~	27	27	4.29
0.40~	169	196	31.11
0.70~	167	363	57.62
1.00~	94	457	72.54
1.30~	81	538	85.40
1.60~	42	580	92.06
1.90~	28	608	96.51
2.20~	14	622	98.73
2.50~	4	626	99.37
2.80~	3	629	99.84
3.10~	1	630	100.00
合计	630	—	—

计算频数分布中位数的第一步是确定它所在区间的位置。资料总例数是 630, 其 50% 是 315, 当观察值按顺序排列时, 第 315 个观察值就是中位数 M (近似计算)。从累积频数分布可以看出, 第 315 个观察值处于 $[0.70, 1.00)$ 区间内, 第(4)栏的累积频率则更清楚地显示了它所在的区间。假定该区间内的观察值呈均匀分布, 因为在此区间之前有 196 例, 在区间内共有 167 例, 所以可以推想, 中位数位于该区间内离下限的距离为该区间宽度的 $(315 - 196)/167$ 处。为了得出中位数的值, 可将 $(315 - 196)/167$ 乘以区间宽度 0.30, 再将此乘积项加到所属区间的下限上去(参见图 2-2)。于是有:

$$M = 0.70 + \frac{630 \times 0.5 - 196}{167} \times 0.30 = 0.914 \text{ (mmol/L)}$$

一般, 可用以下公式计算中位数

$$M = L + \left(\frac{0.5n - f_L}{f_M} \right) i_M \quad (2-6)$$

式中, L 为 M 所在组段的下限, i_M 为组距, f_M 为频数, f_L 为之前各组段的累积频数。

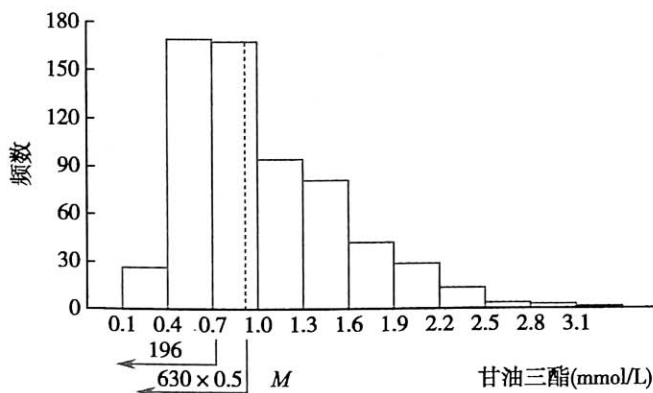


图 2-2 中位数计算方法示意图

(二) 百分位数

中位数可以用来描述一组观察值的中心位置。但有时我们还需要了解数据分布的其他位置, 如资料分布的左侧占全部观察值 25% 的位置, 这时可以通过计算百分位数(percentile)确定。百分位数用符号 P_x 表示, x 表示百分位, 所谓百分位数 P_x 是指在一组数据中找到这样一个值, 全部观察值的 $x\%$ 小于 P_x , 其余 $(100 - x)\%$ 大于 P_x 。如 P_{25} 表示资料在 P_{25} 位置左侧的累积频数占总数的 25%, 右侧占 75%。 P_{50} 实际就是中位数 M 。百分位数的计算原理与中位数完全相同, 对式(2-6)只需将中位数换成任意百分位数, 即

$$P_x = L + \left(\frac{nx\% - f_L}{f_x} \right) i_x \quad (2-7)$$

式中, L 为 P_x 所在组段的下限, i_x 为组距, f_x 为频数, f_L 为 P_x 所在组段之前各组段的累积频数。

需要注意: 根据频数表数据计算出的百分位数 P_x 是近似值, 实际计算中可以由计算机直接根据原始数据求出其准确值。

例 2-5 计算例 2-4 的百分位数 P_{25} 、 P_{75} 、 P_{90} 。

利用公式(2-7), 可分别求得:

$$P_{25} = 0.40 + \frac{630 \times 0.25 - 27}{169} \times 0.30 = 0.632 \text{ (mmol/L)}$$

$$P_{75} = 1.30 + \frac{630 \times 0.75 - 457}{81} \times 0.30 = 1.357 \text{ (mmol/L)}$$

$$P_{90} = 1.60 + \frac{630 \times 0.90 - 538}{42} \times 0.30 = 1.807 \text{ (mmol/L)}$$

(三) 中位数和百分位数的应用

1. 中位数与均数、几何均数的作用相同,都能用来反映一组数据的集中趋势或平均水平。由于中位数的确定仅取决于它在数据序列中的位置,而不是由全部观察值综合计算得出,因此不受少数特大或特小值的影响,在这一点上它优于均数。一般来说,在频数分布呈明显偏态或频数分布的两端无确定数值时,使用中位数描述集中趋势或平均水平较为合理。当变量呈对称分布时,理论上中位数和均数相同。但对于样本资料,由于计算均数时利用了所有的观察值,所以较中位数稳定。另外,中位数还有一个很大的缺点,即不便于作统计运算,如根据两组资料的不同中位数无法算出合并的中位数。因此在统计分析中,中位数不如均数应用广泛。

2. 百分位数可以用来描述资料的观察值序列在某百分位置的水平,中位数是其中的一个特例。多个百分位数结合使用常可以用来说明某一特定的问题,如用 P_{25} 和 P_{75} 描述资料的分散程度,用 $P_{2.5}$ 和 $P_{97.5}$ 规定医学 95% 的参考值范围;在研究青少年生长发育时用百分位数(P_5 , P_{25} , P_{75} , P_{95})划分等级等。百分位数可用于任何频数分布的资料,但靠近两端的百分位数仅在样本例数较大时才比较稳定(如 $n > 100$)。

第三节 变异程度的统计指标

实际中,除要了解观察值的平均水平外,往往还需要同时了解这些观察值之间的变异程度或偏离集中位置的程度。为了说明这一问题,看下面的例子。

例 2-6 对甲乙两名高血压患者连续观察 5 天,测得的收缩压分别如下:

甲患者(mmHg) 162 145 178 142 186 ($\bar{X}_甲 = 162.6$)

乙患者(mmHg) 164 160 163 159 166 ($\bar{X}_乙 = 162.4$)

从列出的数据可以看出,两人收缩压的均数几乎没有差别,但甲患者的血压波动比较大,而乙患者相对比较稳定。因此,描述一组观察值,除需要表示其平均水平外,还要说明它的变异情况。

衡量变异程度大小的指标有多种,但大体可以分为两类:一类是按间距计算,有极差和四分位数间距;另一类则按平均差距计算,有方差、标准差和变异系数等。

一、极 差

极差(range)也称作全距,即观察值中最大值和最小值之差,用符号 R 表示,是变异指标中最简单的一种。极差大说明变异程度大,反之说明变异程度小,如例 2-6 中甲乙两患者收缩压的极差分别为

$$R_甲 = 186 - 142 = 44 \text{ (mmHg)}$$

$$R_乙 = 166 - 159 = 7 \text{ (mmHg)}$$

可见甲患者收缩压的波动大,乙患者波动小。

极差的方法虽然简单,但在某些场合颇有实用价值,如用于说明传染病、食物中毒等的最短、最长潜伏期等。用极差说明数据分布的离散程度,简单明了、容易使用,但由于计算时仅用到了最大值和最小值,而没有利用观察值中的全部信息,随着观察例数的增多,抽到较大或较小数值的可能性越来越大,极差也会随之而变大,尤其当资料呈明显偏态分布时会显得更加不稳定,所以极差通常仅用于粗略地说明变量的波动范围。

二、四分位数间距

极差不稳定主要受观察值中两端极端数值的影响,如果将两端的数据去掉一定的比例,所得到的结果就会比较稳定。一种方法是把所有的观察值排序后,分成四个数目相等的段落,每个段落的观察值数目各占总例数的 25%,去掉两端的 25%,取中间 50% 观察值的数据范围即为四分位数间距(quartile range)。四分位数间距用符号 Q 表示,它可以通过计算百分位数 P_{75} 和 P_{25} 之差得到,即 $Q = P_{75} - P_{25}$ 。例如由上一节例 2-4 算出,50~60 岁正常女性血清甘油三酯含量的百分位数 P_{25} 和 P_{75} 的位置分别为 0.632mmol/L 和 1.357mmol/L, $Q = 1.357 - 0.632 = 0.725$ (mmol/L),说明有 50% 的女性甘油三酯在 0.632mmol/L 和 1.357mmol/L 之间,其四分位数间距为 0.725mmol/L。四分位数间距越大,说明数据的变异越大;反之,四分位数间距越小说明变异越小。

用四分位数间距作为说明个体差异的指标,与极差相比不易受极端值的影响,但仍未用到每一个具体的观察值,在统计分析中应用不够普遍。

三、方差

为了利用每一个观察值的信息,可以计算各观察值偏离平均数的平均差距,为了避免正负抵消,将每个观察值与均数之差的绝对值相加,然后取平均,即计算 $\sum |X - \bar{X}| / n$,这是一个很直观的变异量度,但由于用了绝对值,在数学上不便于处理。为此可以通过取平方来避免正负抵消,即使用方差(variance)衡量数据的变异程度,其计算公式为

$$S^2 = \frac{\sum (X - \bar{X})^2}{n-1} \quad (2-8)$$

其中,分子 $\sum (X - \bar{X})^2$ 称为离均差平方和(sum of squares),它描述了每个观测值相对于集中位置 \bar{X} 的分散程度。通过推导可化为下式

$$\sum (X - \bar{X})^2 = \sum X^2 - \frac{(\sum X)^2}{n} \quad (2-9)$$

式(2-8)的分母 $n-1$ 称为自由度(degree of freedom, 简称为 df),它表示在所有的 n 个离均差平方项中,由于样本均数 \bar{X} 的限制,只有 $n-1$ 个离均差平方和是独立的。 S^2 为样本方差(总体方差用 σ^2 表示),其值越大说明数据的变异越大。

四、标准差

方差是用取平方后的单位来表示的,如果血压的原始数据用毫米汞柱表示,则方差就是毫米汞柱的平方。在统计分析中为了方便,通常将方差取平方根,还原成与原始观察值单位相同的变异量度,其计算公式为

$$S = \sqrt{\frac{\sum (X - \bar{X})^2}{n-1}} \quad (2-10)$$

S 称为标准差(standard deviation),有时也记为 SD 。显然,一组观察值的标准差越大说明其变异程度越大。将式中的离均差平方和展开,标准差也可写为

$$S = \sqrt{\frac{\sum X^2 - (\sum X)^2/n}{n-1}} \quad (2-11)$$

例如对于例 2-6 有

$$\text{甲患者:} \quad \sum X = 162 + 145 + 178 + 142 + 186 = 813$$

$$\sum X^2 = 162^2 + 145^2 + 178^2 + 142^2 + 186^2 = 133\,713$$

$$S = \sqrt{\frac{133\,713 - 813^2/5}{5-1}} = 19.49(\text{mmHg})$$

乙患者:

$$\sum X = 164 + 160 + 163 + 159 + 166 = 812$$

$$\sum X^2 = 164^2 + 160^2 + 163^2 + 159^2 + 166^2 = 131\,902$$

$$S = \sqrt{\frac{131\,902 - 812^2/5}{5-1}} = 2.88(\text{mmHg})$$

说明甲患者血压波动比乙患者血压波动大。

如果是频数表资料,可用如下公式计算

$$S = \sqrt{\frac{\sum fx^2 - (\sum fx)^2/n}{n-1}} \quad (2-12)$$

式中 x 和 f 分别为各组段的组中值及出现的频数。

例 2-7 根据第一节表 2-2 的频数表资料,计算成年男子红细胞数的标准差。计算结果如下:

表 2-5 140 名正常成年男子红细胞计数($\times 10^{12}/L$)的标准差计算表

红细胞计数 (1)	组中值(x) (2)	频数(f) (3)	fx (4)	fx^2 (5)
3.80~	3.90	2	7.80	30.42
4.00~	4.10	6	24.60	100.86
4.20~	4.30	11	47.30	203.39
4.40~	4.50	25	112.50	506.25
4.60~	4.70	32	150.40	706.88
4.80~	4.90	27	132.30	648.27
5.00~	5.10	17	86.70	442.17
5.20~	5.30	13	68.90	365.17
5.40~	5.50	4	22.00	121.00
5.60~	5.70	2	11.40	64.98
5.80~6.00	5.90	1	5.90	34.81
合计		140	669.80	3224.20

由公式(2-12)得出,

$$S = \sqrt{\frac{3224.20 - 669.80^2/140}{140-1}} = 0.38(\times 10^{12}/L)$$

即所求标准差为 $0.38 \times 10^{12}/L$ 。

在变异指标中,标准差或方差是其他变异指标所不能比拟的。标准差能够直接用于代数运算,如根据来自同一总体的几个样本的标准差,可以直接求得合并样本的标准差,而不必根据合并样本重新计算。更为重要的是,标准差与正态分布有明确的关系,它与均数结合能够完整地概括一个正态分布。

五、变异系数

标准差与原始数据的量纲相同,在两组数据的均数相差不大、单位相同时,从标准差的大小就可以直接比较两个样本的变异程度。但是,有时我们需要对均数相差较大或单位不同的几组观察值的变异程度进行比较,这时使用标准差就不再适宜。在这种情况下可以使用变异系数(coefficient of variation, 简记为 CV),其计算公式为

$$CV = \frac{S}{\bar{X}} \times 100\% \quad (2-13)$$

例 2-8 测得某地成年人舒张压的均数为 77.5mmHg, 标准差为 10.7mmHg; 收缩压的均数为 122.9mmHg, 标准差为 17.1mmHg。试比较舒张压和收缩压的变异程度。

舒张压和收缩压是两个不同的指标, 尽管单位相同, 但均数相差较大, 如直接比较两个标准差, 会得出收缩压变异较大的结论。现计算两者的变异系数

$$\text{舒张压} \quad CV = \frac{10.7}{77.5} \times 100\% = 13.81\%$$

$$\text{收缩压} \quad CV = \frac{17.1}{122.9} \times 100\% = 13.91\%$$

可见两种指标的变异程度几乎没有什么差别。

练习题

一、单项选择题

- 某医学资料数据大的一端没有确定数值, 描述其集中趋势适用的统计指标是()
 - 中位数
 - 几何均数
 - 均数
 - P_{95} 百分位数
 - 频数分布
- 算术均数与中位数相比, 其特点是()
 - 不易受极端值的影响
 - 能充分利用数据的信息
 - 抽样误差较大
 - 更适用于偏态分布资料
 - 更适用于分布不明确资料
- 将一组计量资料整理成频数表的主要目的是()
 - 化为计数资料
 - 便于计算
 - 提供原始数据
 - 为能够更精确地检验
 - 描述数据的分布特征
- 6人接种流感疫苗一个月后测定抗体滴度为 1:20、1:40、1:80、1:80、1:160、1:320, 求平均滴度应选用的指标是()
 - 均数
 - 几何均数
 - 中位数
 - 百分位数
 - 倒数的均数
- 变异系数主要用于()
 - 比较不同计量指标的变异程度
 - 衡量正态分布的变异程度
 - 衡量测量的准确度
 - 衡量偏态分布的变异程度
 - 衡量样本抽样误差的大小
- 对于正态或近似正态分布的资料, 描述其变异程度应选用的指标是()
 - 变异系数
 - 离均差平方和
 - 极差
 - 四分位数间距
 - 标准差

7. 已知动脉硬化患者载脂蛋白 B 的含量(mg/dl)呈明显偏态分布,描述其个体差异的统计指标应使用()
- A. 全距
B. 标准差
C. 变异系数
D. 方差
E. 四分位数间距
8. 一组原始数据的分布呈正偏态分布,其数据的特点是()
- A. 数值离散度大
B. 数值离散度小
C. 数值偏向较大的方向
D. 数值偏向较小的方向
E. 数值分布不均匀
9. 对于正偏态分布总体,其均数与中位数的关系是()
- A. 均数与中位数相同
B. 均数大于中位数
C. 均数小于中位数
D. 两者有一定的数量关系
E. 两者的数量关系不定
10. 在衡量数据的变异度时,标准差与方差相比,其主要特点是()
- A. 标准差小于方差
B. 标准差大于方差
C. 标准差更容易计算
D. 标准差更为准确
E. 标准差的计量单位与原始数据相同

二、计算与分析

1. 现测得 10 名乳腺癌患者化疗后血液尿素氮的含量(mmol/L)分别为 3.43, 2.96, 4.43, 3.03, 4.53, 5.25, 5.64, 3.82, 4.28, 5.25, 试计算其均数和中位数。

2. 某地 100 例 30~40 岁健康男子血清总胆固醇值(mg/dl)测定结果如下:

202 165 199 234 200 213 155 168 189 170 188 168 184 147 219 174 130 183 178 174
228 156 171 199 185 195 230 232 191 210 195 165 178 172 124 150 211 177 184 149
159 149 160 142 210 142 185 146 223 176 241 164 197 174 172 189 174 173 205 224
221 184 177 161 192 181 175 178 172 136 222 113 161 131 170 138 248 153 165 182
234 161 169 221 147 209 207 164 147 210 182 183 206 209 201 149 174 253 252 156

(1) 编制频数分布表并画出直方图;

(2) 根据频数表计算均值和中位数,并说明用哪一个指标比较合适;

(3) 计算百分位数 P_5 、 P_{25} 、 P_{75} 、 P_{95} 。

3. 测得 10 名肝癌病人与 16 名正常人的血清乙型肝炎表面抗原(HBsAg)滴度如下表,试分别计算它们的平均滴度。

肝癌病人与正常人的血清乙肝表面抗原(HBsAg)滴度

滴度倒数	正常人数	肝癌病人数
8	7	1
16	5	2
32	1	3
64	3	2
128	0	1
256	0	1



4. 下表为 10 例垂体催乳素微腺瘤的病人手术前后的血催乳素浓度, 试说明用何种指标比较手术前后数据的变异情况较为合适。

手术前后患者血催乳素浓度

病例号	血催乳素浓度 (ng/ml)	
	术前	术后
1	276	41
2	880	110
3	1600	280
4	324	61
5	398	105
6	266	43
7	500	25
8	1760	300
9	500	215
10	220	92

(李 康 侯 艳)



第三章 正态分布与医学参考值范围

正态分布是自然界中最常见、最重要的一种连续型分布,是后面将要学习的各种统计推断方法的理论基础。在医学中,有很多生理生化指标服从或近似服从正态分布,如同性别健康成年人的身高、体重,红细胞计数和血红蛋白含量等。在变量服从正态分布情况下,可以很容易地确定其数值出现在任意指定范围内的概率,特别是可以应用于医学参考值范围的估计。

第一节 正态分布

正态分布(normal distribution)首先由德国数学家和天文学家德·莫阿弗尔(A.de Moiver, 1667—1754)于1733年提出。德国数学家高斯(Gauss, 1777—1855)虽然发现稍晚,但他迅速将正态分布应用于天文学,并对其性质作了进一步的研究,使正态分布的应用价值广为人知,因此,正态分布又称为高斯分布(Gaussian distribution)。

一、正态曲线

医学研究中许多变量的频数分布以均数为中心,表现为越接近均数频数分布越多,离均数越远频数分布越少,且左右两侧基本对称。由第二章图2-1可见,140名正常成年男子红细胞计数的频数分布就是以均数为中心,左右基本对称的。若将图2-1的纵轴由表2-2中的频数转换为频率,即可得到140名正常成年男子红细胞计数的频率分布图(图3-1),虽然两个图的纵坐标含义各异,但图的形状却完全相同。可以设想,随着观察人数的逐渐增多,组段不断细分,图3-1中的直条将逐渐变窄,其顶端中点连线越来越近似一条均匀连续的光滑曲线(图3-2)。图3-2中曲线的横轴表示测量指标 X ,纵轴表示概率密度函数(probability density function) $f(X)$, $f(X)=(f_i/n)/\Delta X_i$, f_i 和 ΔX_i 分别表示第 i 组的频数和组距, n 表示总例数,则图中各直条的面积恰好等于各自组段的频率($\Delta X_i f(X)=f_i/n$)。在例数较大的情况下频率可近似地看作概率,曲线下概率的总和等于1。若概率密度曲线表现为中间高,两边低,左右对称,略呈钟形,则近似于数学上的正态曲线(normal curve),在处理资料时,可把它看作是正态分布。

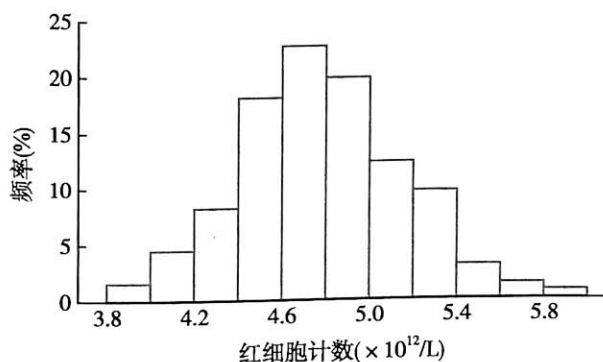


图3-1 频率分布图示意图

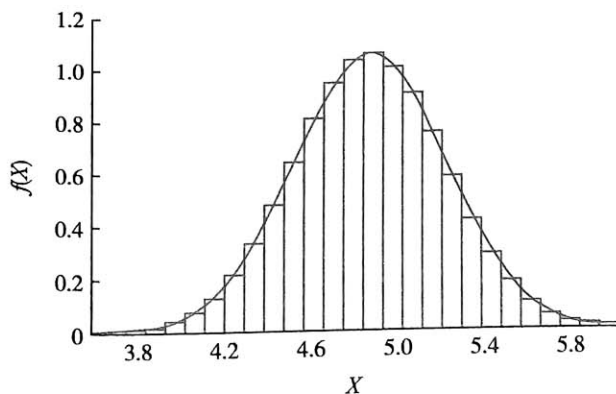


图3-2 概率密度曲线示意图

二、正态分布的特征

如果随机变量 X 的分布服从概率密度函数

$$f(X) = \frac{1}{\sigma\sqrt{2\pi}} e^{-\frac{1}{2}\left(\frac{X-\mu}{\sigma}\right)^2} \quad (-\infty < X < +\infty) \quad (3-1)$$

和概率分布函数

$$F(X) = \frac{1}{\sigma\sqrt{2\pi}} \int_{-\infty}^X e^{-\frac{1}{2}\left(\frac{X-\mu}{\sigma}\right)^2} dx \quad (-\infty < X < +\infty) \quad (3-2)$$

称连续型随机变量 X 服从正态分布, 记为 $X \sim N(\mu, \sigma^2)$, 式中 π 和 e 是两个常数, 分别为圆周率 ($\pi = 3.141592\cdots$) 和自然对数的底值 (e 近似等于 2.71828), μ 和 σ 为正态分布的两个参数, 其中 μ 为 X 的总体均数, σ^2 为 X 的总体方差, X 的取值范围理论上没有边界 ($-\infty < X < +\infty$), X 离 μ 越远, 函数 $f(X)$ 值越接近于 0, 但不会等于 0。

正态分布具有如下几个主要特征:

1. 正态分布是单峰分布, 以 $X = \mu$ 为中心, 左右完全对称, 正态曲线以 X 轴为渐近线, 两端与 X 轴不相交。

2. 正态曲线在 $X = \mu$ 处有最大值, 其值为 $f(\mu) = 1/(\sigma\sqrt{2\pi})$; X 越远离 μ , $f(X)$ 值越小, 在 $X = \mu \pm \sigma$ 处有拐点, 呈现为钟形。

3. 正态分布完全由两个参数 μ 和 σ 决定, μ 是位置参数, 描述正态分布的平均水平, 决定着正态曲线在 X 轴上的位置; σ 是形状参数, 描述正态分布的变异程度, 决定着正态曲线的分布形状。若 σ 固定而改变 μ , 曲线沿着 X 轴平行移动, 其形状不变, 改变的只是位置(图 3-3); 若 μ 固定而改变 σ , σ 越大曲线越“矮胖”, 表示数据越分散即变异越大, σ 越小曲线越“瘦高”, 表示数据越集中即变异越小(图 3-4)。因此, 不同的 μ 与不同的 σ 对应不同的正态分布。

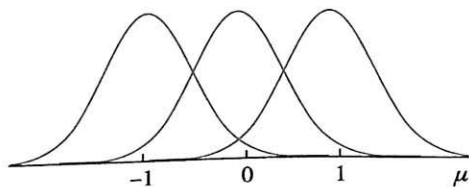


图 3-3 正态分布位置参数变化示意图($\sigma = 1$)

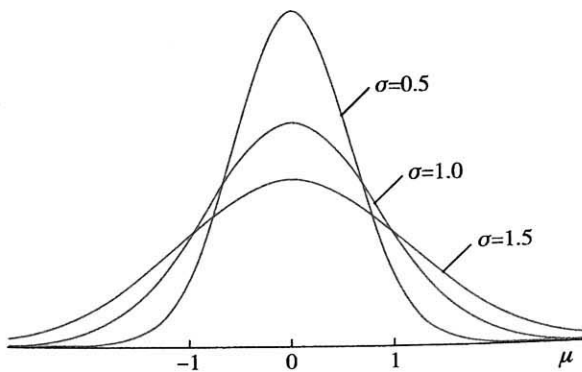


图 3-4 正态分布形状参数变化示意图($\mu = 0$)

4. 正态曲线下的面积分布有一定的规律。①曲线下的面积即为概率, 可通过式(3-2)求得, 服从正态分布的随机变量在某一区间上的曲线下面积与该随机变量在同一区间上的概率相等(图 3-5); ②曲线下的总面积为 1 或 100%, 以 μ 为中心左右两侧面积各占 50%, 越靠近 μ 处曲线下面积越大, 两边逐渐减少; ③所有正态曲线, 在 μ 左右的任意个标准差范围内面积相同: 区间 $\mu \pm \sigma$ 范围内的面积约为 68.27%, 区间 $\mu \pm 1.64\sigma$ 范围内的面积约为 90.00%, 区间 $\mu \pm 1.96\sigma$ 范围内的面积约为 95.00%, 区间 $\mu \pm 2.58\sigma$ 范围内的面积约为 99.00%(图 3-6)。

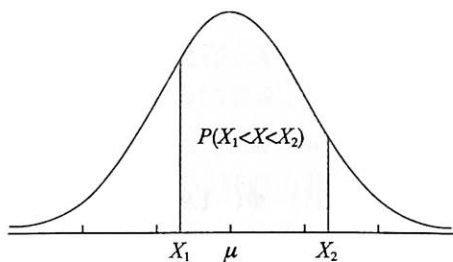


图 3-5 正态曲线下面积示意图

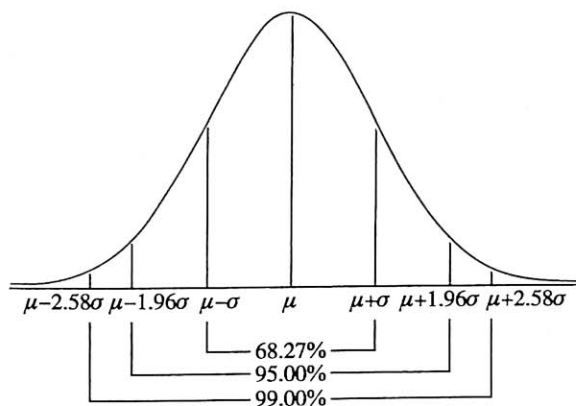


图 3-6 正态曲线下面积的分布规律示意图

三、标准正态分布

正态分布由两个参数 μ 和 σ 确定,对任意一个服从 $N(\mu, \sigma^2)$ 分布的随机变量 X ,经式(3-3)变换都可转换为 $\mu=0, \sigma=1$ 的标准正态分布(standard normal distribution),即

$$z = \frac{X - \mu}{\sigma} \quad (3-3)$$

式(3-3)变换,也称随机变量的标准化变换(standardized transformation)。z 的概率密度函数为

$$\varphi(z) = \frac{1}{\sqrt{2\pi}} e^{-\frac{z^2}{2}} \quad (-\infty < z < +\infty) \quad (3-4)$$

分布函数为

$$\Phi(z) = \frac{1}{\sqrt{2\pi}} \int_{-\infty}^z e^{-\frac{z^2}{2}} dz \quad (-\infty < z < +\infty) \quad (3-5)$$

实际应用中,经 z 变换可把求解任意一个正态分布曲线下面积的问题,转化成标准正态分布曲线下相应的面积问题(标准正态分布曲线下面积关系如图 3-7 所示)。附表 1 给出了标准正态分布曲线下 z 值左侧尾部面积,利用标准正态分布可求出原始变量 X 在任意区间的概率值。由于标准正态分布曲线以 0 为中心左右两侧完全对称,故表中只列出了 z 值的负数部分,当 $z > 0$ 时可以使用式(3-6)计算

$$\Phi(z) = 1 - \Phi(-z) \quad (3-6)$$

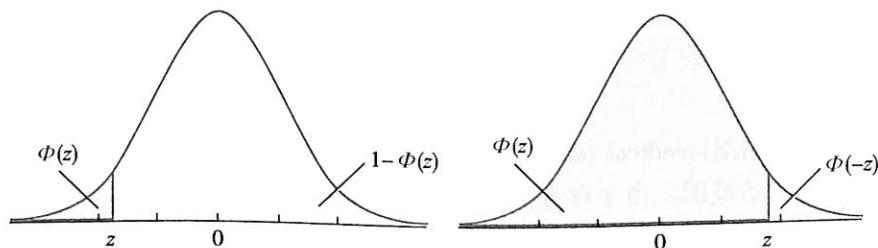


图 3-7 标准正态分布曲线下面积示意图

z 在区间 (z_1, z_2) 上的概率(曲线下的面积)计算公式为

$$P(z_1 < z < z_2) = \Phi(z_2) - \Phi(z_1) \quad (3-7)$$

当 μ 和 σ 未知时,可以利用样本均数 \bar{X} 和标准差 S 计算 z,即

$$z = \frac{X - \bar{X}}{S} \quad (3-8)$$

例 3-1 若 $X \sim N(\mu, \sigma^2)$, 试计算 X 取值在区间 $\mu \pm 1.96\sigma$ 上的概率。
先做标准化变换, 求 X 所对应的 z 值, 根据式(3-3)计算

$$z_1 = \frac{X_1 - \mu}{\sigma} = \frac{(\mu - 1.96\sigma) - \mu}{\sigma} = -1.96$$

$$z_2 = \frac{X_2 - \mu}{\sigma} = \frac{(\mu + 1.96\sigma) - \mu}{\sigma} = 1.96$$

通过查附表 1, 由式(3-6)和式(3-7)可得

$$P(-1.96 < z < 1.96) = \Phi(1.96) - \Phi(-1.96) = (1 - \Phi(-1.96)) - \Phi(-1.96)$$

$$= 1 - 2\Phi(-1.96) = 1 - 2 \times 0.025 = 0.95$$

即 X 取值在区间 $\mu \pm 1.96\sigma$ 上的概率为 95%。同理, $P(-2.58 < z < 2.58) = 0.99$, 即 X 取值在区间 $\mu \pm 2.58\sigma$ 上的概率为 99%。对于正态分布而言, 1.96 和 2.58 这两个数值经常会被用到。

例 3-2 已知某地 140 名正常成年男子红细胞计数近似服从正态分布, $\bar{X} = 4.78 \times 10^{12}/L$, $S = 0.38 \times 10^{12}/L$, 试估计: ①该地正常成年男子红细胞计数在 $4.0 \times 10^{12}/L$ 以下者占该地正常成年男子总数的百分比; ②红细胞计数在 $4.0 \times 10^{12}/L \sim 5.5 \times 10^{12}/L$ 者占该地正常成年男子总数的百分比。

求红细胞计数在某个范围内的人数占总人数的比例, 即是求此区间内正态曲线下的面积问题。

(1) 将 $X=4.0$ 代入式(3-8)得

$$z = \frac{X - \bar{X}}{S} = \frac{4.0 - 4.78}{0.38} = -2.05$$

于是问题转化成了求标准正态分布 z 值小于 -2.05 的概率, 查附表 1 得 $\Phi(-2.05) = 0.0202$, 表明该地成年男子红细胞计数低于 $4 \times 10^{12}/L$ 者约占该地正常成年男子总数的 2.02%。

(2) 分别计算 $X_1 = 4.0$ 和 $X_2 = 5.5$ 所对应的 z 值

$$P(4.00 < X < 5.50) = P\left(\frac{4.00 - 4.78}{0.38} < \frac{X - \mu}{\sigma} < \frac{5.50 - 4.78}{0.38}\right) = P(-2.05 < z < 1.89)$$

$$= (1 - \Phi(-1.89)) - \Phi(-2.05) = (1 - 0.0294) - 0.0202 = 0.9504$$

表明红细胞计数在 $4.0 \times 10^{12}/L \sim 5.5 \times 10^{12}/L$ 者约占该地正常成年男子总数的 95.04%。

第二节 医学参考值范围

一、医学参考值范围的概念

所谓医学参考值范围(medical reference range), 是指“正常”人的解剖、生理、生化指标等数据大多数个体值的波动范围。由于存在生物个体变异, 虽然都是“正常”人, 但指标的测量值也会有所不同, 即使是同一个体的数据, 也会随环境、时间等变化而改变, 因此不能以某一个测量数据作为标准, 而必须确定一个波动范围。医学参考值范围的确切含义是, 从选择的参照总体中获得的所有个体观察值, 用统计学方法建立百分位数界限, 由此得到个体观察值的波动区间。通常情况, 使用的是 95% 参考值范围。

确定医学参考值范围主要有两方面的意义: 一是基于临床实践, 从个体角度, 作为临床上判定正常与异常的参考标准, 即用于划分界限或分类, 如成年人的白细胞计数一般以 $(4.0 \sim 10.0) \times 10^9/L$ 作为医学参考值范围; 二是基于预防医学实践, 从人群角度, 可用来评价儿童的发育水平, 如制订不同年龄、不同性别儿童某项发育指标的等级标准。

二、制订医学参考值范围的注意事项

1. **确定同质的参照总体** 一般选择“正常”人,但需要注意的是,所谓正常不是指机体任何器官、组织的形态和机能都正常的人,而是指符合特定健康水平的人,绝对健康是不存在的,在每个人身上都可能存在着某种程度的病理状态,在使用或制定临床参考值范围时,“正常人”的健康水平应有明确的界定,主要是排除了对研究指标有影响的疾病或有关因素的同质人群。例如,制订血清谷丙转氨酶(SGPT)参考值范围,“正常”人的条件是:①无肝、肾、心、脑、肌肉等疾病;②近期末服用对肝脏有损伤的药物(如氯丙嗪,异烟肼等);③检测前未做剧烈运动。此外,在划分同质对象时,要注意地区、民族、性别、年龄、时间、妊娠等因素对指标的影响,例如红细胞计数及血红蛋白含量,男女各异,高原居民与平原居民不同。

2. **选择足够例数的参照样本** 参照样本含量的确定没有统一的规则,它与总体分布有关,若接近正态分布,变异度又不是很大,需要的样本含量就可以少一些;反之,若明显偏态或数据比较分散,需要的样本含量就相应地多一些。通常情况下,确定参考值范围需要大样本,如果例数过少,确定的参考值范围往往不够准确。

3. **控制检测误差** 为保证原始数据可靠,检测过程中要严格控制随机误差,避免系统误差和过失误差。一些受主观因素影响的指标,对测定的方法、分析仪器的灵敏度、试剂的纯度、操作的熟练程度等要尽可能做到标准化,对测量环境和条件有统一的规定和说明,且要尽量与应用医学参考值范围时的实际情况一致。如临床检验中应对收集样本的环境和生理条件(温度、季节、体育活动强度、饮食、妊娠等),收集、转运和储藏样品的方法及时间有明确的规定,可通过人员培训、控制检测条件、重复测定等措施,严格控制检测误差。

4. **选择单、双侧界值** 应依据专业知识确定是采用单侧还是双侧界值,即决定取单侧范围还是双侧范围值。例如,白细胞计数无论过高或过低均属异常,其参考值范围需分别确定下限和上限,即采用双侧界值;有些指标仅过大或过小为异常,如肺活量仅过低异常,血铅仅过高异常,只需确定下限或上限,即采用单侧界值。

5. **选择适当的百分数范围** 参考值范围是指绝大多数“正常”人(参照总体)测量值的所在范围。所谓的“绝大多数”究竟是多少,应结合专业知识,根据研究目的、研究指标的性质、数据分布特征等情况综合考虑百分数范围的选择,可以取80%、90%、95%或99%等,其中以95%最为常用。实际应用中最好结合“正常”人和病人的数据分布特点(图3-8和图3-9),权衡假阳性率和假阴性率,选择适当的百分数范围。若“正常”人与病人数据分布重叠较多,为避免较大的假阳性和假阴性错误率,有时还需确定可疑值范围。可疑值范围不宜过大,只要包括交叉重叠的主要部分即可,或根据研究目的以减小误诊率(假阳性率)或漏诊率(假阴性率)来选择,临床诊断试验中常用ROC曲线进行综合判定。如研究的主要目的是减少假阳性(用于确诊病人

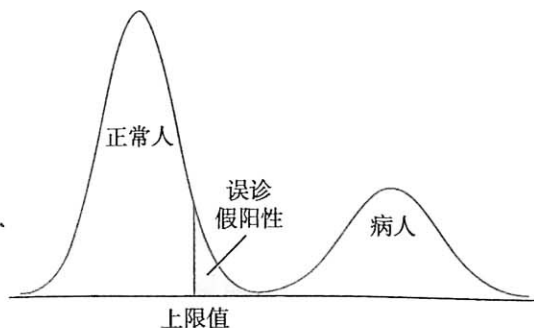


图3-8 两组人群的数据分布无重叠示意图

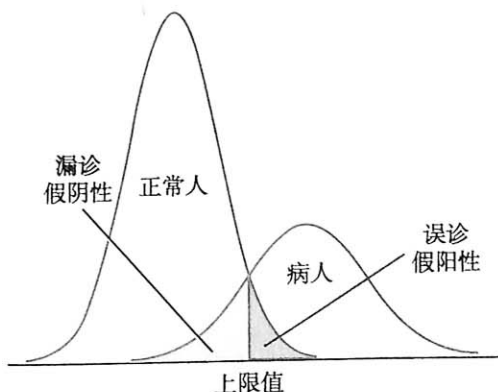


图3-9 两组人群的数据分布有重叠示意图

或选定科研病例), 参考值范围的百分数范围要取大一些(如 95% 或 99%); 如研究的主要目的是减少假阴性(用于初筛病人), 参考值范围的百分数范围可小一些(如 90% 或 80%)。

6. 选择计算参考值范围的方法 根据资料的分布类型, 样本含量的多少和研究目的等, 选用适当的方法确定参考值范围。近似服从正态分布或转换为正态分布的资料, 可选用正态近似法; 不服从正态分布的资料, 可选用百分位数法或曲线拟合法等进行计算。

三、医学参考值范围的计算方法

计算参考值范围的方法有多种, 其中最基本的有正态分布法和百分位数法。表 3-1 给出了两种方法 90%、95% 和 99% 百分数范围的计算公式。两种方法比较, 百分位数法适合于任何分布类型的资料, 故在实际中最为常用, 但由于参考值范围所涉及的常常是波动较大的两端数据, 使用百分位数法必须要有较大的样本含量, 否则结果不稳定; 正态分布法要求资料必须服从或近似服从正态分布, 优点是结果较稳定, 在样本含量不是很大的情况下仍然能够进行处理, 缺点是适用范围较窄, 不适合偏态分布资料。如偏态分布资料经变量变换(取对数、倒数等)能够转换为正态分布或近似正态分布, 依然可用正态分布法计算参考值范围。

表 3-1 医学参考值范围的正态分布法和百分位数法计算公式

概率 (%)	正态分布法			百分位数法		
	双侧	单侧		双侧	单侧	
		下限	上限		下限	上限
90	$\bar{X} \pm 1.64S$	$\bar{X} - 1.28S$	$\bar{X} + 1.28S$	$P_5 \sim P_{95}$	P_{10}	P_{90}
95	$\bar{X} \pm 1.96S$	$\bar{X} - 1.64S$	$\bar{X} + 1.64S$	$P_{2.5} \sim P_{97.5}$	P_5	P_{95}
99	$\bar{X} \pm 2.58S$	$\bar{X} - 2.33S$	$\bar{X} + 2.33S$	$P_{0.5} \sim P_{99.5}$	P_1	P_{99}

1. 正态分布法 对服从正态分布的指标, 可根据正态曲线下面积的分布规律进行参考值范围的计算, 具体步骤为: ①对资料进行正态性检验; ②若资料服从正态分布, 需计算均数 \bar{X} 与标准差 S ; ③按式(3-9)计算参考值范围。

$$\bar{X} \pm z_{\alpha/2}S \text{ (双侧)}, \bar{X} + z_{\alpha}S \text{ 或 } \bar{X} - z_{\alpha}S \text{ (单侧)} \quad (3-9)$$

例 3-3 已知某地 140 名正常成年男子红细胞计数近似服从正态分布, $\bar{X} = 4.78 \times 10^{12}/L$, $S = 0.38 \times 10^{12}/L$, 试估计该地正常成年男子红细胞计数的 95% 参考值范围。

近似正态分布资料可按正态分布法处理, 因红细胞计数值过大或过小均为异常, 故应估计双侧 95% 参考值范围:

$$\bar{X} \pm z_{0.05/2}S = 4.78 \pm 1.96 \times 0.38 = (4.04, 5.52)$$

即该地正常成年男子红细胞计数的 95% 参考值范围为 $4.04 \times 10^{12}/L \sim 5.52 \times 10^{12}/L$ 。

例 3-4 某年某地测得 100 名正常成年人的血铅含量 ($\mu\text{g}/\text{dl}$) 如下, 试确定该地正常成年人血铅含量的 95% 参考值范围。

4	4	5	5	6	6	7	7	7	7	7	8	8	8	8	8	8	9	9
10	10	10	10	10	10	10	10	11	11	11	12	13	13	13	13	13	13	13
13	13	14	14	14	15	15	16	16	16	16	16	16	16	16	17	17	17	17
18	18	18	18	19	20	20	20	20	21	21	22	22	22	23	24	24	25	25
26	26	27	27	28	28	29	30	30	31	31	32	32	32	33	35	41	44	50
																		51

根据经验已知正常成年人的血铅含量近似对数正态分布, 因此首先对原始数据作对数变换, 经正态性检验可知对数值服从正态分布 ($P > 0.50$), 故编制对数值频数表(表 3-2), 再利用正态分布法求 95% 参考值范围。

表 3-2 某年某地 100 名正常成年人血铅含量($\mu\text{g}/\text{dl}$)对数值频数表

对数组段	频数	累计频数
0.6~	4	4
0.7~	2	6
0.8~	5	11
0.9~	9	20
1.0~	12	32
1.1~	15	47
1.2~	18	65
1.3~	14	79
1.4~	12	91
1.5~	5	96
1.6~	3	99
1.7~1.8	1	100
合计	100	—

依据表 3-2, 设 X 为对数组段的组中值, $n=100$, $\sum fX=120$, $\sum fX^2=149.73$, 则对数值的均数和标准差为:

$$\bar{X} = \frac{\sum fX}{n} = \frac{120}{100} = 1.2 (\mu\text{g}/\text{dl})$$

$$S = \sqrt{\frac{\sum fX^2 - (\sum fX)^2/n}{n-1}} = \sqrt{\frac{149.73 - 120^2/100}{100-1}} = 0.2406 (\mu\text{g}/\text{dl})$$

因为血铅含量仅过大异常, 故参考值范围应为单侧, 求单侧 95% 上限值:

$$\lg^{-1}(\bar{X} + 1.64S) = \lg^{-1}(1.2 + 1.64 \times 0.2406) = 39.3173 (\mu\text{g}/\text{dl})$$

即该地正常成年人血铅含量 95% 参考值范围为小于 39.3173 $\mu\text{g}/\text{dl}$ 。

2. 百分位数法 当分析指标例数 n 较大时分布趋于稳定, 若不满足正态分布可采用百分位数法计算参考值范围。

例 3-5 依据表 2-4 某地 630 名 50~60 岁正常女性血清甘油三酯含量(mmol/L)的资料, 估计其血清甘油三酯含量的单侧 95% 参考值范围, 为该地 50~60 岁女性高血脂诊断与治疗提供参考依据。

本资料显现出血清甘油三酯含量数值偏小的人数较多, 呈正偏态分布, 故选用百分位数法计算参考值范围, 依据专业知识, 为该地 50~60 岁女性高血脂诊断与治疗提供参考依据应计算单侧 95% 界值 P_{95} 。

$$P_{95} = 1.90 + (630 \times 95\% - 580) / 28 \times 0.30 = 2.098 (\text{mmol}/\text{L})$$

即该地 50~60 岁正常女性血清甘油三酯含量的单侧 95% 参考值范围为小于 2.098 mmol/L 。

许多统计方法都要求资料服从正态分布或近似正态分布, 在使用这些方法之前需对资料进行正态性判定, 尤其是在样本含量较小时, 对各组数据要分别予以考察。如有充足的专业知识和经验得知某些医学指标(身高、体重、血常规检测指标等)服从正态分布, 或样本含量足够大时, 可不必再作正态性判定。正态性判定的方法有两类: 一是图示法, 图示法简单易行但比较粗糙, 依据对频数表和直方图的目测或绘制概率-概率图(probability-probability plot, P-P plot)和分位数-分位数图(quantile-quantile plot, Q-Q plot), 可粗略了解观察资料是否服从正态分布; 二是算法, 即通过计算反映正态分布特征的指标对观察资料是否服从正态分布做出推断, 常采用矩法、 W 检验和 D 检验等正态性检验方法, 对此可利用统计软件获得计算结果。

练习题

一、单项选择题

- 正态曲线下,横轴上从均数到 $+\infty$ 的面积为()
A. 50% B. 95% C. 97.5% D. 99%
E. 不能确定(与标准差的大小有关)
- 标准正态分布的形状参数和位置参数分别为()
A. 0, 1 B. 1, 0 C. μ, σ D. σ, μ E. S, \bar{X}
- 正态分布的均数、中位数和几何均数之间的关系为()
A. 均数与几何均数相等 B. 均数与中位数相等
C. 中位数与几何均数相等 D. 均数、中位数、几何均数均不相等
E. 均数、中位数、几何均数均相等
- 正常成年男子的红细胞计数近似服从正态分布,已知 $\bar{X}=4.78 \times 10^{12}/L$, $S=0.38 \times 10^{12}/L$, $z=(4.00-4.78)/0.38=-2.05$, $1-\Phi(z)=1-\Phi(-2.05)=0.9798$,则理论上红细胞计数为()
A. 高于 $4.78 \times 10^{12}/L$ 的成年男子占 97.98%
B. 低于 $4.78 \times 10^{12}/L$ 的成年男子占 97.98%
C. 高于 $4.00 \times 10^{12}/L$ 的成年男子占 97.98%
D. 低于 $4.00 \times 10^{12}/L$ 的成年男子占 97.98%
E. 在 $4.00 \times 10^{12}/L$ 至 $4.78 \times 10^{12}/L$ 的成年男子占 97.98%
- 某项指标 95% 医学参考值范围表示的是()
A. 在此范围“异常”的概率大于或等于 95%
B. 在此范围“正常”的概率大于或等于 95%
C. 在“异常”总体中有 95% 的人在此范围之外
D. 在“正常”总体中有 95% 的人在此范围
E. 在人群中检测指标有 5% 的可能超出此范围
- 确定某项指标的医学参考值范围时,“正常人”指的是()
A. 从未患过疾病的人 B. 患过疾病但不影响研究指标的人
C. 排除了患过某种疾病的人 D. 排除了影响研究指标的疾病或因素的人
E. 健康状况良好的人
- 某人群某项生化指标的医学参考值范围,该指标指的是()
A. 在所有人中的波动范围 B. 在所有正常人中的波动范围
C. 在绝大部分正常人中的波动范围 D. 在少部分正常人中的波动范围
E. 在一个人不同时间的波动范围
- 要评价某地区一名 5 岁男孩的身高是否偏高,其统计学方法是()
A. 用均数来评价 B. 用中位数来评价
C. 用几何均数来评价 D. 用变异系数来评价
E. 用参考值范围来评价
- 应用百分位数法计算参考值范围的条件是()
A. 数据服从正态分布 B. 数据服从偏态分布
C. 有大样本数据 D. 数据服从对称分布
E. 数据变异不能太大



第四章 定性数据的统计描述

在医学研究中,除了前述的定量数据,还有如阴性和阳性、有效和无效、治愈和未治愈、死亡和生存以及各种疾病分类等类型的定性数据。对这些数据的整理往往是先将研究对象按其性质或特征分类,再分别计数每一类的例数。描述定性数据的数据特征,通常需要计算相对数。根据不同的研究目的,常用率、构成比、相对比等指标来进行统计描述。

第一节 常用相对数

相对数(relative number)是两个有关的绝对数之比,也可以是两个有关联统计指标之比。相对数的性质取决于其分子和分母的意义,不同类型的相对数具有不同的性质。计算相对数的意义主要是把基数化作相等,便于相互比较。例如,某病用 A 法治疗 100 人,其中 75 人有效, B 法治疗 150 人, 100 人有效,若仅比较两组有效的绝对人数是不恰当的,而通过分别计算有效率 $75/100 \times 100\% = 75\%$ 与 $100/150 \times 100\% = 66.7\%$ 来比较两法的疗效才有实际意义。常用的相对数指标有率、构成比和相对比。

一、率

率(rate)表示在一定空间或时间范围内某现象的发生数与可能发生的总数之比,说明某现象出现的强度或频率,通常以百分率(%),千分率(‰),万分率(1/万),或十万分率(1/10万)等来表示。计算公式为

$$\text{率} = \frac{\text{某事物或现象发生的实际数}}{\text{某事物或现象发生的所有可能数}} \times \text{比例基数} \quad (4-1)$$

公式中的“比例基数”通常依据习惯而定,如治愈率、感染率用百分率,出生率、死亡率用千分率,某些疾病的死亡率用十万分率。总体率用 π 来表示,样本率用 P 来表示。需要注意的是,率在更多情况下是一个具有时间概念的指标,即用于说明在一段时间内某现象发生的强度或频率,如出生率、死亡率、发病率等,这些指标通常是指在 1 年时间内发生的频率。

例 4-1 某单位在 2009 年有 3128 名职工,该单位每年对职工进行体检,在这一年新发生高血压病人 12 例,则

$$\text{高血压发病率} = \frac{12}{3128} \times 1000\% = 3.84\%$$

二、构成比

构成比(proportion)表示某事物内部各组成部分在整体中所占的比重,常以百分数表示,计算公式为

$$\text{构成比} = \frac{\text{该事物内部某一组成部分的观察单位数(例数)}}{\text{某事物内部的所有观察单位之和(例数之和)}} \times 100\% \quad (4-2)$$

例 4-2 某医院某月住院病人数及死亡人数如表 4-1 所示,其中第(4)列为构成比,是由第(3)列数据计算而得。第(5)列为率,是由第(2)与第(3)列数据计算而得。

由表 4-1 中的第(4)与第(5)列可看出,构成比和率虽然同是相对数,但却是两种不同的概念,应用的场合不同,应特别注意。构成比之和应为 100%,某一构成部分的增减会影响其他构

表 4-1 某医疗机构某月住院病人数及死亡人数统计

疾病类型 (1)	病人数 (2)	病死人数 (3)	死亡构成(%) (4)	病死率(‰) (5)
呼吸系统疾病	620	25	23.81	40.32
循环系统疾病	1030	35	33.33	33.98
消化系统疾病	540	20	19.05	37.04
恶性肿瘤	300	25	23.81	83.33
合计	2490	105	100.00	42.17

成部分相应的减少或增加;而某一部分率的变化并不影响其他部分率的变化,且其平均率不能简单地将各率相加后平均求得。这里需要注意的是,死因构成比只能说明某病死亡人数在总死亡人数中所占比重,如果需要描述其致死的严重程度,则要计算病死率。

三、相对比

相对比(relative ratio)是 A、B 两个有关联指标值之比,用以描述两者的对比水平,说明 A 是 B 的若干倍或百分之几,通常用倍数或百分数表示。这两个指标可以性质相同,如不同时期的患病人数之比,也可以性质不同,如体重与身高的平方之比(体重指数, BMI)。其计算公式为

$$\text{相对比} = \frac{A}{B} (\times 100\%) \quad (4-3)$$

1. 两类别例数之比 如我国 2010 年人口普查的男性人口数为 686 852 572 人,女性人口数为 652 872 280 人,则

$$\text{男女性别比} = \frac{686\,852\,572}{652\,872\,280} = 1.052$$

即男性人口数是女性的 1.052 倍。

2. 相对危险度(relative risk, 简记为 RR) 是流行病学前瞻性研究中常用的指标,表示在两种不同条件下某疾病发生的概率之比,反映暴露组发病或死亡的危险是非暴露组的多少倍,说明疾病与暴露之间的关联强度。其计算公式为

$$RR = \frac{P_1}{P_0} \quad (4-4)$$

其中 P_1 为暴露组的发病率或患病率, P_0 为非暴露组的发病率或患病率。

例 4-3 某地区非吸烟女性饮酒者和不饮酒者的肺癌发病资料如表 4-2 所示,试计算其相对危险度。

表 4-2 某地区非吸烟女性饮酒者和不饮酒者的肺癌发病资料

饮酒与否	发病数	观察人年数	发病率(1/10 万人年)
是	6	12 965.2	46.3
否	265	660 291.4	40.1

相对危险度为

$$RR = \frac{46.3}{40.1} = 1.15$$

说明该地区非吸烟女性饮酒者的肺癌发病率是非吸烟女性不饮酒者的 1.15 倍。

3. 比值比(odds ratio, 简记为 OR) 常用于流行病学中病例-对照研究资料,表示病例组和对照组中的暴露比例与非暴露比例的比值之比,是反映疾病与暴露之间关联强度的指标。其计算公式为

$$OR = \frac{P_1/(1-P_1)}{P_0/(1-P_0)} \quad (4-5)$$

其中 P_1 为病例组的暴露比例, P_0 为对照组的暴露比例。另外, P_1 也可定义为在暴露状态下的发病率, P_0 为在非暴露状态下的发病率, 两种定义的计算结果完全相同。

例 4-4 母亲围孕期是否有发热或感冒病史与婴儿神经血管畸形关系的病例对照研究的资料如表 4-3 所示, 试计算母亲围孕期是否有发热或感冒病史引起婴儿神经血管畸形的比数比。

表 4-3 母亲围孕期是否有发热或感冒病史与婴儿神经血管畸形的关系

发热或感冒病史	神经血管畸形组	对照组	合计
有	40(a)	20(b)	60
无	112(c)	203(d)	315
合计	152(a+c)	223(b+d)	375

病例组中的暴露比例与非暴露比例分别为

$$P_1 = \frac{a}{a+c}, 1-P_1 = \frac{c}{a+c}$$

对照组的暴露比例与非暴露比例分别为

$$P_0 = \frac{b}{b+d}, 1-P_0 = \frac{d}{b+d}$$

由公式(4-5)可以得出

$$OR = \frac{P_1/(1-P_1)}{P_0/(1-P_0)} = \frac{[a/(a+c)]/[c/(a+c)]}{[b/(b+d)]/[d/(b+d)]} = \frac{ad}{bc} \quad (4-6)$$

本例

$$OR = \frac{40 \times 203}{20 \times 112} = 3.63$$

即母亲围孕期是否有发热或感冒病史引起婴儿神经血管畸形的优势比为 3.63 倍。

四、标准化率

在比较两个不同人群的患病率、发病率、死亡率等资料时, 为消除其内部构成(如年龄、性别、工龄、病程长短、病情轻重等)对率的影响, 可以使用标准化率(standardized rate)。

例 4-5 甲、乙两医院治愈率比较的资料如表 4-4 所示。

表 4-4 甲、乙两医院治愈率的比较

科室	甲医院			乙医院		
	入院人数	治愈人数	治愈率(%)	入院人数	治愈人数	治愈率(%)
内科	1500	975	65.0	500	315	63.0
外科	500	470	94.0	1500	1365	91.0
传染病科	500	475	95.0	500	460	92.0
合计	2500	1920	76.8	2500	2140	85.6

从表 4-4 可以看出, 对于任何一科室, 甲医院的治愈率均高于乙医院, 但甲医院的总治愈率却低于乙医院, 这种偏差源于两医院科室内部构成不同, 即甲医院内科人数较多而导致总治愈率偏低。若将两医院治愈率直接进行比较, 结果显然是不合理的。为了正确比较两医院治愈率的大小, 统计学上常用标准化的方法来消除内部构成的影响, 即先将两医院科室的构成按照统一的标准进行校正, 计算出校正的标准化治愈率后再进行比较。

常用的标准化法包括直接标准化法和间接标准化法,根据已有资料的实际情况,可以采用其中一种方法。本节仅介绍常用的直接法。

1. 标准化直接法的计算公式为

$$P' = \frac{N_1P_1 + N_2P_2 + \dots + N_kP_k}{N} = \frac{\sum N_iP_i}{N} \quad (4-7)$$

式中 P' 为标准化率, N_1, N_2, \dots, N_k 为某一影响因素(如病型、年龄等)标准构成的每层例数, P_1, P_2, \dots, P_k 为原始数据中各层的率, N 为标准构成的总例数。上式也可写成

$$P' = C_1P_1 + C_2P_2 + \dots + C_kP_k = \sum C_iP_i \quad (4-8)$$

式中, $C_i = N_i/N$ 为标准构成比。

2. 标准构成的选取 标准化法计算的关键是选择统一的标准构成,选取标准构成的方法通常有下面三种:

(1) 选取有代表性的、较稳定的、数量较大的人群构成为标准构成,如全国范围或全省范围的数据作为标准构成;

(2) 选择用于比较的各组例数合计作为标准构成;

(3) 从比较的各组中任选其一作为标准构成。

例 4-6 试对表 4-4 资料计算甲乙两个医院的标准化率。

将比较各组的各层例数的合计作为标准构成,即将两医院各科室的人数之和作为标准构成,根据两医院各层的治愈率,计算两医院各层的预期治愈数,最后得到两组标准化后的预期治愈数,其计算结果如表 4-5 所示。

表 4-5 消除构成影响后两医院治愈率的比较

科室	标准构成 人数	甲医院		乙医院	
		原治愈率(%)	预期治愈数	原治愈率(%)	预期治愈数
内科	2000	65.0	1300	63.0	1260
外科	2000	94.0	1880	91.0	1820
传染病学	1000	95.0	950	92.0	920
合计	5000		4130		4000

按公式(4-7)计算得到甲医院标准化后的总治愈率为

$$P'_{\text{甲}} = \frac{4130}{5000} \times 100\% = 82.6\%$$

乙医院标准化后的总治愈率为

$$P'_{\text{乙}} = \frac{4000}{5000} \times 100\% = 80.0\%$$

由上可见,甲医院标准化后的总治愈率高于乙医院标准化后的总治愈率。需要注意:标准化率只代表相互比较的各组间的相对水平,而不能反映实际情况;另外,选用的标准不同,得到的标准化率可能不同。

第二节 医学中常用的相对数指标

一、死亡统计指标

1. 死亡率(mortality rate) 又称粗死亡率(crude death rate),表示某年某地每千人口中的死亡人数,反映当地居民总的死亡水平,计算公式为

$$\text{死亡率} = \frac{\text{某年某地死亡人口总数}}{\text{同年该地年平均人口数}} \times 1000\% \quad (4-9)$$

计算死亡率时需注意分母必须是与分子相对应的人口, 同年平均人口等于年初人口和年末人口的平均值, 在实际工作中, 常以计算平均人口数, 表示某一年的人口数量水平。一般情况下, 老人和婴儿的死亡率较高, 男性的死亡率高于女性。因此, 对不同地区的死亡率进行比较时, 应注意不同地区人口年龄或性别构成的影响, 若年龄或性别构成存在差异, 需先将死亡率标准化后再进行比较。

2. **年龄别死亡率**(age-specific death rate) 表示某年某地每千人口中的死亡数, 它消除了人口年龄构成不同对死亡水平的影响, 计算公式为

$$\text{年龄别死亡率} = \frac{\text{某年某地某年龄组死亡人数}}{\text{同年该地同年年龄别平均人口数}} \times 1000\% \quad (4-10)$$

3. **死因别死亡率**(cause specific death rate) 表示某年某地每 10 万人中因某种疾病死亡的人数, 它反映各类病伤死亡对居民生命的危害程度, 是死因分析的重要指标, 计算公式为

$$\text{某病死亡率} = \frac{\text{某年某地某病死亡人数}}{\text{同年该地平均人口数}} \times 100\,000/10\text{万} \quad (4-11)$$

4. **死因构成**(proportion of dying of a specific cause) 也称相对死亡比, 指全部死亡人数中, 死于某死因者占总死亡数的百分比, 反映各种死因的相对重要性, 计算公式为

$$\text{某种死因的构成比} = \frac{\text{因某种死因死亡的人数}}{\text{总死亡人数}} \times 100\% \quad (4-12)$$

二、疾病统计指标

1. **发病率**(incidence rate) 表示在一定期间内, 一定人群中某病新发生的病例出现的频率, 是反映疾病对人群健康影响和描述疾病分布状态的一项测量指标。其计算公式为

$$\text{某病发病率} = \frac{\text{某时期某病新病例数}}{\text{同期间内平均人口数}} \times \text{比例基数} \quad (4-13)$$

需要注意的是, 分母中所规定的平均人口是指可能会发生该病的人群, 对于那些正在患病或不可能患该病的人(如已接种疫苗有效者)不应计算入分母内。

2. **患病率**(prevalence rate) 也称现患率, 表示某一时点某人群中患某病的频率, 通常用来表示病程较长的慢性病的发生或流行情况, 计算公式为

$$\text{某病患病率} = \frac{\text{某地某时点某病患病例数}}{\text{该地同期内平均人口数}} \times \text{比例基数} \quad (4-14)$$

以上比例基数可为 100%、1000‰、10 000/万、100 000/10 万, 应根据流行病学的专业要求决定。实际中患病率的分母通常为调查的总人数, 分子为患病的人数。

3. **病死率**(case fatality rate) 表示某期间内, 某病患者中因该病死亡的频率, 表明该疾病的严重程度和医疗水平等, 多用于急性传染病, 计算公式为

$$\text{某病病死率} = \frac{\text{某期间因某病死亡人数}}{\text{同期该病的患病人数}} \times 100\% \quad (4-15)$$

4. **治愈率**(cure rate) 表示接受治疗的病人中治愈的频率, 计算公式为

$$\text{治愈率} = \frac{\text{治愈病人数}}{\text{接受治疗病人数}} \times 100\% \quad (4-16)$$

第三节 相对数指标使用的注意事项

1. 不要把构成比与率相混淆 构成比只能说明某事物内部各组成部分的比重和分布,不能说明该事物某一部分发生的强度与频率。如表 4-1,从第(4)列的构成可看出循环系统疾病的病死人数占全院病死人数的比例最大,但从第(5)列各类疾病的病死率来看,恶性肿瘤的病死率最高,它反映了各类疾病死亡危险性的大小。

2. 使用相对数时分母不宜过小 分母过小时相对数不稳定。如使用某药物治疗 5 例病人中 4 例有效,计算有效率为 80%,若 3 例有效,则有效率为 60%,虽然只有 1 例的变化,但是波动幅度较大。因此,在观察例数较小时,最好直接用绝对数表示,以免引起误解。

3. 注意资料的可比性 在比较相对数时,用以比较的资料应是同质的,即除了要比较的处理因素外,其他条件应尽量相同或相近。对不同时期、地区、条件下的资料进行比较时应注意观察对象、研究方法、观察时间等是否齐同,尤其对于不同时期的资料应考虑客观条件是否相同。同时还应观察待比较组间的资料内部构成是否相同,如两组间年龄等构成不同,可分别比较各年龄别的率或者对总率进行标准化后再比较。

4. 样本率或构成比存在抽样误差 对样本率或构成比进行比较时,由于存在抽样误差,不能单凭数字表面相差的大小而下结论,应对各组的样本率或构成比的差别作假设检验(参见第九章)。

练习题

一、单项选择题

- 如果一种新的治疗方法能够使不能治愈的疾病得到缓解并延长生命,则应发生的情况是()
 - 该病患病率增加
 - 该病患病率减少
 - 该病的发病率增加
 - 该病的发病率减少
 - 该疾病的死因构成比增加
- 计算乙肝疫苗接种后血清学检查的阳转率,分母为()
 - 乙肝易感人数
 - 平均人口数
 - 乙肝疫苗接种人数
 - 乙肝患者人数
 - 乙肝疫苗接种后的阳转人数
- 计算标准化死亡率的目的是()
 - 减少死亡率估计的偏倚
 - 减少死亡率估计的抽样误差
 - 便于进行不同地区死亡率的比较
 - 消除各地区内部构成不同的影响
 - 便于进行不同时间死亡率的比较
- 已知男性的钩虫感染率高于女性,今欲比较甲乙两乡居民的钩虫感染率,但甲乡女性居多,而乙乡男性居多,适当的比较方法是()
 - 两个率直接比较
 - 两个率间接比较
 - 直接对感染人数进行比较
 - 计算标准化率比较
 - 不具备可比性
- 甲县恶性肿瘤粗死亡率比乙县高,经标准化后甲县恶性肿瘤标准化死亡率比乙县低,其原

- 因最有可能是()
- 甲县的诊断水平高
 - 甲县的肿瘤防治工作比乙县好
 - 甲县的人口健康水平高
 - 甲县的老年人口在总人口中所占比例更小
 - 甲县的老年人口在总人口中所占比例更大
6. 相对危险度 RR 的计算方法是()
- 两个标准化率之比
 - 两种不同疾病的发病人数之比
 - 两种不同疾病患病率之比
 - 两种不同疾病发病率之比
 - 两种不同条件下某疾病发生的概率之比
7. 比数比 OR 值表示的是()
- 两个标准化率的差别大小
 - 两种不同疾病的发病率差别程度
 - 两种不同疾病患病率差别程度
 - 两种不同疾病的严重程度
 - 两种不同条件下某疾病发生的危险性程度
8. 计算患病率时的平均人口数的计算方法是()
- 年初人口数和年末人口数的平均值
 - 全年年初的人口数
 - 全年年末的人口数
 - 生活满一年的总人口数
 - 生活至少在半年以上的总人口数
9. 死因构成比反映的是()
- 各种疾病发生的严重程度
 - 疾病发生的主要原因
 - 疾病在人群的分布情况
 - 各种死因的相对重要性
 - 各种疾病的死亡风险大小
10. 患病率与发病率的区别是()
- 患病率高于发病率
 - 患病率低于发病率
 - 计算患病率不包括新发病例
 - 发病率更容易获得
 - 患病率与病程有关

二、计算与分析

1. 为了解某单位职工冠心病的患病情况,对全体职工进行体检后发现,在该单位 1290 名职工中,患冠心病的有 305 人,其中女性 110 人,占 36%,男性 195 人,占 64%,因此认为男性易患冠心病,这种结论是否正确?为什么?

2. 在“锑剂短程疗法治疗血吸虫病病例的临床分析”一文中,根据下表资料认为“其中 10~ 岁组死亡率最高,其次为 20~ 岁组”,问这种说法是否正确?

锑剂治疗血吸虫不同性别死亡者年龄分布

年龄组(岁)	男	女	合计
0~	3	3	6
10~	11	7	18
20~	4	6	10
30~	5	3	8
40~	1	2	3
50~	5	1	6
合计	29	22	51

3. 某市对其某区的各型病毒性肝炎的疫情资料进行分析结果如下表所示,发现 1998 年与 2007 年相比,甲肝、乙肝和未分型病毒性肝炎的构成比均有所下降,而丙肝和戊肝的构成比则呈上升趋势,尤其以丙肝的构成比上升最明显。若据此得出“乙肝发病率下降,丙肝发病率上升”的结论,是否正确?请陈述理由。

某市某区 1998 年和 2007 年病毒性肝炎发病情况

疾病	1998 年		2007 年	
	发病数	构成比 (%)	发病数	构成比 (%)
甲肝	21	5.53	6	4.92
乙肝	182	47.89	42	34.43
丙肝	1	0.26	11	9.02
戊肝	13	3.42	41	33.61
未分型	163	42.89	22	18.03
合计	380	100.00	122	100.00

4. 现有两个煤矿的工人尘肺患病率(%)如下表所示,试比较两个煤矿的工人尘肺总的患病率。

两个煤矿的工人尘肺患病率情况 (%)

工龄 (年)	甲矿			乙矿		
	检查人数	尘肺人数	患病率 (%)	检查人数	尘肺人数	患病率 (%)
0~	14026	120	0.86	992	2	0.20
6~	4285	168	3.92	1905	8	0.42
10~30	2542	316	12.43	1014	117	11.54
合计	20853	604	2.90	3911	127	3.25

5. 现有甲乙两地某月居民的粗死亡率资料如下表所示,试比较两地死亡率水平高低。

甲乙两地某月粗死亡率比较

年龄 (岁)	甲地区			乙地区		
	死亡数	人口数	死亡率(‰)	死亡数	人口数	死亡率(‰)
0~	20	1000	20	180	6000	30
25~	120	3000	40	150	3000	50
65~	360	6000	60	70	1000	70
合计	500	10000	50	400	10000	40

(马 骏)



第五章 统计表与统计图

统计表和统计图是统计描述的重要工具。在统计工作的整个过程中,从实验设计或调查设计开始,直到最后分析总结,为突出数据的说服力,都要用统计表和统计图进行描述,尤其在科研论文中,表达统计结果及进行对比分析时,应用更为广泛。目前统计表和统计图的制作主要使用统计软件,因此本章对有关手工制作的方法不作介绍。

第一节 统计表

统计表(statistical table)是把统计资料 and 结果用表格的形式进行表达,其目的是简洁、清晰、直观,方便对比和阅读。统计表有基本的制作要求,并不是把数据放到表格里就形成统计表。同时也要注意,不是所有的数据都需要制作统计表,应该有选择性地对重点要表达的数据制作统计表。

一、统计表的编制原则和结构

(一) 统计表的编制原则

1. 重点突出,简单明了,即一张表一般只表达一个中心内容和一个主题。若内容过多,可分别制成若干张表。

2. 主谓分明,层次清楚。统计表虽然是表格的形式,但其内涵代表的是若干完整的文字语句,因此,主谓语的位置要准确。一般来说,定语部分放在标题内,主语放在表的左边作为横标目,谓语放在右边作为纵标目,横标目与纵标目交叉的格子放置数据,从左向右读,每一行便形成一个完整的句子。标目的安排及分组要层次清楚,符合逻辑,便于分析比较。

3. 数据表达规范,文字和线条尽量从简。

(二) 统计表的结构

从外形上看,统计表可由标题、标目(包括横标目、纵标目)、线条、数字和备注 5 部分构成,见表 5-1。

表 5-1 试验药与对照药治疗帕金森病临床疗效的有效率比较

组别	例数	有效例数	无效例数	有效率(%)
对照组	103	17	86	16.51
试验组	105	74	31	70.48
合计	208	91	117	43.75

1. 标题 它是统计表的总名称,放在表的上方中间位置,简明扼要地说明表的主要内容,包括时间、地点和研究内容。表的标题非常重要,内容既不能过于简单,又不要过于繁复,尽可能一言切中所要表达的目的和内容。若有多张表格,标题前应加上标号,以方便引用,如“表 5-1”所示。如果表中所有数据指标的度量衡单位一致,可以将其放在标题后面,放于括号内。

2. 标目 用来说明表内数据含义的文字。横标目位于表的左侧,说明各行数据的意义,如表 5-2 中“医院 1”,“医院 2”等,纵标目位于表头右侧,如表 5-2 中“例数”、“有效例数”、“有效率(%)”等。纵标目的总标目主要是对纵标目内容的概括,在需要时才设置,如表 5-2 中的“对照组(安慰剂)”、“试验组”。标目要尽可能简单、明了,指标的单位要标示清楚,统计学符号的使用要

尽量规范,同时还要兼顾到杂志的规定。

3. **线条** 撰写论文的统计表一般采用“三线表”的格式,即一张表格以三条线为基础,根据内容需要在表内可以适当附加 1~2 条细线。表的顶线和底线把表的主要内容与标题分隔开,中间一条线把纵标目与数据分隔开,不宜使用竖线和斜线。如果某些标目或数据需要分层表示,可用短横线分隔(见表 5-2)。

4. **数字** 用阿拉伯数字表示,位数对齐,小数位数一致。表内不留空格,无数字用“-”表示,缺失数字用“…”表示,最好以备注的形式说明。若数字是“0”,则填写“0”。

5. **备注** 表中数据区一般不插入文字或其他说明,需要说明时可用“*”号标出,将说明文字写在表格的下面。

二、统计表的种类

根据标目的层次复杂程度,统计表可以分成简单表和复合表。

1. **简单表** 简单表的标目只有一个层次,主语按一个标志排列,一般用作横标目,而纵标目为统计指标名称,见表 5-1。每一行可用一个完整的句子表达,如第一行可读为“对照组试验的例数为 103 例,其中有效例数为 17 例,无效例数为 86 例,有效率为 16.50%”;第二行可以读为“试验组的例数为 105 例,其中有效例数为 74 例,无效例数为 31 例,有效率为 70.48%”。

2. **复合表** 复合表的标目有两个以上层次,即主语按多个标志排列。复合表有两个或三个分组标志,一般把其中主要的或分项较多的一个作为横标目,而其余的则安排在纵标目与总标目上。如表 5-2 中,将试验的各医院和两种不同治疗结合起来分组,可以表达不同医院、不同处理组别的有效率,从两个不同方面进行分析和对比。

表 5-2 试验药物与安慰剂治疗帕金森病的多中心临床试验结果

医院	对照组(安慰剂)			试验组		
	例数	有效例数	有效率(%)	例数	有效例数	有效率(%)
医院 1	36	6	16.67	36	27	75.00
医院 2	31	4	12.90	34	22	64.71
医院 3	36	7	19.44	35	25	71.43
合计	103	17	16.50	105	74	70.48

三、编制统计表的注意事项

统计表只要满足编制原则、结构合理、能够清晰地表达数据结果即可,实际应用中应注意以下几方面的问题。

1. 统计表不一定是唯一的,同一数据经过标目重排或分解组合,可以根据需要构造不同形式的统计表,表中标目位置的安排最不易把握,通常将要比较的主体放在表格最左边,右边则是相应的统计学指标和实验数据,左右两者位置不宜颠倒,但有时也要视具体情况决定。例如,表 5-3 和表 5-4 给出的是治疗高血压的临床试验中患者在治疗前的舒张压和收缩压的情况,使用的是两种不同的表格。表 5-3 是一个比较规范的统计表,从逻辑上看比较的主体是试验组和对照组,通过舒张压和收缩压的测量值了解两组是否有所不同;而表 5-4 中标目的位置看似有些问题,但如果列表的主要目的不是比较试验组和对照组,重点是要体现不同指标的测量值,尤其指标比较多、标目横向难以排放时,就应该采用这种格式。

2. 避免内容混杂,表达不清,结构混乱。若标目层次多于三个以上,统计表就会变得繁冗,因此尽量少用。

表 5-3 试验组和对照组血压的基线情况(1)

分组	例数	舒张压(mmHg)		收缩压(mmHg)	
		$\bar{X} \pm S$	<i>M</i>	$\bar{X} \pm S$	<i>M</i>
试验组	61	98.64±4.73	98.0	150.56±11.42	149.0
对照组	62	98.31±5.29	96.0	148.23±12.43	146.0

表 5-4 试验组和对照组血压的基线情况(2)

指标	试验组($n_1=61$)		对照组($n_2=62$)	
	$\bar{X} \pm S$	<i>M</i>	$\bar{X} \pm S$	<i>M</i>
舒张压(mmHg)	98.64±4.73	98.0	98.31±5.29	96.0
收缩压(mmHg)	150.56±11.42	149.0	148.23±12.43	146.0

例 5-1 某地某年 111 例钩端螺旋体病患者发病季节、年龄和职业构成资料如表 5-5 所示, 请按照编制统计表的基本要求, 检查此表编制是否合适, 如不合适, 加以修改。

表 5-5 流行病学有关的主要因素(原表)

季节							
8月上旬		8月中旬		8月下旬		9月上旬	
人数	%	人数	%	人数	%	人数	%
7	6.3	70	63.1	28	25.2	6	5.4
年龄(岁)							
15以下		15~		45以上			
人数	%	人数	%	人数	%		
12	10.8	95	85.6	4	3.6		
职业							
农民		学生		待业青年		其他	
人数	%	人数	%	人数	%	人数	%
106	95.5	1	0.9	3	2.7	1	0.9

表 5-5 的缺点是: ①标题不够明确, 而且未注明时间、地点; ②发病季节、年龄和职业三项指标无可比性, 放在一起, 内容繁杂; ③标目设计不合理, “人数”、“%”多次重复, 不便于分析对比; ④表内文字和线条过多。因此可以将其修改成表 5-6、表 5-7 和表 5-8 三个表。

表 5-6 某地某年钩端螺旋体病患者发病季节分布(修改表)

季节	人数	构成比(%)
8月上旬	7	6.3
8月中旬	70	63.1
8月下旬	28	25.2
9月上旬	6	5.4
合计	111	100.0

表 5-7 某地某年钩端螺旋体病患者发病年龄分布(修改表)

年龄(岁)	人数	构成比(%)
15以下	12	10.8
15~	95	85.6
45及以上	4	3.6
合计	111	100.0

表 5-8 某地某年钩端螺旋体病患者发病职业分布(修改表)

职业	人数	构成比(%)
农民	106	95.5
学生	1	0.9
待业青年	3	2.7
其他	1	0.9
合计	111	100.0

例 5-2 某医院用麦芽根糖浆治疗急慢性肝炎患者 161 例, 疗效资料见表 5-9, 指出其缺点并加以改进。

表 5-9 麦芽根糖浆治疗急慢性肝炎疗效观察(原表)

效果	有效						无效	
	小计		近期痊愈		好转			
	例	%	例	%	例	%	例	%
总例数	108	67.1	70	43.5	38	23.6	53	32.9

此表的主要目的是表达用麦芽根糖浆治疗急慢性肝炎的疗效情况, 但是其标题过于简单, 主谓安排不合理, 标目组合重复。可进行如下修改, 见表 5-10。

表 5-10 某年某医院麦芽根糖浆治疗急慢性肝炎的疗效观察(修改表)

疗效	例数	构成比(%)
无效	53	32.9
好转	38	23.6
近期痊愈	70	43.5
合计	161	100.0

第二节 统计图

统计图(statistical chart)是把数据资料以图示的形式表达, 使数据对比更加形象、直观、一目了然。统计图利用点的位置、曲线的变化、直条的长短和面积的大小等几何图形来表达统计资料和指标, 它将研究对象的特征、内部构成、相互关系、对比情况、频数分布等情况形象而生动地表达出来, 直观地反映出事物间的数量关系, 更易于比较和理解。

一、统计图的制作

(一) 统计图的制作原则

1. 必须根据资料的性质、分析目的选用适当的统计图, 由于统计图不能精确地显示数据大小, 所以经常需要与统计表一起使用。
2. 一个图通常只表达一个中心内容和一个主题, 即一个统计指标。
3. 绘制图形应注意准确、美观, 图线粗细适当, 定点准确, 不同事物用不同线条(实线、虚线、点线)或颜色表示, 给人以清晰的印象。

(二) 统计图的结构

统计图通常由标题、图域、标目、图例和刻度 5 个部分组成。

1. 标题 其作用是简明扼要地说明资料的内容、时间和地点, 一般位于图的下方中央位置

并编号,便于引用和说明。

2. 图域 即制图空间,除圆图外,一般用直角坐标系第一象限的位置表示图域,或者用长方形的框架表示。

3. 标目 分为纵标目和横标目,表示纵轴和横轴数字刻度的意义,一般有度量衡单位。

4. 图例 对图中不同颜色或图案代表的指标注释。图例通常放在横标目与标题之间,如果图域部分有较大空间,也可以放在图域中。

5. 刻度 即纵轴与横轴上的坐标。刻度可在内侧或外侧,刻度数值按从小到大的顺序,纵轴由下向上,横轴由左向右。绘图时按照统计指标数值的大小,适当选择坐标原点和刻度的间隔。

(三) 统计图的种类

医学中常用的统计图有直条图、百分条图、圆图、普通线图、半对数线图、直方图、箱式图、误差条图和散点图等;还有一些特殊的统计图,如表达多个试验中心研究结果的森林图、生存分析中的生存曲线图、聚类分析的树形图等。一般应根据资料的性质和分析目的选择适当的图形。以下仅介绍医学中常用的统计图。

二、描述定量数据的统计图

(一) 直方图

直方图(histogram)用直条矩形面积代表各组频数,各矩形面积总和代表频数的总和。它主要用于表示连续变量频数分布情况,如根据频数表 5-11 绘制成频数分布图 5-1。从图 5-1 可以看出,该市 3 岁女孩身高主要分布在 92cm 左右,位于 84~100cm 之间者约占总数的 95%。为了对比两组的频数分布情况,也可以根据表 5-12 将两个直方图用图 5-2 一张图表示。结果显示,糖尿病患者的糖化血红蛋白(HbA1c)水平明显高于正常人,而且可以明显看出两组人糖化血红蛋白含量数值分布的差异。

表 5-11 某市某年 150 名 3 岁女孩身高的频数分布

组段 (cm)	频数	组段 (cm)	频数
80~	1	94~	24
82~	3	96~	17
84~	8	98~	10
86~	10	100~	6
88~	19	102~	2
90~	23	104~106	1
92~	26		

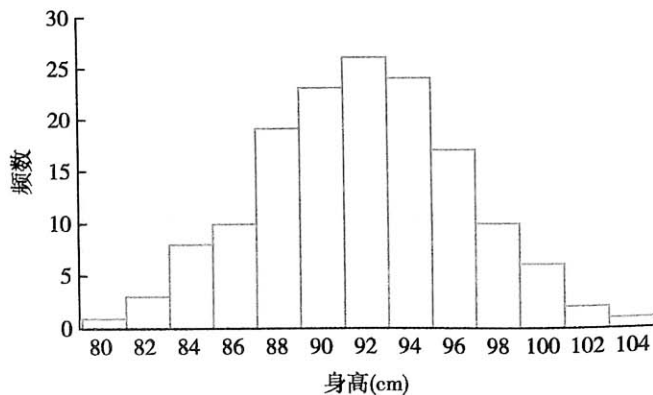


图 5-1 某市某年 150 名 3 岁女孩身高频数分布

表 5-12 糖尿病患者和正常对照 HbA1c (%) 分布

组段	频数		组段	频数	
	糖尿病	正常		糖尿病	正常
<4.0	1	20	7.6~	12	1
5.2~	2	28	8.0~	10	1
5.6~	3	27	8.4~	3	0
6.0~	3	13	8.8~	4	0
6.4~	7	6	9.2~	8	0
6.8~	7	2	9.6~	5	0
7.2~	16	2	10.0~12.8	19	0

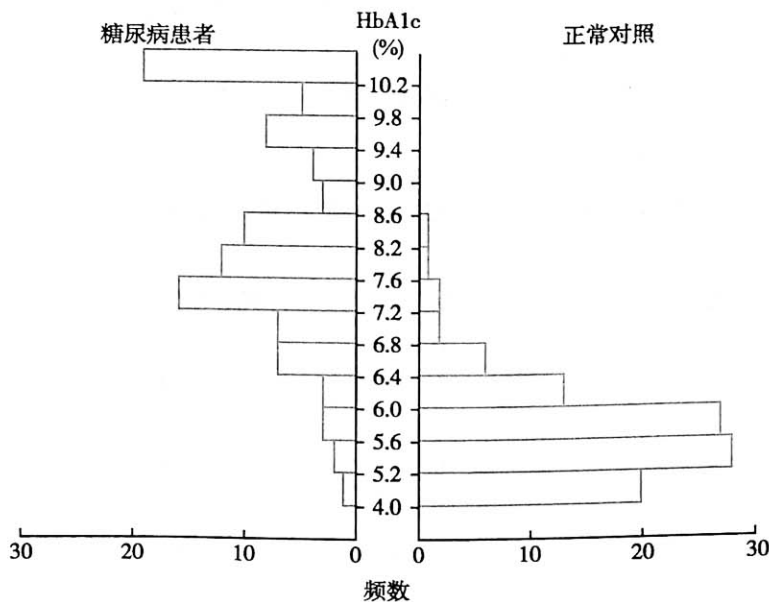


图 5-2 糖尿病患者和正常对照 HbA1c (%) 的频数分布

绘制直方图时应注意：纵轴的刻度必须从“0”开始，而横轴的刻度按实际范围制定；各矩形的高度为频数或频率，宽度为组距。如果各组段的组距不同要调整各矩形的高，矩形高度 = 组段频数 / 组距。

(二) 线图

线图(line chart)是用线段的升降来表示指标(变量)的连续变化情况,适用于描述一个变量随另一个变量变化的趋势。通常纵坐标是统计指标,横坐标是时间变量。普通线图的坐标都按算术尺度标记刻度,若纵坐标按对数尺度(通常采用常用对数),横坐标按算术尺度,制作的线图为半对数线图(semi-logarithmic linear chart)。如根据表 5-13 绘制成的图 5-3 为普通线图。

表 5-13 某地 1968—1974 年男女结核病死亡率

年份	死亡率(1/10万)		年份	死亡率(1/10万)	
	男	女		男	女
1968	50.19	37.54	1972	35.59	24.08
1969	42.97	25.00	1973	38.31	24.10
1970	45.37	27.88	1974	25.29	16.00
1971	44.42	25.10			

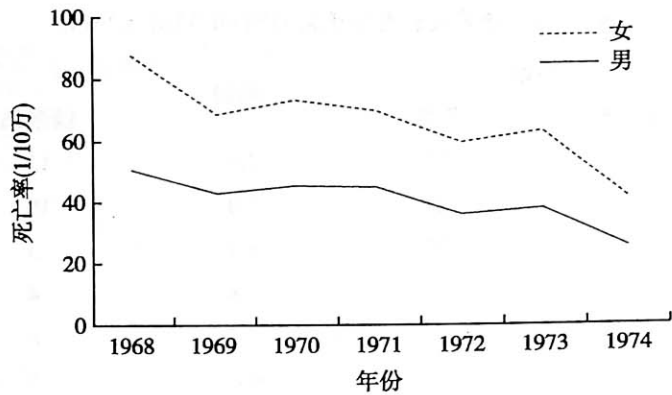


图 5-3 某地 1968—1974 年结核病死亡率

对于相对数指标,用普通线图有时难以准确表达和对比不同变量的变化速度,这时可以使用半对数线图。如将表 5-14 的数据绘制成普通线图(图 5-4),呈现出白喉死亡率比伤寒、副伤寒死亡率下降速度快;如果绘制成半对数线图(图 5-5),则白喉死亡率与伤寒、副伤寒死亡率变化快慢速度相差不大。

表 5-14 某地 1949—1958 年白喉、伤寒、副伤寒的死亡率

年份	白喉		伤寒、副伤寒	
	死亡率(1/10万)	对数值	死亡率(1/10万)	对数值
1949	3.3	0.5185	1.1	0.0414
1950	5.9	0.7709	0.9	-0.0458
1951	8.4	0.9243	1.9	0.2788
1952	3.9	0.5911	1.0	0.0000
1953	2.5	0.3979	0.7	-0.1549
1954	1.5	0.1761	0.6	-0.2218
1955	3.3	0.5185	0.6	-0.2218
1956	1.1	0.0414	0.2	-0.6990
1957	1.0	0.0000	0.3	-0.5229
1958	0.6	-0.2218	0.05	-1.3010

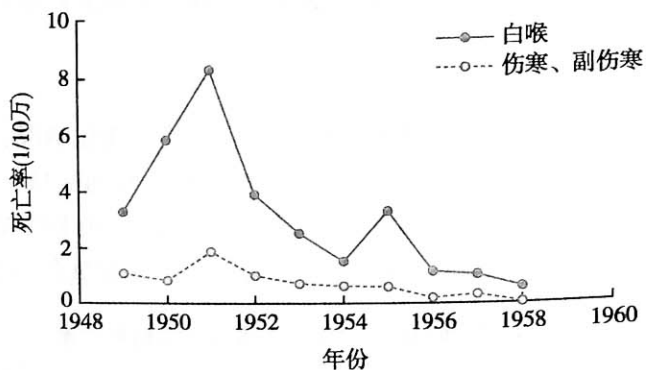


图 5-4 某地 1949—1958 年白喉、伤寒、副伤寒死亡率线图

绘制线图时应注意:横轴代表分组标志,纵轴代表统计指标;横轴和纵轴的刻度都可以不从“0”开始;用短线依次将相邻各点连接即得线图,不应将折线描成光滑曲线。线图中若只有一条折线,称为单式线图;若有两条及以上的线条,称为复式线图。在绘图时,需要注意纵横轴比例,比例不同,给人的印象也不同。

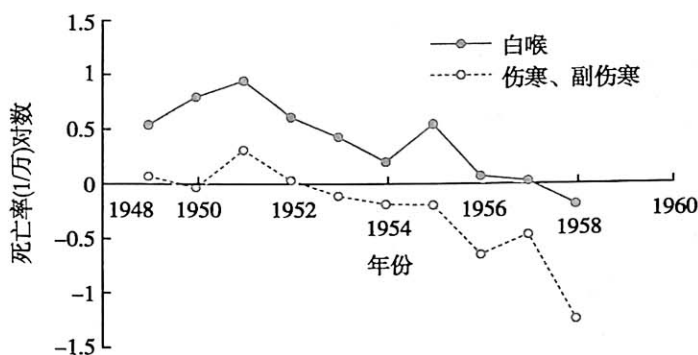


图 5-5 某地 1949—1958 年白喉、伤寒、副伤寒死亡率半对数线图

(三) 箱式图

箱式图(box plot)用于比较两组或多组资料的集中趋势和离散趋势,主要适用于描述偏态分布的资料。箱式图的中间横线表示中位数,箱体的长度表示四分位数间距,两端分别是 P_{75} 和 P_{25} 。最外面两端连线有两种表示方法:一种是表示最大值和最小值;另一种是去除离群值后的最大值和最小值,对离群值另作标记。离群值可定义为大于 $P_{75} + 1.5Q$ 或小于 $P_{25} - 1.5Q$, Q 为四分位数间距。显然箱体越长表示数据离散程度越大;中间横线若在箱体中心位置,表示数据分布对称,中间横线偏离箱子正中心越远,表示数据分布越偏离中位数。箱式图的纵轴起点不一定从“0”开始。根据表 5-15 绘制成的图 5-6 可以看出,大白鼠肝肿瘤中递甲氨酶的活度(CPM)明显高于正常肝中递甲氨酶的活度,而且数据的变异性很大,并有 1 个离群值。

表 5-15 大白鼠正常肝和肝肿瘤中递甲氨酶(CPM)的活度

正常肝	肿瘤肝	正常肝	肿瘤肝
19	227	91	104
30	339	35	211
43	130	68	346
70	592	15	133
64	405	6	814

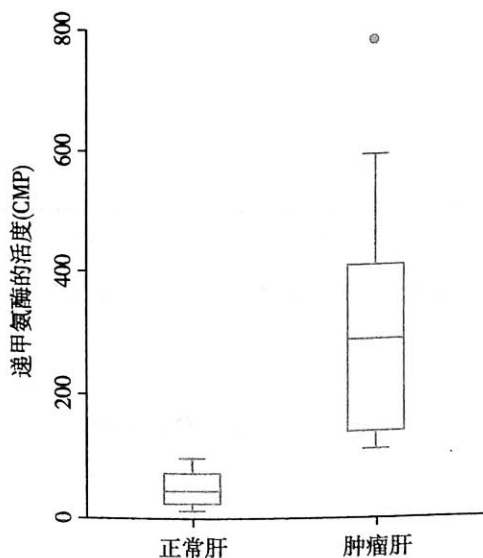


图 5-6 大白鼠正常肝和肝肿瘤中递甲氨酶的活度(CPM)

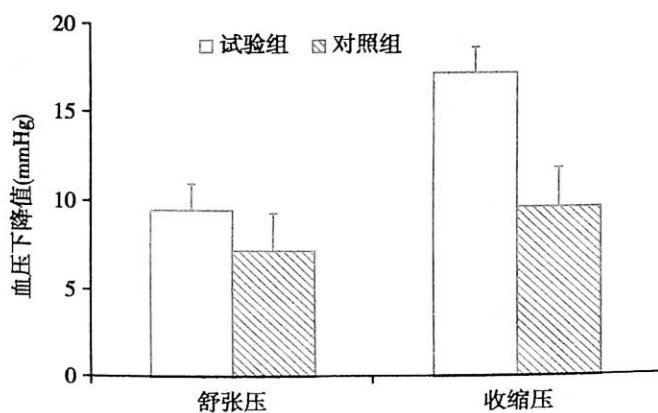
(四) 误差条图

误差条图(error bars)用于比较多组资料的均值和可信区间,用线条的高度表示均值的大小,可以用“工”表示可信区间,上端“—”表示可信区间的上限,下端“—”表示可信区间的下限,中间“|”的长度表示可信区间的长度(参见第六章)。另一种表示方法,可以用“T”字图部分表示均数的标准误($SE = S/\sqrt{n}$)。误差条图有若干种表现方法,本例选择在撰写论文时常用的方法,即根据表 5-16 中的数据计算出的均数和标准误绘制误差条图(图 5-7),从图中可看出试验组降压的平均值高于对照组。

绘制误差条图时应注意:如果以横轴为基线,表示各个分组或标志,纵轴则表示各标志相应的均值和标准误(或可信区间);纵轴尺度必须从“0”开始,表示均值的各直条的宽度要相等,直条之间的间隔不必等距。

表 5-16 试验组和对照组 6 周后血压(mmHg)的变化情况

试验组		对照组		试验组		对照组	
舒张压	收缩压	舒张压	收缩压	舒张压	收缩压	舒张压	收缩压
12	17	10	10	8	20	7	10
12	8	-4	-7	-7	1	6	10
10	19	8	21	9	26	8	8
0	24	12	13	14	44	-4	6
16	9	10	-11	6	11	8	15
10	20	10	6	14	15	8	16
14	19	16	25	16	26	11	10
14	19	12	12	20	27	-4	3
11	14	10	7	9	10	11	25
2	8	2	12	2	9	9	5

图 5-7 试验组和对照组血压的平均变化情况($\bar{X} \pm SE$)

(五) 散点图

散点图(scatter plot)用点的密集程度和变化趋势表示两指标之间的直线或曲线关系,如根据表 5-17 绘制成图 5-8。结果显示,随着载脂蛋白 B 含量的增加,高血脂患者低密度脂蛋白的含量也相应增加。

绘制散点图时应注意:纵轴和横轴各代表一种事物,横轴代表自变量,纵轴代表因变量;纵轴和横轴的起点,不一定从“0”开始。

表 5-17 高血脂患者载脂蛋白 B 与低密度脂蛋白的关系

Apo-B (g/L)	LDL (mmol/L)	Apo-B (g/L)	LDL (mmol/L)
0.80	2.98	0.66	2.28
0.60	2.76	0.67	2.34
0.90	3.22	1.12	4.84
0.80	3.84	0.97	3.89
0.90	3.12	0.80	2.14
0.90	4.18	0.94	3.60
0.70	2.00	0.82	2.30
0.70	2.94	0.79	3.30
0.80	3.12	0.76	2.20
1.21	5.33	0.80	2.12

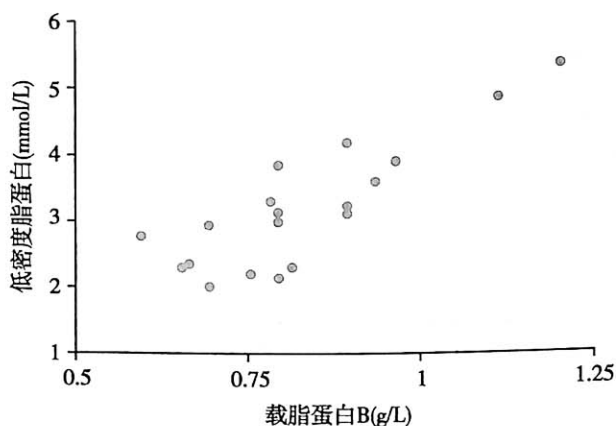


图 5-8 20 名高血脂症患者载脂蛋白 B 与低密度脂蛋白关系的散点图

三、描述定性数据的统计图

(一) 直条图

直条图(bar chart)又称条图,用等宽直条的长短来表示相互独立的统计指标数值大小和它们之间的对比关系。直条图按直条是横放还是竖放分为卧式和立式两种,按分组因素的多少分为单式和复式两种。主要适用于各自独立的统计指标。指标既可以是绝对数,也可以是相对数。常用的直条图有两种。

1. 单式条图 具有一个统计指标,一个分组因素。如根据表 5-18 绘制成的图 5-9,描述按地区分组的发病率。

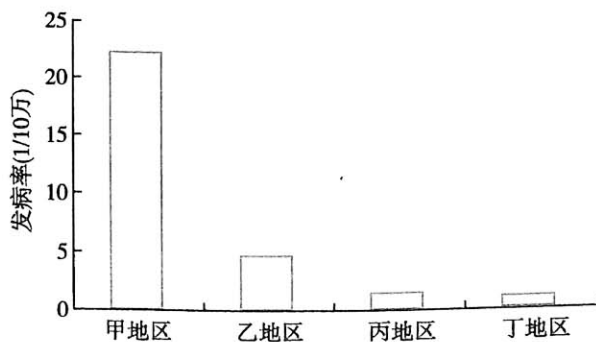


图 5-9 某省某年四个地区脊髓灰质炎发病率

表 5-18 某省某年四个地区脊髓灰质炎发病率

地区	发病率(1/10万)	地区	发病率(1/10万)
甲	22.0	丙	1.5
乙	4.5	丁	1.0

2. 复式条图 具有一个统计指标,两个分组因素。如根据表 5-19 绘制成的图 5-10。

表 5-19 某地区 1952 年与 1972 年三种疾病的死亡率

死因	死亡率(1/10万)	
	1952年	1972年
肺结核	163.2	27.4
心脏病	72.5	82.5
恶性肿瘤	52.5	183.5

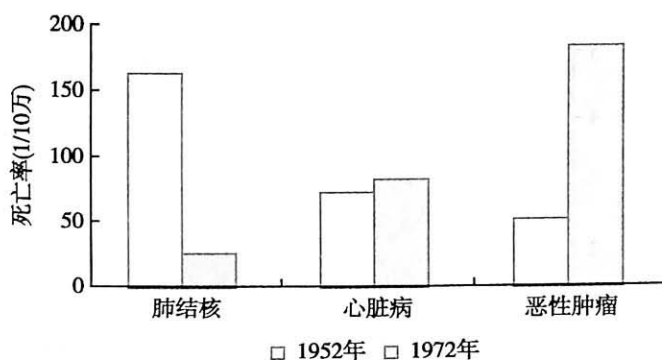


图 5-10 某地 1952 年与 1972 年三种疾病死亡率比较

绘制直条图时应注意:一般以横轴为基线,表示各分组,纵轴表示各分组相应的值;纵轴尺度必须从“0”开始,而且要等距;直条的宽度要相等,直条的间隔要等距,间隔的距离通常与直条的宽度相等或略小。

(二) 构成图

构成图常用于描述构成比资料。常用的构成图有圆图(pie chart)和百分条图(percentage bar chart)。

1. 圆图 把圆的总面积作为 100%,表示事物的全部,而圆内各扇形面积用来表示全体中各部分所占的比例。如根据表 5-20 单纯型老年性气管炎疗效绘制成图 5-11。

表 5-20 复方猪胆胶囊治疗老年性气管炎近期疗效比较

近期疗效	单纯型		哮喘型	
	例数	构成比(%)	例数	构成比(%)
临床治愈	60	27.15	23	12.64
显效	98	44.34	82	45.06
有效	51	23.08	66	36.26
无效	12	5.43	11	6.04
合计	221	100.00	182	100.00

圆图绘制方法:以圆形的 360°角为 100%,将各构成部分的构成比(%)乘以 3.6°,即得各组成部分应占的圆心角度数;再以某刻度(比如相当于时钟 12 时的位置)为起点,顺时针按圆心角

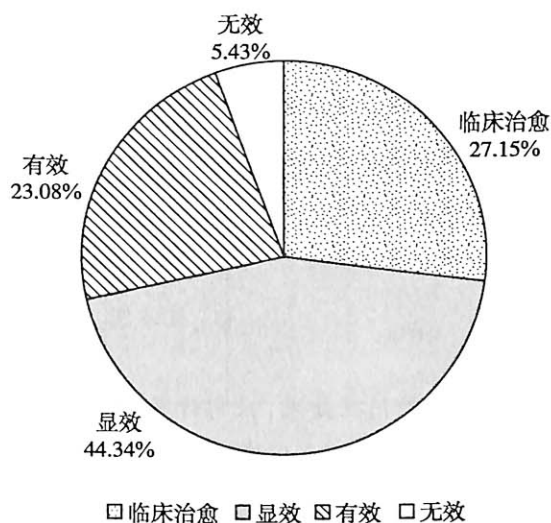


图 5-11 复方猪胆胶囊治疗单纯型老年气管炎近期疗效比较

度数大小或者自然顺序排列各个扇形。不同的扇形可以用不同的颜色或花纹区别,也可以简要注明文字和百分比。

2. 百分条图 用矩形直条的长度表示 100%, 而用其中分割的各段表示各构成部分的百分比。如根据表 5-20 绘制成的图 5-12。

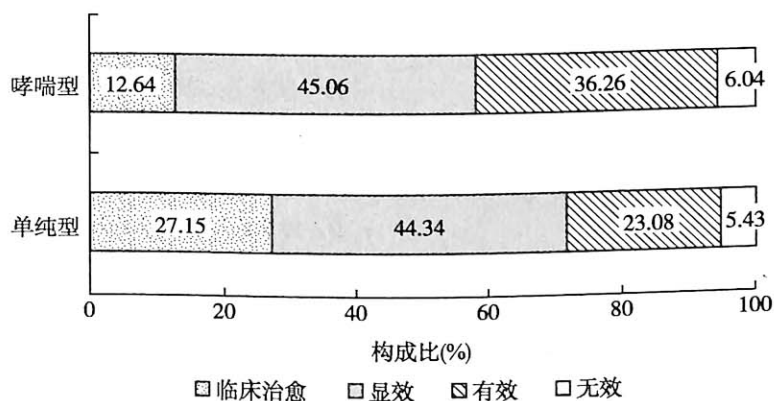


图 5-12 复方猪胆胶囊治疗老年性气管炎近期疗效比较

百分条图绘制方法: 绘制一条等宽的水平直条, 其长度为 100%, 根据各部分所占百分比, 按其大小或资料的自然顺序把直条分成若干段, 然后在直条的各分段上标出百分比。同一指标分层相互比较时, 可以绘制多个直条。

练习题

一、单项选择题

- 统计表的主要作用是()
 - 便于形象描述和表达结果
 - 客观表达实验的原始数据
 - 减少论文篇幅
 - 容易进行统计描述和推断
 - 代替冗长的文字叙述和便于分析对比
- 描述某疾病患者年龄(岁)的分布, 应采用的统计图是()

- A. 线图
B. 直条图
C. 百分条图
D. 直方图
E. 箱式图
3. 高血压临床试验分为试验组和对照组,分析考虑治疗0、2、4、6、8周血压的动态变化和改善情况,为了直观显示出两组血压平均变动情况,宜选用的统计图是()
A. 半对数图
B. 线图
C. 直条图
D. 直方图
E. 百分条图
4. 研究三种不同麻醉剂在麻醉后的镇痛效果,采用计量评分法,分数呈偏态分布,比较终点时分数的平均水平及个体的变异程度,应使用的图形是()
A. 复式条图
B. 复式线图
C. 散点图
D. 直方图
E. 箱式图
5. 研究血清低密度脂蛋白 LDL 与载脂蛋白 B-100 的数量依存关系,应绘制的图形是()
A. 直方图
B. 箱式图
C. 线图
D. 散点图
E. 直条图
6. 下列统计图适用于表示构成比关系的是()
A. 直方图
B. 箱式图
C. 误差条图、条图
D. 散点图、线图
E. 圆图、百分条图
7. 对有些资料构造统计表时,下列哪一项可以省略()
A. 标题
B. 标目
C. 线条
D. 数字
E. 备注
8. 绘制下列统计图纵轴坐标刻度必须从“0”开始的有()
A. 圆图
B. 百分条图
C. 线图
D. 半对数线图
E. 直方图
9. 描述某现象频数分布情况可选择()
A. 圆图
B. 百分条图
C. 箱式图
D. 误差条图
E. 直方图
10. 对比某种清热解毒药物和对照药物的疗效,其单项指标为口渴、身痛、头痛、咳嗽、流涕、鼻塞、咽痛和发热的有效率,应选用的统计图是()
A. 圆图
B. 百分条图
C. 箱式图
D. 复式条图
E. 直方图

二、改表和绘图

1. 某地调查脾肿大和疟疾临床分型的关系、程度与血片查疟原虫结果列表如下,此表有何缺点,请改进。

项目 脾 肿程度	血膜 阴性	血膜阳性				合计		
		恶性疟		间日疟		例数	%	
		例数	%	例数	%			
合计	174	28	12.6	20	9.04	222	48	21.6
脾I	105	8	6.6	9	7.40	122	17	13.9
脾II	51	14	20.0	5	7.10	70	19	27.1
脾III	15	6	23.1	5	19.20	26	11	42.3
其他	3	0	0.0	1	25.00	4	1	25.0

2. 试根据下表资料绘制适当统计图形。

某地 1975 年 839 例正常人发汞值 ($\mu\text{g/g}$) 分布资料

组段	0~	0.2~	0.4~	0.6~	0.8~	1.0~	1.2~	1.4~	1.6~2.2	合计
例数	133	193	190	111	83	34	43	16	36	839

3. 根据下表分别绘制普通线图和半对数线图, 并说明两种统计图型的意义。

某地某年食管癌不同性别与年龄别的发病率

年龄(岁)	发病率(1/10万)	
	男	女
40~	4.4	2.1
45~	7.2	3.3
50~	7.3	4.5
55~	6.9	5.5
60~	19.3	6.7
65~	50.2	16.4
70~	68.5	12.5
75~	86.2	19.9
80~	97.0	15.2

(张丕德 刘 艳)



第六章 参数估计与假设检验

本章开始学习统计推断方法,内容涉及参数估计和假设检验的基本概念和原理。参数估计指由样本统计量估计总体参数,是统计推断的重要内容之一,常用的方法有点估计和区间估计。区间估计是指按预先给定的概率,计算出一个区间,使它包含未知的总体参数。假设检验是统计推断的另一重要内容,其目的是比较总体参数之间有无差别。

第一节 参数估计

一、抽样误差

在医学研究中,绝大多数情况是由样本信息推断总体特征。由于个体存在差异,因此通过样本推论总体时会存在一定的误差,如样本均数 \bar{X} 往往不等于总体均数 μ ,这种由抽样造成的样本统计量与总体参数的差异称为抽样误差(sampling error)。例如,假设健康成年男子的红细胞服从均数为 $\mu=4.75 \times 10^{12}/L$,标准差 $\sigma=0.38 \times 10^{12}/L$ 的正态分布,现随机抽取140人,计算红细胞的样本均数为 $\bar{X}=4.77 \times 10^{12}/L$,两值之差 $0.02 \times 10^{12}/L$ 即为抽样误差。可以设想,若再随机抽取140名成年男子进行测量,其平均红细胞数会是另一不同的结果。对于抽样研究,抽样误差是不可避免的。

(一) 均数的标准误

如何能精确地估计成年男子红细胞数的总体均数?因为存在抽样误差,基于140例研究对象的样本均数不可能与总均数完全一样,问题是我们能否知道估计值的精确程度,对此可以利用抽样误差的分布规律对其进行分析。理论上可以证明:若从正态总体 $N(\mu, \sigma^2)$ 中,反复多次随机抽取样本含量固定为 n 的样本,那么这些样本均数 \bar{X} 也服从正态分布,即 \bar{X} 的总体均数仍为 μ ,样本均数的标准差为 σ/\sqrt{n} 。则根据中心极限定理:在样本含量 n 很大的情况下(如 $n \geq 50$),无论原始测量变量服从什么分布, \bar{X} 的抽样分布都近似服从正态分布 $N(\mu, \sigma^2/n)$ 。

统计学中为了区别个体观察值之间变异的标准差与反映样本均数之间变异的标准差,将后者称为均数的标准误(standard error of the mean)。显然,标准误小于原始测量值的标准差,标准误小说明估计越精确,因此可以用均数的标准误表示均数抽样误差的大小。均数的标准误用符号 $\sigma_{\bar{X}}$ 表示,计算公式为

$$\sigma_{\bar{X}} = \frac{\sigma}{\sqrt{n}} \quad (6-1)$$

由式(6-1)可见,在样本含量一定的情况下,均数的标准误与标准差成正比,说明当总体中各观测值变异较小时,抽到的样本均数 \bar{X} 与总体均数 μ 可能相差较小,用 \bar{X} 估计 μ 的可靠程度较高;当总体中各观测值变异较大时,抽到的样本均数 \bar{X} 与总体均数 μ 可能相差很大,用 \bar{X} 估计 μ 的可靠程度也相对较低。均数的标准误与样本含量的平方根 \sqrt{n} 成反比,说明在同一总体中随机抽样,样本含量 n 越大,标准误越小。均数的标准误反映了样本均数间的离散程度,也反映了样本均数与总体均数的差异。

实际中,总体标准差 σ 往往未知,因而通常用样本标准差 S 代替 σ ,求得样本均数标准误的估计值 $S_{\bar{X}}$,计算公式为

$$S_{\bar{x}} = \frac{S}{\sqrt{n}} \quad (6-2)$$

例 6-1 在某地随机抽查成年男子 140 人, 得红细胞均数 $4.77 \times 10^{12}/L$, 标准差 $0.38 \times 10^{12}/L$, 试计算其标准误。

按公式(6-2)计算得:

$$S_{\bar{x}} = \frac{S}{\sqrt{n}} = \frac{0.38}{\sqrt{140}} = 0.032 (\times 10^{12}/L)$$

(二) 率的标准误

样本率的标准差称为率的标准误(standard error of rate), 用来描述样本率抽样误差的大小。率的标准误越小, 则率的抽样误差越小; 率的标准误越大, 则率的抽样误差越大。现记总体率参数为 π , 样本率为 p ; 在 n 次独立重复试验中出现的“阳性”次数记为 X , 则样本率为

$$p = \frac{X}{n} \quad (6-3)$$

样本率 p 的总体方差为

$$\sigma_p^2 = \frac{\pi(1-\pi)}{n} \quad (6-4)$$

p 的总体标准差(即率的标准误)为

$$\sigma_p = \sqrt{\frac{\pi(1-\pi)}{n}} \quad (6-5)$$

在一般情况下, 总体率 π 往往是未知的, 此时可用样本率 p 来代替总体率 π , 则 σ_p 的估计值为

$$S_p = \sqrt{\frac{p(1-p)}{n}} \quad (6-6)$$

无论是均数的标准误还是率的标准误, 都是抽样分布的重要特征之一, 它可用于参数的区间估计和不同组之间参数的比较。

二、可信区间的概念

参数估计(parameter estimation)指由样本统计量估计总体参数, 是统计推断的重要内容之一。常用的估计方式有两种: 点估计(point estimation)和区间估计(interval estimation)。

点估计是使用单一的数值直接作为总体参数的估计值, 如用 \bar{X} 估计相应的 μ , 用 p 估计相应的 π 。该法表达简单, 但未考虑抽样误差的影响, 无法评价参数估计的准确程度。

区间估计是指按预先给定的概率, 计算出一个区间, 使它包含未知的总体参数。事先给定的概率 $1-\alpha$ 称为可信度(通常取 0.95 或 0.99), 计算得到的区间称为可信区间(confidence interval, CI)。可信区间通常由两个数值界定的可信限(confidence limit)构成, 其中数值较小的一方称为下限, 数值较大的一方称为上限。总体均数估计的 95% 可信区间表示该区间包括总体均数 μ 的概率为 95%, 即若作 100 次抽样算得 100 个可信区间, 则平均有 95 个可信区间包括 μ (估计正确), 只有 5 个可信区间不包括 μ (估计错误)。例如, 估计某地成年男子的红细胞平均水平, 其 95% 的可信区间为 $4.71 \times 10^{12}/L \sim 4.83 \times 10^{12}/L$, 说明总体红细胞均数被包含在这一区间的概率为 95%。

可信区间估计的效果, 一是由可信度 $1-\alpha$ 来反映, 即计算出的区间包括总体均数 μ 的概率大小, 其值越接近 1 越好; 二是由区间的宽度来反映, 区间越窄说明估计越精确。在样本含量一定的情况下, 二者是矛盾的, 若仅考虑提高可信度, 则使估计的区间变宽, 从而降低了使用可信

区间的价值。一般情况下,95%可信区间较为常用;在可信度确定的情况下,增加样本量可以缩小区间宽度,从后面区间估计的计算公式可以更清楚地看到这一点。

三、总体均数的区间估计

总体均数 μ 可信区间的计算公式可以利用 \bar{X} 的抽样分布获得。实际中,总体均数可信区间的计算方法,根据总体标准差 σ 是否已知,以及样本量 n 的大小而有所不同。

(一) σ 已知

如果变量 X 服从均数为 μ 、标准差为 σ 的正态分布,则

$$z = \frac{\bar{X} - \mu}{\sigma / \sqrt{n}} \quad (6-7)$$

服从标准正态分布。按照标准正态分布规律,95%的 z 值在 -1.96 和 1.96 之间,即

$$P\left(-1.96 \leq \frac{\bar{X} - \mu}{\sigma / \sqrt{n}} \leq 1.96\right) = 0.95 \quad (6-8)$$

$$P\left(\bar{X} - 1.96 \frac{\sigma}{\sqrt{n}} \leq \mu \leq \bar{X} + 1.96 \frac{\sigma}{\sqrt{n}}\right) = 0.95$$

从而得到 95% 可信区间:

$$(\bar{X} - 1.96 \sigma_{\bar{X}}, \bar{X} + 1.96 \sigma_{\bar{X}}) \quad (6-9)$$

更一般的情况:

$$(\bar{X} - z_{\alpha/2} \sigma_{\bar{X}}, \bar{X} + z_{\alpha/2} \sigma_{\bar{X}}) \quad (6-10)$$

其中 $z_{\alpha/2}$ 为标准正态分布的双侧界值。若取 $1 - \alpha = 0.95$, 则为总体均数的 95% 可信区间,或取 $1 - \alpha = 0.99$, 则为总体均数 99% 可信区间。需要注意的是, μ 不是一个随机变量,而是包含在可信区间内的一个参数值。

(二) σ 未知

事实上,总体标准差 σ 通常是未知的,这时我们可以用其估计量 S 代替 σ ,但在这种情况下, $(\bar{X} - \mu)/(S/\sqrt{n})$ 已不再服从标准正态分布,而是服从著名的 t 分布。

1. t 分布 t 分布(t -distribution)由英国统计学家 W. S. Gosset 于 1908 年以“Student”笔名提出,他证明了在正态分布总体中进行抽样, $(\bar{X} - \mu)/(S/\sqrt{n})$ 服从自由度为 $\nu = n - 1$ 的 t 分布。 t 分布是以 0 为中心的对称分布,参见图 6-1。

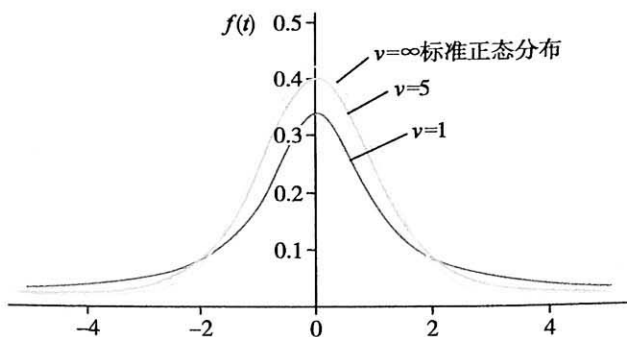


图 6-1 不同自由度的 t 分布图

由图 6-1 可见, t 分布曲线的形态变化与自由度 $\nu = n - 1$ 有关。随着自由度 ν 的增大, t 分布曲线越来越接近于标准正态分布曲线;当 $\nu \rightarrow \infty$ 时, t 分布的极限分布就是标准正态分布。因

此, t 分布曲线下面积 95% 的界值不是一个常量, 它随自由度大小不同而变化。为了应用方便, 可根据附表 2 查找相应的 t 界值。 t 界值表中, 给出了不同自由度情况下, 单侧概率和双侧概率值对应的 t 界值。如当 $\nu=24$ 、双侧概率 $\alpha=0.05$ 时, 由表中查得 $t_{0.05/2, 24}=2.064$, 此处 2.064 即为两侧尾部概率各为 0.025 的 t 界值。由于 t 分布的对称性, 表中只列出了正值。

2. 可信区间的计算 计算可信区间的原理与 σ 已知情况完全相同, 仅仅是两侧概率的界值有些差别。按 t 分布规律, $100\% \times (1-\alpha)$ 的 t 值在 $-t_{\alpha/2, \nu}$ 和 $t_{\alpha/2, \nu}$ 之间, 即

$$P(-t_{\alpha/2, \nu} < \frac{\bar{X} - \mu}{S/\sqrt{n}} < t_{\alpha/2, \nu}) = 1 - \alpha \quad (6-11)$$

将上式写成可信区间:

$$(\bar{X} - t_{\alpha/2, \nu} S_{\bar{X}}, \bar{X} + t_{\alpha/2, \nu} S_{\bar{X}}) \quad (6-12)$$

$t_{\alpha/2, \nu}$ 界值可以由附表 2 查得。需要注意: 在小样本情况下, 应用这一公式的条件是原始变量 X 服从正态分布。

在大样本情况下(如 $n > 50$), 无论变量 X 是否服从正态分布, 按照中心极限定理 \bar{X} 都服从正态分布, 同时 t 分布逼近标准正态分布, 可信区间可以用下式近似计算:

$$(\bar{X} - z_{\alpha/2} S_{\bar{X}}, \bar{X} + z_{\alpha/2} S_{\bar{X}}) \quad (6-13)$$

例 6-2 某医生测得 25 名动脉粥样硬化患者血浆纤维蛋白原含量的均数为 3.32g/L, 标准差为 0.57g/L, 试计算该种病人血浆纤维蛋白原含量总体均数的 95% 可信区间。

本例 $n=25$, $\bar{X}=3.32$, $S=0.57$, $\nu=n-1=25-1=24$, $\alpha=0.05$, 查 t 值表 $t_{0.05/2, 24}=2.064$, 按公式(6-12)计算得:

$$\text{下限: } \bar{X} - t_{\alpha/2, \nu} S_{\bar{X}} = 3.32 - 2.064 \times 0.57 / \sqrt{25} = 3.08(\text{g/L})$$

$$\text{上限: } \bar{X} + t_{\alpha/2, \nu} S_{\bar{X}} = 3.32 + 2.064 \times 0.57 / \sqrt{25} = 3.56(\text{g/L})$$

根据该资料计算得到, 动脉粥样硬化病人血浆纤维蛋白原含量总体均数的 95% 可信区间为 3.08~3.56g/L。

例 6-3 试计算例 6-1 中该地成年男子红细胞总体均数的 95% 可信区间。

本例属于大样本, 可采用正态近似的方法计算可信区间($\alpha=0.05$)。因为 $\bar{X}=4.77$, $S=0.38$, $n=140$, 则 95% 可信区间为

$$\text{下限: } \bar{X} - z_{\alpha/2} S_{\bar{X}} = 4.77 - 1.96 \times 0.38 / \sqrt{140} = 4.71(\times 10^{12}/\text{L})$$

$$\text{上限: } \bar{X} + z_{\alpha/2} S_{\bar{X}} = 4.77 + 1.96 \times 0.38 / \sqrt{140} = 4.83(\times 10^{12}/\text{L})$$

估计该地成年男子红细胞总体均数的 95% 可信区间为 $4.71 \times 10^{12}/\text{L} \sim 4.83 \times 10^{12}/\text{L}$ 。

3. 单侧可信区间 前面涉及的都是双侧可信区间。但有些情况下, 我们所关心的仅仅是单侧的可信限。例如, 对轻度原发性高血压患者进行治疗, 一般病人接受治疗后可以使舒张压平均降低 10mmHg, 现提出一种新的治疗方法, 我们仅对此疗法是否优于标准法感兴趣, 为此有 100 名患者接受了这种新疗法, 得到的数据显示舒张压平均降低 12.7mmHg, 血压治疗前后变化的标准差为 5.6mmHg, 能否说新疗法优于标准疗法($\alpha=0.05$)? 为此可以计算单侧可信区间, 其中只需关心可信区间的下限, 即如果下限值高于 10mmHg, 我们就有理由下结论说新疗法优于标准疗法。

单侧可信区间与双侧可信区间的计算公式基本相同, 只需将公式(6-12)和(6-13)中的抽样分布的双侧界值换成单侧界值, 同时只取下限或上限。本例 95% 可信区间下限为

$$\bar{X} - t_{0.05, 99} S_{\bar{X}} = 12.7 - 1.66 \times 5.6 / \sqrt{100} = 11.8(\text{mmHg})$$

即有 95% 的把握推断新药平均降压至少为 11.8mmHg, 优于标准疗法。

四、两总体均数差值的区间估计

实际中,有时需要计算两个总体均数差值的可信区间,例如通过计算两种降压药物平均降压的差值比较两种药物的差别,其双侧 $100(1-\alpha)\%$ 可信区间的计算公式为

$$(\bar{X}_1 - \bar{X}_2) \pm t_{\alpha/2, v} S_{\bar{X}_1 - \bar{X}_2} \quad (6-14)$$

其中, $v = n_1 + n_2 - 2$ 为自由度, $S_{\bar{X}_1 - \bar{X}_2}$ 为两样本均数之差的标准误,当两总体方差相同时,则

$$S_{\bar{X}_1 - \bar{X}_2} = \sqrt{S_c^2 \left(\frac{1}{n_1} + \frac{1}{n_2} \right)}, S_c^2 = \frac{(n_1 - 1)S_1^2 + (n_2 - 1)S_2^2}{n_1 + n_2 - 2} \quad (6-15)$$

其中 S_c^2 为两样本的合并方差。当两样本的样本含量均较大时(如 n_1 和 n_2 均大于 50),上述计算可信区间中的 $t_{\alpha/2, v}$ 可用相应的 $z_{\alpha/2}$ 代替,而且无论两总体的方差是否相同,有

$$S_{\bar{X}_1 - \bar{X}_2} = \sqrt{\frac{S_1^2}{n_1} + \frac{S_2^2}{n_2}} \quad (6-16)$$

例 6-4 评价复方缬沙坦胶囊与缬沙坦胶囊对照治疗轻中度高血压的有效性,将 102 名患者随机分为两组,其中试验组和对照组分别为 54 例和 48 例。经六周治疗后测量收缩压,试验组平均下降 15.77mmHg,标准差为 13.17mmHg;对照组平均下降 9.53mmHg,标准差为 13.55mmHg。试估计两组收缩压平均下降差值的 95% 可信区间。

由式(6-15)、式(6-16)计算,得

$$S_c^2 = \frac{(54-1) \times 13.17^2 + (48-1) \times 13.55^2}{54+48-2} = 178.221$$

$$S_{\bar{X}_1 - \bar{X}_2} = \sqrt{178.221 \times \left(\frac{1}{54} + \frac{1}{48} \right)} = 2.6483$$

查附表 2 的 t 界值表得 $t_{0.05/2, 100} = 1.984$, 由公式(6-14)两组总体均数之差的 95% 可信区间为

$$\text{下限: } (\bar{X}_1 - \bar{X}_2) - t_{\alpha/2, v} S_{\bar{X}_1 - \bar{X}_2} = (15.77 - 9.53) - 1.984 \times 2.6483 = -2.65$$

$$\text{上限: } (\bar{X}_1 - \bar{X}_2) + t_{\alpha/2, v} S_{\bar{X}_1 - \bar{X}_2} = (15.77 - 9.53) + 1.984 \times 2.6483 = 7.85$$

即两组收缩压平均下降差值的 95% 可信区间为 -2.65~7.85mmHg。

五、总体率的区间估计

总体率的点估计是直接利用样本率 p 作为总体率 π 的点估计值,因其未考虑抽样误差,在实际的医学研究中,经常使用总体率的区间估计。

1. 小样本率的区间估计 利用二项分布可估计其总体率 $1-\alpha$ 可信区间, α 一般取 0.05。对于 $n \leq 50$, 且 p 接近于 0 或 1 时,可直接查附表 6 百分率的可信区间表得到其总体率的可信区间。

例 6-5 2003 年 4~6 月某医院重症监护病房收治重症 SARS 患者 38 人,其中死亡 14 人,求 SARS 病死率的 95% 可信区间。

查附表 6, 在 $n=38, X=14$ 的纵横交叉处的数值上行 22~54, 下行 18~59, 即 SARS 病死率 95% 的可信区间为 22%~54%。

注意: 附表 6 中的 X 只列出 $X \leq n/2$ 部分, 当 $X > n/2$ 时, 应以 $n-X$ 值查表, 然后用 100 减去查表得到的数值, 即为所求的可信区间。

2. 大样本率的区间估计 当 n 较大, p 和 $1-p$ 均不太小, 如 np 和 $n(1-p)$ 均大于 5 时, 可利用样本率 p 近似服从正态分布的原理来估计总体率的 $1-\alpha$ 可信区间, 计算公式为

$$p \pm z_{\alpha/2} S_p \quad (6-17)$$

其中 $S_p = \sqrt{p(1-p)/n}$ 。当 $\alpha=0.05$ 时, $z_{0.05/2}=1.96$ 。

例 6-6 某区疾病预防控制中心 2002 年对该乡镇 250 名小学生进行贫血的检测, 结果发现有 86 名贫血者, 检出率为 34.40%, 求贫血检出率 95% 的可信区间。

本例 $n=250$ 较大, 且 $np=86$, $n(1-p)=164$ 均大于 5, 可用(6-17)公式计算总体率 95% 的可信区间。

$$p \pm z_{\alpha/2} S_p = p \pm z_{0.05/2} \sqrt{\frac{p(1-p)}{n}} = 0.3440 \pm 1.96 \sqrt{\frac{0.3440 \times (1-0.3440)}{250}} = (0.2851, 0.4029)$$

即该乡镇小学生贫血检出率 95% 的可信区间为 28.51%~40.29%。

六、两总体率差值的区间估计

设两样本率分别为 p_1 和 p_2 , 当 n_1 与 n_2 均较大, 且 $p_1, 1-p_1$ 及 $p_2, 1-p_2$ 均不太小, 如 $n_1 p_1, n_1(1-p_1), n_2 p_2, n_2(1-p_2)$ 均大于 5 时, 可采用正态近似法对两总体率差值进行可信区间估计, 其计算公式为

$$(p_1 - p_2) \pm z_{\alpha/2} S_{p_1 - p_2} \quad (6-18)$$

其中

$$S_{p_1 - p_2} = \sqrt{p_c(1-p_c) \left(\frac{1}{n_1} + \frac{1}{n_2} \right)}, \quad p_c = \frac{X_1 + X_2}{n_1 + n_2} \quad (6-19)$$

X_1 和 X_2 分别表示两组中某事件发生的例数。

例 6-7 某医院口腔科医生用极固宁治疗牙本质过敏症, 以双氟涂料作对照, 进行了 1 年的追踪观察, 结果见表 6-1 所示, 试估计两组有效率差别 95% 的可信区间。

表 6-1 治疗牙本质过敏症两组有效率的比较

组别	总牙数	有效数	有效率(%)
试验组	77	61	79.22
对照组	69	38	55.07
合计	146	99	67.81

本例:

$$p_c = \frac{X_1 + X_2}{n_1 + n_2} = \frac{61 + 38}{77 + 69} = 0.6781$$

$$S_{p_1 - p_2} = \sqrt{p_c(1-p_c) \left(\frac{1}{n_1} + \frac{1}{n_2} \right)} = \sqrt{0.6781 \times (1-0.6781) \times \left(\frac{1}{77} + \frac{1}{69} \right)} = 0.0775$$

两组总体率差别 95% 的可信区间为

$$(p_1 - p_2) \pm z_{\alpha/2} S_{p_1 - p_2} = (0.7922 - 0.5507) \pm 1.96 \times 0.0775 = (0.0896, 0.3934)$$

即两组治疗效果的总体有效率之差的 95% 可信区间为 8.96%~39.34%。

第二节 假设检验

一、基本原理

假设检验(hypothesis test)亦称显著性检验(significant test), 是统计推断的另一重要内容, 其目的是比较总体参数之间有无差别。实际中多数情况是用样本数据去推断总体, 由于存在生物

个体变异和随机测量误差,不能简单地根据样本统计量数值的大小直接比较总体参数。如在比较甲乙两种治疗高脂血症药物疗效的试验中,甲乙两组各为 100 名患者,甲药使血清甘油三酯平均下降 1.36mmol/L,乙药使血清甘油三酯平均下降 1.12mmol/L,这一结果并不能说明甲药优于乙药,因为如果再重新做一次试验其结果可能相反。假设检验的基本思想是,首先对所需要比较的总体提出一个无差别的假设,然后通过样本数据去推断是否拒绝这一假设。其意义可由下面的例子说明。

例 6-8 使用黑加仑油软胶囊治疗高脂血症,30 名患者治疗前后血清甘油三酯检测结果的差值为 1.38 ± 0.76 (mmol/L),问治疗后血清甘油三酯是否有所改善?

对上面问题可以作如下考虑:如果治疗前后血清甘油三酯没有改善,则前后变化差值的总体均数应为 $\mu_d=0$,但现在计算出的样本差值均数 $\bar{d}=1.38$,其差别可能由两种原因引起,即药物的作用和生物变异性波动。现用假设 $H_0:\mu_d=0$ 表示治疗前后没有差别,需要判断的是这个假设是否符合实际检测结果。我们知道,即使治疗前后血清甘油三酯没有改善,由于生物的变异性, \bar{d} 不会恰好等于 0;但当 $\bar{d}-0$ 较大时,血清甘油三酯的改变就难以完全用生物变异来解释,从而认为药物具有作用。问题是 $\bar{d}-0$ 究竟要大到多少才能够下这样的结论?

由前一节知道,如果治疗前后血清甘油三酯检测结果的差值服从正态分布,在 $H_0:\mu_d=0$ 成立的条件下, $t=(\bar{d}-0)/(S_d/\sqrt{n})$ 服从 t 分布(S_d 为差值的标准差)。因此,可以利用现有样本计算 t 统计量,然后根据 t 分布得到能有如此大差异的概率 P 进行判断,如果这种概率很小,即计算出的 t 值超出了给定的界限(检验水准),则倾向于拒绝假设 H_0 ,认为治疗前后有差别(参见图 6-2)。

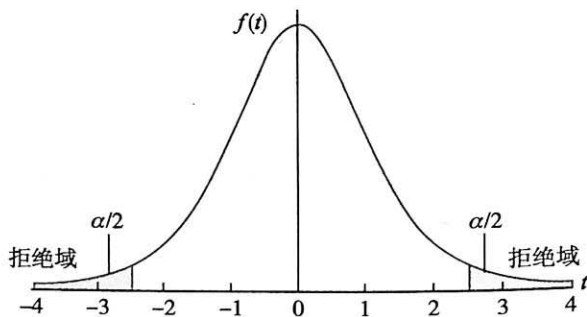


图 6-2 利用 t 分布进行假设检验原理示意图

假设检验的实质是判断观察到的“差别”是由抽样误差引起还是总体上的不同,目的是评价两种不同处理引起效应不同的证据有多强,这种证据的强度用概率 P 度量和表示。除 t 分布外,针对不同的资料还有其他各种检验统计量及分布,如 F 分布、 χ^2 分布等,应用这些分布对不同类型的数据进行假设检验的步骤相同,其差别仅仅是需要计算的检验统计量不同。

二、基本步骤

(一) 建立假设和确定检验水准

假设检验中,包括原假设(null hypothesis)和备择假设(alternative hypothesis)两种假设。

原假设符号为 H_0 ,指需要检验的假设,如治疗前后血清甘油三酯没有差别,即

$$H_0:\mu_d=0$$

这一假设通常与我们要验证的结论相反,是计算检验统计量和 P 值的依据。

备择假设符号为 H_1 ,是在 H_0 成立证据不足的情况下而被接受的假设,如拒绝治疗前后血清甘油三酯相同的假设,可表示为

$$H_1:\mu_d \neq 0$$

备择假设有双侧和单侧两种情况。双侧检验指无论是正方向还是负方向的误差,若显著地超出

检验水准则拒绝 H_0 , $H_1: \mu_d \neq 0$ 即为双侧检验。单侧检验指仅在正方向或负方向误差超出规定的检验水准时则拒绝 H_0 , 如治疗后血清甘油三酯下降的假设可表示为

$$H_1: \mu_d > 0 \text{ (或 } H_1: \mu_d < 0 \text{)}$$

双侧检验和单侧检验应如何选择, 需根据研究目的和专业知识而定。例如, 比较两种降血脂药物的疗效, 因无法判断两种药物的优劣, 应选用双侧检验; 如果是检验一种药物的降血脂作用, 因为药物一般总是能降低血脂而不是升高血脂, 这时可以采用单侧检验。由于双侧检验将拒绝域的概率等分在 t 分布两侧的尾部, 因此单侧检验的 t 界值(绝对值)总是小于双侧检验所用的界值。对同一样本, 双侧检验得出有显著性差别的结论, 单侧检验也一定是显著的, 因而在实际中使用较多的是双侧检验。本书中在未作说明的情况下, 选用的均是双侧检验。

建立检验假设的同时, 还必须给出检验水准。检验水准亦称显著性水准(significant level), 用 α 表示, 是预先规定的拒绝域的概率值, 实际中一般取 $\alpha=0.05$ 或 $\alpha=0.01$ 。显然, α 值越大越容易得出有差别的结论。

(二) 选择检验方法和计算检验统计量

根据资料类型、研究设计方案和统计推断的目的, 选择适当的检验方法和计算公式。许多假设检验方法是以检验统计量来命名的, 如 t 检验、 z 检验、 F 检验和 χ^2 检验等, 这些都是后面章节要学习的重要内容。

(三) 根据 P 值做出统计推断

查表得到检验用的临界值, 然后将算得的统计量与拒绝域的临界值作比较, 确定 P 值。如对双侧 t 检验 $|t| \geq t_{\alpha/2, v}$, 则 $P \leq \alpha$, 按 α 检验水准拒绝 H_0 , 接受 H_1 ; 若 $P > \alpha$, 则不能拒绝 H_0 。 P 值是假设检验下结论的主要依据, 其含义是指在原假设成立的条件下, 观察到的样本差别是由于机遇所致的概率。因此, P 值越小越有理由拒绝原假设, 认为总体之间有差别的统计学证据越充分。需要注意: 不拒绝 H_0 不等于支持 H_0 成立, 仅表示现有样本信息不足以拒绝 H_0 。

我们在下结论时, 应使用“差异有无统计学意义”进行表述。由于统计软件的应用和普及, 最好列出精确的 P 值, 以便对检验结果的可靠性做出准确的判断, 当软件输出 P 为 0.000 时, 应写成“ $P < 0.001$ ”。在没有统计软件的情况下, 也可以通过查阅界值表得到 P 值的所在范围。

练习题

一、单项选择题

1. 样本均数的标准误越小说明()
 - A. 观察个体的变异越小
 - B. 观察个体的变异越大
 - C. 抽样误差越大
 - D. 由样本均数估计总体均数的可靠性越小
 - E. 由样本均数估计总体均数的可靠性越大
2. 抽样误差产生的原因是()
 - A. 样本不是随机抽取
 - B. 测量不准确
 - C. 资料不是正态分布
 - D. 个体差异
 - E. 统计指标选择不当
3. 要减少抽样误差, 通常的做法是()
 - A. 减小系统误差
 - B. 将个体变异控制在一定范围内
 - C. 减小标准差
 - D. 控制偏倚
 - E. 适当增加样本含量

4. 对于正偏态分布的总体,当样本含量足够大时,样本均数的分布近似为()
- A. 正偏态分布
B. 负偏态分布
C. 正态分布
D. t 分布
E. 标准正态分布
5. 用某种中成药治疗高血压患者 100 名,总有效率为 80.2%,标准误为 0.038,则总有效率的 95% 可信区间估计为()
- A. $0.802 \pm 1.64 \times 0.083$
B. $0.802 \pm 1.96 \times 0.083$
C. $0.802 \pm 2.58 \times 0.083$
D. $> 0.802 - 1.64 \times 0.083$
E. $< 0.802 + 1.64 \times 0.083$
6. 根据样本资料算得健康成人白细胞计数的 95% 可信区间为 $7.2 \times 10^9/L \sim 9.1 \times 10^9/L$,其含义是()
- A. 估计总体中有 95% 的观察值在此范围内
B. 总体均数在该区间的概率为 95%
C. 样本中有 95% 的观察值在此范围内
D. 该区间包含样本均数的可能性为 95%
E. 该区间包含总体均数的可能性为 95%
7. 某地抽取正常成年人 200 名,测得其血清胆固醇的均数为 3.64mmol/L,标准差为 1.20mmol/L,则该地正常成年人血清胆固醇均数 95% 的可信区间是()
- A. $3.64 \pm 1.96 \times 1.20$
B. 3.64 ± 1.20
C. $3.64 \pm 1.96 \times 1.20/\sqrt{200}$
D. $3.64 \pm 2.58 \times 1.20/\sqrt{200}$
E. $3.64 \pm 2.58 \times 1.20$
8. 假设检验的目的是()
- A. 检验参数估计的准确度
B. 检验样本统计量是否不同
C. 检验样本统计量与总体参数是否不同
D. 检验总体参数是否不同
E. 检验样本的 P 值是否为小概率
9. 假设检验差别有统计学意义时, P 越小,说明()
- A. 样本均数差别越大
B. 总体均数差别越大
C. 认为样本之间有差别的统计学证据越充分
D. 认为总体之间有差别的统计学证据越充分
E. 认为总体之间有差别的统计学证据越不充分
10. 关于假设检验,正确的说法是()
- A. 检验水准必须设为 0.05
B. 必须采用双侧检验
C. 必须根据样本大小选择检验水准
D. 必须建立无效假设
E. 要说明无效假设正确,必须计算 P 值

二、计算与分析

1. 为了解某地区小学生血红蛋白含量的平均水平,现随机抽取该地小学生 450 人,算得其血红蛋白平均数为 101.4g/L,标准差为 1.5g/L,试计算该地小学生血红蛋白平均数的 95% 可信区间。

2. 新药临床试验对加替沙星冻干粉针治疗细菌感染进行随机对照研究,采用左氧氟沙星作为对照组,试验组和对照组的例数分别为 102 和 104 例,试验结果加替沙星冻干粉

针的有效率为 94.4%，左氧氟沙星的有效率为 91.26%，试计算两组有效率差值的 95% 可信区间。

3. 研究高胆固醇是否有家庭聚集性，已知正常儿童的总胆固醇平均水平是 175mg/dl，现测得 100 名曾患心脏病且胆固醇高的子代儿童的胆固醇平均水平为 207.5mg/dl，标准差为 30mg/dl。问题：

- (1) 如何衡量这 100 名儿童总胆固醇样本平均数的抽样误差？
- (2) 估计 100 名儿童的胆固醇平均水平的 95% 可信区间。
- (3) 根据可信区间判断高胆固醇是否有家庭聚集性，并说明理由。

(梁维君 李 康)

第七章 t 检验

本章介绍计量资料两组均数比较的 t 检验方法, 根据研究设计和资料的性质有单个样本 t 检验、配对样本 t 检验、两个独立样本 t 检验以及在方差不齐时的 t' 检验。 t 检验的理论依据是上一章介绍的 t 分布和假设检验原理。

第一节 t 检验

一、单样本 t 检验

单样本 t 检验(one-sample t -test) 又称单样本均数 t 检验, 适用于样本均数 \bar{X} 与已知总体均数 μ_0 的比较, 其比较目的是检验样本均数 \bar{X} 所代表的总体均数 μ 是否与已知总体均数 μ_0 有差别。已知总体均数 μ_0 , 一般为标准值、理论值或经大量观察得到的较稳定的指标值。

单样本 t 检验用于总体标准差 σ 未知的资料, 其统计量 t 值按公式(7-1)计算:

$$t = \frac{\bar{X} - \mu_0}{S_{\bar{X}}} = \frac{\bar{X} - \mu_0}{S/\sqrt{n}}, \nu = n - 1 \quad (7-1)$$

其中 S 为样本标准差, n 为样本含量。

例 7-1 以往通过大规模调查已知某地新生儿平均出生体重为 3.30kg。从该地难产儿中随机抽取 35 名新生儿作为研究样本, 平均出生体重为 3.42kg, 标准差为 0.40kg, 问该地难产儿出生体重与一般新生儿体重有无差异?

本例已知总体均数 $\mu_0 = 3.30\text{kg}$, 但总体标准差 σ 未知, $n = 35$, 为小样本, $\bar{X} = 3.42\text{kg}$, $S = 0.40\text{kg}$, 故选用单样本 t 检验。

(1) 建立检验假设, 确定检验水准

$H_0: \mu = \mu_0$, 该地难产儿与一般新生儿平均出生体重相同

$H_1: \mu \neq \mu_0$, 该地难产儿与一般新生儿平均出生体重不同

$\alpha = 0.05$

(2) 计算检验统计量

在 $\mu = \mu_0$ 成立的前提条件下, 计算统计量为

$$t = \frac{\bar{X} - \mu_0}{S_{\bar{X}}} = \frac{\bar{X} - \mu_0}{S/\sqrt{n}} = \frac{3.42 - 3.30}{0.40/\sqrt{35}} = 1.77$$

(3) 根据 P 值, 作出推断结论

本例自由度 $\nu = n - 1 = 35 - 1 = 34$, 查附表 2, 得 $t_{0.05/2, 34} = 2.032$ 。因为 $t < t_{0.05/2, 34}$, 故 $P > 0.05$, 表明差异无统计学意义, 按 $\alpha = 0.05$ 水准不拒绝 H_0 , 即根据现有样本信息, 尚不能认为该地难产儿与一般新生儿平均出生体重存在差异。

二、配对样本均数 t 检验

配对样本均数 t 检验简称配对 t 检验(paired t test), 又称非独立两样本均数 t 检验, 适用于配对设计计量资料均数的比较, 其比较目的是检验两相关样本均数所代表的未知总体均数是否有差别。配对设计(paired design)是将受试对象按某些重要特征相近的原则配成对子, 每对中的

两个个体随机地给予两种处理。应用配对设计可以减少实验误差和控制非处理因素,提高统计处理效率。配对设计有两种情况:①同源配对:同一受试对象或同一标本的两个部分,随机分配接受两种不同处理;②异源配对:为消除混杂因素的影响,将两个同质受试对象配对分别接受两种处理,如把同窝、同性别和体重相近的动物配成一对,或把同性别、年龄相近及病情相同的病人配成一对。

配对设计的资料具有对子内数据一一对应的特征,研究者应关心对子的效应差值而不是各自的效应值。因此进行配对 t 检验时,首选应计算各对数据间的差值 d ,将 d 作为变量计算均数。配对样本 t 检验的基本原理是假设两种处理的效应相同,理论上差值 d 的总体均数 μ_d 为 0,现有样本差值均数不等于 0 的 \bar{d} 可以来自 $\mu_d=0$ 的总体,也可以来自 $\mu_d \neq 0$ 的总体。因此可将该检验理解为差值样本均数 \bar{d} 与已知总体均数 $\mu_d=0$ 比较的单样本 t 检验,其检验统计量为

$$t = \frac{\bar{d} - \mu_d}{S_{\bar{d}}} = \frac{\bar{d} - 0}{S_{\bar{d}}} = \frac{\bar{d}}{S_d / \sqrt{n}} \quad (7-2)$$

式中 d 为每对数据的差值, \bar{d} 为差值样本的均数, S_d 为差值样本的标准差, $S_{\bar{d}}$ 为差值样本均数的标准差,即差值样本的标准误, n 为配对样本的对子数。

例 7-2 某项研究评估咖啡因对运动者的心肌血流量的影响,先后测定了 12 名男性志愿者饮用咖啡前后运动状态下的心肌血流量 [ml/(min·g)],数据如表 7-1 所示,问饮用咖啡前后运动者的心肌血流量有无差异。

表 7-1 12 名运动者饮用咖啡前后的心肌血流量 [ml/(min·g)]

编号	饮用前	饮用后	差值 d	d^2
1	4.8	4.8	0	0
2	5.1	4.9	0.2	0.04
3	6.4	4.5	1.9	3.61
4	5.7	5.4	0.3	0.09
5	5.6	4.7	0.9	0.81
6	5.3	3.8	1.5	2.25
7	5.1	4.1	1.0	1.00
8	4.9	3.2	1.7	2.89
9	4.7	3.0	1.7	2.89
10	3.5	3.2	0.3	0.09
11	5.2	5.3	-0.1	0.01
12	5.3	5.1	0.2	0.04
合计			9.6($\sum d$)	13.72($\sum d^2$)

(1) 建立检验假设,确定检验水准

$H_0: \mu_d=0$, 饮用咖啡前后运动者的平均心肌血流量差异为零

$H_1: \mu_d \neq 0$, 饮用咖啡前后运动者的平均心肌血流量差异不为零

$\alpha=0.05$

(2) 计算检验统计量

先计算差值 d 及 d^2 ,如表 7-1 第四、五列所示。经计算:

$$\sum d = 9.6, \sum d^2 = 13.72, \bar{d} = (\sum d) / n = 9.6 / 12 = 0.8$$

$$S_d = \sqrt{\frac{\sum d^2 - \frac{(\sum d)^2}{n}}{n-1}} = \sqrt{\frac{13.72 - \frac{9.6^2}{12}}{12-1}} = 0.741$$

计算差值的标准误:

$$S_{\bar{d}} = \frac{S_d}{\sqrt{n}} = \frac{0.741}{\sqrt{12}} = 0.214$$

按式(7-2)计算,得:

$$t = \frac{\bar{d}}{S_{\bar{d}}} = \frac{0.8}{0.214} = 3.738$$

(3) 根据 P 值作出推断结论

自由度 $\nu = n - 1 = 12 - 1 = 11$, 查附表 2, 得: $t_{0.05/2, 11} = 2.201$

本例 $t > t_{0.05/2, 11}$, $P < 0.05$, 差别有统计学意义, 拒绝 H_0 , 接受 H_1 , 可以认为饮用咖啡前后运动者的心肌血流量存在差异。

三、两独立样本均数 t 检验

两独立样本 t 检验(two-sample t -test), 又称成组 t 检验, 它适用于完全随机设计的两样本均数的比较, 其目的是检验两样本所来自总体的均数是否相等。完全随机设计是将受试对象随机地分配到两组中, 每组对象分别接受不同的处理, 分析比较两组的处理效应。

两独立样本 t 检验要求两样本所代表的总体服从正态分布 $N(\mu_1, \sigma_1^2)$ 和 $N(\mu_2, \sigma_2^2)$, 且两总体方差 $\sigma_1^2 = \sigma_2^2$, 即方差齐性(homogeneity of variance)。若两者总体方差不齐, 可采用 t' 检验、变量变换或用秩和检验方法处理。

两独立样本 t 检验的检验假设是两总体均数相等, 即 $H_0: \mu_1 = \mu_2$, 也可以表述为 $\mu_1 - \mu_2 = 0$, 这里可将两样本均数的差值 $\bar{X}_1 - \bar{X}_2$ 看成一个统计量, $S_{\bar{X}_1 - \bar{X}_2}$ 就是差值的标准误, 则在 H_0 条件下两独立样本均数 t 检验可视为样本 $\bar{X}_1 - \bar{X}_2$ 与已知总体均数 $\mu_1 - \mu_2 = 0$ 比较的单样本 t 检验, 统计量计算公式为

$$t = \frac{|\bar{X}_1 - \bar{X}_2| - 0}{S_{\bar{X}_1 - \bar{X}_2}} = \frac{|\bar{X}_1 - \bar{X}_2|}{S_{\bar{X}_1 - \bar{X}_2}}, \nu = n_1 + n_2 - 2 \quad (7-3)$$

其中

$$S_{\bar{X}_1 - \bar{X}_2} = \sqrt{S_c^2 \left(\frac{1}{n_1} + \frac{1}{n_2} \right)} \quad (7-4)$$

$$S_c^2 = \frac{\sum X_1^2 - \frac{(\sum X_1)^2}{n_1} + \sum X_2^2 - \frac{(\sum X_2)^2}{n_2}}{n_1 + n_2 - 2} \quad (7-5)$$

S_c^2 称为合并方差(pooled variance), 公式(7-5)可用于已知两样本观察值原始资料时计算, 当两样本标准差 S_1 和 S_2 已知时, 合并方差 S_c^2 为

$$S_c^2 = \frac{(n_1 - 1)S_1^2 + (n_2 - 1)S_2^2}{n_1 + n_2 - 2} \quad (7-6)$$

例 7-3 某项研究评估低氧环境(模拟高原环境)对运动者心肌血流量的影响, 将 17 名男性志愿者随机分成两组, 分别在正常含氧环境(正常组)和低氧环境(低氧组)中测定运动后的心肌血流量[ml/(min·g)], 数据如表 7-2 所示, 问两种环境中运动者的心肌血流量有无差异。

表 7-2 17 名运动者的心肌血流量[ml/(min·g)]

正常组心肌血流量(X_1)	低氧组心肌血流量(X_2)	正常组心肌血流量(X_1)	低氧组心肌血流量(X_2)
3.5	6.4	2.3	4.9
3.1	5.7	2.3	4.7
3.1	5.6	2.2	3.5
2.7	5.3	2.2	
2.5	5.1		

(1) 建立检验假设, 确定检验水准

$H_0: \mu_1 = \mu_2$, 两种环境中运动者的心肌血流量的总体均数相同

$H_1: \mu_1 \neq \mu_2$, 两种环境中运动者的心肌血流量的总体均数不同

$\alpha = 0.05$

(2) 计算检验统计量

由原始数据计算得:

$$n_1 = 9, \sum X_1 = 23.9, \sum X_1^2 = 65.27, \bar{X}_1 = 2.656$$

$$n_2 = 8, \sum X_2 = 41.2, \sum X_2^2 = 217.26, \bar{X}_2 = 5.150$$

代入公式(7-5)和(7-4), 得:

$$S_c^2 = \frac{65.27 - \frac{23.9^2}{9} + 217.26 - \frac{41.2^2}{8}}{9 + 8 - 2} = 0.459$$

$$S_{\bar{X}_1 - \bar{X}_2} = \sqrt{0.459 \times \left(\frac{1}{9} + \frac{1}{8} \right)} = 0.329$$

按式(7-3)计算, 得

$$t = \frac{|2.656 - 5.150|}{0.329} = 7.581$$

(3) 根据 P 值, 作出推断结论

两独立样本 t 检验自由度为 $\nu = n_1 + n_2 - 2 = 9 + 8 - 2 = 15$; 查 t 界值表, $t_{0.05/2, 15} = 2.131$ 。由于 $t > t_{0.05/2, 15}$, $P < 0.05$, 按 $\alpha = 0.05$ 的水准拒绝 H_0 , 接受 H_1 , 两组差异有统计学意义, 可以认为两种环境中运动者的心肌血流量存在差异。

有些资料(如抗体滴度的资料), 宜用几何均数表示其平均水平。由于这些资料不服从正态分布(常服从对数正态分布), 两样本的总体方差也可能不等, 当进行几何均数的假设检验时, 应先进行变量的对数变换, 即将这些观察值 X 用 $\lg X$ 来代替, $\lg X$ 往往近似服从正态分布, 相应的两总体方差也可能相等, 故可用前述的三种形式的 t 检验对 $\lg X$ 进行分析。

第二节 方差不齐时两样本均数的 t' 检验

当两总体方差不等(方差不齐)时, 两独立样本均数的比较, 可采用 t' 检验, 亦称近似 t 检验 (separate variance estimation t -test)。

一、方差齐性检验

由两样本方差推断两总体方差是否相同的检验方法可用 F 检验。 F 检验要求资料服从正态分布。检验统计量 F 值按式(7-7)计算, 得:

$$F = \frac{S_1^2(\text{较大})}{S_2^2(\text{较小})}, v_1 = n_1 - 1, v_2 = n_2 - 1 \quad (7-7)$$

式中 S_1^2 为较大的样本方差, S_2^2 为较小的样本方差。检验统计量 F 值为两个样本方差之比, 若样本方差的不同仅为抽样误差的影响, F 值一般不会偏离 1 太远。求得 F 值后, 查附表 3 (方差齐性检验用的 F 界值表) 得 P 值。一般取 $\alpha = 0.10$ 或 $\alpha = 0.05$ 水准作判断, 若 $F \geq F_{\alpha/2, (v_1, v_2)}$, 则 $P \leq \alpha$, 拒绝 H_0 , 接受 H_1 , 可认为两总体方差不齐; 反之, 则认为两总体方差具有齐性。

例 7-4 两组小白鼠分别饲以高蛋白和低蛋白饲料, 4 周后记录小白鼠体重增加量(g) 如表 7-3 所示, 问两组动物体重增加量的均数是否相等?

表 7-3 两种饲料喂养小白鼠 4 周后体重增重(g) 情况

高蛋白组体重增加量 (X_1)	低蛋白组体重增加量 (X_2)	高蛋白组体重增加量 (X_1)	低蛋白组体重增加量 (X_2)
50	36	48	35
47	38	51	33
42	37	42	37
43	38	50	39
39	36	43	34
51	39		36
43	37		

(1) 建立检验假设, 确定检验水准

$H_0: \sigma_1^2 = \sigma_2^2$, 即高蛋白与低蛋白饲料喂养后小白鼠体重增加量的总体方差相同

$H_1: \sigma_1^2 \neq \sigma_2^2$, 即高蛋白与低蛋白饲料喂养后小白鼠体重增加量的总体方差不同

$\alpha = 0.05$

(2) 计算检验统计量

对表 7-3 的数据计算可得 $S_1^2 = 17.659$, $S_2^2 = 3.269$, 按式(7-7)计算, 得

$$F = \frac{S_1^2}{S_2^2} = \frac{17.659}{3.269} = 5.402$$

(3) 根据 P 值, 作出推断结论

自由度 $v_1 = 12 - 1 = 11$, $v_2 = 13 - 1 = 12$, 查方差齐性检验用的 F 界值表(附表 3), $F_{0.05/2, (11, 12)} \approx 3.34$, $F > F_{0.05/2, (11, 12)}$, 故 $P < 0.05$, 差别有统计学意义, 按 $\alpha = 0.05$ 水准, 拒绝 H_0 , 接受 H_1 。故认为两组体重增加量的总体方差不齐, 不可直接用两独立样本均数 t 检验, 而应采用下述的 t' 检验。

二、 t' 检验

t' 检验有三种方法, 包括 Satterthwaite 法近似 t 检验、Welch 法近似 t 检验和 Cochran & Cox 法近似 t 检验。Cochran & Cox 法是对临界值校正, Satterthwaite 法和 Welch 法是对自由度进行校正。这里主要介绍 Satterthwaite 法和 Cochran & Cox 法。 t' 统计量的计算公式为

$$t' = \frac{\bar{X}_1 - \bar{X}_2}{\sqrt{\frac{S_1^2}{n_1} + \frac{S_2^2}{n_2}}} \quad (7-8)$$

Cochran & Cox 法校正临界值 $t'_{\alpha/2}$ 为

$$t'_{\alpha/2} = \frac{S_{\bar{X}_1}^2 t_{\alpha/2, v} + S_{\bar{X}_2}^2 t_{\alpha/2, v}}{S_{\bar{X}_1}^2 + S_{\bar{X}_2}^2}, v = n_1 + n_2 - 2 \quad (7-9)$$

式中 $\nu_1 = n_1 - 1$, $\nu_2 = n_2 - 1$, 根据校正的临界值, 做出推断结论。

Satterthwaite 法 t' 检验的自由度校正公式为

$$\nu = \frac{(S_1^2/n_1 + S_2^2/n_2)^2}{\frac{(S_1^2/n_1)^2}{n_1 - 1} + \frac{(S_2^2/n_2)^2}{n_2 - 1}} \quad (7-10)$$

根据自由度查 t 界值表, 做出推断结论。Satterthwaite 法是目前统计软件中使用最多的 t' 检验方法。

例 7-5 对例 7-4 资料进行 t' 检验, 比较两组小白鼠增重均数是否不同。

(1) 建立检验假设, 确定检验水准

$H_0: \mu_1 = \mu_2$, 即两种饲料小白鼠增重总体均数相同

$H_1: \mu_1 \neq \mu_2$, 即两种饲料小白鼠增重总体均数不相同

$\alpha = 0.05$

(2) 计算检验统计量

两总体方差不同, 应选用 t' 检验。即

$$t' = \frac{\bar{X}_1 - \bar{X}_2}{\sqrt{\frac{S_1^2}{n_1} + \frac{S_2^2}{n_2}}} = \frac{45.750 - 36.538}{\sqrt{\frac{17.659}{12} + \frac{3.269}{13}}} = 3.103$$

(3) 根据 P 值, 作出推断结论

按 Satterthwaite 法计算校正自由度, 得

$$\nu = \frac{(S_1^2/n_1 + S_2^2/n_2)^2}{\frac{(S_1^2/n_1)^2}{n_1 - 1} + \frac{(S_2^2/n_2)^2}{n_2 - 1}} = \frac{(17.659^2/12 + 3.269^2/13)^2}{\frac{(17.659^2/12)^2}{12 - 1} + \frac{(3.269^2/13)^2}{13 - 1}} = 11.696 \approx 12$$

查 t 界值表, $t_{0.05/2, 12} = 2.179$, $t' > t_{0.05/2, 12}$, $P < 0.05$ 。

按 Cochran & Cox 法计算校正界值, 先查 t 界值表, 得 $t_{0.05/2, 11} = 2.201$, $t_{0.05/2, 12} = 2.179$, 再按公式(7-9), 算得

$$t'_{0.05/2} = \frac{S_{\bar{X}_1}^2 t_{\alpha/2, \nu_1} + S_{\bar{X}_2}^2 t_{\alpha/2, \nu_2}}{S_{\bar{X}_1}^2 + S_{\bar{X}_2}^2} = \frac{1.472 \times 2.201 + 0.251 \times 2.179}{1.472 + 0.251} = 2.198$$

$t' > t'_{0.05/2}$, 得 $P < 0.05$ 。

两种检验方法所获得的界值虽略有差异, 但结论是一致的。按 $\alpha = 0.05$ 水准, 拒绝 H_0 , 接受 H_1 , 差异有统计学意义, 可认为两种饲料饲养后小白鼠增重的总体均数不同, 即高蛋白组的体重增加量高于低蛋白组。

第三节 t 检验中的注意事项

1. 假设检验结论正确的前提 作假设检验用的样本资料, 必须能代表相应的总体, 同时各对比组具有良好的组间均衡性, 才能得出有意义的统计结论和有价值的专业结论。为此要求有严密的实验设计和抽样设计, 如样本是从同质总体中抽取的一个随机样本、试验单位在干预前随机分组等。

2. 检验方法的选用及其适用条件 应根据分析目的、研究设计、资料类型、样本量大小等选用适当的检验方法。 t 检验以正态分布和方差相同为基础, 资料是否满足条件可用正态性检验和方差齐性检验的方法, 或直观地通过数据分布进行判断。若资料不符合上述条件, 可以使用 t' 检验, 也可以进行数据变换或选用第十章的非参数检验方法。在大样本情况下(如 n_1 ,

$n_2 > 50$), 无论数据是否满足“正态”和“方差齐性”, 两组均数检验也可以采用 z 检验方法, 即

$$z = \frac{\bar{X}_1 - \bar{X}_2}{S_{\bar{X}_1 - \bar{X}_2}} = \frac{\bar{X}_1 - \bar{X}_2}{\sqrt{\frac{S_1^2}{n_1} + \frac{S_2^2}{n_2}}} \quad (7-11)$$

3. 双侧检验与单侧检验的选择 需根据研究目的和专业知予以选择。通常情况下, 因为无法事先从专业上判断是否一定有 $\mu_1 \geq \mu_2$ (或 $\mu_1 \leq \mu_2$), 因此更多采用双侧检验。单侧检验通常根据研究目的决定, 如果在决策时只与检验的一侧结果有关 (如非劣效性研究), 则可以采用单侧检验。单侧检验和双侧检验中的 t 值计算过程相同, 只是 t 界值不同, 在相同检验水准下 (如 $\alpha = 0.05$), 对同一资料作单侧检验更容易获得显著的结果。单双侧检验的选择, 应在统计分析工作开始之前根据专业知识决定, 若缺乏这方面的依据, 一般应选用双侧检验。

4. 假设检验的结论不能绝对化 假设检验统计结论的正确性是以概率作保证的, 作统计结论时不能绝对化。在报告结论时, 最好列出概率 P 的确切数值, 当 P 值很小时, 可以用 $P < 0.0001$ 表示; 同时应注明采用的是单侧检验还是双侧检验, 以便读者与同类研究进行比较。

5. 正确理解 P 值的统计意义 P 值的意思指在原假设成立的条件下, 观察到的试验差别是由于机遇所致的概率。因此, P 值越小越有理由拒绝原假设, 认为不同组之间有差别的统计学证据越充分。因此, $P \leq \alpha$ 只能说明差异具有统计学意义, 并不代表实际差异的大小。从本章 t 检验的计算公式可以看出, 假设检验的结论与样本大小有关, 当样本量足够大时, 标准误趋于零, 无论两样本均数相差多少, 都能得到拒绝 H_0 的 t 值和 P 值。

6. 假设检验和可信区间的关系 假设检验用于推断总体均数间是否不同, 而可信区间用于估计总体均数所在的范围, 计算时都利用了抽样误差估计公式。假设检验能够说明组间是否具有差别, 而可信区间则能够说明差别有多大, 帮助判断结果是否具有实际意义, 因此在医学研究论文中通常都要求提供可信区间。

第四节 假设检验中两类错误

假设检验无论是拒绝 H_0 还是不拒绝 H_0 , 都可能犯错误, 见表 7-4。

表 7-4 假设检验的两类错误

真实情况	假设检验结论	
	拒绝 H_0	不拒绝 H_0
H_0 成立	I 类错误 (α)	推断正确 ($1 - \alpha$)
H_1 成立	推断正确 ($1 - \beta$)	II 类错误 (β)

当 H_0 为真时, 假设检验结论拒绝 H_0 , 接受 H_1 , 这类错误称为 I 类错误 (type I error), 在医学中亦称假阳性错误。检验水准 α 是预先规定的允许犯 I 类错误的概率, 当 $\alpha = 0.05$ 时, 表示在 H_0 为真的条件下重复 100 次试验, 理论上会有 5 次拒绝 H_0 。

当真实情况为 H_0 不成立时, 假设检验结论不拒绝 H_0 , 这类错误称为 II 类错误 (type II error), 在医学中亦称假阴性错误。其概率大小用 β 表示。 β 只取单侧, 其值的大小一般未知, 对于计量资料必须在知道两总体的标准差、均数的实际差值和样本含量时才能算出。

为了更好地理解两类错误的意义, 以样本均数与总体均数比较的单侧 t 检验来说明, 见图 7-1。设 $H_0: \mu = \mu_0, H_1: \mu > \mu_0$; 若 H_0 实际上成立, 但由于抽样误差的存在, 偶然得到较大的 \bar{X}_1 值, 使得 $t > t_{\alpha, v}$, 按 $\alpha = 0.05$ 的检验水准拒绝 H_0 , 接受 H_1 , 结论为 $\mu > \mu_0$, 此时犯 I 类错误最大可能概率值为 α 。相反, 若 μ 确实大于 μ_0 (H_0 不成立), 但由于偶然性得到较小的 \bar{X}_2 值, 使得 $t < t_{\alpha, v}$, 检

验结论不拒绝 H_0 , 此时犯的是 II 类错误, 其概率为 β 。统计学上把 $1-\beta$ 称为检验效能 (power of a test), 也称把握度, 表示当两总体确实有差别时, 按规定的检验水准能发现其差别的能力。由图 7-1 中可见, 给定的检验水准 α 值越小, 出现 II 类错误的概率 β 越大, 反之亦然。若要同时减小 α 和 β , 可以通过增加样本量的方法实现。

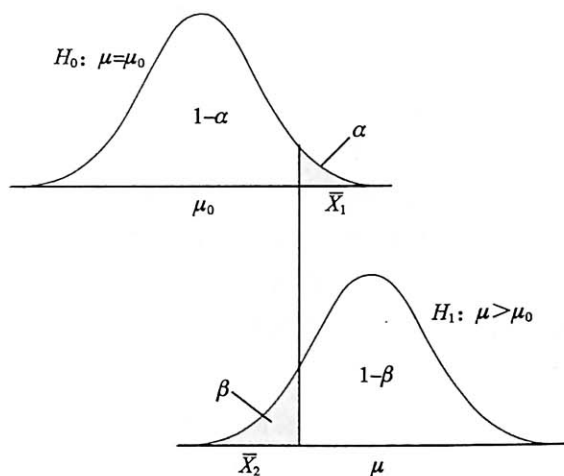


图 7-1 I 类错误和 II 类错误示意图

练习题

一、单项选择题

- 两样本均数之差的标准误反映的是()
 - 两样本数据集中趋势的差别
 - 两样本数据的变异程度
 - t 分布的不同形状
 - 数据的分布特征
 - 两样本均数之差的变异程度
- 两样本均数比较, 检验结果 $P > 0.05$ 说明()
 - 两总体均数的差别较小
 - 两总体均数的差别较大
 - 支持两总体无差别的结论
 - 不支持两总体有差别的结论
 - 可以确认两总体无差别
- 由两样本均数的差别推断两总体均数的差别, 其差别有统计学意义指的是()
 - 两样本均数的差别具有实际意义
 - 两总体均数的差别具有实际意义
 - 两样本和两总体均数的差别都具有实际意义
 - 有理由认为两样本均数有差别
 - 有理由认为两总体均数有差别
- 两样本均数比较, 差别有统计学意义时, P 值越小说明()
 - 两样本均数差别越大
 - 两总体均数差别越大
 - 越有理由认为两样本均数不同
 - 越有理由认为两总体均数不同
 - 越有理由认为两样本均数相同
- 假设检验中的 II 类错误指的是()
 - 可能出现的误判错误
 - 可能出现的假阳性错误

- C. 可能出现的假阴性错误
D. 可能出现的原假设错误
E. 可能出现的备择假设错误
6. 减小假设检验的Ⅱ类错误,应该使用的方法是()
A. 减小Ⅰ类错误
B. 减小测量的系统误差
C. 减小测量的随机误差
D. 提高检验界值
E. 增加样本量
7. 以下不能用配对 t 检验方法的是()
A. 比较 15 名肝癌患者癌组织和癌旁组织中 *Sirt1* 基因的表达量
B. 比较两种检测方法测量 15 名肝癌患者癌组织中 *Sirt1* 基因的表达量
C. 比较早期和晚期肝癌患者各 15 例癌组织中 *Sirt1* 基因的表达量
D. 比较糖尿病患者经某种药物治疗前后糖化血红蛋白的变化
E. 比较 15 名受试者针刺檀中穴前后的痛阈值
8. 两独立样本均数 t 检验,其前提要求是()
A. 两总体均数相等
B. 两总体均数不等
C. 两总体方差相等
D. 两总体方差不等
E. 两总体均数和方差都相等
9. 若将配对设计的数据进行两独立样本均数 t 检验,容易出现的问题是()
A. 增加出现Ⅰ类错误的概率
B. 增加出现Ⅱ类错误的概率
C. 检验结果的 P 值不准
D. 方差齐性检验的结果不准
E. 不满足 t 检验的应用条件
10. 两组定量资料比较,当方差不齐时,应该使用的检验方法是()
A. 配对 t 检验
B. Satterthwaite t' 检验
C. 两独立样本均数 t 检验
D. 方差齐性检验
E. z 检验

二、计算与分析

1. 已知正常成年男子血红蛋白均值为 140g/L,今随机调查某厂成年男子 30 人,测其血红蛋白均值为 125g/L,标准差 15g/L。问该厂成年男子血红蛋白均值与一般成年男子是否不同?

2. 某研究者为比较耳垂血和手指血的白细胞数,调查 12 名成年人,同时采取耳垂血和手指血见下表,试比较两者的白细胞数有无不同。

成人耳垂血和手指血白细胞数($\times 10^9/L$)

编号	耳垂血	手指血	编号	耳垂血	手指血
1	9.7	6.7	7	4.7	4.6
2	6.2	5.4	8	5.8	4.2
3	7.0	5.7	9	7.8	7.5
4	5.3	5.0	10	8.6	7.0
5	8.1	7.5	11	6.1	5.3
6	9.9	8.3	12	9.9	10.3

3. 分别测得 15 名健康人和 13 名Ⅲ度肺气肿病人痰中 α_1 抗胰蛋白酶含量(g/L)如下表,问健康人与Ⅲ度肺气肿病人 α_1 抗胰蛋白酶含量是否不同?

健康人与Ⅲ度肺气肿患者 α_1 抗胰蛋白酶含量(g/L)

健康人	Ⅲ度肺气肿患者	健康人	Ⅲ度肺气肿患者
2.7	3.6	1.9	4.8
2.2	3.4	1.3	5.6
4.1	3.7	1.5	4.1
4.3	5.4	1.7	3.3
2.6	3.6	1.3	4.3
1.9	6.8	1.3	
1.7	4.7	1.9	
0.6	2.9		

4. 将钩端螺旋体病人的血清分别用标准株和水生株作凝溶试验,测得稀释倍数如下表,问两组的平均效价有无差别?

钩端螺旋体病患者凝溶试验的稀释倍数

标准株	100	200	400	400	400	400	800	1600	1600	1600	3200	3200	3200
水生株	100	100	100	200	200	200	200	400	400	800	1600		

5. 为比较男、女大学生的血清谷胱甘肽过氧化物酶(GSH-Px)的活力是否相同,某医生从某大学 18~22 岁大学生中随机抽查男生 48 名、女生 46 名,测定其血清谷胱甘肽过氧化物酶含量(活力单位),男、女性的均数分别为 96.53 和 93.73,男、女性标准差分别为 7.66 和 14.97。问男女性的 GSH-Px 是否相同?

(沈其君 董长征)



第八章 方差分析

上一章介绍了两个样本均数比较的 t 检验, 而对于多于两组 ($k > 2$) 样本均数的比较, t 检验不再适用, 方差分析 (analysis of variance, ANOVA) 则是解决上述问题的重要分析方法。方差分析由 R.A.Fisher (1923) 首先提出, 故又称为 F 检验, 其基本思想是将全部观测值的总变异按影响因素分解为相应的若干部分变异, 在此基础上, 计算假设检验的统计量 F 值, 实现对总体均数是否有差别的推断。

第一节 完全随机设计的方差分析

完全随机设计 (completely randomized design), 是一种将实验对象随机分配到不同处理组的单因素设计方法。该设计只考察一个处理因素, 通过对该因素不同水平组间均值的比较, 推断该处理因素不同水平之间的差异是否具有统计学意义。完全随机设计的数据结构一般形式如表 8-1 所示, 其中 k 为处理因素的水平数, X_{ij} 为处理因素第 i 水平的第 j 个观测值, $n_i (i = 1, 2, \dots, k)$ 为处理因素第 i 水平组的观测例数, n 为总例数, \bar{X}_i 为处理因素第 i 水平组的均数, \bar{X} 为总均数, S_i^2 为处理因素第 i 水平组的方差, S^2 为全部观测值的方差。

表 8-1 完全随机设计方差分析的数据结构

	处理因素						合计
	水平 1	水平 2	...	水平 i	...	水平 k	
	X_{11}	X_{21}	...	X_{i1}	...	X_{k1}	
	X_{12}	X_{22}	...	X_{i2}	...	X_{k2}	
	
	X_{1j}	X_{2j}	...	X_{ij}	...	X_{kj}	
	
	X_{1n}	X_{2n}	...	X_{in}	...	X_{kn}	
n_i	n_1	n_2	...	n_i	...	n_k	n
\bar{X}_i	\bar{X}_1	\bar{X}_2	...	\bar{X}_i	...	\bar{X}_k	\bar{X}
S_i^2	S_1^2	S_2^2	...	S_i^2	...	S_k^2	S^2

表 8-1 中, n 个观测值彼此不同, 可以用方差来反映其变异程度。方差的分子部分为 n 个观测值的离均差平方和, 称为总变异 (记为 $SS_{\text{总}}$), 对此可以作如下分解:

$$\begin{aligned}
 SS_{\text{总}} &= \sum_{i=1}^k \sum_{j=1}^{n_i} (X_{ij} - \bar{X})^2 = \sum_{i=1}^k \sum_{j=1}^{n_i} [(X_{ij} - \bar{X}_i) + (\bar{X}_i - \bar{X})]^2 \\
 &= \sum_{i=1}^k n_i (\bar{X}_i - \bar{X})^2 + \sum_{i=1}^k \sum_{j=1}^{n_i} (X_{ij} - \bar{X}_i)^2 + 2 \sum_{i=1}^k \sum_{j=1}^{n_i} (X_{ij} - \bar{X}_i)(\bar{X}_i - \bar{X})
 \end{aligned}$$

其中

$$2 \sum_{i=1}^k \sum_{j=1}^{n_i} (X_{ij} - \bar{X}_i)(\bar{X}_i - \bar{X}) = 0$$

故

$$SS_{\text{总}} = \sum_{i=1}^k n_i (\bar{X}_i - \bar{X})^2 + \sum_{i=1}^k \sum_{j=1}^{n_i} (X_{ij} - \bar{X}_i)^2$$



其中, $\sum_{i=1}^k n_i (\bar{X}_i - \bar{X})^2$ 称为组间变异, 记为 $SS_{\text{组间}}$, 反映了处理因素各个水平组间的差异, 同时也包含了随机误差; $\sum_{i=1}^k \sum_{j=1}^{n_i} (X_{ij} - \bar{X}_i)^2$ 称为组内变异, 记为 $SS_{\text{组内}}$, 反映了各组内样本的随机波动。由此可见, 总变异 $SS_{\text{总}}$ 可以分解为组间变异 $SS_{\text{组间}}$ 和组内变异 $SS_{\text{组内}}$, 即

$$SS_{\text{总}} = SS_{\text{组间}} + SS_{\text{组内}} \quad (8-1)$$

其中, 总变异自由度 $\nu_{\text{总}} = n - 1$, 组间变异自由度 $\nu_{\text{组间}} = k - 1$, 组内变异自由度 $\nu_{\text{组内}} = n - k$ 。对于自由度, 同样有

$$\nu_{\text{总}} = \nu_{\text{组间}} + \nu_{\text{组内}} \quad (8-2)$$

上述各部分变异除以相应自由度得到相应平均变异, 即方差(通常称均方)。组间均方为

$$MS_{\text{组间}} = \frac{SS_{\text{组间}}}{\nu_{\text{组间}}} = \frac{SS_{\text{组间}}}{k-1} \quad (8-3)$$

组内(误差)均方为

$$MS_{\text{组内}} = \frac{SS_{\text{组内}}}{\nu_{\text{组内}}} = \frac{SS_{\text{组内}}}{n-k} \quad (8-4)$$

检验各处理组均值之间有无差异这一假设可以通过比较 $MS_{\text{组间}}$ 和 $MS_{\text{组内}}$ 来实现。 $MS_{\text{组间}}$ 与 $MS_{\text{组内}}$ 之比即构成了方差分析的统计量, 即

$$F = \frac{MS_{\text{组间}}}{MS_{\text{组内}}} \quad (8-5)$$

可以证明, 当原假设 H_0 成立时, 统计量 F 服从自由度为 $(k-1, n-k)$ 的 F 分布。 F 值接近 1, 可认为均值的差异只源于随机波动, 而非处理因素作用; F 值大于 1 并且 $F > F_{\alpha(k-1, n-k)}$, $P < \alpha$, 则按 α 水准拒绝 H_0 , 表明有随机波动之外的处理因素造成了均值的差异。

以上计算过程可用完全随机设计方差分析表(表 8-2)进行概括。

表 8-2 完全随机设计的方差分析表

变异来源	平方和(SS)	自由度(ν)	均方(MS)	F值
总变异	$SS_{\text{总}} = \sum_{i=1}^k \sum_{j=1}^{n_i} (X_{ij} - \bar{X})^2 = (n-1)S^2$	$\nu_{\text{总}} = n-1$		
处理组间	$SS_{\text{组间}} = \sum_{i=1}^k n_i (\bar{X}_i - \bar{X})^2$	$\nu_{\text{组间}} = k-1$	$MS_{\text{组间}} = \frac{SS_{\text{组间}}}{\nu_{\text{组间}}}$	$F = \frac{MS_{\text{组间}}}{MS_{\text{组内}}}$
组内(误差)	$SS_{\text{组内}} = SS_{\text{总}} - SS_{\text{组间}}$	$\nu_{\text{组内}} = \nu_{\text{总}} - \nu_{\text{组间}}$	$MS_{\text{组内}} = \frac{SS_{\text{组内}}}{\nu_{\text{组内}}}$	

注: 方差分析表中自由度 ν 常以 DF 表示

例 8-1 在评价某药物耐受性及安全性的 I 期临床试验中, 将符合纳入标准的 30 名健康自愿者随机分为 3 组, 每组 10 名, 各组注射剂量分别为 0.5U、1U、2U, 观察 48 小时部分凝血活酶时间(s), 结果见表 8-3。试问不同剂量组的部分凝血活酶时间有无不同?

方差分析具体步骤:

(1) 提出检验假设, 确定检验水准

$H_0: \mu_1 = \mu_2 = \mu_3$, 即三个组部分凝血活酶时间的总体均数相同

$H_1: \mu_1, \mu_2, \mu_3$ 不全相同, 即三个组部分凝血活酶时间的总体均数不全相同

$\alpha = 0.05$

表 8-3 三种不同剂量组 48 小时部分凝血活酶时间(s)

	0.5U	1U	2U	合计
	36.8	40.0	32.9	
	34.4	35.5	37.9	
	34.3	36.7	30.5	
	35.7	39.3	31.1	
	33.2	40.1	34.7	
	31.1	36.8	37.6	
	34.3	33.4	40.2	
	29.8	38.3	38.1	
	35.4	38.4	32.4	
	31.2	39.8	35.6	
n_i	10	10	10	30(n)
\bar{X}_i	33.62	37.83	35.10	35.5167(\bar{X})
S_i	2.2636	2.2071	3.3133	3.1072(S)

(2) 计算检验统计量 F 值

$$SS_{\text{总}} = (n-1)S^2 = (30-1) \times 3.1072^2 = 279.9861$$

$$v_{\text{总}} = 30 - 1 = 29$$

$$\begin{aligned} SS_{\text{组间}} &= \sum_{i=1}^k n_i (\bar{X}_i - \bar{X})^2 \\ &= 10 \times (33.62 - 35.5167)^2 + 10 \times (37.83 - 35.5167)^2 + 10 \times (35.10 - 35.5167)^2 \\ &= 91.2247 \end{aligned}$$

$$v_{\text{组间}} = 3 - 1 = 2$$

$$MS_{\text{组间}} = \frac{SS_{\text{组间}}}{v_{\text{组间}}} = \frac{91.2247}{2} = 45.6124$$

$$SS_{\text{组内}} = SS_{\text{总}} - SS_{\text{组间}} = 279.9861 - 91.2247 = 188.7614$$

$$v_{\text{组内}} = v_{\text{总}} - v_{\text{组间}} = 29 - 2 = 27$$

$$MS_{\text{组内}} = \frac{SS_{\text{组内}}}{v_{\text{组内}}} = \frac{188.7614}{27} = 6.9912$$

$$F = \frac{MS_{\text{组间}}}{MS_{\text{组内}}} = \frac{45.6124}{6.9912} = 6.52$$

将上述计算结果列于表 8-4 的方差分析表中。

表 8-4 完全随机设计的方差分析表

变异来源	SS	v	MS	F	P
总变异	279.9861	29			
处理组间	91.2247	2	45.6124	6.52	<0.05
组内(误差)	188.7614	27	6.9912		

(3) 确定 P 值, 做出推断结论

分子自由度 $v_{\text{组间}} = 2$, 分母自由度 $v_{\text{组内}} = 27$, 查 F 界值表(方差分析用), 因 F 界值表中无

$v_{\text{组内}}=27$, 取 $v_{\text{组内}}=26$, $F_{0.05(2,26)}=2.52$ 。由于 $F > F_{0.05(2,26)}$, 从而 $P < 0.05$, 按照 $\alpha=0.05$ 的检验水准拒绝 H_0 , 可以认为三种不同剂量 48 小时部分凝血活酶时间不全相同。

第二节 随机区组设计的方差分析

随机区组设计(randomized block design)又称为配伍组设计,其做法是先将受试对象按条件相同或相近组成 m 个区组(或称配伍组),每个区组中有 k 个受试对象,再将其随机地分到 k 个处理组中。随机区组设计在 m 个区组和 k 个处理水平组构成 mk 个格子,每个格子仅一个数据 $X_{ij}(i=1,2,3,\dots,k;j=1,2,3,\dots,m)$,其方差分析属无重复数据的两因素方差分析(two-way ANOVA),数据结构如表 8-5 所示。

表 8-5 随机区组设计方差分析的数据结构

区组(B)	处理因素(A)			
	水平 1	水平 2	...	水平 k
区组 1	X_{11}	X_{21}	...	X_{k1}
区组 2	X_{12}	X_{22}	...	X_{k2}
...
区组 m	X_{1m}	X_{2m}	...	X_{km}

与完全随机设计方差分析情况类似,总变异 $SS_{\text{总}}$ 可分解为处理组的变异 $SS_{\text{处理}}$ 、区组的变异 $SS_{\text{区组}}$ 以及随机误差 $SS_{\text{误差}}$, 即

$$SS_{\text{总}} = SS_{\text{处理}} + SS_{\text{区组}} + SS_{\text{误差}} \quad (8-6)$$

相应的自由度有

$$v_{\text{总}} = v_{\text{处理}} + v_{\text{区组}} + v_{\text{误差}} \quad (8-7)$$

式(8-6)中的各项计算与完全随机设计的方差分析相同,只需要另外计算 $SS_{\text{区组}}$, 即

$$SS_{\text{区组}} = \sum_{j=1}^m k(\bar{X}_j - \bar{X})^2 \quad (8-8)$$

其中, \bar{X}_j 为各区组的均数, m 和 k 分别为区组和处理的水平数。上述计算公式归纳在方差分析表中(见表 8-6)。需要注意的是,由于公式中使用了处理组间和区组间的均数(传统方法是求和计算),手工计算可能出现较大的误差,实际应用中最好采用统计软件进行计算。

表 8-6 随机区组设计的方差分析表

变异来源	平方和(SS)	自由度(v)	均方(MS)	F值
总变异	$SS_{\text{总}} = \sum_{i=1}^k \sum_{j=1}^m (X_{ij} - \bar{X})^2 = (n-1)S^2$	$v_{\text{总}} = n-1$		
处理间	$SS_{\text{处理}} = \sum_{i=1}^k m(\bar{X}_i - \bar{X})^2$	$v_{\text{处理}} = k-1$	$MS_{\text{处理}} = \frac{SS_{\text{处理}}}{v_{\text{处理}}}$	$F_{\text{处理}} = \frac{MS_{\text{处理}}}{MS_{\text{误差}}}$
区组间	$SS_{\text{区组}} = \sum_{j=1}^m k(\bar{X}_j - \bar{X})^2$	$v_{\text{区组}} = m-1$	$MS_{\text{区组}} = \frac{SS_{\text{区组}}}{v_{\text{区组}}}$	$F_{\text{区组}} = \frac{MS_{\text{区组}}}{MS_{\text{误差}}}$
误差	$SS_{\text{误差}} = SS_{\text{总}} - SS_{\text{处理}} - SS_{\text{区组}}$	$v_{\text{误差}} = v_{\text{总}} - v_{\text{处理}} - v_{\text{区组}} = (k-1)(m-1)$	$MS_{\text{误差}} = \frac{SS_{\text{误差}}}{v_{\text{误差}}}$	

可以看出,与完全随机设计相比,随机区组设计方差分析将总变异分解为三部分,即除处理组间变异之外,还将区组因素导致的变异也分离出来,从而减少了随机误差,提高了实验效率。

例 8-2 为探讨 Rgl 对镉诱导大鼠睾丸损伤的保护作用,研究者按照窝别把大鼠分成 10 个



区组,然后将同一区组内的3只大鼠随机地分配到三个实验组,分别给与不同处理,一定时间后测量大鼠的睾丸MT含量($\mu\text{g/g}$),数据如表8-7所示。试比较三种不同处理对大鼠MT含量有无差别?

表8-7 三组大鼠MT含量值($\mu\text{g/g}$)

窝别	对照组	氯化镉组	Rgl+氯化镉组	\bar{X}_j
1	40.6	78.3	116.3	78.4000
2	44.8	86.0	124.6	85.1333
3	36.7	72.1	149.0	85.9333
4	49.9	95.4	128.8	91.3667
5	59.8	99.2	134.1	97.7000
6	54.5	95.9	133.0	94.4667
7	38.4	76.4	115.6	76.8000
8	41.6	79.9	117.0	79.5000
9	46.8	86.5	128.4	87.2333
10	44.7	85.3	124.3	84.7667
\bar{X}_i	45.78	85.50	127.11	86.13(\bar{X})

方差分析步骤如下:

(1) 建立检验假设,确定检验水准

$H_0: \mu_1 = \mu_2 = \mu_3$, 即三组大鼠MT含量的总体均值相同

$H_1: \mu_1, \mu_2, \mu_3$ 不全相等, 即三组大鼠MT含量的总体均值不全相同

$\alpha = 0.05$

(2) 计算检验统计量 F 值

$$S^2 = 1214.70562$$

$$SS_{\text{总}} = S^2(n-1) = 1214.70562 \times (30-1) = 35226.4630$$

$$\begin{aligned} SS_{\text{处理}} &= \sum_{i=1}^k m(\bar{X}_i - \bar{X})^2 \\ &= 10 \times (45.7800 - 86.1300)^2 + 10 \times (85.5000 - 86.1300)^2 + 10 \times (127.1100 - 86.1300)^2 \\ &= 33078.7980 \end{aligned}$$

$$\begin{aligned} SS_{\text{区组}} &= \sum_{j=1}^m k(\bar{X}_j - \bar{X})^2 \\ &= 3 \times (78.4000 - 86.1300)^2 + 3 \times (85.1333 - 86.1300)^2 + \dots + 3 \times (84.7667 - 86.1300)^2 \\ &\approx 1276.9630 \end{aligned}$$

$$SS_{\text{误差}} = SS_{\text{总}} - SS_{\text{处理}} - SS_{\text{区组}} = 35226.463 - 33078.7980 - 1276.9630 = 870.7020$$

将上述计算结果列于表8-8的方差分析表中。

表8-8 随机区组设计的方差分析表

变异来源	SS	ν	MS	F值
总变异	35226.4630	29		
处理组间	33078.7980	2	16539.3990	341.92
区组间	1276.9630	9	141.8848	2.93
误差	870.7020	18	48.3723	



(3) 确定 P 值, 做出推断结论

对于处理因素, 根据分子的自由度和分母的自由度, 按照 $\alpha=0.05$ 的显著性水准, 查 F 界值表(方差分析用), $F_{0.05(2, 18)}=3.55$; 由于 $F=341.92, F>F_{0.05(2, 18)}$, 故 $P<0.05$, 差别具有统计学意义(拒绝 H_0), 可认为三组大鼠 MT 含量的总体均数不同, 即不同处理对大鼠 MT 含量有影响。同理, 可以看出不同窝别大鼠的 MT 含量不同($P<0.05$)。

第三节 多个样本均数的两两比较

根据方差分析的结果, 若拒绝 H_0 、接受 H_1 , 则可以推断 k 组均数不全相同, 然而, 究竟哪些组不同, 需要进一步对多个样本均数进行两两比较或称多重比较(multiple comparison)。对此若用上一章学习的 t 检验对 k 组均数进行两两比较, 共需比较 $\binom{k}{2} = \frac{k!}{2!(k-2)!}$ 次, 如 $k=5$, 需要进行 10 次比较, 若规定检验水准 $\alpha=0.05$, 在原假设 H_0 成立的条件下, 10 次检验均不犯 I 类错误的概率为 $0.95^{10}=0.5987$, 累积犯 I 类错误的概率为 $1-0.5987=0.4013$, 明显大于 0.05。因此, 均数间的多重比较不能直接使用两均数比较的 t 检验。

多重比较的方法有很多, 如 Dunnett- t 检验、LSD- t 检验、SNK- q (Student-Newman-Keuls)法、Tukey 法、Schéffe 法、Bonferroni t 检验和 Sidak t 检验等。各种方法的适用范围参见表 8-9。

表 8-9 多个样本均数两两比较方法选择策略

选择方法	适用范围
Dunnett- t 检验	多个试验组与一个对照组均数差别的比较。
LSD- t 检验	多个组中, 根据专业, 仅进行某一对或某几对在专业上有特殊探索价值的均数间的两两比较。
SNK- q 检验	任意两组间均数均进行比较, 各比较组样本含量可不相等。
Tukey 法	任意两组间均数均进行比较, 要求各比较组样本含量相同。
Schéffe 法	既可以进行因素水平的平均效应的比较, 还可比较因素水平平均效应的线性组合, 多用于对比组样本含量不等的资料。
Sidak t 检验	两两比较时检验水准调整为 $\alpha'(\alpha'=1-\sqrt[m]{1-\alpha})$, α 为方差分析原检验水准, m 为两两比较次数), 以使多次比较犯 I 类错误的概率控制 α 以内的均数间两两比较。
Bonferroni t 检验	将两两比较时检验水准调整为 $\alpha'(\alpha'=\frac{\alpha}{m})$, 以使多次比较犯 I 类错误的概率控制 α 以内的均数间两两比较, 是 Sidak t 检验的近似。

下面以比较常用的 SNK 法为例, 说明两两比较方法的具体应用。

SNK 法的检验统计量为 q , 故又称为 q 检验。其计算公式为

$$q = \frac{\bar{X}_A - \bar{X}_B}{\sqrt{\frac{MS_{\text{误差}}}{2} \left(\frac{1}{n_A} + \frac{1}{n_B} \right)}} \quad (8-9)$$

式中, \bar{X}_A 、 \bar{X}_B 分别为任意两个对比组的样本均数, 分母为两组均数之差的标准误, n_A 、 n_B 为相应的两个对比组的样本例数, $MS_{\text{误差}}$ 为方差分析中的误差均方。

例 8-3 对例 8-1 中不同注射剂量组受试者部分凝血活酶时间的均数作两两比较。

(1) 提出检验假设, 确定检验水准

$H_0: \mu_A = \mu_B$, 即任意两组的部分凝血活酶时间的总体均数相等

$H_1: \mu_A \neq \mu_B$, 即各组部分凝血活酶时间的总体均数不等或不全相等

$\alpha=0.05$

(2) 计算检验统计量 q 值

首先将三个样本均数由大到小排序, 并编组:

原组别	1U	2U	0.5U
均数	37.83	35.10	33.62
组次	1	2	3

三组均数共需做 $\binom{3}{2} = \frac{3!}{2!(3-2)!} = 3$ 次两两比较。

组次 1 与组次 3 比较:

$$MS_{\text{误差}} = 6.9912, \bar{X}_1 = 37.8300, \bar{X}_3 = 33.6200, n_1 = 10, n_3 = 10$$

$$q_{1,3} = \frac{\bar{X}_1 - \bar{X}_3}{\sqrt{\frac{MS_{\text{误差}}}{2} \left(\frac{1}{n_1} + \frac{1}{n_3} \right)}} = \frac{37.8300 - 33.6200}{\sqrt{\frac{6.9912}{2} \times \left(\frac{1}{10} + \frac{1}{10} \right)}} = 5.04$$

其余类推, 可以得到组次 1 与组次 2、组次 2 与组次 3 比较的 q 值, 检验的 P 值可以通过查附表 5 得到, 将所有计算结果与 $q_{0.05(\alpha, 27)}$ 界值列于表 8-10。需要注意: 如果组次 1 与组次 3 比较结果 $P > \alpha$, 后面就不需要进行检验, 直接判定为 $P > \alpha$ 。

表 8-10 例 8-3 的 SNK 法两两比较计算表

对比组 A 与 B	$\bar{X}_A - \bar{X}_B$	q 值	组数 a	$q_{0.05(\alpha, 27)}$ 界值	P 值
组次 1 与 3	4.21	5.04	3	3.52	< 0.05
组次 1 与 2	2.73	3.27	2	2.91	< 0.05
组次 2 与 3	1.48	1.77	2	2.91	> 0.05

注: 本例 $v_{\text{误差}} = 27$, q 界值表中无此自由度下临界值, 故采用内插值法计算相应的 q 界值

(3) 确定 P 值, 做出推断结论

以误差(组内)自由度和对比组包含的组数 a 查 q 界值表, 经查表, 若 q 值大于或等于 q 界值, 则可以推断比较的两组间差别有统计学意义, 否则差别无统计学意义。由表 8-10 可知, 1U 与 2U 组、1U 与 0.5U 组比较时, $P < 0.05$, 拒绝 H_0 , 差别有统计学意义, 而 2U 组与 0.5U 组之间的差别无统计学意义。

第四节 方差齐性检验

方差分析有其应用条件, 理论上要求各样本相互独立, 服从正态分布且方差齐同。相对而言, 方差是否齐同对检验的准确性影响更大些。多组数据的方差齐性检验, 应用较多的是 Bartlett 检验法和 Levene 检验法。Bartlett 检验法主要适用于正态分布资料的方差齐性检验问题, 如资料不服从正态分布, 则可采用 Levene 检验法。以下仅介绍 Bartlett 检验法, 对于 Levene 检验法, 有兴趣的读者可参考有关书籍。

对于 Bartlett 检验法, 其检验统计量为

$$\chi^2 = \frac{Q_1}{Q_2}, \nu = k - 1 \quad (8-10)$$

其中

$$Q_1 = \sum_{i=1}^k (n_i - 1) \ln(S_c^2 / S_i^2) \quad (8-11)$$

$$Q_2 = 1 + \frac{1}{3(k-1)} \left(\sum_{i=1}^k \frac{1}{n_i - 1} - \frac{1}{n-k} \right) \quad (8-12)$$

上述式中, S_i^2 为第 i 组的方差, S_c^2 为合并方差(对完全随机设计资料有 $S_c^2 = MS_{\text{误差}}$), k 为比较组数, n_i 为第 i 组样本例数, n 为总例数。

当样本来自独立正态总体时, 在 $H_0: \sigma_1^2 = \sigma_2^2 = \dots = \sigma_k^2$ 为真情况下, 该检验统计量服从 $\nu = k-1$ 的 χ^2 分布。样本方差 S_i^2 差异越大, Q_1 越大, χ^2 值亦越大。如果 $\chi^2 \geq \chi_{\alpha, \nu}^2$, 则 $P \leq \alpha$, 拒绝 H_0 , 可认为方差不齐; 反之, 若 $\chi^2 < \chi_{\alpha, \nu}^2$, 则 $P > \alpha$, 不拒绝 H_0 , 尚不能认为方差不齐。

例 8-4 对例 8-1 资料作方差齐性检验。

(1) 提出检验假设, 确定检验水准

$H_0: \sigma_1^2 = \sigma_2^2 = \sigma_3^2$, 即三个总体方差相等

$H_1: \sigma_1^2, \sigma_2^2, \sigma_3^2$ 不全相等

$\alpha = 0.10$

(2) 计算检验统计量 χ^2 值

本例:

$$k = 3, n_1 = n_2 = n_3 = 10, n = 30$$

$$S_1 = 2.2636, S_2 = 2.2071, S_3 = 3.3133$$

$$MS_{\text{误差}} = 6.9912$$

$$\begin{aligned} Q_1 &= \sum_{i=1}^k (n_i - 1) \ln(S_c^2 / S_i^2) \\ &= (10-1) \times \ln \frac{6.9912}{2.2636^2} + (10-1) \times \ln \frac{6.9912}{2.2071^2} + (10-1) \times \ln \frac{6.9912}{3.3133^2} \\ &= 1.9872 \end{aligned}$$

$$\begin{aligned} Q_2 &= 1 + \frac{1}{3(k-1)} \left(\sum_{i=1}^k \frac{1}{n_i - 1} - \frac{1}{n-k} \right) \\ &= 1 + \frac{1}{3 \times (3-1)} \times \left(\frac{1}{10-1} + \frac{1}{10-1} + \frac{1}{10-1} - \frac{1}{30-3} \right) \\ &= 1.0494 \end{aligned}$$

$$\chi^2 = \frac{Q_1}{Q_2} = \frac{1.9872}{1.0494} = 1.89, \nu = 3 - 1 = 2$$

(3) 确定 P 值, 做出推断结论

自由度 $\nu = 2$, 查 χ^2 界值表, $\chi_{0.10, 2}^2 = 4.61$ 。由于 $\chi^2 = 1.89, \chi^2 < \chi_{0.10, 2}^2$, 故 $P > 0.10$, 按照 $\alpha = 0.10$ 的检验水准, 不拒绝 H_0 , 尚不能认为三个总体方差不齐。

第五节 其他设计类型的方差分析

一、析因设计

析因设计(factorial design)是一种多因素多水平交叉组合的实验设计方法。在医学研究中, 如果涉及两个或多个处理因素, 而研究者希望了解各处理因素的效应以及因素间的交互作用时, 则可以采用析因设计方法。这里只介绍具有 2 个处理因素、每个因素有 2 个水平, 即所谓的 2×2 析因设计的方差分析。

假设有 A 和 B 两个因素, 因素 A 的 2 个水平分别用 A_1, A_2 表示, 因素 B 的 2 个水平分别用

B_1, B_2 表示, 共有四种不同的组合。现在每种组合下各进行了 r 个观测, X_{ijk} 表示在 $A_i B_j$ 条件下的第 k 个观测数据, 其数据结构见表 8-11。

表 8-11 2×2 析因设计的数据格式

A 因素	B 因素	
	B_1	B_2
A_1	$X_{111}, X_{112}, \dots, X_{11r}$	$X_{121}, X_{122}, \dots, X_{12r}$
A_2	$X_{211}, X_{212}, \dots, X_{21r}$	$X_{221}, X_{222}, \dots, X_{22r}$

2×2 析因设计方差分析的目的是考察 A、B 两因素主效应及两因素间的交互作用。什么是“主效应”与“交互作用”, 以及如何进行方差分析, 通过下面实例加以说明。

例 8-5 在一项动物实验研究中, 将 40 只雌性小鼠做成哮喘动物模型, 然后随机分为 4 组, 接受 A 和 B 两种药物不同组合的处理, 即 $A_1 B_1, A_1 B_2, A_2 B_1, A_2 B_2$, 检测小鼠支气管肺泡灌洗液 (BALF) 中的 IL-4 (pg/ml) 水平, 观测结果见表 8-12。

表 8-12 小鼠 BALF 中 IL-4 值 (pg/ml)

A 因素	B 因素							
	B_1				B_2			
A_1	37.43	35.04	32.02	33.30	37.94	39.21	39.58	39.77
	36.83	36.88	30.58	38.19	33.63	32.62	43.50	27.41
	36.32	36.60			39.30	46.43		
A_2	30.57	36.27	37.76	30.63	45.11	54.15	51.61	52.45
	35.95	33.95	29.69	36.06	46.77	47.66	54.99	50.65
	32.44	34.69			42.71	48.60		

为便于说明, 将表 8-12 数据的均数整理成表 8-13。

表 8-13 例 8-5 资料 IL-4 值均数整理表

A 因素	B 因素		均数	$B_2 - B_1$
	B_1	B_2		
A_1	35.32	37.94	36.63	2.62
A_2	33.80	49.47	41.64	15.67
均数	34.56	43.71	39.14	9.15
$A_2 - A_1$	-1.52	11.53	5.01	

1. 单独效应 单独效应 (simple effect) 指其他因素水平固定在一个水平时, 某一因素不同水平之间均数的差别。如当 A 因素固定在 A_1 水平时, B 因素的单独效应为 2.62; 当 A 因素固定在 A_2 水平时, B 因素的单独效应为 15.67。同理, B 因素固定在 B_1 水平时, A 因素的单独效应为 -1.52; B 因素固定在 B_2 水平时, A 因素的单独效应为 11.53。

2. 主效应 主效应 (main effect) 是指某一因素各个水平间的平均差别。如 A 因素的主效应记为 X_A , 则 $X_A = 41.64 - 36.63 = 5.01$; 同理, B 因素的主效应 $X_B = 43.71 - 34.56 = 9.15$ 。

3. 交互效应 如果一个因素的单独效应随另一因素的水平变化而变化, 而且其变化幅度不能用随机误差解释时, 则称这两个因素间存在交互效应 (interaction effect)。如对于 B_1 水平, A 因素的单独效应为 -1.52; 而对于 B_2 水平, A 因素的单独效应为 11.53, 这说明 A 因素与 B 因素的效应互不独立, A 因素单独效应依赖于 B 因素水平的选择, 即 A 因素与 B 因素之间存在交互效应, 记为 X_{AB} 。

4. 方差分析 按照方差分析基本思想,析因设计中,观测值总变异 $SS_{\text{总}}$ 可分解为以下四个部分:

$$SS_{\text{总}} = SS_A + SS_B + SS_{AB} + SS_{\text{误差}} \quad (8-13)$$

相应的自由度为

$$v_{\text{总}} = v_A + v_B + v_{AB} + v_{\text{误差}} \quad (8-14)$$

有关计算式归纳于表 8-14 的方差分析表中。其中, \bar{X}_i 为 A 因素第 i 水平的均数, \bar{X}_j 为 B 因素第 j 水平的均数, \bar{X}_{ij} 为 A 因素 i 水平、B 因素 j 水平组合下的均数, S 为总标准差, r 为各组合的重复观测例数。

表 8-14 2×2 析因设计方差分析表

变异来源	平方和 SS	自由度 v	均方 MS	F 值
总变异	$SS_{\text{总}} = \sum_{i=1}^2 \sum_{j=1}^2 \sum_{k=1}^r (X_{ijk} - \bar{X})^2$ $= (2 \times 2 \times r - 1) S^2$	$v_{\text{总}} = 2 \times 2 \times r - 1$		
A 因素	$SS_A = \sum_{i=1}^2 2r(\bar{X}_i - \bar{X})^2$	$v_A = 2 - 1$	$MS_A = SS_A / v_A$	$F_A = \frac{MS_A}{MS_{\text{误差}}}$
B 因素	$SS_B = \sum_{j=1}^2 2r(\bar{X}_j - \bar{X})^2$	$v_B = 2 - 1$	$MS_B = SS_B / v_B$	$F_B = \frac{MS_B}{MS_{\text{误差}}}$
AB 因素	$SS_{AB} = \sum_{i=1}^2 \sum_{j=1}^2 r(\bar{X}_{ij} - \bar{X})^2 - SS_A - SS_B$	$v_{AB} = (2-1)(2-1)$	$MS_{AB} = SS_{AB} / v_{AB}$	$F_{AB} = \frac{MS_{AB}}{MS_{\text{误差}}}$
误差	$SS_{\text{误差}} = SS_{\text{总}} - SS_A - SS_B - SS_{AB}$	$v_{\text{误差}} = v_{\text{总}} - v_A - v_B - v_{AB}$ $= 2 \times 2 \times (r-1)$	$MS_{\text{误差}} = \frac{SS_{\text{误差}}}{v_{\text{误差}}}$	

本例 2×2 析因设计的方差分析步骤如下:

(1) 提出检验假设, 确定检验水准

$H_{0(A)}: \mu_1 = \mu_2$, 即 A 因素两个不同水平的 IL-4 测量结果相同

$H_{1(A)}: \mu_1 \neq \mu_2$, 即 A 因素两个不同水平的 IL-4 测量结果不同

$H_{0(B)}: \tau_1 = \tau_2$, 即 B 因素两个不同水平的 IL-4 测量结果相同

$H_{1(B)}: \tau_1 \neq \tau_2$, 即 B 因素两个不同水平的 IL-4 测量结果不同

$H_{0(AB)}: A$ 与 B 无交互效应

$H_{1(AB)}: A$ 与 B 存在交互效应

$\alpha = 0.05$

(2) 计算检验统计量 F 值

按表 8-14 中的公式计算检验统计量。现使用 SPSS 统计软件进行计算, 结果列于表 8-15 的方差分析表中。

表 8-15 2×2 析因设计方差分析表

变异来源	平方和 SS	自由度 v	均方 MS	F 值	P 值
总变异	2055.1779	39			
A 因素	250.6504	1	250.6504	16.63	<0.05
B 因素	836.2188	1	836.2188	55.48	<0.05
AB 因素	425.6910	1	425.6910	28.24	<0.05
误差	542.6177	36	15.0727		

(3) 确定 P 值, 做出推断结论

查 F 界值表, 对于 A 因素 $F_{0.05(1, 36)} = 4.11$, $F_A > F_{0.05(1, 36)}$, $P < 0.05$, 按照 $\alpha = 0.05$ 的检验水准拒绝 $H_{0(A)}$, 认为 A_1 组与 A_2 组 IL-4 值总体均数不相等。同理, 对于 B 因素 $F_B > F_{0.05(1, 36)}$, $P < 0.05$, 拒绝 $H_{0(B)}$, B_1 组与 B_2 组 IL-4 值总体均数不相等; 对于 AB 交互作用, $F_{AB} > F_{0.05(1, 36)}$, $P < 0.05$, 拒绝 $H_{0(AB)}$, A 与 B 两处理因素存在交互作用。

二、重复测量设计

重复测量设计(repeated measurement design)指同一受试对象的某一观察指标在不同时间点上进行多次测量的设计方法, 如服用某种药物后测定不同时间点的血药浓度, 接受治疗后在不同时间点上对某指标进行测量, 这种设计方法在医学研究领域有着广泛的应用, 常用来分析不同处理在不同时间点上的变化情况。

重复测量设计与随机区组设计有相似之处, 但二者有实质性差异。在随机区组设计中, 同一区组的每一受试对象随机分配, 接受不同的处理; 而对于重复测量设计, 通常是对同一受试对象在各时间点进行测量, 由于不同时间上的测量结果可能存在相关性, 因此需要采用特殊的统计方法进行分析。

例 8-6 将手术要求基本相同的 15 名患者随机分为 3 组, 在手术过程中分别采用 A、B、C 三种麻醉诱导方法, 在 T_0 (诱导前)、 T_1 、 T_2 、 T_3 、 T_4 五个时相测量患者的收缩压, 数据记录见表 8-16。

表 8-16 不同麻醉诱导时相患者的收缩压(mmHg)

患者序号	诱导方法	麻醉诱导时相				
		T_0	T_1	T_2	T_3	T_4
1	A	120	108	112	120	117
2	A	118	109	115	126	123
3	A	119	112	119	124	118
4	A	121	112	119	126	120
5	A	127	121	127	133	126
6	B	121	120	118	131	137
7	B	122	121	119	129	133
8	B	128	129	126	135	142
9	B	117	115	111	123	131
10	B	118	114	116	123	133
11	C	131	119	118	135	129
12	C	129	128	121	148	132
13	C	123	123	120	143	136
14	C	123	121	116	145	126
15	C	125	124	118	142	130

该实例为两因素重复测量设计资料, 其总变异包括两部分, 一部分为受试对象间的变异, 另一部分为受试对象内的变异。其中受试对象间的变异又分为处理因素(例 8-6 中的 A、B、C 三种麻醉诱导方法)的变异和个体间误差两部分, 而受试对象内的变异则分为时间因素的变异、处理和时间的交互效应以及个体间误差三部分, 总变异分解为

$$\begin{aligned}
 SS_{\text{总}} &= SS_{\text{受试对象间}} + SS_{\text{受试对象内}} \\
 &= (SS_{\text{处理}} + SS_{\text{个体间误差}}) + (SS_{\text{时间}} + SS_{\text{处理} \times \text{时间}} + SS_{\text{个体内误差}})
 \end{aligned}$$

$$\begin{aligned}
 v_{\text{总}} &= v_{\text{受试对象间}} + v_{\text{受试对象内}} \\
 &= (v_{\text{处理}} + v_{\text{个体间误差}}) + (v_{\text{时间}} + v_{\text{处理} \times \text{时间}} + v_{\text{个体内误差}})
 \end{aligned}$$

重复测量设计资料的方差分析计算较为复杂,一般采用统计软件包完成,在此不给出具体计算过程。本例使用统计软件(如SPSS)进行计算,现将计算结果列于表8-17的方差分析表中。

表 8-17 重复测量方差分析表

变异来源	SS	ν	MS	F	P
受试对象间 处理	912.24	2	456.12	5.78	0.0174
个体间差异	946.48	12	78.87		
受试对象内 时间	2336.45	4	584.11	106.56	<0.0001
处理×时间	837.63	8	104.70	19.10	<0.0001
个体内误差	263.12	48	5.48		

结果显示: $F_{\text{处理}}=5.78, P=0.0174, P<0.05$,按 $\alpha=0.05$ 的检验水准拒绝 H_0 ,认为不同处理组之间的差异有统计学意义。同理,对于麻醉诱导时相时间, $F_{\text{时间}}=106.56, P<0.0001$,按 $\alpha=0.05$ 的检验水准拒绝 H_0 ,说明不同时间点之间的差异有统计学意义;处理与时间的交互作用的方差分析, $F_{\text{处理} \times \text{时间}}=19.1, P<0.0001$,按 $\alpha=0.05$ 的检验水准拒绝 H_0 ,说明时间与处理的交互作用有统计学意义。

练习题

一、单项选择题

- 方差分析的基本思想是()
 - 组间均方大于组内均方
 - 组内均方大于组间均方
 - 不同来源的方差必须相等
 - 两方差之比服从 F 分布
 - 总变异及其自由度可按不同来源分解
- 方差分析的应用条件之一是方差齐性,它是指()
 - 各比较组相应的样本方差相等
 - 各比较组相应的总体方差相等
 - 组内方差等于组间方差
 - 总方差等于各组方差之和
 - 总方差=组内方差+组间方差
- 完全随机设计方差分析中的组间均方反映的是()
 - 随机测量误差大小
 - 某因素效应大小
 - 处理因素效应与随机误差综合结果
 - 全部数据的离散度
 - 各组方差的平均水平
- 对于两组资料的比较,方差分析与 t 检验的关系是()
 - t 检验结果更准确
 - 方差分析结果更准确
 - t 检验对数据的要求更为严格
 - 近似等价
 - 完全等价
- 多组均数比较的方差分析,如果 $P<0.05$,则应该进一步做的是()
 - 两均数的 t 检验
 - 区组方差分析
 - 方差齐性检验
 - SNK- q 检验
 - 确定单独效应
- 完全随机设计的多个样本均数比较,经方差分析,若 $P<0.05$,则结论为()
 - 各样本均数全相等
 - 各样本均数全不相等

- C. 至少有两个样本均数不等
D. 至少有两个总体均数不等
E. 各总体均数全相等
7. 完全随机设计资料的多个样本均数的比较,若处理无作用,则方差分析的 F 值在理论上应接近于()
A. $F_{\alpha(v_1, v_2)}$
B. $SS_{处理}/SS_{误差}$
C. 0
D. 1
E. 任意值
8. 对于多个方差的齐性检验,若 $P < \alpha$, 可认为()
A. 多个样本方差全不相等
B. 多个总体方差全不相等
C. 多个样本方差不全相等
D. 多个总体方差不全相等
E. 多个总体方差相等
9. 析因设计的方差分析中,两因素 X 与 Y 具有交互作用指的是()
A. X 和 Y 的主效应互相影响
B. X 与 Y 对观测指标的影响相差较大
C. X 与 Y 有叠加作用
D. X 对观测指标的作用受 Y 水平的影响
E. X 与 Y 的联合作用较大
10. 某职业病防治院测定了年龄相近的 45 名男性用力肺活量,其中石棉肺患者、石棉肺可疑患者和正常人各 15 名,其用力肺活量分别为 $(1.79 \pm 0.74)L$ 、 $(2.31 \pm 0.87)L$ 和 $(3.08 \pm 0.65)L$,拟推断石棉肺患者、石棉肺可疑患者和正常人的用力肺活量是否不同,宜采用的假设检验方法是()
A. 两组均数比较的 t 检验
B. 方差齐性检验
C. 完全随机设计方差分析
D. 随机区组设计方差分析
E. 析因设计方差分析

二、计算与分析

1. 某实验室研究人员检测了三种病情慢性乙型肝炎患者血清 sFasL 水平,试比较不同病情乙型肝炎患者 sFasL 水平是否不同?

慢性乙型肝炎及献血员血清 sFasL 水平 ($\mu\text{g/L}$)

重度慢性乙型肝炎	中度慢性乙型肝炎	轻度慢性乙型肝炎
1.54	0.88	0.18
1.52	0.91	0.31
1.61	0.88	0.21
1.62	0.82	0.17
1.48	0.89	0.30
1.67	0.92	0.21
1.41	0.97	0.34
1.57	0.72	0.24
1.64	0.98	0.19
1.50	0.98	0.19
1.74	0.77	0.23
		0.20
		0.31
		0.17

2. 为探讨小剂量地塞米松对急性肺损伤动物模型肺脏的保护作用,将 36 只二级 SD 大鼠按性别、体重配成 12 个配伍组,每一配伍组的 3 只大鼠被随机分配到对照组、损伤组与激素组,实验 24 小时后测量支气管肺泡灌洗液总蛋白水平(g/L),结果如下表。问 3 组大鼠的总蛋白水平是否不同?

3 组大鼠总蛋白水平(g/L)

配伍组	对照组	损伤组	激素组
1	0.36	1.48	0.30
2	0.28	1.42	0.32
3	0.26	1.33	0.29
4	0.25	1.48	0.16
5	0.36	1.26	0.35
6	0.31	1.53	0.43
7	0.33	1.40	0.31
8	0.28	1.30	0.13
9	0.35	1.58	0.33
10	0.41	1.24	0.32
11	0.49	1.47	0.26
12	0.27	1.32	0.26

3. 为研究嗜啉酸对大鼠急性和亚急性炎症的影响,将 40 只体重为 200 ± 20 (g) 的雄性 Wistar 大鼠建立急性和亚急性炎症动物模型,然后随机分为四组,每组 10 只,给予不同的处理,观察其 WBC 值。四种处理分别为:腹腔注射生理盐水后 3 小时处死、腹腔注射生理盐水后 6 小时处死、腹腔注射嗜啉酸(0.35mg/g)后 3 小时处死、腹腔注射嗜啉酸(0.35mg/g)后 6 小时处死。实验结果如下表。问嗜啉酸及作用时间对 WBC 值是否有影响?

不同药物与不同时间大鼠 WBC 值

生理盐水		嗜啉酸	
3 小时	6 小时	3 小时	6 小时
21.3	19.0	15.8	13.9
21.9	25.2	8.7	15.8
11.1	22.9	9.4	18.3
16.3	19.8	5.3	13.0
17.9	22.7	8.3	14.0
18.8	23.0	11.0	19.0
13.5	22.8	12.8	15.3
22.6	17.8	12.5	19.2
17.1	24.6	9.3	18.2
14.6	25.3	11.0	17.3

(钟晓妮)

第九章 χ^2 检验

χ^2 检验(chi-square test)是英国统计学家 Pearson 提出的一种主要用于分析分类变量数据的假设检验方法,该方法主要目的是推断两个或多个总体率或构成比之间有无差别。

第一节 四格表资料的 χ^2 检验

例 9-1 为了解吲达帕胺片治疗原发性高血压的疗效,将 70 名高血压患者随机分为两组,试验组用吲达帕胺片加辅助治疗,对照组用安慰剂加辅助治疗,观察结果见表 9-1,试分析吲达帕胺片治疗原发性高血压的有效性。

表 9-1 两种疗法治疗原发性高血压的疗效

组别	有效	无效	合计	有效率(%)
对照组	20(25.8) <i>a</i>	24(18.2) <i>b</i>	44(<i>a+b</i>)	45.45
试验组	21(15.2) <i>c</i>	5(10.8) <i>d</i>	26(<i>c+d</i>)	80.77
合计	41(<i>a+c</i>)	29(<i>b+d</i>)	70(<i>n</i>)	58.57

本例为两样本率比较的资料,表 9-1 中的数字 *a, b, c, d* 是该表的四个基本数据,进而可以计算出各行列周边的合计数和两组的有效率,对此称之为四格表(fourfold table)资料。四格表资料可以用 χ^2 检验推断两个总体率之间有无差别。

一、 χ^2 检验的通用公式

χ^2 检验的检验统计量为 χ^2 , 其通用的基本公式为

$$\chi^2 = \sum \frac{(A-T)^2}{T}, \nu = (\text{行数} - 1)(\text{列数} - 1) \quad (9-1)$$

式中, *A* 为实际频数(actual frequency), *T* 为理论频数(theoretical frequency), ν 为自由度。式(9-1)服从自由度为 ν 的 χ^2 分布。

对于四格表资料,理论频数 *T* 根据检验假设 $H_0: \pi_1 = \pi_2$ 确定。如例 9-1 的无效假设是试验组与对照组治疗原发性高血压的总体有效率相等,可以将两组合计的有效率(58.57%)作为各组的有效率。按照这一假设,理论上对照组 44 例原发性高血压病患者中的理论有效人数应为 $(44 \times 41)/70 = 25.77$, 无效人数为 $(44 \times 29)/70 = 18.23$; 同理,试验组的 26 例原发性高血压病患者中的理论有效人数为 $(26 \times 41)/70 = 15.23$, 无效人数为 $(26 \times 29)/70 = 10.77$ 。计算理论频数 *T* 的公式为

$$T_{ij} = \frac{n_{i.} \cdot n_{.j}}{n} \quad (9-2)$$

式中 T_{ij} 为第 *i* 行第 *j* 列的理论频数, $n_{i.}$ 和 $n_{.j}$ 分别为相应行与列的周边合计数, *n* 为总例数。

由式(9-1)可以看出, χ^2 值反映了实际频数与理论频数的吻合程度。若检验假设 H_0 成立,实际频数与理论频数的差值应该较小,即 χ^2 值也应该较小;反之,若检验假设 H_0 不成立,实际频数与理论频数就会相差较大,则 χ^2 值也会较大。 χ^2 值的大小也取决于 $(A-T)^2/T$ 的个数多少(自由度 ν 的大小)。由于各 $(A-T)^2/T$ 皆为正值,故自由度 ν 愈大, χ^2 值也会愈大;所以只有考虑了自由度 ν 的影响, χ^2 值才能正确地反映实际频数 *A* 和理论频数 *T* 的吻合程度。

四格表资料只有两行两列,在周边合计数固定的情况下,四个基本数据当中只有一个数据可以自由取值($\nu=1$),因此,对于四格表资料,只要根据式(9-2)计算出一个理论值 T_{ij} 后,其他三个理论值可用周边合计数减去相应的理论值 T 得出。如例 9-1 中, $T_{11}=(44 \times 41)/70=25.8$, $T_{12}=44-25.8=18.2$, $T_{21}=41-25.8=15.2$, $T_{22}=26-15.2=10.8$ (或 $T_{22}=29-18.2=10.8$)。

χ^2 检验时,要根据自由度 ν 查 χ^2 界值表。当自由度 ν 确定后, χ^2 分布曲线下右侧尾部的面积为 α 时,横轴上相应的 χ^2 值记作 $\chi_{\alpha, \nu}^2$,即 χ^2 分布的分位数。 χ^2 值与 P 值的对应关系见 χ^2 分布界值表。由 χ^2 分布界值表可知,在自由度 ν 确定后, χ^2 值愈大, P 值愈小;反之, χ^2 值愈小, P 值愈大。若检验水准为 α ,当 $\chi^2 \geq \chi_{\alpha, \nu}^2$ 时, $P \leq \alpha$, 拒绝 H_0 , 接受 H_1 ; 当 $\chi^2 < \chi_{\alpha, \nu}^2$ 时, $P > \alpha$, 不拒绝 H_0 。

现以例 9-1 为例说明 χ^2 检验的步骤。

(1) 建立检验假设并确定检验水准

$H_0: \pi_1 = \pi_2$, 即试验组与对照组的总体有效率相等

$H_1: \pi_1 \neq \pi_2$, 即试验组与对照组的总体有效率不等

$\alpha = 0.05$

(2) 计算检验统计量

按式(9-2)计算 T_{11} , 然后利用四格表的各行列的合计数计算 T_{12} 、 T_{21} 和 T_{22} , 即

$$T_{11} = (44 \times 41)/70 = 25.77, T_{12} = 44 - 25.77 = 18.23$$

$$T_{21} = 41 - 25.77 = 15.23, T_{22} = 26 - 15.23 = 10.77$$

按公式(9-1)计算 χ^2 值

$$\chi^2 = \frac{(20 - 25.77)^2}{25.77} + \frac{(24 - 18.23)^2}{18.23} + \frac{(21 - 15.23)^2}{15.23} + \frac{(5 - 10.77)^2}{10.77} = 8.40$$

$$\nu = (2 - 1) \times (2 - 1) = 1$$

(3) 确定 P 值, 作出推断结论

以 $\nu=1$ 查附表 7 的 χ^2 分布界值表, 得 $P < 0.005$ 。按 $\alpha = 0.05$ 水准, 拒绝 H_0 , 接受 H_1 , 可以认为两组治疗原发性高血压的总体有效率不等, 即可认为吲达帕胺片治疗原发性高血压是有效的。

二、四格表资料 χ^2 检验的专用公式

在对两样本率比较时, 当总例数 $n \geq 40$ 且所有格子的 $T \geq 5$ 时, 可用 χ^2 检验的通用公式(9-1)。实际应用时, 为省去计算理论频数的步骤, 简化计算公式, 常用四格表资料 χ^2 检验的专用公式(9-3)计算检验统计量 χ^2 值, 即

$$\chi^2 = \frac{(ad - bc)^2 n}{(a+b)(c+d)(a+c)(b+d)} \quad (9-3)$$

式中, a 、 b 、 c 、 d 为四格表的实际频数; $(a+b)$ 、 $(c+d)$ 、 $(a+c)$ 、 $(b+d)$ 分别是周边合计数; n 为总例数, 即 $n = a + b + c + d$ 。公式(9-3)中相应符号见表 9-1。

仍以例 9-1 资料为例, 用公式(9-3)计算 χ^2 值, 有

$$\chi^2 = \frac{(20 \times 5 - 24 \times 21)^2 \times 70}{44 \times 26 \times 41 \times 29} = 8.40$$

结果与通用公式(9-1)计算的结果相同。

三、四格表资料 χ^2 检验的校正公式

χ^2 分布界值表的依据是 χ^2 分布, 其分布是连续型分布, 而计数资料中的实际频数 A 为分类资料, 是不连续的。因此, 用公式(9-1)计算的 χ^2 值查界值表所得的概率 P 偏小, 特别是对自由度 $\nu=1$ 的四格表资料的影响更大。为此, 美国统计学家 F. Yates(1934 年)提出了计算 χ^2 的连续

性校正法 (correction for continuity), 其校正公式为

$$\chi_c^2 = \sum \frac{(|A-T|-0.5)^2}{T} \quad (9-4)$$

$$\chi_c^2 = \frac{(|ad-bc|-n/2)^2 n}{(a+b)(c+d)(a+c)(b+d)} \quad (9-5)$$

上述公式分别是对通用公式(9-1)和专用公式(9-3)的校正。在实际工作中,对于四格表资料,通常规定为:

(1) 当 $n \geq 40$ 且所有的 $T \geq 5$ 时,用 χ^2 检验的基本公式(9-1)或四格表资料 χ^2 检验的专用公式(9-3)。

(2) 当 $n \geq 40$ 但有 $1 \leq T < 5$ 时,用四格表资料 χ^2 检验的校正公式。

(3) 当 $n < 40$, 或 $T < 1$ 时,用四格表资料的 Fisher 确切概率法 (Fisher's exact test)。

例 9-2 某医师欲比较胞磷胆碱与神经节苷脂治疗脑血管疾病的疗效,将 58 例脑血管疾病患者随机分为两组,结果见表 9-2。问两种药物治疗脑血管疾病的有效率是否不同?

表 9-2 两种药物治疗脑血管疾病有效率的比较

药物分组	有效	无效	合计	有效率 (%)
胞磷胆碱组	25(23.7)	3(4.3)	28	89.29
神经节苷脂组	24(25.3)	6(4.7)	30	80.00
合计	49	9	58	84.48

注:括号内数字为理论频数

(1) 建立检验假设并确定检验水准

$H_0: \pi_1 = \pi_2$, 即两种药物治疗脑血管疾病的有效率相等

$H_1: \pi_1 \neq \pi_2$, 即两种药物治疗脑血管疾病的有效率不等

$\alpha = 0.05$

(2) 计算检验统计量

按照公式(9-2)计算各观察值的理论频数,记于表 9-2 的括号中。本例 $n = 58$, 但有 2 个格子的理论频数分别 4.3 和 4.7, 均为 $1 \leq T < 5$, 需用四格表资料 χ^2 检验的校正公式(9-4)或公式(9-5)。本例用公式(9-5)计算校正 χ^2 值

$$\chi_c^2 = \frac{(|25 \times 6 - 3 \times 24| - 58/2)^2 \times 58}{49 \times 9 \times 28 \times 30} = 0.376$$

$$\nu = (2-1)(2-1) = 1$$

(3) 确定 P 值, 作出推断结论

以 $\nu = 1$ 查附表 7 的 χ^2 界值得 $P > 0.05$ 。按 $\alpha = 0.05$ 水准, 不拒绝 H_0 , 尚不能认为两种药物治疗脑血管疾病的有效率不等。

四、四格表资料的 Fisher 确切概率法

当四格表资料中出现 $n < 40$ 或 $T < 1$, 需改用四格表资料的 Fisher 确切概率法。该法是一种直接计算概率的假设检验方法, 其理论依据是超几何分布 (hypergeometric distribution)。四格表的确切概率法不属于 χ^2 检验的范畴, 但常作为四格表资料假设检验的补充。

确切概率计算法的基本思想是: 在四格表周边合计数固定不变的条件下, 利用公式(9-6)直接计算表内四个格子数据的各种组合的概率 P_i , 然后计算单侧或双侧累计概率 P , 并与检验水准 α 比较, 作出是否拒绝 H_0 的结论。

$$P_i = \frac{(a+b)!(c+d)!(a+c)!(b+d)!}{a!b!c!d!n!} \quad (9-6)$$

式中 a, b, c, d, n 等符号的意义同表 9-1, $\sum P_i = 1$; “!” 为阶乘符号, $0! = 1$ 。

下面用实例说明其检验原理和检验方法。

例 9-3 某研究者为研究乙肝免疫球蛋白预防白兔胎儿宫内感染 HBV 的效果, 将 17 例 HBsAg 阳性白兔随机分为预防注射组和非预防组, 观察两组所产出的新生白兔 HBV 感染情况, 结果见表 9-3。问两组新生白兔的 HBV 总体感染率有无差别?

表 9-3 两组新生白兔 HBV 感染率的比较

组别	阳性	阴性	例数	感染率(%)
非预防注射组	7	2	9	77.78
预防组	2	6	8	25.00
合计	8	9	17	47.06

本例 $n = 17 < 40$, 不满足 χ^2 检验的应用条件, 宜用 Fisher 确切概率法。其假设检验步骤如下:

(1) 建立检验假设并确定检验水准

$H_0: \pi_1 = \pi_2$, 即两组新生白兔 HBV 的总体感染率相等

$H_1: \pi_1 \neq \pi_2$, 即两组新生白兔 HBV 的总体感染率不等

$\alpha = 0.05$

(2) 计算概率

在四格表周边合计数不变的条件下, 表 9-3 内 4 个实际频数变动的组合数共有“周边合计数中最小数 + 1”个即 $8 + 1 = 9$ 个, 根据公式(9-6)计算各种组合的四格表概率, 结果见表 9-4。例如实际观察到的四格表资料的概率为

$$P^* = \frac{9!8!8!9!}{7!2!2!6!17!} = 0.041464$$

表 9-4 各种组合的四格表计算的概率

四格表序号	阳性	阴性	$a - T_a$	P
1	1	8	-3.76	0.000370
	8	0		
2	2	7	-2.76	0.011847
	7	1		
3	3	6	-1.76	0.096750
	6	2		
4	4	5	-0.76	0.290251
	5	3		
5	5	4	0.24	0.362814
	4	4		
6	6	3	1.24	0.193501
	3	5		
7*	7	2	2.24*	0.041464*
	2	6		
8	8	1	3.24	0.002962
	1	7		
9	9	0	4.24	0.000041
	0	8		

* 为实际数据的四格表

(3) 确定累计概率 P 值, 作出推断结论

双侧检验: 在四格表周边合计数不变的条件下, a 值的理论频数为 $T_{11} = T_{01} = (9 \times 9) / 17 = 4.76$; 在实际观察频数 $a = 7$ 时, $|a - T_{01}| = |7 - 4.76| = 2.24$ 。观察上述 9 个 2×2 表, a 值越大, c 值越小, $a - T_{01}$ 值越大; a 值越小, c 值越大, $a - T_{01}$ 值越小。若拒绝 H_0 , P 值的计算应包括 $|a - T_{01}| \geq 2.24$ 的四格表的概率之和。双侧累计概率 P 值为

$$\begin{aligned} P &= P(1) + P(2) + P(7) + P(8) + P(9) \\ &= 0.000370 + 0.011847 + 0.041464 + 0.002962 + 0.000041 \\ &= 0.0567 \end{aligned}$$

根据所得 P 值, 在 $\alpha = 0.05$ 检验水准下, 不拒绝 H_0 , 尚不能认为预防注射组与非预防组的新生白兔 HBV 的总体感染率不等。

单侧检验: 若本例有充足的医学知识认为预防注射组的感染率不可能高于非预防组, 则可以作单侧检验, 计算包括 $a - T_{01} \geq 2.24$ 的四格表的概率之和, 即

$$P = P(7) + P(8) + P(9) = 0.041464 + 0.002962 + 0.000041 = 0.044$$

根据所得 P 值, 在 $\alpha = 0.05$ 检验水准下, 拒绝 H_0 , 接受 H_1 。可以认为两种疗法不同, 预防注射组的感染率低于非预防组的感染率。

同一资料, 由于选择假设检验的单侧、双侧不同, 得出了不同的结论。如前所述, 在资料分析时, 用单侧检验还是用双侧检验, 应根据研究目的在实验设计阶段确定。

第二节 配对四格表资料的 χ^2 检验

例 9-4 现有 198 份痰标本, 每份标本分别用 A、B 两种培养基培养结核菌, 结果见表 9-5。问 A、B 两种培养基的阳性培养率是否不等?

表 9-5 两种培养基培养结核菌结果

A 培养基	B 培养基		合计
	+	-	
+	48(a)	24(b)	72
-	20(c)	106(d)	126
合计	68	130	198

本例为配对设计的计数资料。配对设计常用于两种检测方法、两种诊断方法或两种细菌培养方法的比较, 其特点是对样本中各观察单位分别用两种方法检测或处理, 然后按两分类变量计数结果。观察结果有四种情况, 可整理成表 9-5 的形式。其中, a 、 d 为两法观察结果一致的情况, b 、 c 为两法观察结果不一致的情况。当两种处理方法无差别时, 对总体有 $B = C$, 即两总体率相等 $\pi_1 = \pi_2$ 。由于是样本数据, 抽样误差不可避免, 样本中的 b 和 c 往往不等 ($b \neq c$, 等价于两样本率不等)。为此, 可以使用 McNemar 假设检验方法, 其检验统计量为:

$$\chi^2 = \frac{(b-c)^2}{b+c}, v=1 \quad (9-7)$$

$$\chi_c^2 = \frac{(|b-c|-1)^2}{b+c}, v=1 \quad (9-8)$$

式(9-7)用于 $(b+c) \geq 40$, 式(9-8)用于 $(b+c) < 40$ 的情况。值得注意的是, 该法一般用于样本含量不是很大的资料。因本法仅考虑两法结果不一致的情况 (b, c), 而未考虑样本含量 n 和两法结果一致的情况 (a, d), 当 n 很大且 a 与 d 的数值很大时 (即两法的一致率较高), 即使检验结果有统计学意义, 其实际意义可能并不大。

本例的检验步骤如下:

(1) 建立检验假设并确定检验水准

$H_0: B = C$, 即两种培养基的阳性培养率相等

$H_1: B \neq C$, 即两种培养基的阳性培养率不相等

$\alpha = 0.05$

(2) 计算检验统计量

本例 $b + c > 40$, 用式(9-7)计算得

$$\chi^2 = \frac{(24 - 20)^2}{24 + 20} = 0.36, v = 1$$

(3) 确定 P 值, 作出推断结论

查 χ^2 界值表(附表 7)得 $P > 0.05$, 按 $\alpha = 0.05$ 水准, 不拒绝 H_0 , 尚不能认为两种培养基的阳性培养率不同。

需要注意: 配对设计的四格表资料只能用配对 χ^2 检验, 而不能随意转化为两组独立样本的 χ^2 检验。

第三节 $R \times C$ 列联表资料的 χ^2 检验

前面介绍了两个样本率比较的 χ^2 检验方法。本节介绍具有 R 行和 C 列的列联表(称为 $R \times C$ 表)资料的 χ^2 检验, 用于多个样本率或多个构成比的比较。 $R \times C$ 表资料的 χ^2 检验仍可以使用公式(9-1)。

一、 $R \times C$ 表 χ^2 检验的专用公式

若使用公式(9-1), 需先计算理论频数 $T_{ij} (i = 1, 2, \dots, R, j = 1, 2, \dots, C)$, 比较烦琐, 为此可将其化简后得 $R \times C$ 列联表资料 χ^2 检验的专用公式, 即

$$\chi^2 = n \left(\sum \frac{A_{ij}^2}{n_{i.} n_{.j}} - 1 \right), v = (R - 1)(C - 1) \quad (9-9)$$

式中, n 为总例数, A_{ij} 为列联表中第 i 行和第 j 列格子中的实际频数, $n_{i.}$ 和 $n_{.j}$ 分别为相应行和列的周边合计数。在无效假设 H_0 下, χ^2 统计量服从自由度为 v 的 χ^2 分布。

例 9-5 某医院用三种方案治疗急性无黄疸型病毒性肝炎 254 例, 观察结果见表 9-6, 问三种治疗方案治疗急性肝炎的有效率是否不同?

表 9-6 3 种治疗方案治疗急性肝炎的效果

组别	例数	有效	无效	有效率(%)
西药组	100	51	49	51.00
中药组	80	35	45	43.75
中西药结合组	74	59	15	79.73
合计	254	145	109	57.09

本例为三个样本率的比较, 是 3×2 表资料。

(1) 建立检验假设并确定检验水准

H_0 : 三种治疗方案的有效率相等

H_1 : 三种治疗方案的有效率不全相等

$\alpha = 0.05$

(2) 计算检验统计量

按式(9-9)计算 χ^2 值

$$\begin{aligned}\chi^2 &= 254 \times \left(\frac{51^2}{100 \times 145} + \frac{49^2}{100 \times 109} + \frac{35^2}{80 \times 145} + \frac{45^2}{80 \times 109} + \frac{59^2}{74 \times 145} + \frac{15^2}{74 \times 109} - 1 \right) \\ &= 254 \times (0.1794 + 0.2203 + 0.1056 + 0.2322 + 0.3244 + 0.0279 - 1) \\ &= 22.81 \\ \nu &= (3-1) \times (2-1) = 2\end{aligned}$$

(3) 确定 P 值, 作出推断结论

查 χ^2 界值表得 $P < 0.05$, 在 $\alpha = 0.05$ 的检验水准下, 拒绝 H_0 , 接受 H_1 , 可以认为三种疗法的有效率有差别。

例 9-6 某研究人员收集了亚洲、欧洲和北美洲人的 A、B、AB、O 血型资料, 结果见表 9-7, 问不同地区人群的血型分布(构成比)是否不同?

表 9-7 世界三个不同地区血型样本的频数分布

地区	例数	A	B	AB	O
亚洲	1080	321	369	95	295
欧洲	517	258	43	22	194
北美洲	995	408	106	37	444
合计	2592	987	518	154	933

本例为三个样本构成比的比较, 是 3×4 表资料。

(1) 建立检验假设并确定检验水准

H_0 : 不同地区人群血型分布总体构成比相同

H_1 : 不同地区人群血型分布总体构成比不全相同

$\alpha = 0.05$

(2) 计算检验统计量

按式(9-9)计算 χ^2 值为

$$\begin{aligned}\chi^2 &= 2592 \times \left(\frac{321^2}{987 \times 1080} + \frac{369^2}{518 \times 1080} + \dots + \frac{444^2}{933 \times 995} - 1 \right) = 297.38 \\ \nu &= (3-1) \times (4-1) = 6\end{aligned}$$

(3) 确定 P 值, 作出推断结论

查附表 7 得 $\chi_{0.05, 6}^2 = 12.59$, $\chi^2 > 12.59$, $P < 0.05$, 在 $\alpha = 0.05$ 检验水准下, 拒绝 H_0 , 可以认为三个不同地区的人群血型分布不同。

二、多个样本率间多重比较

当多个样本率比较的推断结论拒绝 H_0 、接受 H_1 时, 只说明各总体率之间有差别, 但不能说明任两个总体率之间有差别。多个样本率间的两两比较若直接用四格表资料的 χ^2 检验进行多重比较, 将会增加犯 I 类错误的概率。为此, 需要采用多个样本率的多重比较方法。

多个样本率间的多重比较有 χ^2 分割法、Scheffé 可信区间法和 Bonferroni 方法, 应用这些方法能够保证假设检验中 I 类错误 α 的概率不变。这里仅介绍最简单的 Bonferroni 方法, 其基本思想是根据重复检验的次数重新规定检验水准 α' 。这是一种比较保守的方法, 比较的组数不宜过多, 实际中通常有两种情况。

1. 多个实验组间的两两比较 分析目的为 k 个实验组间, 任两个率均进行比较, 检验水准

α' 可用式(9-10)估计:

$$\alpha' = \frac{\alpha}{\binom{k}{2}} \quad (9-10)$$

式中 $\binom{k}{2} = \frac{k(k-1)}{2}$, k 为需要比较样本率的组数。

2. 实验组与同一个对照组的比较 分析目的为各实验组与同一个对照组比较, 而各实验组间不需要比较。检验水准 α' 可用式(9-11)估计:

$$\alpha' = \frac{\alpha}{k-1} \quad (9-11)$$

式中 k 为样本率的个数, 即需要比较样本率的组数。

例 9-7 对例 9-5 中表 9-6 的资料进行两两比较, 以推断是否任两种疗法治疗急性无黄疸型病毒性肝炎的有效率均有差别?

本研究目的为三个实验组间的两两比较, 检验水准 α' 用式(9-10)估计得

$$\alpha' = \frac{0.05}{3 \times (3-1) / 2} = \frac{0.05}{3} = 0.0166$$

(1) 建立检验假设并确定检验水准

$H_0: \pi_A = \pi_B$, 即任两对比组的总体有效率相等

$H_1: \pi_A \neq \pi_B$, 即任两对比组的总体有效率不等

$\alpha = 0.05$

(2) 计算检验统计量

本研究目的为三个实验组间的两两比较, 两两比较的 2×2 表及用公式(9-3)分别计算任两对比组的检验统计量 χ^2 值结果见表 9-8。

(3) 确定 P 值, 作出推断结论

查附表 7, 按 $\alpha' = 0.0166$ 检验水准, 得到自由度 $\nu = 1$ 的 χ^2 界值在 5.02~6.63 之间, 经插值法得到 $\chi^2_{0.0166, 1} \approx 5.97$, 任意两组比较的 P 值结果见表 9-8。西药组与中药组相比, 接受 H_0 , 两组之间无显著性差异 ($P > 0.0166$); 中西医结合组与单纯使用中药组或西药组相比, 拒绝 H_0 , 两组疗效的差异具有统计学意义 ($P < 0.0166$), 说明中西医结合治疗急性无黄疸型病毒性肝炎具有更好的疗效。

表 9-8 三种疗法治疗肝炎有效率的两两比较

对比组	有效	无效	合计	χ^2	P
西药组	51	49	100	0.94 < 5.97	> 0.0166
中药组	35	45	80		
合计	86	94	180		
中药组	35	45	80	20.93 > 5.97	< 0.0166
中西药结合组	59	15	74		
合计	94	60	154		
西药组	51	49	100	15.10 > 5.97	< 0.0166
中西药结合组	59	15	74		
合计	110	64	174		

例 9-8 以例 9-5 中表 9-6 资料中的西药治疗组为对照组, 中药治疗组与中西药结合为试验组, 试分析两试验组与对照组的总体有效率有无差别?

本研究目的为各试验组与同一对照组的比较, 检验水准 α' 用公式(9-11)估计得

$$\alpha' = \frac{0.05}{(3-1)} = 0.0250$$

(1) 建立检验假设并确定检验水准

$H_0: \pi_T = \pi_C$, 即各试验组与对照组的总体有效率相等

$H_1: \pi_T \neq \pi_C$, 即各试验组与对照组的总体有效率不等

$\alpha = 0.05$

(2) 计算检验统计量

本例为各试验组与同一对照组的比较, 计算 χ^2 统计量的结果见表 9-8。

(3) 确定 P 值, 作出推断结论

查附表 7, $\chi_{0.025, 1}^2 = 5.02$, 按 $\alpha' = 0.0250$ 水准, 中药组与西药组相比较, 接受 H_0 , 两组疗效无显著差异 ($P > 0.025$); 中西药结合组与西药相比, 拒绝 H_0 , 两组疗效的差异具有统计学意义 ($P < 0.025$), 说明中西药结合治疗急性无黄疸型病毒性肝炎的疗法优于单纯用西药的疗法。

三、 $R \times C$ 表 χ^2 检验的注意事项

1. 一般认为, $R \times C$ 表中各格子的理论频数不应小于 1, 并且 $1 \leq T < 5$ 的格子数不宜超过格子总数的 1/5。若出现这种情况, 可通过以下方法解决: ①增加样本含量, 使理论频数增大; ②根据专业知识, 考虑删去或合并理论频数太小的行或列; ③改用 $R \times C$ 表的 Fisher 确切概率法。

2. 多个样本率比较, 若统计推断结果拒绝 H_0 , 接受 H_1 时, 只说明各总体率之间总的来说有差别, 但不能说明任两个总体率之间均有差别。要进一步推断, 需做多个样本率的多重比较。

3. $R \times C$ 表的 χ^2 检验与分类结果的排序无关。对于有序 $R \times C$ 表, 如果分析的目的不是对构成比进行比较, 例如比较两组的疗效, 试验结果为“痊愈、显效、有效、无效”, 则不宜使用 χ^2 检验, 对此可以选用后面第十章的非参数秩和检验方法。

练习题

一、单项选择题

- 两样本率比较, 差别具有统计学意义时, P 值越小说明()
 - 两样本率差别越大
 - 两总体率差别越大
 - 越有理由认为两样本率不同
 - 越有理由认为两总体率不同
 - 越有理由认为两样本率相同
- 欲比较两组阳性反应率, 在样本量非常小的情况下(如 $n_1 < 10, n_2 < 10$), 应采用的假设检验方法是()
 - 四格表 χ^2 检验
 - 校正四格表 χ^2 检验
 - Fisher 确切概率法
 - 配对 χ^2 检验
 - 校正配对 χ^2 检验
- 进行四组样本率比较的 χ^2 检验, 如 $\chi^2 > \chi_{0.01, 3}^2$, 可认为()
 - 四组样本率均不相同
 - 四组总体率均不相同
 - 四组样本率相差较大
 - 至少有两组样本率不相同
 - 至少有两组总体率不相同
- 从甲、乙两文中, 查到同类研究的两个率比较的 χ^2 检验, 甲文 $\chi^2 > \chi_{0.01, 1}^2$, 乙文 $\chi^2 > \chi_{0.05, 1}^2$,

可认为()

- A. 两文结果有矛盾
B. 两文结果完全相同
C. 甲文结果更为可信
D. 乙文结果更为可信
E. 甲文说明总体的差异较大
5. 两组有效率比较的检验功效相关因素是()
A. 检验水准和样本率
B. 总体率差别和样本含量
C. 样本含量和样本率
D. 总体率差别和理论频数
E. 容许误差和检验水准
6. 通常分析四格表需用连续性校正 χ^2 检验方法的情况是()
A. $T < 5$
B. $T < 1$ 或 $n < 40$
C. $T < 1$ 且 $n < 40$
D. $1 \leq T < 5$ 且 $n > 40$
E. $T < 5$ 或 $n < 40$
7. 当四格表的周边合计数不变时,如果某格的实际频数有变化,则其理论频数是()
A. 增大
B. 减小
C. 不变
D. 不确定
E. 随该格实际频数的增减而增减
8. 对四种药物进行临床试验,计算显效率,规定检验水准 $\alpha = 0.05$,若需要进行多重比较,用 Bonferroni 方法校正后的检验水准应该是()
A. 0.017
B. 0.008
C. 0.025
D. 0.005
E. 0.013
9. 对药物的四种剂量进行临床试验,计算有效率,规定检验水准 $\alpha = 0.05$,若需要进行多重比较,用 Bonferroni 方法校正后的检验水准应该是()
A. 0.050
B. 0.010
C. 0.025
D. 0.005
E. 0.017
10. 利用 χ^2 检验公式不适合解决的实际问题是()
A. 比较两种药物的有效率
B. 检验某种疾病与基因多态性的关系
C. 两组有序试验结果的药物疗效
D. 药物三种不同剂量显效率有无差别
E. 两组病情“轻、中、重”的构成比例

二、计算与分析

1. 某神经内科医师观察 291 例脑梗死病人,其中 102 例病人用西医疗法,其他 189 例病人采用西医疗法加中医疗法,观察一年后,单纯用西医疗法组的病人死亡 13 例,采用中西医疗法组的病人死亡 9 例,请分析两组的病死率差异是否有统计学意义?

2. 某医院研究中药治疗急性心肌梗死的疗效,临床观察结果见下表。问接受两种不同疗法的患者病死率是否不同?

两种药治疗急性心肌梗死的疗效

组别	例数	存活	死亡	病死率(%)
中药组	68	65	3	4.41
非中药组	14	12	2	14.29
合计	82	77	5	6.10

3. 某医师观察三种降血脂药 A, B, C 的临床疗效, 观察 3 个月后, 按照患者的血脂下降程度分为有效与无效, 结果如下表, 问三种药物的降血脂效果是否不同?

三种药物降血脂的疗效

药物	例数	有效	无效	有效率(%)
A	145	120	25	82.76
B	87	60	27	68.97
C	62	40	22	64.52
合计	294	220	74	74.83

4. 某医师按照白血病患者发病情况, 将 308 例患者分为两组, 并按 ABO 血型分类记数, 结果见下表。试问两组患者血型总体构成有无差别?

308 例急、慢性白血病患者血型分布

组别	例数	血型			
		A	B	O	AB
急性组	189	60	47	61	21
慢性组	119	42	30	34	13
合计	308	102	77	95	34

5. 为研究某补钙制剂的临床效果, 观察 56 例儿童, 其中一组给予这种新药, 另一组给予钙片, 观察结果如下表, 问两种药物预防儿童的佝偻病患病率是否不同?

两组儿童的佝偻病患病情况

组别	病例数	非病例数	合计	患病率(%)
新药组	8	32	40	20.0
钙片组	6	10	16	37.5
合计	14	42	56	25.0

6. 某医院 147 例大肠杆菌标本分别在 A, B 两种培养基上培养, 然后进行检验, 资料见下表, 试分析两种培养基的检验结果是否有显著性差别?

A、B 两种培养基上培养大肠杆菌标本结果

A 培养基	B 培养基		合计
	+	-	
+	59	36	95
-	15	37	52
合计	74	73	147

(杨土保 王乐三)

第十章 非参数秩和检验

前面介绍的检验方法,如样本均数的 t 检验、方差分析,样本率比较的 χ^2 检验,都是在总体分布已知的前提下对参数进行的检验,即参数检验方法(parametric test)。然而,在实际中有些资料总体分布类型未知,或者不符合参数检验的适用条件,这时可以使用不以特定的总体分布为前提,也不针对总体参数做统计推断的方法,即非参数检验方法(nonparametric test)。

非参数检验的方法有很多,本章仅介绍通过样本数据排序编秩后,基于秩次比较的非参数检验。这种方法通常适用于:①总体分布类型未知或非正态分布数据;②有序或半定量资料;③数据两端无确定的数值。非参数检验方法的优点是适用范围广,但由于这种方法只是利用了数据的秩次信息,因此当数据满足参数检验的条件时,应首选参数检验,否则检验效能降低;当数据不满足参数检验的条件时,才应选择非参数检验方法。

第一节 配对设计资料的符号秩和检验

Wilcoxon 符号秩检验(Wilcoxon signed-rank test),由 Wilcoxon 在 1945 年提出,属于配对设计的非参数检验,用于推断配对资料的差值是否来自中位数为零的总体。其基本思想:假定两种处理效应相同,则差值的总体分布对称,总体中位数为 0,也就是说样本的正负秩和绝对值应相近;反之,若两种处理效应不同,则差值总体中位数不为 0,中位数偏离 0 越明显,样本的正负秩和绝对值就会相差越大,原假设 H_0 成立的可能性越小。下面结合实例说明其检验方法。

例 10-1 临床研究白癜风病人的 IL-6 指标在白斑部位与正常部位有无差异,检测结果如表 10-1 所示。

表 10-1 白癜风病人的不同部位白介素指标 (pg/ml)

病人号 (1)	白斑部位 (2)	正常部位 (3)	$d=(3)-(2)$ (4)	秩次 (5)
1	40.03	88.57	48.54	6
2	97.13	88.00	-9.13	-2
3	80.32	123.72	43.40	4
4	25.32	39.03	13.71	3
5	19.61	24.37	4.76	1
6	14.50	92.75	78.25	8
7	49.63	121.57	71.94	7
8	44.56	89.76	45.20	5
合计				$T_+ = 34, T_- = 2$

(1) 建立检验假设,确定检验水准

$H_0: M_d = 0$, 即两个不同部位 IL-6 水平差值的总体中位数为零

$H_1: M_d \neq 0$, 即两个不同部位 IL-6 水平差值的总体中位数不为零

$\alpha = 0.05$

(2) 编秩次并求秩和统计量

首先求出各对数据的差值,见表 10-1 的第(4)列;然后编秩次,按照差值绝对值由小到大编秩,并按差值的正负给秩次加上正负号;若差值为“0”,舍去不计,总的对子数也要减去此对子

数(记为 n);若差值的绝对值相等,取其平均秩次。最后,分别求正负秩次之和 T_+ 与 T_- (参见表 10-1),任取 T_+ 或 T_- 为检验统计量 T ,本例选取 $T=2$ 。

(3) 确定 P 值,做出推断

当 $n \leq 50$ 时,根据 n 和 T 可查配对设计用的 T 界值表(附表 8),若检验统计量 T 值在上下界值范围内,则 P 值大于表上方对应的概率值;若 T 值在上下界值外,则 P 值小于表上方对应的概率值。本例 $n=8$,查 T 界值表 $T_{0.05(8)}=3 \sim 33$, $T=2$ 不在 $3 \sim 33$ 范围内, $P < 0.05$,按 $\alpha=0.05$ 水准拒绝 H_0 ,即白斑部位与正常部位的白介素水平有显著差异。

需要注意:当 $n > 50$ 时,无法查表,可利用秩和分布的近似正态法进行检验。已知在原假设 H_0 成立时,近似地有

$$z = \frac{|T - n(n+1)/4| - 0.5}{\sqrt{n(n+1)(2n+1)/24}} \quad (10-1)$$

其中 0.5 为连续性校正数, z 近似服从标准正态分布。

当相同秩次较多时, z 值偏小,应采用校正公式,即

$$z_c = \frac{|T - n(n+1)/4| - 0.5}{\sqrt{\frac{n(n+1)(2n+1)}{24} - \frac{\sum(t_j^3 - t_j)}{48}}} \quad (10-2)$$

其中 t_j 为第 j 个相同秩次(即平均秩次)的个数,假定有 2 个秩次为 2.5, 4 个秩次为 8.5, 则 $t_1=2$, $t_2=4$, 故有

$$\sum(t_j^3 - t_j) = (t_1^3 - t_1) + (t_2^3 - t_2) = (2^3 - 2) + (4^3 - 4) = 66$$

例 10-2 指导 28 名有轻度牙周疾病的成年人进行良好的口腔卫生保健,6 个月后,按照牙周情况好转高低程度分别给予 +3、+2、+1;牙周情况变差程度依次给予分数 -1、-2、-3;没有变化给予 0 分。数据如表 10-2 所示,试对此项干预的结果进行评价。

表 10-2 实行良好口腔卫生习惯 6 个月后牙周情况的变化程度

变化分数	人数	变化分数	人数
+3	4	-1	4
+2	5	-2	2
+1	6	-3	2
0	5		

(1) 建立检验假设,确定检验水准

$H_0: M_d=0$, 即前后变化分数的总体中位数为零

$H_1: M_d \neq 0$, 即前后变化分数的总体中位数不为零

$\alpha=0.05$

(2) 计算 T 统计量

记变化分数的绝对值为 d , 编秩及计算正负秩和结果如表 10-3 所示。

表 10-3 实行良好口腔卫生习惯 6 个月后牙周情况的变化程度

d (1)	频数		总和 (4)	秩次范围 (5)	平均秩次 (6)	负秩和 (7)=(2)×(6)	正秩和 (8)=(3)×(6)
	- (2)	+ (3)					
1	4	6	10	1~10	5.5	22	33
2	2	5	7	11~17	14	28	70
3	2	4	6	18~23	20.5	41	82
合计	8	15	23	—	—	$T_- = 91$	$T_+ = 185$

(3) 确定 P 值, 做出推断

查 T 界值表(附表 8), $T_{0.05(23)}=73\sim 203$, $T=T=91>73$, T 统计量值落在上下界值之间, $P>0.05$, 按 $\alpha=0.05$ 水准, 不拒绝 H_0 , 即对有轻度牙周疾病的成年人, 实行良好的口腔卫生 6 个月后, 尚不能说明此项干预对牙周改善有显著效果。

本例若用近似正态法计算, 由于上述资料相同秩次较多, 用校正公式(10-2)得出

$$z_c = \frac{|T - n(n+1)/4| - 0.5}{\sqrt{\frac{n(n+1)(2n+1)}{24} - \frac{\sum(t^3 - t)}{48}}} = \frac{|91 - 23(23+1)/4| - 0.05}{\sqrt{\frac{23 \times (23+1) \times (2 \times 23+1)}{24} - \frac{(10^3 - 10) + (7^3 - 7) + (6^3 - 6)}{48}}} = 1.44$$

查 z 界值表 $z_{0.05/2} = 1.96$, 本例中 $z_c < 1.96$, $P > 0.05$, 按 $\alpha = 0.05$ 的检验水准, 不拒绝 H_0 , 结论同前。

第二节 两独立样本比较的秩和检验

对于计量资料, 如果两个样本分别来自方差相等的正态分布总体的假设成立, 则可以使用 t 检验比较两样本均数的差别是否具有统计学意义; 否则采用非参数秩和检验更为合适。本节介绍 Wilcoxon 秩和检验(Wilcoxon rank sum test), 其目的是比较两样本分别代表的总体分布位置有无差异。

一、查表法

例 10-3 观察有无淋巴细胞转移的胃癌患者的生存时间(见表 10-4), 问两组患者的生存时间是否不同?

表 10-4 两组胃癌患者的生存时间(月)

无淋巴细胞转移		有淋巴细胞转移	
时间	秩次	时间	秩次
12	4.5	5	1
25	10	8	2
27	11	12	4.5
29	12.5	12	4.5
38	17	12	4.5
42	19	17	7
46	20	21	8
46	21	24	9
56	23	29	12.5
60	24	30	14
		34	15
		36	16
		40	18
		48	22
$n_1 = 10$	$T_1 = 162$	$n_2 = 14$	$T_2 = 138$

(1) 建立检验假设, 确定检验水准

H_0 : 有无淋巴细胞转移患者生存时间的总体分布位置相同

H_1 : 有无淋巴细胞转移患者生存时间的总体分布位置不同

$\alpha=0.05$

(2) 确定秩和检验统计量 T

首先编秩号, 即将两样本 24 个数据由小到大统一编秩, 结果见表 10-4。排序时若有相同数据, 取平均秩次。本例中两组有相同的观察值 12 与 29, 原秩次分别应为 3、4、5、6 与 12、13, 所以取平均秩次分别为 4.5 和 12.5。进而, 将两组数据的秩次分别求和, 若两组例数相同, 则任取一组的秩和作为统计量; 若两组例数不同, 则以例数较小者对应的秩和作为统计量。本例中两组例数分别 10、14, 取较小者为 $n_1=10$, $T=T_1=162$ 。

(3) 确定 P 值, 作出推断结论

当 $n_1 \leq 10$, $n_2 - n_1 \leq 10$ 时, 查两样本比较的 T 界值表(附表 9), 先从表的左侧查 n_1 (两样本量较小者), 本例为 10; 再从表上方找到两样本量的差 ($n_2 - n_1$), 本例 $n_2 - n_1 = 4$, 两者交叉处即为 T 的临界值。将检验统计量 T 值与 T 的临界值作比较, 如果 T 在界值范围内, 则 P 值大于表上方的概率值; 若 T 等于界值或在界值范围外, 则 P 值等于或小于表上方的概率值。本例 T 的两侧临界值范围为 91~159, 检验统计量 T 值为 162, 超出范围, $P < 0.05$, 拒绝 H_0 , 说明有无淋巴细胞转移的胃癌患者总体平均生存时间不同, 无转移组生存时间相对更长。

二、正态近似法

假定 $n_1 \leq n_2$, 如果 n_1 和 $n_2 - n_1$ 超出 T 界值表的范围, 可按正态近似检验, 检验公式为

$$z = \frac{|T - n_1(N+1)/2| - 0.5}{\sqrt{n_1 n_2 (N+1)/12}} \quad (10-3)$$

其中 $N = n_1 + n_2$, 统计量 z 近似服从标准正态分布。

当相同秩次较多时(尤其等级资料), 采用下面校正公式

$$z_c = \frac{|T - n_1(N+1)/2| - 0.5}{\sqrt{\frac{n_1 n_2}{12N(N-1)} [N^3 - N - \sum (t_j^3 - t_j)]}} \quad (10-4)$$

其中 t_j 为相同秩次的个数, 计算方法如前。

上述公式的基本思想是: 如果 H_0 成立, 由于抽样误差的存在, 统计量 T 与总体的平均秩和 $n_1(N+1)/2$ 应该相差不大; 当 T 与 $n_1(N+1)/2$ 相差太大时, 超过了抽样误差可以解释的范围, 则有理由怀疑 H_0 的正确性, 从而拒绝 H_0 。

例 10-4 44 名健康人与 24 名慢性气管炎病人痰液嗜酸性粒细胞数的测量结果如表 10-5 所示, 问健康人与慢性气管炎病人痰液中嗜酸性粒细胞数有无差别?

表 10-5 两组人痰嗜酸性粒细胞的秩和计算

嗜酸性粒细胞数 (1)	例数		统一编秩		例数较小组的秩和 (6)=(3)×(5)
	健康人 (2)	病人 (3)	秩次范围 (4)	平均秩次 (5)	
-	5	11	1~16	8.5	93.5
+	18	10	17~44	30.5	305.0
++	16	3	45~63	54	162.0
+++	5	0	64~68	66	0.0
合计	44	24	—	—	$T_1 = 560.5$

(1) 建立检验假设, 确定检验水准

H_0 : 健康人慢性气管炎病人痰液嗜酸性粒细胞数的测量结果总体分布位置相同

H_1 : 健康人慢性气管炎病人痰液嗜酸性粒细胞数的测量结果总体分布位置不同

$\alpha=0.05$

(2) 计算检验统计量

表 10-5 中第(4)列按第(2)与(3)列数据统一编秩号, 第(5)列为各等级的平均秩次, 第(6)列则是较小样本的秩和, 本例中 $T=T_1=560.5$, 将其带入公式(10-4)得出,

$$\begin{aligned} z_c &= \frac{|T_1 - n_1(N+1)/2| - 0.5}{\sqrt{\frac{n_1 n_2}{12N(N-1)} [N^3 - N - \sum(t^3 - t)]}} \\ &= \frac{|560.5 - 24 \times (68+1)/2| - 0.5}{\sqrt{\frac{24 \times 44}{12 \times 68 \times (68-1)} - [68^3 - 68 - (16^3 - 16 + 28^3 - 28 + 19^3 - 19 + 5^3 - 5)]}} \\ &= 3.62 \end{aligned}$$

由于 $z_c = 3.62 > z_{0.05/2} = 1.96$, $P < 0.05$, 则按照 $\alpha = 0.05$ 检验水准拒绝 H_0 , 认为健康人与慢性气管炎病人痰液嗜酸性粒细胞数的测量结果总体分布位置不同。

第三节 多个独立样本比较的秩和检验

多组计量资料比较时, 若数据不满足方差分析的条件时, 可以使用本节介绍的 Kruskal-Wallis 检验(Kruskal-Wallis test), 又称为 K-W 检验或 H 检验, 这种方法主要用于推断多个计量资料或多组有序资料的总体分布位置有无差别。

例 10-5 为研究霍乱菌苗不同途径的免疫效果, 对不同途径免疫 21 天后血清抗体滴度水平进行了测定, 问各组间的血清抗体滴度水平之间是否存在差异?

表 10-6 不同途径免疫 21 天后血清抗体滴度的分布与秩和计算

抗体滴度 (1)	气雾组(亿/ml)			合计 (5)	平均秩次 (6)	秩和		
	80 (2)	100 (3)	皮下注射组 (4)			80 (7)	100 (8)	皮下 (9)
1:10	2	4	2	8	4.5	9	18	9
1:20	15	7	1	31	20	300	140	20
1:40	10	12	13	66	49	490	588	637
1:80	5	7	9	87	77	385	539	693
1:160	1	2	5	95	91.5	91.5	183	457.5
1:320	—	—	1	96	96	—	—	96
合计	33	32	31	—	—	1275.5	1468	1912.5

(1) 建立检验假设, 确定检验水准

H_0 : 三组血清抗体滴度水平的总体分布位置相同

H_1 : 三组血清抗体滴度水平的总体分布位置不全相同

$\alpha=0.05$

(2) 计算检验统计量 H

首先将各组数据统一按从小到大顺序编秩, 如有相等数值则取平均秩次; 然后分别计算各

组的秩和 R_i ; 最后计算检验统计量 H , 即

$$H = \frac{12}{N(N+1)} \sum \frac{R_i^2}{n_i} - 3(N+1) \quad (10-5)$$

其中 $N = n_1 + n_2 + \dots + n_k$ 为各组例数之和。本例 $N = 96$, $R_1 = 1275.5$, $R_2 = 1468$, $R_3 = 1912.5$, 由此得到

$$\begin{aligned} H &= \frac{12}{N(N+1)} \sum \frac{R_i^2}{n_i} - 3(N+1) \\ &= \frac{12}{96 \times (96+1)} \times \left(\frac{1275.5^2}{33} + \frac{1468^2}{32} + \frac{1912.5^2}{31} \right) - 3 \times (96+1) = 11.36 \end{aligned}$$

本例相同秩次较多, 使用校正公式更加准确, 即

$$H_c = \frac{H}{1 - \frac{\sum (t_j^3 - t_j)}{N^3 - N}} \quad (10-6)$$

其中 t_j 为第 j 个相同秩次 (即平均秩次) 的个数。本例有

$$H_c = \frac{11.36}{1 - \frac{8^3 - 8 + 23^3 - 23 + 35^3 - 35 + 21^3 - 21 + 8^3 - 8}{96^3 - 96}} = 12.27$$

(3) 确定 P 值做出推断结论

当组数 $k=3$ 且每组例数 $n_i \leq 5$ 时, 可查 H 界值表 (附表 10) 得到 P 值; 当 $k > 3$ 或 $k=3$ 且最小样本例数 $n_i > 5$ 时, H 近似地服从自由度为 $\nu = k - 1$ 的 χ^2 分布, 可查 χ^2 界值表得到 P 值。

本例 $k=3$ 且最小样本例数 $n_i > 5$, 查 χ^2 界值表, $\nu = k - 1 = 3 - 1 = 2$, $\chi_{0.01(2)}^2 = 9.21$, $H_c = 12.27 > \chi_{0.01(2)}^2$, $P < 0.01$, 拒绝 H_0 , 三组血清抗体滴度水平的差别具有统计学意义。

练习题

一、单项选择题

- 对医学计量资料成组比较, 相对参数检验来说, 非参数秩和检验的优点是 ()
 - 适用范围广
 - 检验效能高
 - 检验结果更准确
 - 充分利用资料信息
 - 不易出现假阴性错误
- 对于计量资料的比较, 在满足参数法条件下用非参方法分析, 可能产生的结果是 ()
 - 增加 I 类错误
 - 增加 II 类错误
 - 减少 I 类错误
 - 减少 II 类错误
 - 两类错误都增加
- 两样本比较的秩和检验, 如果样本含量一定, 两组秩和的差别越大说明 ()
 - 两总体的差别越大
 - 两总体的差别越小
 - 两样本的差别可能越大
 - 越有理由说明两总体有差别
 - 越有理由说明两总体无差别

4. 多个计量资料的比较,当分布类型未知时,应选择的统计方法是()
- A. 方差分析
B. Wilcoxon T 检验
C. Kruskal-Wallis H 检验
D. z 检验
E. 列联表 χ^2 检验
5. 两组数据的秩和检验和 t 检验相比,其优点是()
- A. 计算简便
B. 检验假设合理
C. 检验效能高
D. 抽样误差更小
E. 对数据分布不做限制
6. 两样本比较的秩和检验,其检验统计量 T 是()
- A. 例数较小的秩和
B. 例数较大的秩和
C. 较小的秩和
D. 较大的秩和
E. 任意一组数据的秩和
7. 两样本比较的秩和检验,其无效假设是()
- A. 两样本有相同的秩和
B. 两总体有相同的秩和
C. 两样本分布相同
D. 两总体分布相同
E. 两总体分布的位置相同
8. 两样本比较的 Wilcoxon 秩和检验结果显著,判断孰优孰劣的根据是()
- A. 两样本的秩和大小
B. P 值大小
C. 检验统计量 T 值大小
D. 两样本秩和的差别大小
E. 两样本平均秩的大小
9. 在一项临床试验研究中,疗效分为“痊愈、显效、有效、无效”四个等级,现欲比较试验组与对照组治疗效果有无差别,宜采用的统计方法是()
- A. Wilcoxon 秩和检验
B. 2×4 列联表 χ^2 检验
C. 四格表 χ^2 检验
D. Fisher 确切概率法
E. 计算标准化率
10. 两样本比较的秩和检验中,甲组中最小数据有 2 个 0.2,乙组中最小数据有 3 个 0.2,则数据 0.2 对应的秩次是()
- A. 0.2
B. 1.0
C. 5.0
D. 2.5
E. 3.0

二、计算与分析

1. 某医院测定 10 名受试者针刺膻中穴前后痛阈的数据,见下表,试分析针刺膻中穴前后痛阈值的差异有无统计学意义?

10 名受试者针刺膻中穴前后痛阈资料

编号	针刺前	针刺后	编号	针刺前	针刺后
1	600	610	6	1125	1425
2	600	700	7	1400	1350
3	685	575	8	750	825
4	1050	600	9	1000	800
5	900	600	10	1500	1400

2. 8名健康男子服用肠溶醋酸棉酚片前后的精液中精子浓度检查结果如下表(服用时间3个月),问服用肠溶醋酸棉酚片后精液中精子浓度有无下降?

8名健康男子服用肠溶醋酸棉酚片前后的精液中精子浓度(万/ml)

编号	服药前	服药后	编号	服药前	服药后
1	6000	660	5	6000	6300
2	22000	5600	6	6500	1200
3	5900	3700	7	26000	1800
4	4400	5000	8	5800	2200

3. 雌鼠两组分别给以高蛋白和低蛋白的饲料,实验时间自出生后28天至84天止,计8周。观察各鼠所增体重,结果如下表,问两种饲料对雌鼠体重增加有无显著影响?

高蛋白和低蛋白两种饲料雌鼠体重增加量(g)

高蛋白组	低蛋白组	高蛋白组	低蛋白组
83	65	123	101
97	70	124	107
104	70	129	122
107	78	134	
113	85	146	
119	94	161	

4. 测得铅作业与非铅作业工人的血铅值($\mu\text{g}/100\text{g}$),见下表,问铅作业工人的血铅值是否高于非铅作业工人?

铅作业与非铅作业工人的血铅含量($\mu\text{g}/100\text{g}$)

非铅作业组	铅作业组	非铅作业组	铅作业组
5	17	12	43
5	18	13	44
6	20	15	
7	25	18	
9	34	21	

5. 用维生素 K_3 眼药水对近视眼患者作治疗,对照组用生理盐水作安慰剂,对两组的疗效进行观察,结果如下表,试分析维生素 K_3 眼药水对近视眼患者的治疗是否有疗效?

维生素 K_3 眼药水治疗近视眼患者的疗效观察

组别	例数	疗效			
		恢复	进步	不变	变差
维生素 K_3 眼药水组	116	4	11	93	8
生理盐水组	91	1	10	60	20
合计	207	5	21	153	28

6. 对正常、单纯性肥胖及皮质醇增多症三组人的血浆皮质醇含量进行测定,其结果见下表,问三组人的血浆皮质醇含量的差异有无统计学意义?

三组人的血浆皮质醇测定值(nmol/L)

正常	单纯性肥胖	皮质醇增多症	正常	单纯性肥胖	皮质醇增多症
0.4	0.6	9.8	3.1	4.1	14.8
1.9	1.2	10.2	3.7	5.0	15.6
2.2	2.0	10.6	3.9	5.9	15.6
2.5	2.4	13.0	4.6	7.4	21.6
2.8	3.1	14.0	7.0	13.6	24.0

7. 在针刺麻醉下,对肺癌、肺化脓症及肺结核三组患者进行肺部手术,效果分四级,结果见下表,试比较针刺麻醉对三组病人的效果有无差异?

三组患者肺部手术的针麻效果

组别	例数	针麻效果			
		I	II	III	IV
肺癌	50	10	17	19	4
肺化脓	105	24	41	33	7
肺结核	157	48	65	36	8
合计	312	82	123	88	19

(刘启贵)

第十一章 线性回归与相关

前面的章节中介绍的均为单变量资料的统计分析方法,如描述某一变量的统计特征或是对各组间的差别进行比较。但在实际的医学研究中,常常需要对两个变量之间的关系进行分析,例如年龄与血压、糖尿病患者的血糖与胰岛素水平、孕妇的雌三醇水平与新生儿体重之间的关系等。研究两个变量之间的关系,常用的统计分析方法是线性回归与相关。

第一节 线性回归

一、线性回归的概念

假设有两个变量 X 和 Y , 当一个变量 X 改变时, 另一个变量 Y 也相应地改变, 此时称 X 为自变量 (independent variable), Y 为应变量 (dependent variable)。在医学和生物学现象中, 很多情况 Y 与 X 在数量上可能存在线性关系, 如在研究儿童的年龄与体重的关系时, 一般来说儿童的年龄越大其体重亦越重。对此, 可以用一个直线方程来描述两个变量间依存变化的数量关系, 这样得出的直线方程叫做线性回归方程 (linear regression equation)。线性回归方程的形式为

$$\hat{Y} = a + bX \quad (11-1)$$

其中, \hat{Y} 是给定 X 时 Y 的估计值; a 为截距 (intercept) 或常数项 (constant term), b 为回归系数 (regression coefficient), 通过样本数据计算得到。计算公式:

$$b = \frac{l_{XY}}{l_{XX}} = \frac{\sum(X - \bar{X})(Y - \bar{Y})}{\sum(X - \bar{X})^2} = \frac{\sum XY - \frac{(\sum X)(\sum Y)}{n}}{\sum X^2 - \frac{(\sum X)^2}{n}} \quad (11-2)$$

$$a = \bar{Y} - b\bar{X} \quad (11-3)$$

式(11-2)和式(11-3)中, l_{XY} 表示 X 与 Y 的离均差积和, l_{XX} 表示 X 的离均差平方和; \bar{X} 和 \bar{Y} 分别为两个变量的均值。

回归系数 b 和常数项 a 是方程中两个待定的参数, 计算这两个参数的数学原理是最小二乘法 (method of least squares), 该方法的原则是保证各实测点到回归直线的纵向距离的平方和最小, 并使计算出的回归直线最能代表实测数据所反映出的直线趋势, 即 $Q = \sum(Y - \hat{Y})^2$ 最小。上述计算公式就是依据最小二乘法推导出的结果。

二、回归方程的估计

例 11-1 研究饮水氟含量与成人骨 X 线改变指数间的关系, 得到了表 11-1 中所示的资料, 试进行回归分析。

(1) 根据表 11-1 的数据绘制散点图 (图 11-1)。从绘制的散点图中可以看出饮水氟含量与成人骨 X 线改变指数之间存在着明显的直线趋势, 所以可以进一步考虑建立二者之间的线性回归方程。

表 11-1 饮水氟含量(mg/L)与骨 X 线改变指数回归分析数据

调查对象	饮水氟含量(X)	骨 X 线改变指数(Y)	XY	X ²	Y ²
1	0.24	0.40	0.10	0.06	0.16
2	0.80	0.56	0.45	0.64	0.31
3	1.00	1.91	1.91	1.00	3.65
4	1.80	0.86	1.55	3.24	0.74
5	3.12	5.25	16.38	9.73	27.56
6	4.10	3.40	13.94	16.81	11.56
7	5.60	58.38	326.93	31.36	3408.22
8	10.27	70.33	722.29	105.47	4946.31
9	10.81	116.30	1257.20	116.86	13525.69
合计	37.74	257.39	2340.75	285.17	21924.20

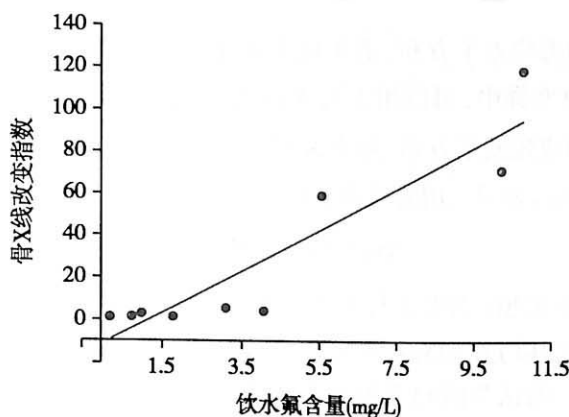


图 11-1 饮水氟含量与成人骨 X 线改变指数之间关系散点图

(2) 计算回归系数与常数项

本例: $\sum X = 37.74$, $\sum X^2 = 285.17$, $\bar{X} = 4.19$

$\sum Y = 257.39$, $\sum Y^2 = 21924.20$, $\bar{Y} = 28.60$

$\sum XY = 2340.75$

代入式(11-2)和式(11-3)得

$$b = \frac{l_{XY}}{l_{XX}} = \frac{\sum XY - \frac{(\sum X)(\sum Y)}{n}}{\sum X^2 - \frac{(\sum X)^2}{n}} = \frac{2340.75 - \frac{37.74 \times 257.39}{9}}{285.17 - \frac{37.74^2}{9}} = \frac{1261.43}{126.91} = 9.940$$

$$a = \bar{Y} - b\bar{X} = 28.60 - 9.940 \times 4.19 = -13.049$$

则回归方程为

$$\hat{Y} = -13.049 + 9.94X$$

(3) 作回归直线

按上述回归方程,在 X 实测值的范围内,任取两个相距较远的点 $A(X_1, \hat{Y}_1)$ 和 $B(X_2, \hat{Y}_2)$,连接 A、B 两点即得到回归直线。本例可取 $X_1 = 2$, 计算出 $\hat{Y}_1 = 6.83$; $X_2 = 10.5$, 计算出 $\hat{Y}_2 = 91.32$; 两点的连线即为所求回归直线(参见图 11-1)。

由图可见, 饮水氟含量升高, 成人的骨 X 线改变指数也趋向升高, 骨 X 线改变指数 Y 随饮水氟含量 X 的变化而变化, 散点呈直线趋势, 但并不完全在一条直线上, 说明除了受自变量的影响外, 还有其他因素对 Y 起作用。

三、线性回归的假设检验

由样本资料计算的回归系数 b 和其他统计量一样, 存在抽样误差, 即使总体回归系数 $\beta=0$, 由样本资料计算的回归系数 b 也不可能恰好等于 0。因此, 需要对线性回归方程进行假设检验。

(一) 方差分析

Y 值的变异可用 $\sum(Y-\bar{Y})^2$ 来反映, 而每个 $Y-\bar{Y}$ 都可以分解为

$$Y-\bar{Y}=(Y-\hat{Y})+(\hat{Y}-\bar{Y})$$

经推导得

$$\sum(Y-\bar{Y})^2=\sum(\hat{Y}-\bar{Y})^2+\sum(Y-\hat{Y})^2 \quad (11-4)$$

式中, $\sum(Y-\bar{Y})^2$ 为 Y 的离均差平方和, 表示应变量 Y 的总变异, 用 $SS_{\text{总}}$ 表示; $\sum(\hat{Y}-\bar{Y})^2$ 称回归平方和, 表示在 Y 的总变异中, 可以用 Y 与 X 的线性关系解释的那部分变异, 用 $SS_{\text{回归}}$ 表示; $\sum(Y-\hat{Y})^2$ 称剩余平方和或残差平方和, 用于说明除了 X 对 Y 的线性影响之外的其他随机因素对 Y 的变异的影响, 用 $SS_{\text{残差}}$ 表示。用公式表示有

$$SS_{\text{总}}=SS_{\text{回归}}+SS_{\text{残差}} \quad (11-5)$$

回归方程检验的基本思想: 如果 X 与 Y 之间无线性回归关系, 则 $SS_{\text{回归}}$ 与 $SS_{\text{残差}}$ 都只包含随机因素对 Y 的影响, 因此其均方 $MS_{\text{回归}}$ 与 $MS_{\text{残差}}$ 应近似相等, 如果两者差别较大, 并超出能够用随机波动解释的程度, 则认为回归方程具有统计学意义。对此, 可用方差分析方法对其进行检验。

回归系数的假设检验可用下面的简化公式计算, 即

$$SS_{\text{总}}=\sum(Y-\bar{Y})^2=\sum Y^2-\frac{(\sum Y)^2}{n} \quad (11-6)$$

$$SS_{\text{回归}}=bl_{XY}=\frac{l_{XY}^2}{l_{XX}}=b^2l_{XX} \quad (11-7)$$

$$SS_{\text{残差}}=SS_{\text{总}}-SS_{\text{回归}} \quad (11-8)$$

三个平方和对应的自由度依次为 $\nu_{\text{总}}=n-1$, $\nu_{\text{回}}=1$, $\nu_{\text{剩}}=n-2$; 相应的均方为

$$MS_{\text{回归}}=\frac{SS_{\text{回归}}}{\nu_{\text{回归}}}, MS_{\text{残差}}=\frac{SS_{\text{残差}}}{\nu_{\text{残差}}} \quad (11-9)$$

检验统计量为

$$F=\frac{MS_{\text{回归}}}{MS_{\text{残差}}} \quad (11-10)$$

下面对例 11-1 数据建立的回归方程进行假设检验:

(1) 建立假设检验, 确定检验水准

$$H_0: \beta=0$$

$$H_1: \beta \neq 0$$

$$\alpha=0.05$$

(2) 计算统计量

$$SS_{\text{总}} = \sum Y^2 - \frac{(\sum Y)^2}{n} = 21924.2 - \frac{257.39^2}{9} = 14563.13$$

$$SS_{\text{回归}} = \frac{l_{XY}^2}{l_{XX}} = \frac{1261.43^2}{126.91} = 12538.06$$

$$SS_{\text{残差}} = SS_{\text{总}} - SS_{\text{回归}} = 2025.07$$

$$F = \frac{MS_{\text{回归}}}{MS_{\text{残差}}} = \frac{SS_{\text{回归}}/v_{\text{回归}}}{SS_{\text{残差}}/v_{\text{残差}}} = \frac{12538.06/1}{2025.07/7} = 43.34$$

(3) 确定 P 值, 得出统计结论

查 F 界值表(附表 4), $v_{\text{回归}}=1$, $v_{\text{残差}}=7$, $F_{0.01(1,7)}=12.25$, $F > F_{0.01(1,7)}$, $P < 0.01$, 拒绝 H_0 , 可以认为饮水氟含量与成人骨 X 线改变指数之间存在线性回归关系。上面结果可以归纳成表 11-2 的形式。

表 11-2 方差分析表

变异来源	SS	ν	MS	F	P
总变异	14563.13	8			
回归	12538.06	1	12538.06	43.34	<0.01
残差	2025.07	7	289.30		

(二) t 检验

回归系数检验也可以采用 t 检验的方法, 即

$$t = \frac{|b-0|}{S_b}, \nu = n-2 \quad (11-11)$$

$$S_b = \frac{S_{Y \cdot X}}{\sqrt{l_{XX}}} \quad (11-12)$$

$$S_{Y \cdot X} = \sqrt{\frac{SS_{\text{残差}}}{v_{\text{残差}}}} = \sqrt{MS_{\text{残差}}} \quad (11-13)$$

其中, S_b 为样本回归系数的标准误, 反映样本回归系数的抽样误差; $S_{Y \cdot X}$ 为剩余标准差, 表示应变量 Y 值对于回归直线的离散程度。

例 11-1 数据建立回归方程后, 进行 t 检验, 过程如下:

(1) 建立假设检验, 确定检验水准

$$H_0: \beta = 0$$

$$H_1: \beta \neq 0$$

$$\alpha = 0.05$$

(2) 计算统计量

$$S_{Y \cdot X} = \sqrt{\frac{2025.07}{7}} = 17.01, S_b = \frac{17.01}{\sqrt{126.91}} = 1.510$$

$$t = \frac{|9.94 - 0|}{1.51} = 6.58, \nu = 9 - 2 = 7$$

(3) 确定 P 值, 作出结论

根据 $\nu=7$, 查 t 界值表(附表 2), $t_{0.01/2(7)}=3.499$, $P < 0.01$, 拒绝 H_0 , 结论与 F 检验相同。可以看出, 统计量 F 与 t 之间存在确定的数量关系, 即 $\sqrt{F} = t$, 本例 $\sqrt{43.34} = 6.58$ 。

第二节 线性相关

一、线性相关的概念

对两变量关系的研究,有时并不要求由 X 估计 Y ,而关心的是两个变量之间是否具有直线相关关系。例如 11 名男青年身高与前臂长资料绘制的散点图如图 11-2 所示,为直观地描述两个变量之间的关系,可以绘制散点图。由图可以看出,男青年身高与前臂长散点呈直线趋势,即男青年身材高,前臂亦长,说明身高与前臂长之间存在线性相关关系,这种关系称为直线相关(linear correlation)或简单相关(simple correlation)。

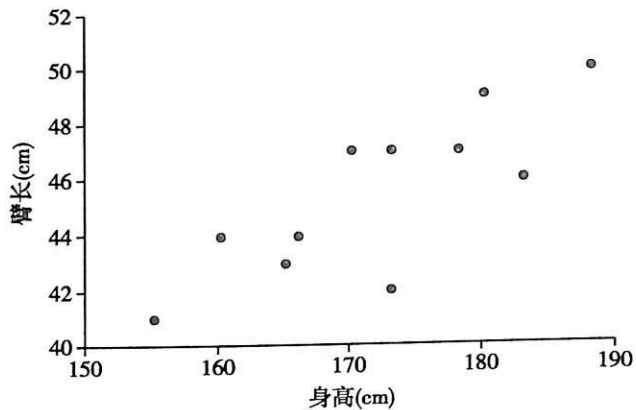


图 11-2 11 名男青年身高与前臂长散点图

直线相关用于分析双变量正态分布(bivariate normal distribution)资料。直线相关的性质可由散点图直观地说明,具体可分为以下几种情况:

(1) 正相关(positive correlation):如图 11-3(1)所示,各点的分布呈现椭圆形, Y 的取值随 X 的取值增加而增加,反之亦然;散点的分布越集中,相关越密切,当各点的分布如图 11-3(2)完全在一条直线上时, X 与 Y 呈完全正相关。

(2) 负相关(negative correlation):如图 11-3(3),各点的分布也呈现椭圆形, Y 的取值随 X 的取值增加而减少,反之亦然;散点的分布越集中,相关越密切,当各点的分布如图 11-3(4)完全在一条直线上时,则 X 与 Y 呈完全负相关。

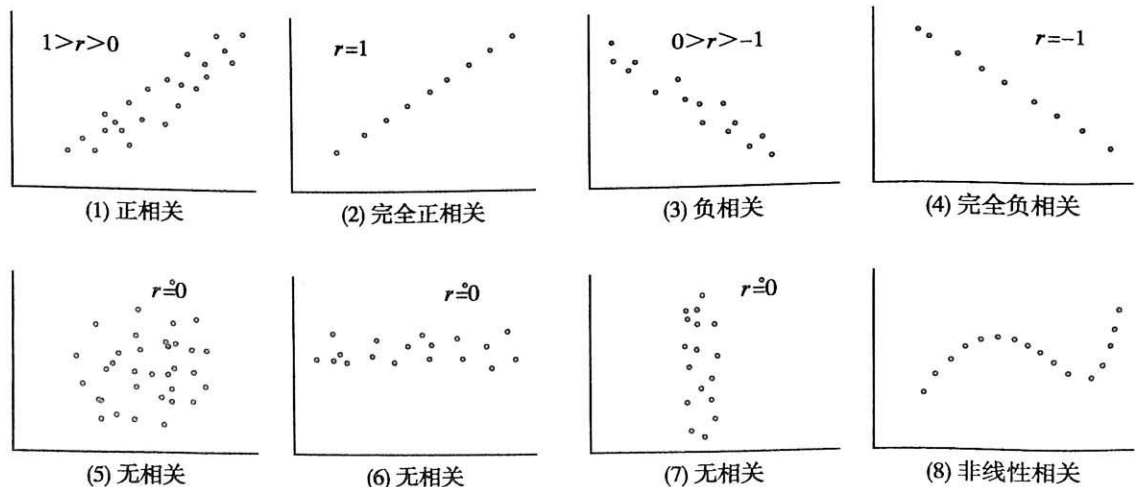


图 11-3 直线相关示意图

(3) 无相关(zero correlation): 如图 11-3 中的(5)、(6)、(7), 无论 X 增加还是减少, Y 不受其影响。图 11-3 中的(6)、(7)两种情形, 虽然各点分布接近直线, 但直线与 X 轴或 Y 轴平行, 使 X 与 Y 互不影响, 呈无相关。

(4) 非线性相关: 如图 11-3 中的(8), 散点分布显示 X 与 Y 之间可能存在某种曲线相关, 故称为非线性相关, 这不属于本章介绍的内容。

在医学研究中, 完全正相关或完全负相关的情况几乎不存在。线性相关的正负方向和密切程度可以用相关系数进行定量描述。

二、相关系数及其计算

相关系数(correlation coefficient)又称 Pearson 积差相关系数(coefficiency of product moment correlation), 是说明具有直线相关关系的两个数值变量间相关的密切程度和相关方向的统计量, 其计算公式为

$$r = \frac{l_{XY}}{\sqrt{l_{XX}l_{YY}}} = \frac{\sum(X - \bar{X})(Y - \bar{Y})}{\sqrt{\sum(X - \bar{X})^2 \sum(Y - \bar{Y})^2}} \quad (11-14)$$

式中, l_{XY} 表示 X 与 Y 的离均差积和, l_{XX} 表示 X 的离均差平方和, l_{YY} 表示 Y 的离均差平方和。具体计算公式为

$$l_{XY} = \sum(X - \bar{X})(Y - \bar{Y}) = \sum XY - \frac{(\sum X)(\sum Y)}{n} \quad (11-15)$$

$$l_{XX} = \sum(X - \bar{X})^2 = \sum X^2 - \frac{(\sum X)^2}{n} \quad (11-16)$$

$$l_{YY} = \sum(Y - \bar{Y})^2 = \sum Y^2 - \frac{(\sum Y)^2}{n} \quad (11-17)$$

将上述各式的计算数值代入公式(11-14)中, 即得到相关系数的估计值。

相关系数 r 没有度量衡单位, 其取值范围为 $-1 \leq r \leq 1$ 。 $r > 0$ 表示正相关, $r < 0$ 表示负相关, $r = 0$ 表示无相关, 即无直线关系, 当 $|r| = 1$ 时为完全相关。相关系数的绝对值愈接近 1, 相关愈密切; 相关系数愈接近 0, 相关愈不密切。

例 11-2 从男青年总体中随机抽取 11 名男青年组成样本, 分别测量每个男青年的身高和前臂长, 测量结果如表 11-3 所示, 试计算身高与前臂长之间的相关系数。

表 11-3 11 名男青年身高与前臂长的测量结果(cm)

编号	身高(X)	前臂长(Y)	XY	X ²	Y ²
1	170	47	7990	28900	2209
2	173	42	7266	29929	1764
3	160	44	7040	25600	1936
4	155	41	6355	24025	1681
5	173	47	8131	29929	2209
6	188	50	9400	35344	2500
7	178	47	8366	31684	2209
8	183	46	8418	33489	2116
9	180	49	8820	32400	2401
10	165	43	7095	27225	1849
11	166	44	7304	27556	1936
合计	1891	500	86185	326081	22810

经计算:

$$\sum X = 1891, \sum X^2 = 326\ 081$$

$$\sum Y = 500, \sum Y^2 = 22\ 810$$

$$\sum XY = 86\ 185, n = 11$$

代入计算公式得

$$l_{XX} = \sum X^2 - \frac{(\sum X)^2}{n} = 326\ 081 - \frac{1891^2}{11} = 1000.909$$

$$l_{YY} = \sum Y^2 - \frac{(\sum Y)^2}{n} = 22\ 810 - \frac{500^2}{11} = 82.727$$

$$l_{XY} = \sum XY - \frac{(\sum X)(\sum Y)}{n} = 86\ 185 - \frac{1891 \times 500}{11} = 230.455$$

按式(11-14)计算相关系数为

$$r = \frac{230.455}{\sqrt{1000.909 \times 82.727}} = 0.8009$$

由计算结果可见,本例 r 为正值,表示前臂长与身高呈正相关关系,而且相关程度较高。

三、相关系数的假设检验

由于 r 是样本统计量,对于男青年的身高与前臂长之间的相关关系,尚需进行假设检验,即要判断两个变量 X 与 Y 是否真的存在相关关系,为此需根据 r 值作总体相关系数 ρ 是否为零的假设检验。对此可以用 t 检验法,其公式为

$$t = \frac{|r-0|}{\sqrt{\frac{1-r^2}{n-2}}}, v = n-2 \quad (11-18)$$

式中,分母为相关系数 r 的标准误。求得 t 值后查附表 2 得到 P 值,然后根据 P 值的大小决定是否拒绝 H_0 。为简单起见,也可以直接根据计算出的 r 值,查 r 界值表(附表 11)得到 P 值,若 $r > r_{\alpha/2, v}$,则可以认为两变量之间存在线性相关关系。

下面对例 11-2 计算得到的 r 值进行假设检验:

(1) 建立检验假设,确定检验水准

$H_0: \rho = 0$, 即身高与前臂长之间不存在线性相关关系

$H_1: \rho \neq 0$, 即身高与前臂长之间存在线性相关关系

$\alpha = 0.05$

(2) 计算统计量

$$t = \frac{|0.8009 - 0|}{\sqrt{\frac{1 - 0.8009^2}{11 - 2}}} = 4.013, v = 11 - 2 = 9$$

(3) 确定 P 值,作出结论

查 t 界值表(附表 2),得 $t_{0.005/2, 9} = 3.690$, $t > t_{0.005/2, 9}$, $P < 0.005$,故按 $\alpha = 0.05$ 检验水准,拒绝 H_0 ,接受 H_1 ,可以认为男青年身高与前臂长之间存在正相关关系。或直接查 r 界值表(附表 11), $r_{0.005/2, 9} = 0.776$, $r > r_{0.005/2, 9}$, $P < 0.005$,结论相同。

第三节 线性回归与相关应用的注意事项

一、回归分析的应用

1. 线性回归方程可应用于以下三个方面:(1)分析两个变量之间是否存在线性依存关系;(2)利用回归方程由自变量 X 对应变量 Y 进行估计,必要时可以作区间估计;(3)利用回归方程进行统计控制,即利用回归方程进行逆运算,通过控制自变量 X 取值来限定应变变量 Y 在一定范围内波动。其中应用最多的是第一方面。

2. 作回归分析时,如果两个有内在联系的变量之间存在因果关系,那么应该以原因变量为 X ,以结果变量为 Y ;如果变量之间因果关系难以确定,则应以易于测定或变异较小者为 X 。

3. 在回归分析中,自变量 X 既可以是随机变量(称为 II 型回归模型,两个变量都服从正态分布),也可以是给定的量(称为 I 型回归模型,在 X 取值固定时 Y 服从正态分布)。如果 Y 不服从正态分布,在进行回归分析前,应先进行变量变换,从而使应变变量符合回归分析的要求。

4. 使用回归方程估计 Y 值时,尽量不要把估计的范围扩大到建立方程时自变量的取值范围之外,由于超出样本取值范围,其线性关系是否成立难以判断,外推要慎重。如例 11-1 中, X 的取值范围为 0.24~10.81,计算估计值时 X 的取值最好在 0.24~10.81 之间。

二、线性相关分析的应用

1. 相关分析理论上适用于两个变量都服从正态分布的情形,如果资料不服从正态分布,应先通过变量变换,使之近似正态化后计算其相关系数。如果不能正态化,或针对有序数据则可以计算 Spearman 或 Kendall 相关系数进行分析(参考 SPSS 软件说明)。

2. 相关系数 r 值究竟多大有实际意义,需要根据具体问题而定。一般而言, $r \leq 0.3$ 时,表示相关性较差; $0.3 < r \leq 0.6$ 时,表明中度相关; $0.6 < r \leq 0.8$ 时,表示有较高度的相关性; $r > 0.8$ 时,表明有很高的相关性。

3. 相关系数可以描述两个变量间相互关系的密切程度和方向。然而,不能因为两变量间的相关系数有统计学意义($P \leq \alpha$),就认为两者之间存在着因果关系,要证明两事物间确实存在因果关系,必须凭借专业知识加以阐明。医学中很多变量的数量变化都可能是由于相关的因子调控引起的。

三、线性回归与相关的区别

1. 相关系数的计算只适用于两个数值变量都服从正态分布的情形,而在回归分析中,应变变量是随机变量,自变量既可以是随机变量(II 型回归模型),也可以是给定的量(I 型回归模型)。

2. 线性相关表示两个变量之间的相互关系是双向的,线性回归则反映两个变量之间单向的依存关系,更适合分析因果关系的数量变化。

四、线性回归与相关的联系

1. 对同一资料进行相关与回归分析,相关系数 r 与回归方程中的 b 正负号相同, r 和 b 为正,说明 X 与 Y 的数量变化的方向是一致的, X 增大, Y 也增大;如果符号为负,说明方向相反。

2. 对同一样本可以得出 r 与 b 互相转化的公式,两种假设检验完全等价。由于 r 的假设检验可以直接查表,较为简单,所以也可以用其代替对 b 的假设检验。

3. 相关与回归可以互相解释。 r 的平方称为决定系数(coefficient of determination),可表示为

$$R^2 = r^2 = \frac{l_{XY}^2}{l_{XX}l_{YY}} = \frac{l_{XY}^2 / l_{XX}}{l_{YY}} = \frac{SS_{\text{回归}}}{SS_{\text{总}}} \quad (11-19)$$

R^2 表示回归平方和在总平方和中所占的比重, 即 R^2 越接近 1, 回归效果越好。应用决定系数, 还可以从回归的角度对相关系数做进一步的理解, 例如 $r=0.5$, 有 $R^2=0.25$, 说明应变量的变异有 25% 可以由自变量所解释。

练习题

一、单项选择题

- 两数值变量的相关关系越强, 对应的是()
 - 相关系数越大
 - 相关系数的绝对值越大
 - 回归系数越大
 - 回归系数的绝对值越大
 - 相关系数检验统计量的 t 值越大
- 回归分析的决定系数 R^2 越接近于 1, 说明()
 - 相关系数越大
 - 回归方程的显著程度越高
 - 应变量的变异越大
 - 应变量的变异越小
 - 自变量对应变量的影响越大
- 对两变量 X 和 Y 作简单线性相关分析, 要求的条件是()
 - X 和 Y 服从双变量正态分布
 - X 服从正态分布
 - Y 服从正态分布
 - X 和 Y 有回归关系
 - X 和 Y 至少有一个服从正态分布
- 两组资料作回归分析, 直线回归系数 b 较大的一组, 表示()
 - 相关系数 r 也较大
 - 假设检验的 P 值较小
 - 决定系数 R^2 较大
 - 决定系数 R^2 较小
 - Y 随 X 变化其数量有更大的变化
- 1~7 岁儿童可以用年龄(岁)估计体重(市斤), 回归方程为 $\hat{Y}=14+4X$, 若将体重换成国际单位 kg, 则此方程()
 - 常数项改变
 - 回归系数改变
 - 常数项和回归系数都改变
 - 常数项和回归系数都不改变
 - 决定系数改变
- 对同一资料进行线性回归与相关分析时, 下列正确的情形是()
 - $\rho=0$ 时, $r=0$
 - $\rho>0$ 时, $b>0$
 - $r>0$ 时, $b<0$
 - $r<0$ 时, $b<0$
 - $\rho<0$ 时, $r>0$
- 下列双变量中, 适用于进行线性相关分析的是()
 - 年龄与体重
 - 民族与血型
 - 体重与体表面积
 - 母亲文化水平与子女的智商
 - 工龄与患病率
- 若直线回归系数的假设检验结果 $P<0.05$, 则可认为两变量间()
 - 有密切的关系
 - 有一定的因果关系
 - 相关关系密切
 - 存在数量依存关系

E. 有较强的回归关系

9. 作线性相关分析时, 当 $n=12$, $r=0.767$, 查 r 界值表 $r_{0.001/2, 10}=0.823$, $r_{0.002/2, 10}=0.795$, $r_{0.005/2, 10}=0.750$, 则 P 值范围为()

A. $0.001 < P < 0.002$

B. $P < 0.001$

C. $P < 0.002$

D. $P > 0.005$

E. $0.002 < P < 0.005$

10. 通过线性回归分析($n=48$), 得决定系数 $R^2=0.49$, 则下列说法中错误的是()

A. 两个变量具有回归关系

B. 一定有相关系数 $r=0.70$

C. 假设检验的自由度 $\nu=46$

D. 回归平方和大于剩余平方和

E. Y 的总变异有 49% 可以由 X 的变化解释

二、计算与分析题

1. 12 名 20 岁女青年的身高与体重资料如下表, 试问女青年身高与体重之间有无相关关系?

12 名 20 岁女青年的身高与体重资料

编号	1	2	3	4	5	6	7	8	9	10	11	12
身高(cm)	164	156	172	172	177	180	166	162	172	167	158	152
体重(kg)	55	56	60	68	66	65	56	55	60	55	46	51

2. 某医师研究某种代乳粉价值时, 用大白鼠做实验, 得到大白鼠进食量和体重增加量的资料如下表, 试问大白鼠的进食量与体重的增加量之间有无关系? 能否用大白鼠的进食量来估计其体重的增加量?

大白鼠进食量和体重增加量的资料

动物编号	1	2	3	4	5	6	7	8	9	10	11
进食量(g)	820	780	720	867	690	787	934	679	639	820	780
增重量(g)	165	158	130	180	134	167	186	145	120	150	135

3. 测得 347 名 13 岁健康男童的身高和体重, 身高均数为 146.4cm, 标准差为 8.61cm, 体重均数为 37.04kg, 标准差为 6.67kg。身高和体重的相关系数 $r=0.74$, 试计算由身高推体重的回归系数及由体重推身高的回归系数。

4. 某防治所作病因研究, 对一些地区水质的平均碘含量($\mu\text{g/L}$)与地方性甲状腺肿患病率进行了调查, 结果如下表, 试问甲状腺肿患病率与水质中碘的含量有无相关关系?

局部地区水质的平均碘含量($\mu\text{g/L}$)与地方性甲状腺肿患病率

地区编号	1	2	3	4	5	6	7	8	9	10	11	12	13	14
患病率(%)	40.5	37.7	39.0	20.0	22.5	37.4	31.5	15.6	21.0	6.3	7.1	9.0	4.0	5.4
碘含量($\mu\text{g/L}$)	1.0	2.0	2.5	3.5	3.5	4.0	4.4	4.5	4.6	7.7	8.0	8.0	8.3	8.5

(钱 聪)



第十二章 多元线性回归

在第十一章中已介绍了用直线回归描述一个应变量与一个自变量之间的线性依存关系,但由于事物之间的联系往往是多方面的,特别在医学研究中,某个应变量往往受多个因素(自变量)的影响,如儿童身高不仅受年龄影响,而且受性别影响;肺活量的大小除与年龄、性别有关外,还受身高、体重以及胸围的呼吸差等因素的影响。如果这些因素与应变量之间的关系是线性的,则可以应用多元线性回归(multiple linear regression)来研究。多元线性回归是研究一个应变量与多个自变量之间线性依存关系的统计方法,可以对自变量的作用进行评价,也可以用作预测和判别。

第一节 多元线性回归

一、多元线性回归方程

设与应变量 Y 有关的自变量有 m 个,记为 X_1, X_2, \dots, X_m 。假定观察到 n 例样本数据,如表 12-1 所示。

表 12-1 多元回归分析数据格式

例号 i	X_1	X_2	...	X_m	Y
1	X_{11}	X_{12}	...	X_{1m}	Y_1
2	X_{21}	X_{22}	...	X_{2m}	Y_2
3	X_{31}	X_{32}	...	X_{3m}	Y_3
\vdots	\vdots	\vdots	...	\vdots	\vdots
n	X_{n1}	X_{n2}	...	X_{nm}	Y_n

多元线性回归方程可写为

$$\hat{Y} = b_0 + b_1 X_1 + b_2 X_2 + \dots + b_m X_m \quad (12-1)$$

式中, \hat{Y} 为在自变量 X_1, X_2, \dots, X_m 时, 应变量 Y 的总体平均值的估计值; $b_0, b_1, b_2, \dots, b_m$ 为待定系数。其中 b_0 相当于一元直线回归方程中的常数项 a , 表示当所有自变量为 0 时应变量 Y 的总体平均值的估计值; $b_j (j=1, 2, \dots, m)$ 为自变量 X_j 的偏回归系数(partial regression coefficient), 简称回归系数, 表示除 X_j 以外的其他自变量固定不变的情况下, X_j 每改变一个测量单位所引起的应变量 Y 的平均改变量。

与直线回归相同, 多元线性回归模型的参数估计可以用最小二乘法得到, 即根据观察到的 n 例数据, 代入公式(12-1), 得到残差平方和

$$Q = \sum_{i=1}^n (Y_i - \hat{Y}_i)^2 = \sum_{i=1}^n [Y_i - (b_0 + b_1 X_{i1} + b_2 X_{i2} + \dots + b_m X_{im})]^2 \quad (12-2)$$

然后计算出使 Q 最小的 b_1, b_2, \dots, b_m 。常数项 b_0 可用下式求出

$$b_0 = \bar{Y} - (b_1 \bar{X}_1 + b_2 \bar{X}_2 + \dots + b_m \bar{X}_m) \quad (12-3)$$

由于多元线性回归方程的最小二乘法计算量较大, 需要借助统计软件完成。本章将主要通过实例介绍多元线性回归分析的基本步骤, 并利用 SPSS 统计软件完成计算。

例 12-1 20 名糖尿病人的血糖、胰岛素及生长素的测定值列于下表中, 试建立血糖对于胰岛素及生长素的二元线性回归方程。

表 12-2 糖尿病人的血糖、胰岛素及生长素的测定值

病例号 i	血糖 (mmol/L) Y	胰岛素 (mU/L) X_1	生长素 ($\mu\text{g/L}$) X_2
1	12.21	15.2	9.51
2	14.54	16.7	11.43
3	12.27	11.9	7.53
4	12.04	14.0	12.17
5	7.88	19.8	2.33
6	11.10	16.2	13.52
7	10.43	17.0	10.07
8	13.32	10.3	18.89
9	19.59	5.9	13.14
10	9.05	18.7	9.63
11	6.44	25.1	5.10
12	9.49	16.4	4.53
13	10.16	22.0	2.16
14	8.38	23.1	4.26
15	8.49	23.2	3.42
16	7.71	25.0	7.34
17	11.38	16.8	12.75
18	10.82	11.2	10.88
19	12.49	13.7	11.06
20	9.21	24.4	9.16

根据上述研究问题, 采用多元线性回归方法, 其回归方程为

$$\hat{Y} = b_0 + b_1 X_1 + b_2 X_2$$

使用表 12-2 数据拟合该方程, 由 SPSS 统计软件可得到表 12-3 的主要结果。

表 12-3 回归系数估计结果

变量	回归系数	标准误	t	P
常数项	17.011	2.472	6.880	<0.001
X_1	-0.406	0.094	-4.313	<0.001
X_2	0.098	0.116	0.843	0.411

由此得到回归方程为

$$\hat{Y} = 17.011 - 0.406 X_1 + 0.098 X_2$$

二、多元线性回归方程的假设检验

由样本计算出的回归系数 b_j 是总体回归系数 β_j 的估计值 ($j=1, 2, \dots, m$)。如果总体回归系数等于 0, 则由于存在抽样误差, 仍可使样本估计的回归系数不等于 0。与直线回归的情形相同, 需对所建立的多元回归方程进行假设检验, 以判断它是否具有统计学意义。多元线性回归方程的假设检验分为模型检验和单个回归系数检验。

(一) 模型检验

可用方差分析方法检验应变量 Y 与 m 个自变量之间是否存在线性回归关系。在有多个自变量的情况下, 应变量总离均差平方和 $SS_{\text{总}}$ 可分解成回归平方和 $SS_{\text{回归}}$ 和残差平方和 $SS_{\text{残差}}$ 两个部分, 即

$$SS_{\text{总}} = SS_{\text{回归}} + SS_{\text{残差}} \quad (12-4)$$

其中, 总离均差平方和为

$$SS_{\text{总}} = \sum (Y - \bar{Y})^2 = \sum Y^2 - \frac{(\sum Y)^2}{n} \quad (12-5)$$

回归平方和为

$$SS_{\text{回归}} = \sum (\hat{Y}_j - \bar{Y})^2 = \sum b_j l_{jY} \quad (12-6)$$

其中 b_j 为回归系数, l_{jY} 为第 j 个自变量与应变量 Y 的离均差积和。残差平方和为

$$SS_{\text{残差}} = \sum (Y - \hat{Y})^2 = SS_{\text{总}} - SS_{\text{回归}} \quad (12-7)$$

各离均差平方和所对应的自由度分别为 $v_{\text{总}} = n - 1$, $v_{\text{回归}} = m$, $v_{\text{残差}} = n - m - 1$ 。 F 统计量计算公式为

$$F = \frac{SS_{\text{回归}} / m}{SS_{\text{残差}} / (n - m - 1)} = \frac{MS_{\text{回归}}}{MS_{\text{残差}}} \quad (12-8)$$

在无效假设 $H_0: \beta_1 = \beta_2 = \dots = \beta_m = 0$ 成立条件下, 统计量 F 服从 $F_{\alpha(m, n-m-1)}$ 分布, 如果 $F \geq F_{\alpha(m, n-m-1)}$, 则在 α 水平上拒绝 H_0 , 认为 m 个自变量 X_1, X_2, \dots, X_m 与应变量 Y 之间存在线性回归关系, 即回归方程有统计学意义; 否则, 不拒绝 H_0 , 即回归方程无统计学意义。

对于例 12-1, 模型检验的假设为

$$H_0: \beta_1 = \beta_2 = 0$$

$$H_1: \beta_1 \neq 0 \text{ 和 } \beta_2 \neq 0 \text{ 至少有一个成立}$$

$$\alpha = 0.05$$

由 SPSS 统计软件可得到表 12-4 的模型检验结果。结果显示, $F = 21.54$, $P < 0.0001$, 拒绝 H_0 , 即所求回归方程具有统计学意义。

表 12-4 回归方程的方差分析表

变异来源	SS	ν	MS	F	P
回归	116.626	2	58.313	21.539	<0.0001
残差	46.025	17	2.707		
总变异	162.651	19			

(二) 偏回归系数检验

回归方程具有统计学意义, 只能说明整体的情况, 并不能保证每个自变量都具有统计学意义。因此, 需要对每个自变量的回归系数进行假设检验, 具体有 F 检验和 t 检验两种方法, 两种检验方法的结果相同。

1. F 检验

(1) 建立检验假设, 确定检验水准

$$H_0: \beta_j = 0$$

$$H_1: \beta_j \neq 0$$

$$\alpha = 0.05$$

(2) 计算 F 统计量

首先, 建立含有 m 个自变量的回归方程, 并计算回归平方和 $SS_{\text{回归}}$ 和残差平方和 $SS_{\text{残差}}$ 。然

后,将拟检验的自变量 $X_j(j=1, 2, \dots, m)$ 从中剔除,重新建立含 $m-1$ 个自变量的回归方程,并计算不包含 X_j 的回归平方和 $SS_{\text{回归}(-j)}$, 则 $U_j = SS_{\text{回归}} - SS_{\text{回归}(-j)}$ 为 X_j 单独引起的回归平方和的改变量,称其为偏回归平方和(自由度为 1)。最后计算 F 统计量,即

$$F_j = \frac{U_j/1}{SS_{\text{残差}}/(n-m-1)} \quad (12-9)$$

(3) 在 H_0 成立时, F_j 服从 $F_{\alpha(1, n-m-1)}$ 分布。查方差分析 F 界值表, 如果 $F_j \geq F_{\alpha(1, n-m-1)}$, 即 $P \leq \alpha$, 则在 α 水平上拒绝 H_0 , 认为自变量 X_j 具有统计学意义。

对于例 12-1, 胰岛素 X_1 和生长素 X_2 全部纳入回归方程时, 有

$$SS_{\text{回归}} = 116.6265, SS_{\text{残差}} = 46.0249$$

把 X_1 从回归方程中取出, 建立 X_2 与 Y 的回归方程为

$$\hat{Y} = 7.012 + 0.429X_2$$

此时

$$SS_{\text{回归}(-1)} = 66.2746$$

$$U_1 = SS_{\text{回归}} - SS_{\text{回归}(-1)} = 116.6265 - 66.2746 = 50.3519$$

若把 X_2 从回归方程中取出, 建立 X_1 与 Y 的回归方程为

$$\hat{Y} = 18.7961 - 0.4585X_1$$

此时

$$SS_{\text{回归}(-2)} = 114.7032$$

$$U_2 = SS_{\text{回归}} - SS_{\text{回归}(-2)} = 116.6265 - 114.7032 = 1.9233$$

由公式(12-9)得

$$F_1 = \frac{U_1/1}{SS_{\text{残差}}/(n-m-1)} = \frac{50.3519/1}{46.0249/(20-2-1)} = 18.5982$$

$$F_2 = \frac{U_2/1}{SS_{\text{残差}}/(n-m-1)} = \frac{1.9233/1}{46.0249/(20-2-1)} = 0.7104$$

查 F 界值表(附表 4), $F_{0.05(1, 17)} = 3.59$, $F_1 > 3.59$, $F_2 < 3.59$ 。因此, 在 $\alpha = 0.05$ 水平上, 可以认为胰岛素对血糖的作用有统计学意义($P < 0.05$), 而生长素则对血糖变化无影响($P > 0.05$)。

2. t 检验 无效假设为 $H_0: \beta_j = 0$, 备择假设为 $H_1: \beta_j \neq 0$ 。 t 检验方法比 F 检验更为简便, 检验统计量为

$$t_{b_j} = \frac{b_j}{S_{b_j}} \quad (12-10)$$

其中 S_{b_j} 为偏回归系数 b_j 的标准误。

由表 12-3 中的回归系数的估计结果, 按公式(12-10), X_1 的检验结果为 $t_{b_1} = -4.31$, $P = 0.0005$; X_2 的检验结果为 $t_{b_2} = 0.84$, $P = 0.411$ 。结论与方差分析检验结果相同, 即胰岛素对血糖水平的作用具有统计学意义, 生长素则未显示出其对血糖的作用。

三、实 例

例 12-2 为了研究影响糖尿病患者糖化血红蛋白(HbA1c)的主要危险因素, 某研究者收集了糖尿病患者的糖化血红蛋白(Y , %)、年龄(X_1 , 岁)、体重指数(X_2 , kg/m^2)、总胆固醇(X_3 , mmol/L)、收缩压(X_4 , mmHg)和舒张压(X_5 , mmHg)等数据资料。现从中随机抽取了 20 例, 数据见表 12-5, 试作多元线性回归分析。

表 12-5 20 例糖尿病患者的数据资料

编号	X_1	X_2	X_3	X_4	X_5	Y	编号	X_1	X_2	X_3	X_4	X_5	Y
1	49	32.19	6.0	148	86	7.6	11	53	23.43	7.1	161	86	7.5
2	67	24.77	2.7	151	98	7.4	12	46	30.56	2.9	146	79	7.3
3	64	25.24	7.0	151	80	7.4	13	59	25.19	6.0	158	80	7.3
4	66	24.26	4.8	157	87	7.2	14	76	27.26	5.4	124	85	6.9
5	68	30.28	3.5	136	83	7.3	15	63	23.93	6.7	133	89	7.5
6	48	26.18	7.6	137	87	7.6	16	74	24.94	7.9	166	82	7.9
7	66	26.36	5.9	157	91	7.5	17	52	22.82	5.3	149	71	7.3
8	47	32.07	5.7	157	89	7.7	18	64	24.34	2.5	126	93	6.8
9	64	28.44	6.1	154	82	7.3	19	54	25.44	2.6	151	83	6.9
10	75	30.65	6.9	137	86	7.7	20	78	28.98	7.2	147	74	7.5

对于表 12-5 的数据用 SPSS 统计软件计算, 主要结果见表 12-6 和表 12-7。

表 12-6 回归方程的方差分析表

变异来源	SS	ν	MS	F	P
回归	1.079 06	5	0.215 81	7.32	0.0015
残差	0.412 94	14	0.029 50		
总变异	1.492 00	19			

表 12-7 偏回归系数估计结果

自变量	偏回归系数	标准误	t	P
常数项	3.875 98	1.011 15	3.83	0.0018
X_1	-0.001 53	0.004 09	-0.37	0.7146
X_2	0.031 92	0.013 48	2.37	0.0328
X_3	0.108 34	0.024 51	4.42	0.0006
X_4	0.008 50	0.003 68	2.31	0.0366
X_5	0.010 58	0.006 63	1.60	0.1328

由表 12-6 可见, $F=7.32$, $P<0.01$, 此回归方程有统计学意义。由表 12-7 可见, 自变量 X_2 、 X_3 、 X_4 按 $\alpha=0.05$ 水平有统计学意义, 但 X_1 和 X_5 无统计学意义。

需要注意, 因为自变量之间可能存在一定的相关性, 当从原方程剔除一个变量时, 其他一些变量的回归系数可能受到影响。另外, 有时需要比较各自变量的相对贡献大小, 由于回归系数受变量度量衡的影响, 不能直接比较。为此, 可以对回归系数进行标准化处理, 消除度量衡的影响, 计算标准化回归系数 (standardized regression coefficient), 反映各自变量对应变量的影响程度。计算公式为

$$b'_j = b_j \left(\frac{S_j}{S_Y} \right) \quad (12-11)$$

式中, S_j 和 S_Y 分别为自变量 X_j 及应变量 Y 的标准差, b_j 为 X_j 的回归系数。

四、复相关系数和决定系数

1. 复相关系数 表示回归方程中的全部自变量 X 与应变量 Y 的相关密切程度。和简单相关系数不同的是, 复相关系数 (multiple correlation coefficient) 取值总为正值, 简记为 R ($0 \leq R \leq 1$)。计算公式为

$$R = \sqrt{\frac{SS_{\text{回归}}}{SS_{\text{总}}}} = \sqrt{1 - \frac{SS_{\text{残差}}}{SS_{\text{总}}}} \quad (12-12)$$

2. 决定系数 复相关系数的平方称为决定系数(coefficient of determination), 记为 R^2 , 反映线性回归方程能在多大程度上解释应变量 Y 的变异性。其定义为

$$R^2 = \frac{SS_{\text{回归}}}{SS_{\text{总}}} = 1 - \frac{SS_{\text{残差}}}{SS_{\text{总}}} \quad (12-13)$$

决定系数 R^2 反映了回归方程与数据的拟合程度, 其值越接近 1, 说明回归方程的拟合程度越好; 反之, 其值越接近 0, 说明回归方程的拟合程度越差。例 12-2 中 $R^2=0.7232$, 说明由年龄、体重指数、总胆固醇、收缩压和舒张压可解释该样本糖化血红蛋白变异的 72.32%。

第二节 多元逐步回归

多元线性回归分析中, 当自变量较多时, 可能并不是所有自变量都对应变量有显著影响, 同时有些自变量之间可能相关, 存在信息重叠和共线的问题。通常情况下, 更希望将有统计学意义的自变量引入回归方程, 以使方程更为简单, 容易解释。更重要的是, 把不显著的自变量排除后可以使回归方程的残差均方减小, 有利于揭示其他自变量的作用。为此可以采用三种自变量筛选方法, 即向前选择法(forward selection)、向后选择法(backward elimination)和逐步选择法(stepwise selection)。

1. 向前选择法 方程由一个自变量开始, 每次引入一个偏回归平方和最大、且具有统计学意义的自变量, 由少到多, 直到不具有统计意义的因素可以引入为止。这种方法的主要问题是, 先进入方程的变量有可能受到后进入方程变量的影响变得不显著。

2. 向后选择法 先建立一个包含所有自变量的回归方程, 然后每次剔除一个偏回归平方和最小、且无统计学意义的自变量, 直到不能剔除时为止。这种方法在样本量比较大(如 $n > 100$), 或者自变量不是很多的情况下(如 $m < 10$)效果较好。

3. 逐步选择法 在前述两种方法的基础上进行双向筛选的一种方法。即向前引入每一个新自变量之后都要重新对先前已选入的自变量进行检查, 以评价其有无继续保留在方程中的价值。为此需要“引入”和“剔除”交替进行, 直到无统计学意义的新变量可以引入也无自变量可以剔除时为止。

上述筛选自变量三种方法, 可以计算偏回归平方和的 F 统计量, 即使用公式(12-9)进行检验和筛选。有时也采用校正决定系数(adjusted R-square) R_c^2 作为判断标准, 选择校正决定系数大者为“最优”方程。校正决定系数的计算公式为

$$R_c^2 = 1 - (1 - R^2) \frac{n-1}{n-p-1} = 1 - \frac{MS_{\text{残差}}}{MS_{\text{总}}} \quad (12-14)$$

式中 $p(p=1, 2, \dots, m)$ 为方程中包含的自变量个数。

在进行逐步回归前, 首先应确定检验每个自变量是否有统计学意义的 F 检验水平, 以此作为引入或剔除变量的标准。 F 检验水平可以根据具体情况而定。一般而言, 若使最终的回归方程中包含较多的自变量, F 水平可以适当放宽些, 但也不能取得太低, 否则会失去筛选自变量的意义。一般可将 F 值定在 α 为 0.05、0.10 或 0.20 水平上, 同时要求 $\alpha_{\text{选入}} \leq \alpha_{\text{剔除}}$ 。

逐步回归法最后得到的“最优”回归方程, 与所给的临界值的选择有关, 无法保证所挑选的回归方程在任何准则下都是最优的。回归方程是否合理需要结合专业知识进行判断。

对例 12-2 进行多元逐步回归, 采用逐步法筛选自变量, 选入水准为 0.10, 剔除水准为 0.15, SPSS 软件计算过程及相应结果见表 12-8 至表 12-11。

表 12-8 多元逐步回归结果

模型(步骤)	变量	偏回归系数	标准误	标准偏回归系数	t	P
第1步	常数	6.774	0.156	—	43.545	0.000
	X_3	0.110	0.027	0.693	4.079	0.001
第2步	常数	6.040	0.432	—	13.967	0.000
	X_3	0.111	0.025	0.697	4.350	0.000
	X_2	0.027	0.015	0.289	1.805	0.089
第3步	常数	4.799	0.667	—	7.193	0.000
	X_3	0.097	0.024	0.611	4.125	0.001
	X_2	0.031	0.014	0.330	2.287	0.036
	X_4	0.008	0.004	0.341	2.285	0.036

表 12-9 多元逐步回归方差分析表

模型(步骤)	变异来源	SS	v	MS	F	P
第1步	回归	0.717	1	0.717	16.640	0.001
	误差	0.775	18	0.043		
	总变异	1.492	19			
第2步	回归	0.841	2	0.421	10.993	0.001
	误差	0.651	17	0.038		
	总变异	1.492	19			
第3步	回归	1.001	3	0.334	10.889	<0.001
	误差	0.491	16	0.031		
	总变异	1.492	19			

表 12-10 多元逐步回归的复相关系数和决定系数表

模型(步骤)	复相关系数	决定系数
第1步	0.693	0.480
第2步	0.751	0.564
第3步	0.819	0.671

表 12-11 未进入方程的自变量

模型(步骤)	变量	标准化系数	t	P
第1步	X_1	-0.154	-0.889	0.386
	X_2	0.289	1.805	0.089
	X_4	0.298	1.803	0.089
	X_5	0.174	0.987	0.337
	第2步	X_1	-0.128	-0.775
X_4		0.341	2.285	0.036
X_5		0.191	1.161	0.263
第3步	X_1	-0.043	-0.274	0.788
	X_5	0.232	1.626	0.125

最后得到的回归方程为

$$\hat{Y} = 4.799 + 0.031X_2 + 0.097X_3 + 0.008X_4$$

根据上述结果,可以认为体重指数 X_2 、总胆固醇 X_3 和收缩压 X_4 是影响糖化血红蛋白的主要因素。

第三节 多元线性回归的注意事项

1. **应用条件** 多元线性回归原则上要求应变变量是连续型变量,其预测值与实际观测值的差值(即残差)服从正态分布,并且在不同的 X 取值上方差相同。另外,要求应变变量的观测值相互独立,对于传染性疾病等数据应谨慎处理。

2. **样本含量** 多元线性回归既可用于大样本资料,又可用于小样本资料,但是如果方程中自变量的个数 m 较多,样本含量 n 相对于 m 并不很大时,建立的回归方程会很不稳定,常常有较大的 R^2 ,容易造成一种假象。因此,实际计算时应注意 n 与 m 的比例,经验上 n 至少应是方程中自变量个数 m 的 5~10 倍。

3. **定性变量的数量化** 在多元线性回归中,自变量通常是连续型变量,而对于无序分类变量必须数量化;有序变量则可根据实际情况选择直接引入回归方程或数量化后引入回归方程。

(1) 二分类定性变量处理方法:如对于性别变量 X 的赋值方法为

$$X = \begin{cases} 1, & \text{男性} \\ 0, & \text{女性} \end{cases} \quad \text{或} \quad X = \begin{cases} 1, & \text{女性} \\ 0, & \text{男性} \end{cases}$$

(2) 多分类定性变量处理方法:如果有 k 类,则可用 $k-1$ 个取值为 0 或 1 的哑变量(dummy variable)来赋值表达,如血型分为 A、B、AB 和 O 型,对于血型变量 X 的赋值(以 O 型为对照)方法为

$$X_1 = \begin{cases} 1, & \text{A型} \\ 0, & \text{其他血型} \end{cases}, X_2 = \begin{cases} 1, & \text{B型} \\ 0, & \text{其他血型} \end{cases}, X_3 = \begin{cases} 1, & \text{AB型} \\ 0, & \text{其他血型} \end{cases}$$

多分类定性变量与哑变量取值的对应关系可用表 12-12 表述。

表 12-12 血型变量的哑变量赋值方法

血型 X	分组编码 G	哑变量		
		X_1	X_2	X_3
O 型	1	0	0	0
A 型	2	1	0	0
B 型	3	0	1	0
AB 型	4	0	0	1

(3) 有序变量处理方法:如病情分为“轻、中、重”,可以按“1、2、3”的赋值方法直接引入回归模型。如果样本量较大,也可按多分类定性变量进行数量化后引入回归模型。采用何种方法进行赋值应视具体情况而定,一般可通过评价上述两种赋值方法的差异,选择最佳的方式引入回归方程。

4. **多重共线性** 当自变量间存在较强的线性关系时,会使多元回归方程中的参数估计不准确,影响多元线性回归分析的结果。如研究高血压与年龄、吸烟年限、饮白酒年限等因素的关系,这些自变量通常是相关的,如果这种相关程度非常高,使用最小二乘法建立回归方程就有可能不合理。

5. **关于变量筛选** 在自变量较多的情况下,使用逐步回归分析常能使问题得到简化,较快地得到结果。但必须指出:不要盲目信任逐步回归得到的结果,所谓的“最优”回归方程不一定是最好的,没有选入方程的变量也未必没有意义。选择不同的检验水平,其回归方程的结果可

能不一致;相同的变量在不同变量组合中得到的检验 P 值也可能不同。建立回归方程时,最好结合所要研究的问题和专业知识确定应选择的变量。

练习题

一、单项选择题

- 在疾病发生危险因素的研究中,采用多变量回归分析的主要目的是()
 - 节省样本
 - 提高分析效率
 - 克服共线影响
 - 减少异常值的影响
 - 减少混杂的影响
- 多元线性回归分析中,反映回归平方和在应变量 Y 的总离均差平方和中所占比重的统计量是()
 - 简单相关系数
 - 复相关系数
 - 偏回归系数
 - 回归均方
 - 决定系数 R^2
- 对同一资料作多变量线性回归分析,若对两个具有不同个数自变量的回归方程进行比较,应选用的指标是()
 - 决定系数
 - 相关系数
 - 偏回归平方和
 - 校正决定系数
 - 复相关系数
- 多元线性回归分析中,反映自变量对应变量的作用大小的是()
 - 决定系数
 - 标准化偏回归系数
 - 偏回归平方和
 - 校正决定系数
 - 复相关系数
- 多元线性回归分析,对回归方程作方差分析,检验统计量 F 值反映了()
 - 所有自变量与应变量间是否存在线性回归关系
 - 部分自变量与应变量间是否存在线性回归关系
 - 自变量与应变量间存在的线性回归关系是否较强
 - 自变量之间是否存在共线
 - 回归方程的拟合优度
- 在多元回归分析中,若对某个自变量的值都乘以一个不为零的常数,则()
 - 偏回归系数不变、标准回归系数改变
 - 偏回归系数改变、标准回归系数不变
 - 偏回归系数与标准回归系数均不改变
 - 偏回归系数与标准回归系数均改变
 - 偏回归系数和决定系数均改变
- 以下不是多元线性回归模型应用必须满足的条件是()
 - 应变量与自变量存在线性关系
 - 应变量值相互独立
 - 残差服从正态分布
 - 自变量服从正态分布
 - 对任意一组自变量应变量具有相同方差
- 多元线性回归中的多重共线性指的是()
 - 应变量与自变量存在线性关系
 - 应变量与多个自变量相关
 - 自变量之间存在线性相关
 - 应变量之间存在线性相关

E. 应变量与部分自变量存在线性关系

9. 下述不是多元线性回归应用条件的是()

- A. 应变量与自变量存在线性关系
B. 残差服从正态分布
C. 观测对象相互独立
D. Y 在不同的 X 取值上方差相同
E. 各自变量方差相同

10. 现测量了 102 名患有动脉硬化患者的血脂, 应变量为低密度脂蛋白与高密度脂蛋白含量比值(Y), 建立的回归方程为()

$$\hat{Y} = 8.837 + 0.014TC - 0.001TG - 0.033ApoA + 0.011ApoB$$

假如其他指标不变, ApoB 由 100mg/dl 增加到 120mg/dl, Y 的平均改变量是()

- A. 0.110mg/dl
B. 1.248mg/dl
C. 20.000mg/dl
D. 3.644mg/dl
E. 0.220mg/dl

二、计算与分析

1. 某种特殊营养缺乏状态下, 儿童年龄(岁)、身高(cm)与体重(kg)测定结果见下表,

①试建立年龄、身高与体重的二元回归方程; ②对回归方程作检验; ③计算复相关系数与决定系数; ④计算年龄和身高的标准偏回归系数。

营养缺乏儿童年龄、身高、体重测定值

编号(i)	1	2	3	4	5	6	7	8	9	10	11	12
身高(cm), X_1	145	150	124	157	129	127	140	122	107	107	155	148
年龄(岁), X_2	8	10	6	11	8	7	10	9	10	6	12	9
体重(kg), Y	29	32	24	30	25	26	35	26	25	23	35	31

2. 有学者认为, 血清中低密度脂蛋白增高和高密度脂蛋白降低, 是引起动脉硬化的一个重要原因。现测量了 30 名动脉硬化疑似患者的载脂蛋白 AI、载脂蛋白 B、载脂蛋白 E、载脂蛋白 C、低密度脂蛋白中的胆固醇、高密度脂蛋白中的胆固醇含量, 资料见下表。

- (1) 分别作 Y_1 和 Y_2 对 X_1, X_2, X_3, X_4 的多元线性回归分析;
(2) 作 Y_2/Y_1 对 X_1, X_2, X_3, X_4 的逐步回归分析, 并与前面的分析结果进行比较。

30 名动脉硬化疑似患者的观测资料

序号	载脂蛋白 AI (mg/dl)	载脂蛋白 B (mg/dl)	载脂蛋白 E (mg/dl)	载脂蛋白 C (mg/dl)	低密度脂蛋白 (mg/dl)	高密度脂蛋白 (mg/dl)
i	X_1	X_2	X_3	X_4	Y_1	Y_2
1	173	106	7.0	14.7	137	62
2	139	132	6.4	17.8	162	43
3	198	112	6.9	16.7	134	81
4	118	138	7.1	15.7	188	39
5	139	94	8.6	13.6	138	51
6	175	160	12.1	20.3	215	65
7	131	154	11.2	21.5	171	40
8	158	141	9.7	29.6	148	42
9	158	137	7.4	18.2	197	56
10	132	151	7.5	17.2	113	37

续表

序号 i	载脂蛋白 A1 (mg/dl) X_1	载脂蛋白 B (mg/dl) X_2	载脂蛋白 E (mg/dl) X_3	载脂蛋白 C (mg/dl) X_4	低密度脂蛋白 (mg/dl) Y_1	高密度脂蛋白 (mg/dl) Y_2
11	162	110	6.0	15.9	145	70
12	144	113	10.1	42.8	81	41
13	162	137	7.2	20.7	185	56
14	169	129	8.5	16.7	157	58
15	129	138	6.3	10.1	197	47
16	166	148	11.5	33.4	156	49
17	185	118	6.0	17.5	156	69
18	155	121	6.1	20.4	154	57
19	175	111	4.1	27.2	144	74
20	136	110	9.4	26	90	39
21	153	133	8.5	16.9	215	65
22	110	149	9.5	24.7	184	40
23	160	86	5.3	10.8	118	57
24	112	123	8.0	16.6	127	34
25	147	110	8.5	18.4	137	54
26	204	122	6.1	21.0	126	72
27	131	102	6.6	13.4	130	51
28	170	127	8.4	24.7	135	62
29	173	123	8.7	19.0	188	85
30	132	131	13.8	29.2	122	38

(尹 平)



第十三章 logistic 回归分析

第十二章介绍的线性回归可以用于分析应变量为连续型变量时,其与自变量之间的线性依存关系。但是在医学研究中应变量为二分类结果,如发病与不发病、死亡与生存、有效与无效、复发与未复发等,显然这类变量不满足正态分布的条件。当需要研究二分类应变量的影响因素时,不适合用线性回归分析,这时可以采用 logistic 回归分析(logistic regression analysis)。logistic 回归属于概率型非线性回归,它是研究二分类(可以扩展到多分类)反应变量与多个影响因素之间关系的一种多变量分析方法。logistic 回归模型参数具有明确的实际意义,现已成为处理分类型数据的常用方法。

第一节 logistic 回归

一、logistic 回归模型

(一) logistic 回归模型

设有一个二值应变变量 Y , 取值为

$$Y = \begin{cases} 1, & \text{出现阳性结果(发病、有效、死亡、复发等)} \\ 0, & \text{出现阴性结果(未发病、无效、生存、未复发等)} \end{cases}$$

另有 m 个影响 Y 取值的自变量 X_1, X_2, \dots, X_m , 观察到 n 例样本数据如表 13-1 所示。

表 13-1 logistic 回归分析数据格式

例号 i	X_1	X_2	...	X_m	Y
1	X_{11}	X_{12}	...	X_{1m}	1
2	X_{21}	X_{22}	...	X_{2m}	0
3	X_{31}	X_{32}	...	X_{3m}	1
\vdots	\vdots	\vdots	...	\vdots	\vdots
n	X_{n1}	X_{n2}	...	X_{nm}	0

记在这 m 个自变量作用下阳性结果发生的概率为 $P = P(Y=1|X_1, X_2, X_3, \dots, X_m)$, 则 logistic 回归模型可表示为

$$P = \frac{1}{1 + \exp[-(\beta_0 + \beta_1 X_1 + \beta_2 X_2 + \dots + \beta_m X_m)]} \tag{13-1}$$

其中 β_0 称为常数项或截距, $\beta_1, \beta_2, \dots, \beta_m$ 称为模型的回归系数。若用 Z 表示 m 个自变量的线性组合 $Z = \beta_0 + \beta_1 X_1 + \beta_2 X_2 + \dots + \beta_m X_m$, 则 Z 与 P 之间关系的 logistic 曲线如图 13-1 所示。从图中可以看出: 当 Z 趋于 $+\infty$ 时, P 值渐近于 1; 当 Z 趋于 $-\infty$ 时, P 值渐近于 0; P 值的变化在 0~1 范围之内, 并且随 Z 值的增加或减少呈 S 形变化。

对式 (13-1) 作变换, logistic 回归模型可以表示成如下线性形式

$$\ln\left(\frac{P}{1-P}\right) = \beta_0 + \beta_1 X_1 + \beta_2 X_2 + \dots + \beta_m X_m \tag{13-2}$$

式(13-2)等号左端为阳性结果与阴性结果发生概率之比的自然对数,称为 P 的 logit 变换,记为 $\text{logit}(P)$ 。可以看出,虽然概率 P 的取值范围在 $0 \sim 1$ 之间, $\text{logit}(P)$ 却没有数值界限。

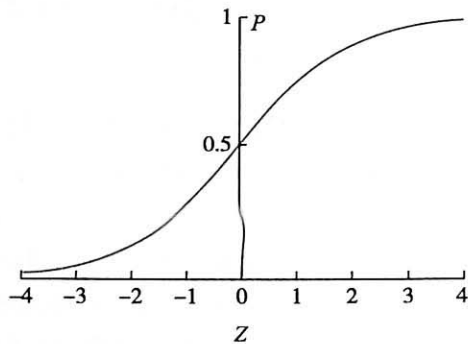


图 13-1 logistic 曲线示意图

(二) 模型参数的意义

为便于理解,通常以流行病学研究为例来说明模型参数的意义。如果把 logistic 模型中的 P 看作是在某一暴露状态下发病的概率,则 β_0 表示所有暴露剂量为 0 时发病与不发病概率之比的自然对数,反映了疾病的基准状态。回归系数 $\beta_j (j=1, 2, \dots, m)$ 表示当因素 X_j 改变一个单位时 $\text{logit}(P)$ 的改变量,它与衡量危险因素作用大小的比数比(odds ratio, OR)有一个对应的关系。

设自变量 X_j 的两个不同取值为 $X_j=c_1$ 和 $X_j=c_0$, 假定其他因素的水平相同,由流行病学的知识可知,两个不同暴露水平 $X_j=c_1$ 和 $X_j=c_0$ 下的比数比 OR_j 的自然对数为

$$\begin{aligned} \ln OR_j &= \ln \left[\frac{P_1/(1-P_1)}{P_0/(1-P_0)} \right] = \text{logit}(P_1) - \text{logit}(P_0) \\ &= \left(\beta_0 + \beta_j c_1 + \sum_{i \neq j}^m \beta_i X_i \right) - \left(\beta_0 + \beta_j c_0 + \sum_{i \neq j}^m \beta_i X_i \right) \\ &= \beta_j (c_1 - c_0) \end{aligned} \quad (13-3)$$

取反对数后可得

$$OR_j = \exp[\beta_j (c_1 - c_0)] \quad (13-4)$$

式(13-3)中 P_1 和 P_0 分别表示在 X_j 取值为 c_1 及 c_0 时的发病概率。特殊地,如果 X_j 赋值为

$$X_j = \begin{cases} 1, & \text{暴露} \\ 0, & \text{非暴露} \end{cases}$$

则暴露组与非暴露组发病的比数比为

$$OR_j = \exp(\beta_j) \quad (13-5)$$

当 $\beta_j=0$ 时, $OR_j=1$, 说明 X_j 对疾病发生不起作用;当 $\beta_j>0$ 时, $OR_j>1$, 说明 X_j 是一个危险因素;当 $\beta_j<0$ 时, $OR_j<1$, 说明 X_j 是一个保护因素。在具体研究中可结合 X_j 所代表的因素对其做出恰当的解释。

由于 OR_j 值与模型中的常数项 β_0 无关,在危险因素分析中通常把 β_0 看作无效参数。对于发病率较低的疾病如恶性肿瘤,比数比可以作为相对危险度(relative risk, RR)的近似估计,即

$$OR = \frac{P_1/(1-P_1)}{P_0/(1-P_0)} \approx \frac{P_1}{P_0} = RR \quad (13-6)$$

由此可见,logistic 回归模型参数有明确的实际意义,即得到某一因素的 logistic 回归系数的估计值后,便可以估计出这一因素在不同水平下的比数比,甚至相对危险度。这是 logistic 回归用于流行病学和临床数据分析的优势。

二、模型的参数估计

在 logistic 回归模型中, 回归系数的估计通常用最大似然法 (maximum likelihood estimate, MLE)。其基本思想是先建立一个样本的似然函数, 求似然函数达到最大值时参数的取值, 即为参数的极大似然估计值。

样本似然函数可表示为

$$L = \prod_{i=1}^n P_i^{Y_i} (1 - P_i)^{1 - Y_i} \quad (13-7)$$

式中 P_i 表示第 i 例观察对象在自变量的作用下阳性结果发生的概率, 若实际出现的是阳性结果, 取 $Y_i = 1$, 否则取 $Y_i = 0$ 。

为了求出当 L 值最大时的参数取值, 通常取 L 的对数形式以简化计算, 即

$$\ln L = \sum_{i=1}^n [Y_i \ln P_i + (1 - Y_i) \ln(1 - P_i)] \quad (13-8)$$

然后用迭代方法使对数似然函数达到极大值, 此时参数的取值 $b_0, b_1, b_2, \dots, b_m$ 即为 $\beta_0, \beta_1, \beta_2, \dots, \beta_m$ 的最大似然估计值。上述求解过程需要利用统计软件完成。

由公式 (13-4) 可得, 某因素两个不同水平 (c_1, c_0) 比数比的估计值为

$$OR_j = \exp[b_j(c_1 - c_0)] \quad (13-9)$$

OR_j 的可信区间可以利用 b_j 的抽样分布来估计, 在样本量含量较大的情况下, 它近似服从正态分布。若 c_1 和 c_0 分别表示暴露和非暴露, 则比数比 OR_j 的 $1 - \alpha$ 可信区间可按下式计算

$$\exp(b_j - z_{\alpha/2} S_{b_j}) < OR_j < \exp(b_j + z_{\alpha/2} S_{b_j}) \quad (13-10)$$

式中 S_{b_j} 的值及可信区间可由统计软件给出。

例 13-1 表 13-2 是一个研究吸烟 (X_1)、饮酒 (X_2) 与食道癌 (Y) 关系的病例 - 对照资料, 试作 logistic 回归分析。

表 13-2 吸烟与食道癌关系的病例 - 对照调查资料

吸烟 X_1	饮酒 X_2	疾病状态 Y	观察例数 n
0	0	1	63
0	1	1	63
1	0	1	44
1	1	1	265
0	0	0	136
0	1	0	107
1	0	0	57
1	1	0	151

各变量赋值情况如下:

$$X_1 = \begin{cases} 1, & \text{吸烟} \\ 0, & \text{不吸烟} \end{cases}, X_2 = \begin{cases} 1, & \text{饮酒} \\ 0, & \text{不饮酒} \end{cases}, Y = \begin{cases} 1, & \text{病例} \\ 0, & \text{对照} \end{cases}$$

用 SPSS 统计软件 logistic 回归过程可得到如下主要结果 (表 13-3)。

表 13-3 例 13-1 logistic 回归参数估计结果

因素 X	回归系数 b	标准误 S _b	Wald χ^2	P 值	OR 值	OR 值 95% 可信区间	
						下限	上限
常数项	-0.910	0.136	44.870	0.000	0.403		
吸烟	0.886	0.150	34.862	0.000	2.424	1.807	3.253
饮酒	0.526	0.157	11.207	0.001	1.692	1.244	2.303

吸烟与饮酒的 logistic 回归系数分别为 0.886 和 0.526, OR 值及其 95% 可信区间分别为 2.424(1.807~3.253) 和 1.692(1.244~2.303)。

与线性回归分析相同, 因为自变量的单位不同, 不能用回归系数的估计值来判断哪一个自变量对应变量的影响最大, 为此需要计算出标准化回归系数。在标准化回归系数的估计值中, 绝对值最大的标准化回归系数对应的自变量作用最大。

三、logistic 回归系数的假设检验

得到回归系数的估计值后, 还需要对其进行假设检验。对回归系数的假设检验, 可用来说明自变量对应变量 Y 的影响是否具有统计学意义。具体分为对模型整体的检验和对单个偏回归系数的检验, 对应的检验假设分别为

$$H_0: \beta_1 = \beta_2 = \dots = \beta_m = 0; H_1: \beta_1, \beta_2, \dots, \beta_m \text{ 不全为 } 0$$

$$H_0: \beta_j = 0; H_1: \beta_j \neq 0$$

常用的检验的方法有似然比检验(likelihood ratio test)、Wald 检验(Wald test)和计分检验(score test)。

1. 似然比检验 似然比检验的基本思想是比较在两种不同假设条件下的对数似然函数值, 看其差别大小。具体做法是先拟合一个不包含准备检验因素在内的 logistic 模型, 求出它的对数似然函数值 $\ln L_0$, 然后把需要检验的因素加入模型中去再进行拟合, 得到一个新的对数似然函数值 $\ln L_1$, 假设前后两个模型分别包含 l 个自变量和 p 个自变量, 似然比统计量 G 的计算公式为

$$G = 2(\ln L_1 - \ln L_0) \quad (13-11)$$

当样本含量较大时, 在零假设下得到的 G 统计量近似服从自由度为 $d(d=p-l)$ 的 χ^2 分布。若 $G \geq \chi_{\alpha, d}^2$ 时, 表示新加入的 d 个自变量对回归有显著的贡献。如果只对一个回归系数检验, 则 $d=1$ 。

由例 13-1 可以算得

$$\ln L(X_1) = -585.326, \ln L(X_2) = -597.436, \ln L(X_1, X_2) = -579.711$$

符号 $L(X_1)$ 和 $L(X_2)$ 分别表示模型中只含有 X_1 和 X_2 的最大似然函数值, 而 $L(X_1, X_2)$ 则表示模型中同时含有 X_1 和 X_2 的最大似然函数值。

对于 $H_0: \beta_1 = 0; H_1: \beta_1 \neq 0$

$$G = 2[\ln L(X_1, X_2) - \ln L(X_2)] = 2[-579.711 - (-597.436)] = 35.45$$

查 χ^2 界值表得 $\chi_{0.05, 1}^2 = 3.84$, $G > 3.84$, 故在 $\alpha = 0.05$ 检验水准上拒绝 H_0 , 接受 H_1 , 说明平衡了饮酒因素的影响后, 食管癌与吸烟有显著性关系。

同理, 对于 $H_0: \beta_2 = 0; H_1: \beta_2 \neq 0$

$$G = 2[\ln L(X_1, X_2) - \ln L(X_1)] = 2[-579.711 - (-585.326)] = 11.23$$

$G > 3.84$, 拒绝 H_0 , 接受 H_1 , 说明平衡了吸烟因素的影响后, 食管癌与饮酒有显著性关系。

2. Wald 检验 Wald 检验只需将各参数的估计值 b_j 与 0 比较, 而用它的标准误 S_{b_j} 作为参照, 为检验 $\beta_j = 0$ 是否成立, 计算下面的统计量, 即

$$z = \frac{b_j}{S_{b_j}} \quad (13-12)$$

或

$$\chi^2 = \left(\frac{b_j}{S_{b_j}} \right)^2 \quad (13-13)$$

对于大样本资料,在零假设下 z 近似服从标准正态分布,而 χ^2 则近似服从自由度 $\nu=1$ 的 χ^2 分布。

计分检验计算公式比较复杂,此处省略。三种方法中,似然比检验可以对自变量增减时所得到的不同回归模型进行比较,既适合单个自变量的假设检验,又适合多个自变量的同时检验。Wald 检验比较适合单个自变量的检验,但结果略为保守。计分检验在小样本时较似然比检验统计量更接近于 χ^2 分布。实际工作中应注意所使用的统计软件采用的是何种检验方法,不同的方法所得的结果可能不同。在大样本情况下,使用三种方法得到的检验结果是一致的。

从表 13-3 中可以看出,吸烟和饮酒 Wald χ^2 值分别为 34.862 和 11.207,与似然比检验的结果一致。

四、变量筛选

当对多个自变量建立 logistic 回归模型时,并不是每一个自变量对模型都有贡献。通常我们希望所建立的模型将具有统计学意义的自变量都包含在内,而将没有统计学意义的自变量排除在外,即进行变量筛选。与多元线性回归相似,logistic 回归的变量筛选的方法有向前选择、向后选择和逐步选择三种方法。但其中所用的检验统计量不再是线性回归分析中的 F 统计量,而是 logistic 回归参数检验中的似然比统计量、Wald 统计量或计分统计量之一。多数统计软件使用的是似然比统计量。

例 13-2 某医院在研究某种药物治疗骨折效果时,收集了 516 例病例资料,对每一患者采用相同的标准按照“好、差”做疗效评价。在评价时需要同时考虑骨折的类型、是否手术、是否服药和治疗时间 4 个因素对结果的影响。数据资料见表 13-4 和表 13-5,试作 logistic 逐步回归分析。

表 13-4 骨折治疗效果的 4 个可能影响因素与编码说明

因素	变量名	编码说明
骨折类型	X_1	闭合=0,开放=1
治疗方法	X_2	非手术=0,手术=1
服药情况	X_3	未服药=0,服药=1
治疗周数	X_4	1~1, 11~2, 21~3
疗效评价	Y	差=0,好=1

表 13-5 骨折治疗效果评价研究资料

分层	X_1	X_2	X_3	X_4	阳性数	阴性数	观察例数
1	0	0	0	1	0	18	18
2	0	0	0	2	2	15	17
3	0	0	0	3	7	3	10
4	0	0	1	1	10	68	78
5	0	0	1	2	19	7	26
6	0	0	1	3	4	1	5

续表

分层	X_1	X_2	X_3	X_4	阳性数	阴性数	观察例数
7	0	1	0	1	0	17	17
8	0	1	0	2	3	25	28
9	0	1	0	3	17	15	32
10	0	1	1	1	5	91	96
11	0	1	1	2	28	21	49
12	0	1	1	3	19	3	22
13	1	0	0	1	1	1	2
14	1	0	0	2	0	2	2
15	1	0	0	3	1	3	4
16	1	0	1	1	0	14	14
17	1	0	1	2	4	8	12
18	1	0	1	3	5	1	6
19	1	1	0	1	0	9	9
20	1	1	0	2	0	13	13
21	1	1	0	3	8	5	13
22	1	1	1	1	3	20	23
23	1	1	1	2	7	1	8
24	1	1	1	3	6	0	6

将治疗周数化为哑变量,见表 13-6。

表 13-6 治疗周数的哑变量赋值

水平	哑变量	
	X_{4-1}	X_{4-2}
1	0	0
2	1	0
3	0	1

用 SPSS 向前选择法筛选自变量(似然比检验),确定选入的检验水准为 $\alpha=0.05$ 。经过两步筛选,最终进入方程的自变量有服药情况和治疗周数,结果如表 13-7 所示。这两个变量回归系数的 Wald 检验 P 值均具有统计学意义,提示它们是骨折治疗效果的独立影响因素。在相同的治疗时间条件下,服药骨折病人获得好疗效的可能性比不服药骨折病人更大,其比数比为 10.060;在相同的服药情况下,治疗时间越长疗效越好,其中治疗周数在 11 周以上相对于 11 周以下的比数比为 14.638,治疗周数在 21 周以上相对于 11 周以下的比数比为 116.863。

表 13-7 例 13-2 的 logistic 回归模型自变量筛选结果

模型	因素 X	回归系数 b	标准误 S_b	Wald χ^2	P 值	OR 值	OR 值 95% 可信区间	
							下限	上限
第 1 步	常数项	-2.528	0.238	112.433	<0.001	0.080		
	治疗 11 周	2.149	0.289	55.267	<0.001	8.578	4.867	15.117
	治疗 21 周	3.299	0.323	104.602	<0.001	27.073	14.388	50.940
第 2 步	常数项	-4.647	0.422	121.502	<0.001	0.010		
	服药情况	2.309	0.355	42.174	<0.001	10.060	5.012	20.192
	治疗 11 周	2.684	0.310	74.842	<0.001	14.638	7.970	26.887
	治疗 21 周	4.761	0.444	114.981	<0.001	116.863	48.949	279.006

第二节 条件 logistic 回归

一、条件 logistic 回归的原理

在医学研究的设计阶段,采用配对设计来控制混杂因素对研究结果的影响是常用的方法。如把病例和对照按照年龄、性别等条件进行匹配,形成多个匹配组。条件 logistic 回归 (conditional logistic regression) 是针对配对或分层资料的一种分析方法。在这类资料中,每一个病例配以条件相似的一个(1:1)或几个(1:M,通常 $M \leq 3$)对照,形成一个匹配组(层),称为 1:1 配对或 1:M 配对。条件 logistic 回归与非条件 logistic 回归的区别是参数估计是否用到了条件概率。

设有 n 个病例,每个病例配以条件相似的 M 个对照,共形成 n 个匹配组,数据格式如表 13-8 所示。 $Y=1$ 为病例,组内编号为 0; $Y=0$ 为对照,组内编号 1-M; X_{ij} 表示第 i 个匹配组第 $t(t=0, 1, 2, \dots, M)$ 个观察对象的第 j 个危险因素的观察值。

表 13-8 1:M 条件 logistic 回归数据的格式

匹配组号 i	组内编号 [*] t	反应变量 Y	危险因素			
			X_1	X_2	...	X_m
1	0	1	X_{101}	X_{102}	...	X_{10m}
	1	0	X_{111}	X_{112}	...	X_{11m}
	2	0	X_{121}	X_{122}	...	X_{12m}
	⋮	⋮	⋮	⋮	⋮	⋮
	M	0	X_{1M1}	X_{1M2}	...	X_{1Mm}
⋮	⋮	⋮	⋮	⋮	⋮	
n	0	1	X_{n01}	X_{n02}	...	X_{n0m}
	1	0	X_{n11}	X_{n12}	...	X_{n1m}
	2	0	X_{n21}	X_{n22}	...	X_{n2m}
	⋮	⋮	⋮	⋮	⋮	⋮
	M	0	X_{nM1}	X_{nM2}	...	X_{nMm}

* $t=0$ 为病例,其他为对照

用 P_i 表示第 i 层在一组危险因素作用下发病的概率,条件 logistic 模型可表示为

$$P_i = \frac{1}{1 + \exp[-(\beta_{0i} + \beta_1 X_1 + \beta_2 X_2 + \dots + \beta_m X_m)]}, i=1, 2, \dots, n \quad (13-14)$$

β_{0i} 表示各层的效应, $\beta_1, \beta_2, \dots, \beta_m$ 为待估计的参数。与非条件 logistic 回归模型不同之处在常数项上,不同匹配组的 β_{0i} 可以各不相同,但在内在假定了每个危险因素的致病能力在不同匹配组中相同。

条件似然函数的构造:用 $X_{it}=(X_{i1}, X_{i2}, \dots, X_{im})$ 表示第 i 层内第 t 个观察对象危险因素的观察向量值,考虑第 i 个匹配组中的 $M+1$ 个观察对象有 1 名病例的条件下,恰好第一个观察对象属于病例组的条件概率为

$$L_i = \frac{P(X_{i0} | Y=1) \prod_{t=1}^M P(X_{it} | Y=0)}{\sum_{t=0}^M \left[P(X_{it} | Y=1) \prod_{t=0, t \neq t}^M P(X_{it} | Y=0) \right]} \quad (13-15)$$

它等于观察到的第一组危险因素属于病例而其他危险因素属于对照的概率与各种可能组合情况下的概率的比值。利用概率论中的条件概率公式和式(13-14)有

$$L_i = \frac{1}{1 + \sum_{j=1}^M \exp \left[\sum_{j=1}^m \beta_j (X_{ij} - X_{i0j}) \right]} \quad (13-16)$$

为了估计模型的参数,构造综合 n 个匹配组的条件似然函数为

$$L = \prod_{i=1}^n \frac{1}{1 + \sum_{j=1}^M \exp \left[\sum_{j=1}^m \beta_j (X_{ij} - X_{i0j}) \right]} \quad (13-17)$$

可以看出,条件 logistic 回归分析只估计了表示危险因素作用的 β_j 值,表示匹配组效应的常数项 β_{0i} 则被自动地消去了。

对上述条件似然函数 L 取自然对数后,用非线性迭代法求出参数的估计值 $b_j (j=1, 2, \dots, m)$ 及其标准误 S_{b_j} 。回归系数的假设检验及分析方法与非条件 logistic 回归完全相同。实际中,上述计算过程可以简化,直接由统计软件给出参数估计和假设检验的结果。

二、应用实例

例 13-3 上海某大学研究人员做了胃癌 1:1 配对设计的病例 - 对照研究,本例节录了其中 40 对资料,见表 13-9 和表 13-10,试筛选胃癌发病的危险因素。

表 13-9 胃癌可能危险因素编码表

因素	变量名	编码说明
接触有害物质	X_1	无=0,有=1
蛋白质摄入量分级	X_2	0, 1, 2, 3, 4, 5(无=0,摄入量逐级升高)
新鲜蔬菜及水果摄入	X_3	无=0,少=1,多=2
喜盐渍食物及重盐饮食	X_4	0, 1, 2, 3, 4, 5(不吃=0,喜好程度逐级升高)
不良饮食习惯	X_5	0, 1, 2, 3, 4(无=0,数量逐级升高)
吸烟	X_6	吸烟量分×吸烟年数分级
精神因素	X_7	0, 1, 2, 3(分值越高负面精神因素越多)
胃癌	Y	对照=0,胃癌=1

表 13-10 胃癌危险因素研究 1:1 病例 - 对照研究数据表

序号	配对编号	X_1	X_2	X_3	X_4	X_5	X_6	X_7	Y
1	1	1	2	2	0	0	3.00	2	1
2	1	0	1	1	1	2	0.50	0	0
3	2	1	2	2	1	3	0.25	2	1
4	2	0	3	2	0	1	0.25	0	0
5	3	1	1	1	1	2	0.00	3	1
6	3	0	2	1	0	2	0.00	0	0
7	4	1	1	1	0	3	0.75	0	1
8	4	0	2	1	0	1	0.00	0	0
9	5	1	0	1	0	0	2.00	1	1
10	5	0	1	1	0	1	0.00	0	0
11	6	1	2	1	3	2	2.00	2	1
12	6	0	4	1	0	0	2.00	0	0

续表

序号	配对编号	X_1	X_2	X_3	X_4	X_5	X_6	X_7	Y
13	7	1	0	0	4	2	0.00	1	1
14	7	0	2	1	0	1	0.00	0	0
15	8	0	3	1	0	2	1.00	0	1
16	8	0	0	1	3	0	0.00	0	0
17	9	0	2	2	4	3	0.00	0	1
18	9	0	0	1	0	2	0.00	0	0
19	10	0	4	2	4	2	0.00	2	1
20	10	0	2	2	0	2	2.00	1	0
21	11	0	3	1	0	2	1.50	0	1
22	11	0	1	1	0	1	0.00	2	0
23	12	0	1	1	1	3	0.00	0	1
24	12	0	0	1	0	0	1.50	0	0
25	13	0	1	1	0	2	1.00	1	1
26	13	0	0	1	1	2	2.00	2	0
27	14	0	2	0	2	1	0.25	0	1
28	14	0	1	1	0	0	1.00	0	0
29	15	0	0	2	0	3	0.00	0	1
30	15	0	0	1	3	2	0.00	0	0
31	16	0	1	1	3	2	0.50	1	1
32	16	0	1	1	0	2	0.00	1	0
33	17	0	0	1	2	1	0.00	0	1
34	17	0	0	1	0	2	0.75	0	0
35	18	0	0	1	1	1	0.00	2	1
36	18	0	0	1	0	2	0.00	0	0
37	19	0	1	1	0	3	0.25	1	1
38	19	0	1	1	0	0	0.00	1	0
39	20	0	0	1	0	2	2.00	0	1
40	20	0	0	1	0	0	1.00	0	0
41	21	0	0	1	0	0	1.50	0	1
42	21	0	0	1	0	2	2.00	0	0
43	22	0	1	1	0	3	2.00	1	1
44	22	0	1	1	1	0	0.00	0	0
45	23	0	1	1	0	3	1.00	0	1
46	23	0	1	1	1	0	0.00	1	0
47	24	0	1	1	0	2	4.00	0	1
48	24	0	1	1	2	0	0.00	0	0
49	25	0	1	1	1	2	2.00	0	1
50	25	0	1	2	0	1	1.00	0	0
51	26	0	2	0	0	1	0.75	1	1
52	26	0	2	1	0	2	0.00	0	0
53	27	0	0	2	0	2	2.00	0	1
54	27	0	1	1	0	2	0.00	0	0
55	28	0	0	1	4	3	0.00	1	1
56	28	0	1	1	2	3	0.00	0	0

续表

序号	配对编号	X ₁	X ₂	X ₃	X ₄	X ₅	X ₆	X ₇	Y
57	29	0	1	1	1	2	3.00	1	1
58	29	0	2	1	0	1	1.50	1	0
59	30	0	0	1	0	2	0.50	1	1
60	30	0	1	1	0	0	0.00	0	0
61	31	0	1	1	0	3	0.25	0	1
62	31	0	2	1	0	2	0.00	0	0
63	32	0	1	2	0	0	0.00	0	1
64	32	0	2	2	0	0	0.50	0	0
65	33	0	0	1	1	3	2.00	2	1
66	33	0	1	1	2	0	0.00	0	0
67	34	0	0	1	0	2	0.00	2	1
68	34	0	1	1	2	1	0.00	0	0
69	35	0	2	1	0	2	0.00	2	1
70	35	0	3	2	0	1	0.00	0	0
71	36	0	1	1	0	0	0.25	0	1
72	36	0	3	1	1	1	0.00	0	0
73	37	0	3	1	0	2	1.00	0	1
74	37	0	5	2	0	1	0.50	0	0
75	38	0	2	1	1	2	0.00	0	1
76	38	0	4	2	3	1	0.00	0	0
77	39	0	1	1	0	2	0.25	0	1
78	39	1	1	1	0	1	0.25	0	0
79	40	0	1	1	2	2	0.00	1	1
80	40	1	4	1	0	4	0.00	0	0

借助 SPSS 软件进行变量筛选,采用向后选择法(Wald 检验),得到表 13-11 的变量筛选结果。在诸多危险因素中,不良饮食习惯和精神因素具有统计学意义,提示在防治胃癌的工作中应重视养成良好的饮食习惯,注意精神因素的调节,戒除不良嗜好。

表 13-11 例 13-3 胃癌危险因素条件 logistic 回归筛选结果

因素 X	回归系数 b	标准误 S _b	Wald χ^2	P 值	OR 值	OR 值 95% 可信区间	
						下限	上限
喜盐渍食物及重盐饮食	0.404	0.286	1.986	0.159	1.497	0.854	2.625
不良饮食习惯	0.881	0.368	5.742	0.017	2.414	1.174	4.964
吸烟	0.832	0.495	2.820	0.093	2.297	0.870	6.062
精神因素	1.151	0.560	4.230	0.040	3.162	1.056	9.471

第三节 logistic 回归应用及注意事项

1. logistic 回归分析的应用 logistic 回归分析可以用于流行病学、临床试验数据分析、药物或毒物的剂量反应和预测与判别等多个方面。在流行病学研究上,可以通过得到某一因素的

回归系数 b_j , 估计出这一因素在不同水平下的比数比或近似相对危险度。在临床试验数据分析上, 目的是为了评价某种药物或治疗方法的效果, 如果有其他影响效果的非处理因素(如年龄、病情等)在试验组和对照组中分布不均衡, 就有可能夸大或掩盖试验组的治疗效果, 利用 logistic 回归分析能够得到调整后的药物评价结果, 使结果更加准确。在分析药物或毒物的剂量反应上, 如果药物或毒物有多种, 可以利用 logistic 模型做它们的联合作用分析, 说明药物间的协同或拮抗作用。在预测与判别上, 可以利用这一模型预测某事件发生的概率。

2. 变量的取值 与线性回归问题类似, 作 logistic 回归分析时也需要考虑变量的数量化方法。对同一资料的分析, 变量采用不同的取值形式, 参数的含义、量值、符号及假设检验结果都可能发生变化。

实际应用中, 如果自变量是二分类定性变量, 可以使用 0 或 1 编码; 如果是多分类则需要哑变量的方法。当自变量是一个定量指标时, 有三种处理方法: 第一种方法, 直接使用原始观测值。此法用起来比较简单, 能够保持信息的完整性, 在许多情况下回归效果也较为理想, 假设检验的结果也比较可靠, 但这种方法参数的实际意义不够明确, 如年龄增加 1 岁的相对危险度可能没有实际意义。第二种方法, 将连续变量按取值区间分成若干等级组, 按 1, 2, ..., g 给分, 然后按连续变量进行处理。第三种方法, 将连续变量按不同区间分成 g 个组后, 化作 $g-1$ 个哑变量处理, 使用这种方法的关键是要正确地分组, 赋值方法见表 13-12。需要注意的是, 当 $g > 2$ 时, 不能用常规的方法进行变量筛选, 而应将 $g-1$ 个哑变量作为一个整体, 检验其是否引入回归模型。

表 13-12 年龄变量离散化处理的赋值方法

年龄(岁)	等级变量	哑变量		
		X_1	X_2	X_3
X	G			
<40	1	0	0	0
40~	2	1	0	0
50~	3	0	1	0
60~	4	0	0	1

3. 样本含量 logistic 回归的所有统计推断都是建立在大样本基础上的, 因此其应用的一个基本条件是要有足够样本含量, 样本含量愈大分析结果愈可靠。实际中病例和对照的人数应至少各有 30~50 例, 方程中的变量个数愈多需要的例数也就愈大。对于配对资料, 一般样本的匹配组数应为纳入方程中的自变量个数的 20 倍以上。

4. 变量间的交互作用 当某一自变量对应变量 Y 的作用大小与另一个自变量的取值有关时, 则表示两个自变量有交互作用。回归模型中是否要考虑交互作用主要靠专业知识。为了检验两个自变量是否具有交互作用, 普遍的做法是在方程中加入它们的乘积项。如对表 13-6 数据的分析, 已经选出是否用药(X_3)、治疗周数(X_4)两个变量显著, 如果在方程中加入骨折类型(X_1)、治疗方法(X_2)和 $Z = X_1X_2$ 项, 结果 Z 显著($P = 0.0088$), 说明治疗方法和骨折类型之间有交互作用。

5. 多分类 logistic 回归 当应变变量 Y 是一个多项分类指标, 特别是有序分类指标时, 如流行病学中一些慢性病的危险因素研究, 观察结果为“无、轻、中、重”; 临床试验的疗效评价, 结果为“治愈、显效、好转、无效”; 临床影像诊断按“-、±、+、++”不同等级进行分类的资料, 均可以采用 logistic 回归模型进行分析。有序 logistic 模型除参数模型的意义略有差别外, 在使用上可以完全按照二分类 logistic 回归模型分析方法进行。

练习题

一、单项选择题

- logistic 回归分析适用于应变量为()
 - 二分类变量资料
 - 连续型的计量资料
 - 正态分布资料
 - 正偏态分布资料
 - 负偏态分布资料
- logistic 回归模型中自变量不可以直接使用是()
 - 二分类变量
 - 连续型的计量资料
 - 无序多分类变量
 - 有序分类变量
 - 两端无确定数值的变量
- 条件 logistic 回归与非条件 logistic 回归的主要差别是()
 - 非条件 logistic 回归没有任何假定条件
 - 回归系数的意义不同
 - 参数估计的似然函数不同
 - 假设检验使用的统计量不同
 - 条件 logistic 回归要求应变量服从正态分布
- 欲研究糖尿病与年龄、高血压和肥胖之间的关系,不可以采用的检验统计量是()
 - Wald 检验统计量
 - 似然比检验统计量
 - 计分检验统计量
 - 方差分析 F 检验统计量
 - 卡方检验统计量
- logistic 回归分析不适合应用的是()
 - 是否发生疾病的预测
 - 慢性病的危险因素分析
 - 估计近似相对危险度
 - 多种药物的联合作用
 - 传染病的危险因素分析
- logistic 回归系数 β 的流行病学意义是()
 - 比数比 OR 值
 - 相对危险度 RR 值
 - OR 值的自然对数值
 - RR 值的自然对数
 - 发病率 P 的改变量
- 下列资料适合作 logistic 回归分析的是()
 - 身高与体重的关系
 - 冠心病危险因素的筛选
 - 传染病发病概率的估计
 - 男性与女性肺癌发病率的比较
 - 不同剂量高血压药物的作用
- 在 500 名病例与 500 名对照的匹配病例对照研究中,有 400 名病例与 100 名对照有暴露史。根据此资料,可以计算出比数比 OR 为()
 - 4
 - 20
 - 18
 - 10
 - 16
- logistic 回归分析,判断自变量对应变量作用大小应采用的统计量是()
 - Wald 卡方值
 - 标准回归系数
 - 似然比值
 - 回归系数
 - t 值
- 一项研究食管癌与吸烟、饮酒危险因素关系的数据分析结果表明,吸烟与不吸烟的比数比 $OR_1 = 2.42$,饮酒与不饮酒的比数比 $OR_1 = 1.69$,则同时吸烟和饮酒与两者皆无的比数比 OR 值为()

续表

序号	X_1	X_2	X_3	X_4	X_5	X_6	X_7	Y	序号	X_1	X_2	X_3	X_4	X_5	X_6	X_7	Y
25	2	0	0	1	1	0	1	0	43	3	1	0	1	0	1	2	1
26	2	1	1	1	1	0	2	0	44	3	1	0	1	0	0	1	1
27	3	1	0	1	0	0	1	0	45	3	1	1	1	1	1	2	1
28	2	1	1	0	1	0	3	0	46	4	0	0	1	1	0	3	1
29	2	0	0	1	1	0	1	0	47	3	1	1	1	1	0	3	1
30	2	0	0	0	0	0	1	0	48	4	1	1	1	1	0	3	1
31	1	0	0	1	1	1	2	1	49	3	0	1	1	1	0	1	1
32	3	0	0	1	1	1	1	1	50	4	0	0	1	0	0	2	1
33	3	1	1	1	1	1	3	1	51	1	0	1	1	1	0	2	1
34	2	0	0	1	0	0	1	1	52	2	0	1	1	0	1	2	1
35	2	0	1	0	1	1	1	1	53	2	1	1	1	0	0	2	1
36	2	0	0	1	0	1	1	1	54	2	1	0	1	0	0	1	1
37	2	1	1	1	1	0	1	1	55	3	1	1	0	1	0	3	1
38	3	1	1	1	1	0	1	1	56	1	0	1	1	1	0	2	1
39	3	1	1	1	0	1	1	1	57	2	0	1	1	0	1	2	1
40	3	1	1	1	1	0	1	1	58	2	1	1	1	0	0	2	1
41	3	0	1	0	0	0	1	1	59	2	1	0	1	0	0	1	1
42	2	1	1	1	1	0	2	1	60	3	1	1	0	1	0	3	1

3. 为了研究高血压和肥胖与糖尿病的关系,某研究按 1:1 配对收集了 15 对病人和对照的资料。设 X_1 表示高血压患病情况: 0=无高血压, 1=高血压; X_2 表示肥胖患病情况: 0=正常, 1=肥胖; Y 表示糖尿病患病情况: 0=对照, 1=糖尿病。数据见下表, 试采用适当的方法进行分析。

高血压和肥胖与糖尿病关系的 1:1 配对病例 - 对照研究数据表

配对编号	病例			配对编号	对照		
	X_1	X_2	Y		X_1	X_2	Y
1	1	1	1	1	0	0	0
2	1	0	1	2	0	1	0
3	1	1	1	3	0	0	0
4	1	1	1	4	0	0	0
5	0	1	1	5	1	0	0
6	0	1	1	6	1	1	0
7	1	0	1	7	0	0	0
8	0	0	1	8	0	1	0
9	0	1	1	9	0	0	0
10	1	1	1	10	1	0	0
11	1	1	1	11	0	0	0
12	1	1	1	12	0	0	0
13	1	0	1	13	0	0	0
14	0	0	1	14	1	1	0
15	0	1	1	15	1	0	0



第十四章 生存分析

在临床试验研究中,如对慢性病、恶性肿瘤等患者的随访观察,常常需记录观察对象各时点上终点事件的发生情况,包括终点事件出现以及观察对象达到终点所经历的时间长短,以比较和评价临床疗效。生存分析(survival analysis)就是将事件的终点和出现这一终点所经历的时间结合起来分析的一类统计分析方法。本章内容主要包括生存分析的基本概念、生存率曲线和Cox回归,学习这些方法的目的在于能够合理地描述、分析和评价生存资料。

第一节 生存分析的基本概念

一、生存数据及其特点

1. 生存时间 指患者从发病到死亡所经历的时间长度。广义上,生存时间(survival time)可定义为从规定的观察起点到某终点事件出现所经历的时间长度,观察起点可以是发病时间、第一次确诊时间或接受处理(治疗)的时间等,终点事件可以是某种疾病的发生、复发或死亡、某种处理的反应等。例如,在临床研究中,急性白血病患者从骨髓移植治疗开始到复发为止之间的时间间隔,冠心病患者出现心肌梗死所经历的时间;在流行病学研究中,从开始接触某危险因素到发病所经历的时间;在动物实验研究中,从开始给药到发生死亡所经历的时间等。在计算生存时间时,为便于分析和比较,需要有明确规定的时间起点和终点以及时间的测量单位。例 14-1 给出了一个记录乳腺癌患者从手术到复发的生存时间数据。

例 14-1 为了解乳腺癌患者手术后的复发情况,某研究者对某医院 1999—2009 年间的乳腺癌手术患者进行了随访研究。随访起始时间为 1999 年 1 月 1 日,截止时间为 2009 年 5 月 31 日。以手术时间为观察起点,直至患者出现复发(status=1 为复发,0 为删失),并记录每个研究对象的年龄(age,岁)、病理类型(type=1 为浸润性非特殊癌,2 为其他)、淋巴结转移(node=1 为有,0 为无)、肿瘤直径(size=1 为≤2cm,2 为 2~5cm,3 为 >5cm),生存时间(time,月),摘取其中 7 例随访记录见表 14-1。

表 14-1 乳腺癌患者生存资料原始记录表

编号	age	type	node	size	start	end	time	status
1	56	1	0	2	2003-09-06	2004-05-19	8	1
2	32	1	1	2	2006-02-09	2008-02-01	24	1
3	81	2	0	2	2006-02-17	2009-04-24	38	1
4	44	2	0	1	2003-09-30	2009-04-25	67	1
5	32	1	1	2	2005-12-22	2008-07-01	30	0
6	35	1	1	2	2001-07-20	2003-07-21	24	0
7	40	1	0	2	2003-07-25	2004-11-15	15	0

2. 生存数据 生存数据(survival data)包括完全数据(complete data)和删失数据(censored data)。完全数据提供的是准确的生存时间,如例 14-1 中 1~4 号患者的生存时间均为完全数据。删失数据也称截尾数据,是由于某种原因而无法准确观测到生存时间的数据,如 5~7 号患者的生存时间为删失数据。

产生删失数据的主要原因有：①研究结束时终点事件尚未发生，如图 14-1 中的第 4 号观察对象，在研究计划规定的随访时间时仍未发生死亡事件；②失访，即由于观察对象搬迁等原因而未观察到终点，如图 14-1 中的第 3 号观察对象；③研究对象因死于其他原因或严重药物反应而终止试验和观察。

删失数据的表示方法：为区别于完全数据，常在删失数据右上角标记“+”，表示真实的生存时间未知，只知道其生存期比观察到的删失时间要长。如例 14-1 中 2 号患者的生存时间为 24，而 6 号患者的生存时间为 24⁺。虽然删失数据所提供的生存时间信息不完全，但这类数据还是提供了部分信息，即说明观察对象至少在已经经历的时间长度内没有发生终点时间，因此，对于删失数据，既不能随意弃之，又不能同完全数据那样对待，这就需要采取专门处理这种资料的统计方法即生存分析。

图 14-1 为随访研究中常见的生存时间原始记录示意图，图中“×”表示终点事件“死亡”，“○”表示失访、退出研究或死于与本研究无关的其他原因。以开始治疗为起始事件，观察对象 1、5 号在规定的观察期间内发生了死亡，其生存时间为完全数据；观察对象 2 号是在观察终点之后才发生死亡事件，3 号和 4 号分别为失访和研究结束时尚未发生死亡，则这 3 名观察对象的生存时间为删失数据。

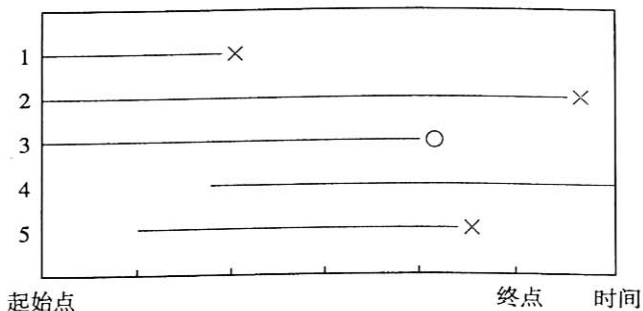


图 14-1 生存时间原始记录示意图

归纳生存数据的主要特点，即同时考虑生存结局和生存时间、并且可能含有删失数据，生存时间通常不服从正态分布。

二、生存分析常用统计指标

1. 生存率 生存率(survival rate)又称生存函数(survival function)，表示观察对象的生存时间 T 大于某时刻 t 的概率，常用 $S(t)$ 表示，其估计值为

$$\hat{S}(t) = \hat{P}(T > t) = \frac{t \text{ 时刻仍存活的例数}}{\text{观察总例数}} \quad (14-1)$$

上式是无删失数据时估计生存率的公式，若含有删失数据，则需要分时段计算生存概率。假定观察对象在各个时段的生存事件独立， $S(t)$ 的估计公式为

$$S(t) = P(T > t_k) = p_1 p_2 \cdots p_k = S(t_{k-1}) p_k \quad (14-2)$$

式中 $p_i (i = 1, 2, \dots, k)$ 为各分时段的生存概率，故生存率又称累积生存概率(cumulative probability of survival)。

2. 中位生存期 50% 的个体尚存活的时间称为中位生存期(median survival time)，又称作半数生存期。中位生存期越长，表示疾病的预后越好；反之，中位生存期越短，预后越差。中位生存期可以根据生存率曲线得到，生存曲线纵轴生存率为 50% 时所对应的横轴生存时间即中位生存期。

3. 风险函数 生存时间已达到 t 的观察对象在时刻 t 的瞬时死亡率称为风险函数 (hazard function), 又称为危险率函数, 常用 $h(t)$ 表示, 即

$$h(t) = \lim_{\Delta t \rightarrow 0} \frac{P(t \leq T < t + \Delta t | T \geq t)}{\Delta t} \quad (14-3)$$

当 $\Delta t = 1$ 时, $h(t) \approx P(t \leq T < t + 1 | T \geq t)$, 即 $h(t)$ 近似等于 t 时刻存活的个体在此后一个单位时段内的死亡概率。

风险函数随着时间的延长可呈现递增、递减或其他波动形式, 当风险函数为常数时, 表示死亡率不随时间而加速, 如果风险函数随时间上升, 则表示死亡率随时间而加速, 反之亦然。

第二节 生存率曲线及比较

生存率的估计方法有非参数法和参数法。在非参数方法中又分为寿命表法和 Kaplan-Meier 法 (K-M 法, 也称乘积极限法), 二者均应用定群寿命表的基本原理, 先求出各个时段的生存概率, 然后根据概率乘法定理计算生存率, 但前者往往适用于大样本资料, 对于小样本或大样本且有精确生存时间的资料一般采用 Kaplan-Meier 法, 本节介绍 Kaplan-Meier 法。

一、Kaplan-Meier 生存率曲线

(一) 计算生存率

Kaplan-Meier 生存率曲线由 Kaplan 和 Meier 于 1958 年首先提出, 它是一种估计生存率的非参数方法。

例 14-2 某研究者收集了 15 例乳腺恶性肿瘤直径小于或等于 2cm 的患者和 21 例肿瘤直径大于 5cm 患者手术后的生存资料, 定义从手术后到患者复发的时间为生存时间(月), 试估计两组的复发率。

肿瘤直径 ≤ 2cm	10	10 ⁺	13	18	25 ⁺	29	30	33	46	50 ⁺	54
	68 ⁺	71	88 ⁺	95 ⁺							
肿瘤直径 > 5cm	5	9	13	13	14	15	19	20	21	22	24
	25	26	27	28	32	47	52	54	60	86	

以肿瘤直径 ≤ 2cm 组为例, 计算步骤如下:

(1) 将生存时间 (t_i) 由小到大顺序排列, 若完全数据与删失数据相同, 则删失数据排在完全数据之后, 见表 14-2 第(2)栏。

(2) 列出时间区间 (t_i, t_{i+1}) 上的复发数 d_i 和删失数 c_i , 见表 14-2 第(3)、(4)栏。

(3) 计算恰在每一时刻 t_i 之前的生存人数, 即期初例数 n_i 。计算时应减去小于 t_i 的复发数和删失数, 即 $n_i = n_{i-1} - d_{i-1} - c_{i-1}$, 见表 14-2 第(5)栏。

(4) 计算各时间区间上的复发概率 q_i 和生存概率 p_i , 见表 14-2 第(6)、(7)栏。

$$q_i = \frac{d_i}{n_i}, p_i = 1 - q_i \quad (14-4)$$

(5) 计算生存率 $\hat{S}(t_i)$ 。活过某时刻 t 的生存率是其对应的各时点条件生存率的连乘积, 即

$$S(t_i) = \prod_{j=1}^i p_j = S(t_{i-1}) p_i \quad (14-5)$$

值得注意的是, 具有删失数据的条件死亡率为 0, 而其条件生存率必为 1, 所对应的生存率必然与前一个非删失值的生存率相同。各患者的生存率见表 14-2 第(8)栏。如乳腺肿瘤小于等于

2cm 患者 18 个月时生存率为 $0.862 \times 0.917 = 0.790$, 30 个月时生存率为 $0.711 \times 0.889 = 0.632$, 余类推。

(二) 计算生存率的标准误

Greenwood 生存率标准误近似计算公式为

$$SE[\hat{S}(t_i)] = \hat{S}(t_i) \sqrt{\sum_{t_j \leq t_i} \frac{d_j}{n_j(n_j - d_j)}}, j=1, 2, \dots, i \quad (14-6)$$

如

$$SE[\hat{S}(t_4)] = 0.790 \times \sqrt{\frac{1}{15 \times (15-1)} + \frac{0}{14 \times (14-1)} + \frac{1}{13 \times (13-1)} + \frac{1}{12 \times (12-1)}} = 0.108$$

根据上述计算的生存率及其标准误可估计总体生存率的可信区间。其方法是采用正态分布的原理, 用下式来进行估计。

$$\hat{S}(t_i) \pm z_{\alpha/2} SE[\hat{S}(t_i)] \quad (14-7)$$

采用该式时, 生存时间末端值的可信区间可能会出现超出 $[0, 1]$ 范围的不合理情况, 此时可采用对数变换的方法进行计算, 具体详见相关书籍。

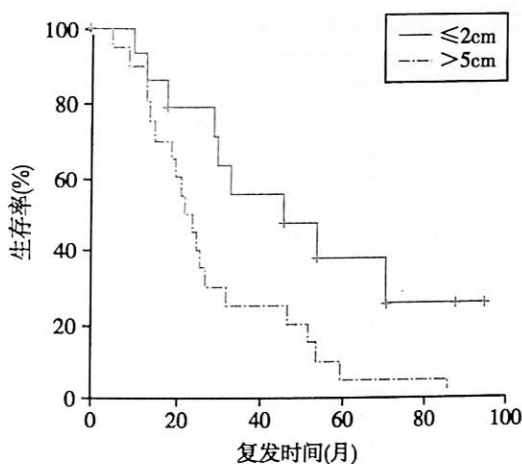
表 14-2 乳腺肿瘤直径 $\leq 2\text{cm}$ 组生存率计算表

序号 i	时间(月) t_i	复发数 d_i	删失数 c_i	期初例数 n_i	复发概率 q_i	生存概率 p_i	生存率 $\hat{S}(t_i)$	标准误 $SE[\hat{S}(t_i)]$
(1)	(2)	(3)	(4)	(5)	(6)=(3)/(5)	(7)=1-(6)	(8)	(9)
1	10	1	0	15	0.067	0.933	0.933	0.064
2	10 ⁺	0	1	14	0.000	1.000	0.933	0.064
3	13	1	0	13	0.077	0.923	0.862	0.091
4	18	1	0	12	0.083	0.917	0.790	0.108
5	25 ⁺	0	1	11	0.000	1.000	0.790	0.108
6	29	1	0	10	0.100	0.900	0.711	0.123
7	30	1	0	9	0.111	0.889	0.632	0.132
8	33	1	0	8	0.125	0.875	0.553	0.137
9	46	1	0	7	0.143	0.857	0.474	0.139
10	50 ⁺	0	1	6	0.000	1.000	0.474	0.139
11	54	1	0	5	0.200	0.800	0.379	0.140
12	68 ⁺	0	1	4	0.000	1.000	0.379	0.140
13	71	1	0	3	0.333	0.667	0.253	0.139
14	88 ⁺	0	1	2	0.000	1.000	0.253	0.139
15	95 ⁺	0	1	1	0.000	1.000	0.253	0.139

(三) 绘制生存曲线

以随访时间为横轴, 生存率为纵轴, 将各个时间点所对应的生存率连接起来的一条曲线即为生存曲线。Kaplan-Meier 法对所有死亡时点估计生存率, 其生存率曲线呈阶梯式的变化。曲线高、下降平缓表示高生存率或较长生存期; 曲线低、下降陡峭表示低生存率或较短生存期。图 14-2 为肿瘤小于或等于 2cm 和肿瘤大于 5cm 组(计算表略)的生存曲线, 结果显示前者的生存率高于后者。

生存曲线纵轴生存率为 50% 时, 所对应横轴生存时间即半数生存期。从图 14-2 中可以直观地看出肿瘤大于 5cm 组的半数生存期大约为 23 个月。

图 14-2 乳腺肿瘤 $\leq 2\text{cm}$ 和乳腺肿瘤 $> 5\text{cm}$ 组生存曲线

二、生存率的比较

两组或多组生存率比较是生存分析的主要内容之一。生存率组间比较实际上是两条或多条生存曲线的比较。生存率的假设检验方法有参数法和非参数法两类,非参数法对资料的分布没有要求,使用范围较广,以下主要介绍非参数法中的 log-rank 检验和 Breslow 检验两种方法。

(一) log-rank 检验

log-rank 检验又称 Mantel-Cox 检验,其基本思想是,当检验假设 H_0 (即比较组间生存率相同)成立时,根据在各个时刻尚存活的患者数和实际死亡数计算理论死亡数,然后将各组实际死亡数与理论死亡数进行比较,其检验统计量为

$$\chi^2 = \frac{[\sum d_{ki} - \sum T_{ki}]^2}{\sum V_{ki}}, k=1, 2, \dots, g \quad (14-8)$$

式中 d_{ki} 和 T_{ki} 为各组在时间 t_i 上的实际死亡数和理论死亡数, g 为组数, $T_{ki} = n_{ki}d_i/n_i$, 第 k 组的方差估计值为

$$V_{ki} = \frac{n_{ki}}{n_i} \left(1 - \frac{n_{ki}}{n_i}\right) \left(\frac{n_i - d_i}{n_i - 1}\right) d_i \quad (14-9)$$

检验统计量 χ^2 近似服从自由度 $\nu = g - 1$ 的 χ^2 分布。当各组生存率相同时(H_0 为真), 实际死亡数和理论死亡数较接近, 则 χ^2 值较小, 可按相应自由度查 χ^2 界值表得到 P 值, 作出推断结论。

例 14-3 根据例 14-2 资料, 试比较两种不同肿瘤直径患者术后的生存率有无差别?

分析步骤如下:

1. 建立检验假设, 确定检验水准

$H_0: S_1(t) = S_2(t)$, 即两种不同肿瘤直径的患者术后生存曲线相同

$H_1: S_1(t) \neq S_2(t)$, 即两种不同肿瘤直径的患者术后生存曲线不同

$\alpha = 0.05$

2. 计算统计量 χ^2 值

(1) 时间排序: 将两组生存时间混合后由小到大统一排序, 对删失数据的处理同前。 n_{1i} 、 n_{2i} 分别表示两组观察患者数, $n_i = n_{1i} + n_{2i}$; d_{1i} 、 d_{2i} 分别表示两组在不同时间点上的复发数, $d_i = d_{1i} + d_{2i}$; c_{1i} 、 c_{2i} 分别表示两组在不同时间点上的截尾例数。计算结果列于表 14-3 中。

(2) 计算理论数及其方差: 在 H_0 成立的条件下, 计算各组理论(期望)复发数及其方差。如生存时间为 5 个月时, 肿瘤 $\leq 2\text{cm}$ 组的观察人数为 15, 两组合计观察人数及复发人数分别为 36

表 14-3 两种肿瘤直径患者术后生存曲线比较的 log-rank 检验计算表

序号 <i>i</i> (1)	时间(月) <i>t_i</i> (2)	肿瘤≤2cm组					肿瘤>5cm组					合计	
		<i>n_{1i}</i> (3)	<i>d_{1i}</i> (4)	<i>c_{1i}</i> (5)	<i>T_{1i}</i> (6)	<i>V_{1i}</i> (7)	<i>n_{2i}</i> (8)	<i>d_{2i}</i> (9)	<i>c_{2i}</i> (10)	<i>T_{2i}</i> (11)	<i>V_{2i}</i> (12)	<i>n_i</i> (13)	<i>d_i</i> (14)
1	5	15	0	0	0.417	0.243	21	1	0	0.583	0.243	36	1
2	9	15	0	0	0.429	0.245	20	1	0	0.571	0.245	35	1
3	10	15	1	0	0.441	0.247	19	0	0	0.559	0.247	34	1
4	10	14	0	1	0.000	0.000	19	0	0	0.000	0.000	33	0
5	13	13	1	0	0.813	0.467	19	1	0	1.188	0.467	32	2
6	14	12	0	0	0.800	0.463	18	2	0	1.200	0.463	30	2
7	15	12	0	0	0.429	0.245	16	1	0	0.571	0.245	28	1
8	18	12	1	0	0.444	0.247	15	0	0	0.556	0.247	27	1
9	19	11	0	0	0.423	0.244	15	1	0	0.577	0.244	26	1
10	20	11	0	0	0.440	0.246	14	1	0	0.560	0.246	25	1
11	21	11	0	0	0.458	0.248	13	1	0	0.542	0.248	24	1
12	22	11	0	0	0.478	0.250	12	1	0	0.522	0.250	23	1
13	24	11	0	0	0.500	0.250	11	1	0	0.500	0.250	22	1
14	25	11	0	1	0.524	0.249	10	1	0	0.476	0.249	21	1
15	26	10	0	0	0.526	0.249	9	1	0	0.474	0.249	19	1
16	27	10	0	0	0.556	0.247	8	1	0	0.444	0.247	18	1
17	28	10	0	0	0.588	0.242	7	1	0	0.412	0.242	17	1
18	29	10	1	0	0.625	0.234	6	0	0	0.375	0.234	16	1
19	30	9	1	0	0.600	0.240	6	0	0	0.400	0.240	15	1
20	32	8	0	0	0.571	0.245	6	1	0	0.429	0.245	14	1
21	33	8	1	0	0.615	0.237	5	0	0	0.385	0.237	13	1
22	46	7	1	0	0.583	0.243	5	0	0	0.417	0.243	12	1
23	47	6	0	0	0.545	0.248	5	1	0	0.455	0.248	11	1
24	50	6	0	1	0.000	0.000	4	0	0	0.000	0.000	10	0
25	52	5	0	0	0.556	0.247	4	1	0	0.444	0.247	9	1
26	54	5	1	0	1.250	0.402	3	1	0	0.750	0.402	8	2
27	60	4	0	0	0.667	0.222	2	1	0	0.333	0.222	6	1
28	68	4	0	1	0.000	0.000	1	0	0	0.000	0.000	5	0
29	71	3	1	0	0.750	0.188	1	0	0	0.250	0.188	4	1
30	86	2	0	0	0.667	0.222	1	1	0	0.333	0.222	3	1
31	88	2	0	1	0.000	0.000	0	0	0	0.000	0.000	2	0
32	95	1	0	1	0.000	0.000	0	0	0	0.000	0.000	1	0
合计	—	—	9	6	15.695	7.110	—	21	0	14.305	7.110	—	30

和 1, 则其理论复发数和方差为

$$T_{11} = \frac{15 \times 1}{36} = 0.417, V_{11} = \frac{15}{36} \times \left(1 - \frac{15}{36}\right) \times \left(\frac{36-1}{36-1}\right) \times 1 = 0.243$$

肿瘤 > 5cm 组的理论复发数和方差为

$$T_{21} = \frac{21 \times 1}{36} = 0.583, V_{21} = \frac{21}{36} \times \left(1 - \frac{21}{36}\right) \times \left(\frac{36-1}{36-1}\right) \times 1 = 0.243$$

其余类推, 结果见表 14-3 的第(6)、(7)和(11)、(12)栏。

(3) 计算统计量: 由表 14-3 中两组总的实际复发数和理论复发数以及总的方差估计值, 根据式(14-8), 按肿瘤 $\leq 2\text{cm}$ 组计算得到统计量为

$$\chi^2 = \frac{(9 - 15.695)^2}{7.110} = 6.304$$

同理, 或按肿瘤 $> 5\text{cm}$ 组计算可得

$$\chi^2 = \frac{(21 - 14.305)^2}{7.110} = 6.304$$

3. 确定概率, 作出统计推论 查 χ^2 界值表(附表7)得 $\chi_{0.05, 1}^2 = 3.84$, $P < 0.05$, 按 $\alpha = 0.05$ 水准, 拒绝 H_0 , 接受 H_1 , 可认为两条生存曲线不同, 肿瘤直径 $\leq 2\text{cm}$ 患者的生存率高于肿瘤直径 $> 5\text{cm}$ 患者。

(二) Breslow 检验

Breslow 检验又称广义 Wilcoxon 检验或 Gehan 比分检验, χ^2 统计量计算公式为

$$\chi^2 = \frac{[\sum w_i d_{ki} - \sum w_i T_{ki}]^2}{\sum w_i^2 V_{ki}}, k=1, 2, \dots, g \quad (14-10)$$

式中 d_{ki} 、 T_{ki} 和 V_{ki} 意义同前, g 为组数, w_i 为权重, Breslow 检验取 $w_i = n_i$ ($w_i = 1$ 时为 log-rank 检验)。在 H_0 成立的条件下, 检验统计量 χ^2 近似服从自由度为 $\nu = g - 1$ 的 χ^2 分布。如对例 14-2 资料采用 Breslow 检验, $\chi^2 = 4.462$, $P < 0.05$, 结论同 log-rank 检验。

由于 n_i 随生存时间逐渐减小, 所以 Breslow 检验给组间死亡的近期差别更大的权重, 而 log-rank 检验给组间死亡的远期差别更大的权重, 即前者对近期差异敏感, 而后者对远期差异敏感。另外, 需要注意: 两种方法的应用条件相同, 即各组生存曲线呈比例风险关系, 生存曲线不能有交叉。通常情况, 在生存曲线有交叉时, 不适合做生存曲线的整体比较。

第三节 多变量 Cox 回归分析

前述方法属于单变量生存分析方法。在多变量分析情况下, 由于生存分析中的应变量需要同时考虑生存结局和生存时间, 而生存时间不服从正态分布, 同时可能含有截尾数据, 因此多元线性回归和 logistic 回归都不适合对生存数据进行多因素分析。对此可以使用 Cox 比例风险回归模型(Cox proportional hazards regression model, PHREG), 简称 Cox 模型。这一模型由英国统计学家 D.R.Cox 于 1972 年提出, 在医学多变量生存分析中得到广泛的应用。

一、Cox 回归模型

(一) 模型的基本形式

Cox 回归模型可以表示为

$$h(t, X) = h_0(t) \exp(\beta_1 X_1 + \beta_2 X_2 + \dots + \beta_m X_m) \quad (14-11)$$

其中 $h(t, X)$ 为观察对象生存到 t 时刻的风险函数; $X = (X_1, X_2, \dots, X_m)$ 是可能与生存时间有关的 m 个自变量; $h_0(t)$ 为 $X_1 = X_2 = \dots = X_m = 0$ 时在 t 时刻的风险函数, 称为基础风险函数; $\beta = (\beta_1, \beta_2, \dots, \beta_m)$ 为 Cox 模型的回归系数, 是一组待估计的参数。

(二) 模型参数解释及相对危险度计算

Cox 模型经过简单变换, 可以写成

$$\ln \left(\frac{h(t, X)}{h_0(t)} \right) = \beta_1 X_1 + \beta_2 X_2 + \dots + \beta_m X_m \quad (14-12)$$

Cox 模型回归系数 $\beta_j (j=1, 2, \dots, m)$ 表示当因素 X_j 改变一个单位时 $\ln[h(t, X)/h_0(t)]$ 的改变量, 它与衡量危险因素作用大小的风险比 (hazard ratio, HR) 有一个对应的关系。

设自变量 X_j 的两个不同取值为 $X_j=c_1$ 和 $X_j=c_0$, 假定其他因素的水平相同, 两个不同暴露水平 $X_j=c_1$ 和 $X_j=c_0$ 下的风险比 HR_j 的自然对数为

$$\begin{aligned} \ln HR_j &= \ln \left[\frac{h(t, X)}{h(t, X^*)} \right] = \ln \left[\frac{h(t, X)/h_0(t)}{h(t, X^*)/h_0(t)} \right] \\ &= \left(\beta_j c_1 + \sum_{i \neq j}^m \beta_i X_i \right) - \left(\beta_j c_0 + \sum_{i \neq j}^m \beta_i X_i \right) \\ &= \beta_j (c_1 - c_0) \end{aligned} \quad (14-13)$$

X^* 表示另外一组自变量取值。取反对数后可得

$$HR_j = \exp[\beta_j (c_1 - c_0)] \quad (14-14)$$

特殊地, 如果 X_j 赋值为 1 或 0, 分别表示暴露和非暴露两个水平, 则其风险比为

$$HR_j = \exp(\beta_j) \quad (14-15)$$

当 $\beta_j=0$ 时, $HR_j=1$, 说明 X_j 对生存时间不起作用; 当 $\beta_j>0$ 时, $HR_j>1$, 说明 X_j 是一个危险因素; 当 $\beta_j<0$ 时, $HR_j<1$, 说明 X_j 是一个保护因素。在具体研究中可结合 X_j 所代表的因素对其做出恰当的解释。

现举一个简单例子说明。乳腺癌患者手术后是否复发的时间与是否化疗有关, 以 $X=1$ 表示接受化疗, $X=0$ 表示未进行化疗, 得到 X 的回归系数 $\beta=-0.380$, 则接受化疗患者的风险为

$$h_1(t) = h_0(t) \exp(\beta x) = h_0(t) \exp(-0.380 \times 1) = 0.68 h_0(t)$$

未进行化疗患者的风险为

$$h_2(t) = h_0(t) \exp(\beta x) = h_0(t) \exp(-0.380 \times 0) = h_0(t)$$

两者的风险比为

$$HR = \frac{h(t, X=1)}{h(t, X=0)} = \exp(-0.38) = 0.68$$

即接受化疗的患者其复发风险是未进行化疗患者的 0.68 倍, 或未进行化疗的患者其复发风险是接受化疗患者的 1.47 倍。

二、模型的参数估计及其假设检验

由于式(14-11)对 $h_0(t)$ 未作任何假定, 所以不能用普通的最大似然法来估计回归系数 β , 对此可以构造偏似然函数 (partial likelihood function), 并引用最大似然法进行估计。

参数检验的零假设为 $H_0: \beta_j=0$ 。与 logistic 回归相似, Cox 回归常用的检验方法有似然比检验、Wald 检验和 Score 计分检验。三种检验方法均为 χ^2 检验, 自由度为模型中待检验的参数个数。具体检验方法及变量筛选过程参见第十三章。

三、应用实例

例 14-4 为探讨乳腺癌患者手术治疗的预后, 某研究者收集了 68 例患者的生存时间、生存结局及影响因素。影响因素包括患者年龄、病理分型、淋巴结转移、肿瘤大小、化疗、绝经, 生存时间以月为单位。变量的赋值和收集的相应资料分别见表 14-4 和表 14-5。

对表 14-5 数据, 取 $\alpha_{\text{引入}}=0.05$, $\alpha_{\text{剔除}}=0.10$, 经逐步选择法对 6 个变量进行筛选, Cox 回归分析结果见表 14-6。

表 14-4 乳腺癌手术治疗的预后影响因素及赋值

因素	变量名	赋值说明
年龄	X_1	(岁)
病理分型	X_2	非浸润型=0, 浸润型=1
淋巴结转移	X_3	否=0, 是=1
肿瘤大小	X_4	$\leq 2\text{cm}=0, 3\sim 5\text{cm}=1, > 5\text{cm}=2$
化疗	X_5	否=0, 是=1
绝经	X_6	否=0, 是=1
生存时间	t	(月)
生存结局	Y	删失=0, 复发=1

表 14-5 68 例乳腺癌患者手术后的生存时间(月)及影响因素

No.	X_1	X_2	X_3	X_4	X_5	X_6	t	Y
1	56	1	0	2	1	1	9	0
2	32	1	1	1	1	0	25	0
3	81	0	0	1	0	1	39	0
4	35	0	1	1	1	0	6	0
5	41	1	1	3	0	0	13	1
6	52	1	1	3	1	0	26	1
7	49	1	0	2	1	0	86	1
...
65	46	1	1	2	0	0	2	1
66	55	1	1	3	1	1	3	0
67	33	1	0	1	1	0	20	0
68	64	1	0	3	1	1	28	1

注:完整数据见网络增值服务

表 14-6 68 例乳腺癌患者 Cox 回归分析结果

变量	$\hat{\beta}$	$SE(\hat{\beta})$	Wald χ^2	P	HR	95%CI(HR)
X_3	1.550	0.518	8.944	0.003	4.711	(1.706, 13.008)
X_4	0.959	0.297	10.434	0.001	2.609	(1.458, 4.668)

分析结果显示,淋巴结转移和肿瘤大小的回归系数均为正值,说明它们是影响乳腺癌患者术后复发的危险因素。在肿瘤大小保持不变的情况下,有淋巴结转移者的复发风险是无淋巴结转移者的 4.711 倍;同样,在淋巴结转移保持不变的情况下,肿瘤大小每增加一级,复发风险增加 2.609 倍。

四、注意事项

1. 在研究设计时,应根据研究目的明确规定所研究生存时间的终点事件和起始事件,由于终点事件和起始事件是相对的,所以,一旦确定,则不能在研究过程中随意改变它们。

2. 研究的样本含量一般在 40 例以上;当协变量增加时也应适当增加,要求样本含量为观察协变量的 5~20 倍;两组资料比较时,最好两组例数基本一致。在随访观察时,要尽量避免观察对象的失访,截尾数据过多容易造成研究结果的偏倚。

3. 进行 Cox 回归分析时,要求资料满足比例风险恒定假定,若资料不满足此假设,说明某些危险因素的作用强度随时间而变化,使得相对风险函数也随时间而改变。检验这一假定条件的

方法可以根据变量分组的 Kaplan-Meier 生存曲线是否交叉进行判断。如果数据不满足比例风险的假定,则需要采用时变(time-dependent)协变量模型或非比例风险模型(non-proportional hazard model)进行分析,具体内容可以参考有关书籍。

4. Cox 分析结果中的偏回归系数不能直接用于比较不同因素的影响大小,需通过标准化回归系数进行比较,一般的统计软件能够直接给出其估计值。

练习题

一、单项选择题

- 进行生存分析时,不属于截尾数据的是()
 - 随访期内死于本病者
 - 随访期内死于其他病因者
 - 随访结束时仍存活着者
 - 随访期内找不到者
 - 随访期内拒绝应答者
- 生存分析中的生存时间是()
 - 观察开始至终止的时间
 - 观察开始至失访的时间
 - 出院至失访的时间
 - 观察起点到终点事件出现的时间
 - 确诊至失访的时间
- 生存分析中,描述生存时间的集中趋势宜用的指标是()
 - 算术平均数
 - 几何均数
 - 中位数
 - 百分位数
 - 众数
- 不宜作生存分析的情况是()
 - 女性乳腺癌患者手术之后的存活时间
 - 患者胃出血的持续时间
 - 患者确诊肝炎后肝功能异常的持续时间
 - 观察起点到终点事件出现的时间
 - 妇女节育器在宫内保存的有效时间
- 生存曲线下下降的坡度越陡,表示的是()
 - 生存概率越大
 - 生存时间越长
 - 生存时间越短
 - 与生存时间无关
 - 生存率越提高越明显
- Cox 回归的应变量是()
 - 生存时间
 - 结局变量
 - 生存时间和结局变量
 - 生存率
 - 死亡概率
- Kaplan-Meier 法属于()
 - 参数法
 - 非参数法
 - 半参数法
 - 回归分析法
 - 相关分析法
- log-rank 检验法属于()
 - 参数法
 - 非参数法
 - 半参数法
 - Cox 回归法
 - Breslow 检验法

9. 风险比 HR 指的是()

- A. 两种不同条件下死亡概率之比
B. 两种不同条件下生存概率之比
C. 两种不同条件的危险率函数之比
D. 死亡率与生存率之比
E. 死亡概率与生存概率之比

10. Cox 回归模型中的回归系数表示的意义是()

- A. 模型预测能力大小
B. 危险因素相对作用大小
C. 自变量能够解释应变量的百分比
D. 自变量不同取值出现结局的风险比
E. 一组自变量取值时出现结局的风险

二、计算与分析

1. 用某中药结合化疗(中西治疗组)和化疗组(对照组)两种疗法治疗某种恶性肿瘤后,随访记录各观察对象的生存时间(月)如下,“+”表示删失数据,试用 K-M 法估计两种疗法的生存率,并比较两组疗法生存率是否有差别?

中药组 10 2⁺ 12⁺ 13 18 6⁺ 19⁺ 26 9⁺ 8 6⁺ 43⁺ 9 4 31 24

对照组 2⁺ 13 7⁺ 11⁺ 6 1 11 3 17 7

2. 某研究者拟研究影响卵巢癌患者术后生存时间的有关因素。观察了 26 名卵巢癌患者,记录的观测指标及观测值如下表,试进行 Cox 回归分析。

各指标数据赋值表

指标	含义	赋值或单位
X_1	年龄	岁
X_2	细胞分化程度	1=高分化 2=中分化 3=低分化
X_3	淋巴细胞浸润程度	1=Ⅰ级 2=Ⅱ级 3=Ⅲ级
X_4	手术病灶残留量	cm
t	生存时间	月
Y	生存结局	0=删失 1=死亡

26 名卵巢癌患者生存时间及观察数据

编号	X_1	X_2	X_3	X_4	t	Y
1	67	2	3	8.4	1	1
2	50	3	3	5.5	3	1
3	60	1	3	2.3	5	1
4	53	2	3	5.1	8	1
5	47	2	3	13.7	10	1
6	48	3	3	9.3	12	1
7	56	3	3	33.3	13	1
8	50	3	3	5.9	15	1
9	43	3	3	4.6	15	1
10	61	2	3	19.2	15	1
11	46	3	3	4.1	17	1
12	54	3	3	3.2	19	1
13	63	3	1	3.9	24	1
14	42	3	3	4.8	24	1

						续表	
编号	X_1	X_2	X_3	X_4	t	Y	
15	32	2	3	9.8	25	1	
16	61	3	2	11.6	33	1	
17	45	2	3	29.5	36	1	
18	23	2	1	9.9	36	1	
19	43	3	1	8.4	43	1	
20	44	2	3	9.2	44	1	
21	56	3	2	8.9	46	1	
22	29	2	3	19.8	69	1	
23	59	1	3	10.6	70	1	
24	67	1	1	14.9	83	1	
25	60	1	1	13.1	83	1	
26	57	2	1	16.3	156	0	

(方 亚)



第十五章 实验设计与临床试验设计

医学研究中,无论是临床试验还是动物实验,都需要根据研究目的,制定研究方案,进行科学合理的设计。周密的研究设计,既能够节省人力、物力、财力和时间,又能够使研究因素的效应得以充分体现,获得准确、客观的结果,得出科学的结论。本章着重介绍实验设计的三要素和三原则,同时介绍临床试验设计及统计分析方法。

第一节 实验设计的三要素

实验设计(experimental design)是指研究者根据研究目的和条件,结合统计学要求,合理安排各种实验因素,严格控制实验误差,最大限度地获得丰富而可靠的数据。实验性研究包括动物实验和临床试验,通常情况下,直接对人体进行的研究称为试验(trial)。实验研究的基本要素包括研究对象、处理因素和实验效应三个部分。

一、研究对象

研究对象(study subject)是指根据研究目的而确定的观察总体,也称为受试对象或实验对象(experimental subject)。研究对象可以选择动物或人,也可以是组织、细胞等,无论选择什么,在实验开始前必须对研究对象的条件做出严格的规定,以保证其同质性。

1. 研究对象应具有明确的纳入标准和排除标准 在医学研究中,首先根据研究目的确定研究对象,并且对研究对象的条件作严格的规定,即制定严格的纳入标准和排除标准,以保证其同质性。如动物实验时,需要考虑动物的种属和品系,同时还要注意性别、体重和窝别等,使其具有可比性,因为这些条件可能影响实验结果。进行临床试验时,应根据研究目的拟定严格的纳入排除标准,如临床诊断、病情、年龄、是否有其他疾病等,对受试对象进行筛选,确保研究顺利进行。

2. 选择对处理因素敏感性强的研究对象 如研究致畸作用常选择大鼠。临床试验中,如研究某新药对冠心病患者心律失常的疗效,应选择心律失常经常发作的冠心病患者作为研究对象,而排除偶然发作的短暂心律失常的患者,因为他们在观察期内对该药的治疗很可能没有反应。

3. 选择依从性好的患者作为研究对象 临床试验要选择那些能够服从试验安排并坚持合作的患者;否则,若不依从的数量较大,就会影响研究结果的准确性,导致研究结果出现偏倚。

4. 注意医学伦理学问题 研究者应以患者的利益为最高准则,由受试者或其法定代理人在知情同意书上签字并注明日期,执行知情同意过程的研究者或其代表也需在知情同意书上签名并注明日期。在执行过程中,当科研与治疗发生冲突时,要服从医疗上的需要,这样做才符合医学伦理学要求。在动物实验中,也要注意善待动物。

二、处理因素

处理因素(treatment)又称研究因素(study factor),是指根据研究目的而施加于研究对象的干预措施,如研究某降压药的效果,降压药是处理因素,高血压患者为研究对象。处理因素在实验中所处的状态称为因素的水平(level),亦称处理水平。如比较某降脂药三组不同剂量及安慰剂对照的降脂效果,该研究只有一个处理因素,共有4个不同水平,包括3个剂量和1个安慰剂。

在实验过程中,除处理因素外也能使受试对象产生效应的因素属于“非处理因素”,每一项医学实验研究都可能受到非处理因素的影响。由于它可能干扰处理因素与效应间的关系,成为“混杂因素”,在进行实验之前,研究者有必要经过周密的思考,做出合理的实验设计来控制这些非处理因素,以排除非处理因素对处理因素的干扰。有时,即使设计时能够考虑到这些非处理因素,但实践中对这些非处理因素很难加以严格控制,其实验结果仍不免会受到影响,对此可以用统计学方法加以分析和校正,分离出非处理因素对实验结果的作用,发现真正的实验效应,做出客观的结论,但统计学方法对非处理因素的校正作用是有限的,不能忽视严格的实验设计。

在确定处理因素时,需注意以下两点:

1. 处理因素要标准化 处理因素在整个实验过程中应始终保持不变。在设计中应将处理因素的实施方法规定得具体、细致。其目的是使处理因素在实验过程中保持稳定,有利于分析处理因素与实验结果之间的关系。例如,应明确给出受试对象的处理次数、每次的剂量,对化学试剂应规定试剂的生产单位、批号、纯度和配制规范;观察药物疗效应具体规定采集病人尿、血样本的时间及间隔等。在新药临床试验中,药物要固定生产厂家,药物成分、性质、批号、剂量应一致,保存方法应相同;在评价手术疗效时,要求手术操作者的熟练程度自始至终保持恒定,否则将会对实验结果产生影响。

2. 明确处理因素和非处理因素 处理因素是根据研究目的而确定的。实验中的处理因素不宜过多,非处理因素在对照组中要保持均衡,找出重要的非处理因素,加以控制,这样才能排除非处理因素的可能混杂与干扰作用,突出处理因素的主要作用,使处理因素的效应得以分离,保证医学实验研究的成功。

三、实验效应

实验效应(experimental effect)是处理因素作用于受试对象产生的反应和结果,通过具体的观察指标来表达。如果指标选择不当,未能准确地反映处理因素的作用,所获得的研究结果就缺乏科学性,因此选择恰当的观察指标是关系研究成败的重要环节。

1. 主观指标和客观指标 选用的指标要尽量客观,客观指标不易受主观因素影响。如电生理以及大多数临床化验数据(如血糖、甘油三酯、胆固醇等)都是客观指标,如果研究的指标是通过研究对象回答或描述症状得到,以及研究人员自行判断或医生通过体征检查的项目,一般都属于主观指标。主观指标易受研究对象和研究人员的心理状态、启发暗示和感官差异的影响,在实验设计中应尽量不作为主要指标。在实验设计中,若一定要采用主观指标,就必须采取措施以减少或消除主观因素的影响。如评价镇痛药物的效果,需要借助病人疼痛程度的主观描述加以反映,可以采用一定的措施来量化主观指标,如借助疼痛测量尺,尺的正面为微笑符号(不痛)到悲伤符号(非常痛),在两者之间设置游标,面向受试对象,让其根据疼痛感觉划动游标,选择两个等级之间的某个位置;而尺的背面为0~10的评分,反映疼痛由轻到重的等级,面向测试者,根据病人所划动的游标位置进行记录,由此采用统一的标准,将病人的主观疼痛感觉量化,减少病人的主观影响。

2. 选择灵敏度和特异度高的指标 灵敏度是指某处理因素存在时,所选指标能够反映处理因素的效应程度,即反映指标检出真阳性的能力。灵敏度高的指标可以减少假阴性率,而灵敏度低的指标不能充分地反映处理因素的作用,如治疗慢性脂肪肝选用谷丙转氨酶、谷草转氨酶作为疗效指标就不敏感,因为这些指标都是急性指标,并不是所有慢性脂肪肝患者这些指标都表现为异常,而B超或CT影像则随病情的变化而变化,可以较敏锐地反映出治疗的作用。特异度是指某处理因素不存在时所选指标不显示处理效应的程度,即反映指标鉴别真阴性的能力。特异性高的指标能较好地揭示处理因素的作用,不易受混杂因素的干扰,可减少实验结果

的假阳性率,如乙型肝炎抗病毒治疗中,研究的主要指标为HBV-DNA,其值小于 10^2 (IU/ml)即为阴性,表明乙肝病毒处于低复制状态。因此,所选指标最好同时具有较高的灵敏度与特异度。

3. 观察指标的准确度和精密度 准确度(accuracy)是指研究结果与相应测定事物真实情况符合或接近的程度,主要受系统误差的影响。精密度(precision)是指相同条件下对同一对象的某项指标进行重复测量时,观测值与其均值的接近程度,主要受随机因素的影响。精密度有两重含义:一是仪器设备本身具有的精度,另一种是指在反复测试过程中应控制的精度,它可以通过制定操作规范和技术培训进行控制。无论是准确度还是精密度,其水平高低都显示了研究工作质量的好坏,一般要将其控制在专业规定的容许范围内。

第二节 实验设计的三原则

在医学实验研究中,由于存在各种非处理因素的干扰,可能使实验结果产生偏倚。为了减少偏倚,研究设计时,必须遵循实验设计的基本统计原则,即对照原则、随机化原则和重复原则。

一、对照原则

对照(control)是指在实验中应设立对照组,其目的是通过与对照组效应对比鉴别出实验组的效应大小。只有设立了对照组,才能消除非处理因素对实验结果的影响,从而使处理因素的效应得以体现。处理因素的效应大小,是通过与对照组对比所得到的差别显现。临床有很多疾病,如感冒、慢性气管炎、关节酸痛和早期高血压等疾病不经药物治疗,也会自愈或随着季节变化而缓解,因此必须设立对照组。医学研究中常用的对照组形式主要有以下几种,应该根据研究目的和研究条件等因素的不同,选择适当的对照形式。

1. 空白对照 空白对照(blank control)指对照组不给予任何处理。该对照形式反映了研究对象在实验过程中的自然变化。如研究某药物的抑瘤效果,将大白鼠染瘤后,实验组大白鼠的饲料中投放该药物,对照组大白鼠的饲料中不投放。由于空白对照容易引起实验组和对照组受试对象的心理差异,从而影响实验效果的测定,因此,临床试验一般不宜使用空白对照。

2. 安慰剂对照 安慰剂对照(placebo control)指对照组使用一种不含药物有效成分的“伪药物”,即安慰剂(placebo),其外观、气味、剂型和处置上均与实验药物相同,不能为受试对象所识别,常用于临床试验。使用安慰剂的目的在于克服研究者、受试者、参与疗效和安全性评价的工作人员由于心理因素所造成的偏倚,有助于防止对照组的病人产生与试验组的病人不同的心理,使用时要注意保密。设置安慰剂对照可以消除疾病自然进展的影响,并分离出由于试验药物所引起的不良反应,是金标准的对照形式。需要注意的是,安慰剂中不含药物的有效成分,相当于未对患者采取有效的治疗,可能存在医学伦理学问题,需持慎重态度。

3. 标准对照 对照组采用现有标准方法或常规方法,或不专门设立对照组,而以标准值或正常值作为对照,对此称为标准对照(standard control)。例如,在新药临床试验中,对照组采用目前疗效明确的某种药物(代表当时疗法的水平),试验组患者采用某种新药,目前疗效明确的药物组就是标准对照组。

4. 实验对照 对照组不施加感兴趣的处理,但施加某些有关的实验因素。实验对照(experimental control)常用于有刺激、有损伤的动物实验,如假注射、假手术等,其目的是使两组动物所受到的刺激、损伤相同,以避免施加处理的方式可能对动物产生的影响。如研究某种注射剂的效果,实验组动物注射该制剂,而对照组动物注射无药理作用的生理盐水,使两组动物均接受注射,接受的刺激与损伤保持一致。

5. 自身对照 自身对照(self-control)是指对照与实验在同一受试者身上进行,可以是同一受试者不同处理前后,也可以是不同身体位置。如选用双下肢烧伤程度相同的病人,一侧采用

阳性药物,另一侧采用试验药物,从而避免个体差异引起的误差。

6. 相互对照 相互对照(mutual control)指各实验组之间互为对照。例如,比较几种不同药物或同一种药物不同剂量对某种疾病的疗效,目的是比较其疗效差别时,可以使用相互对照。

7. 历史对照 历史对照(historical control)不专门设立对照组,而是以过去的研究结果作为对照,如晚期肝癌以往的治愈率接近为0,若研发的某种新药,临床医生用该药治愈了几例该癌症患者,在此药物试验中,尽管未专门设立对照组,而潜在的无治愈的病例作为对照。一般情况除了难以治疗的疾病外,一般不宜提倡该对照。因为历史资料与现存数据可能存在不可比的问题。

需要注意的是,通常不宜仅设立一个处理组,并对该组受试对象用药前后的情况进行对比,即自身前后对照设计。特别是对有短期自愈倾向或周期性发作倾向的疾病,实验前后的某些因素可能发生变化,时间、环境等均可能很大程度上影响到实验结果,难以反映药物的真实效应。如果需要考察服药前后的变化,通常要同时设立一个平行对照组,观察其处理前后的变化情况,将两组接受干预前后变化的差值进行比较,以控制非处理因素的影响。

二、随机化原则

随机化(randomization)是指每个受试对象有相同的概率或机会被分配到不同的处理组。随机不等于随意,如评价A、B两种药物的疗效,设置两个诊室,让病人随意选择诊室,进入1号诊室的服用A药,进入2号诊室的服用B药,表面上好像病人进入哪个诊室是随机的,但是,在病人选择诊室的过程中已经掺杂了主观性,如从众心理,可能大家都会倾向于选择就诊人数多的诊室。因此,这样的分组不仅违背了随机化的原则,还可能导致两个组别之间病人在年龄、性别、病情等方面不具有可比性,导致试验结果出现偏倚。

随机化分组可以使各处理组的受试对象具有相近的特征,可比性好;避免研究者的主观因素对分组结果的影响;另外,随机化是所有统计方法的理论基础,非随机样本进行比较时得到的推断结果其可信度往往值得怀疑。

随机化分组主要通过随机数(random number)来实现。常用方法有两种,即由随机数字表(table of random number)和由计算机程序产生随机数。各种统计软件如SAS、SPSS等,以及常用的办公软件如Excel,均可以产生随机数。当采用统计软件生成随机数时,可设置种子数使得所产生的随机数能够再次生成,即具有重现性,这是目前使用较多的产生随机数的方法。

举例,见表15-1,将20位受试者随机分配到两组中。左起第二列为随机数,由SPSS产生(取均匀分布的随机数,种子数为2013,可重现);第三列为对第二列随机数编秩,遇相同数可以

表 15-1 随机分配 20 位受试者

顺序号	随机数	对随机数编秩号	组别	顺序号	随机数	对随机数编秩号	组别
1	7	11	2	11	6	9	1
2	16	15	2	12	11	13	2
3	17	17	2	13	18	18	2
4	4	3	1	14	6	7	1
5	5	4	1	15	10	12	2
6	4	2	1	16	6	8	1
7	1	1	1	17	16	14	2
8	7	10	1	18	17	16	2
9	5	6	1	19	5	5	1
10	20	20	2	20	19	19	2

顺序编;第四列为根据第三列的秩号分组,秩号 1~10 为第一组,秩号 11~20 为第二组。受试者可以根据入组顺序,依次进入对应的组别。如前三位受试者进入第二组,第四位至九位受试者进入第一组,第十位受试者进入第二组,依次类推,20 位受试者随机化入组完毕。

目前采用的随机化方法包括简单随机化、区组随机化、分层随机化、分层区组随机化和动态随机化等,近年来还出现了中央随机化的新方式,这些方法可以在简单随机化基础上进行,此处不再赘述。

三、重复原则

重复(replication)是指在相同实验条件下重复进行多次观察。重复是消除非处理因素影响的又一重要方法,表现为样本量的大小和重复次数的多少。由于各种影响因素的存在,不同研究对象对同一处理因素的反应不同,表现为其效应指标的数值不同,只有在大量重复实验的条件下,实验的效应才能反映其真正的客观规律性;反之,如果样本量不够,结果就不够稳定,得不到应有的结论。从统计学的角度讲,观察例数越多,根据样本计算的频率或平均数等统计量越接近总体参数。重复原则并非要求无限大的样本,样本量太大,工作量也大,增大人力物力的消耗,难于控制实验条件,影响研究的质量。样本量究竟需要多大,可以采用统计学方法进行计算,详见本章第四节。

第三节 临床试验设计及统计分析问题

临床试验(clinical trial)从研究的性质划分,属于实验性研究的范畴。临床试验设计也必须遵循实验设计的基本原理,其设计的基本要素也包括研究对象、处理因素和实验效应,同时必须遵循对照、随机化和重复的基本原则。但由于其研究对象为人,还应该考虑受试者的知情同意、心理因素、伦理道德等问题,因此临床试验的设计与分析具有特殊性,目前国际上对撰写临床随机对照试验(randomized controlled trial, RCT)报告提供了参考标准(附录 1)。本节以新药临床试验为例,针对其特殊性,简要介绍临床试验的设计及统计分析方法,其他临床研究亦可参照进行。

一、临床试验的特点及注意事项

1. 临床试验的分期 临床试验分 I~IV 期, I 期试验对象为少量志愿者,主要为耐受性试验和药代动力学试验。耐受性主要观察单次或多次给药的生命体征、实验室指标的异常变化和不良反应的发生情况,确定临床给药的安全范围;药代动力学主要观察药物在体内的分布、吸收与代谢的情况。II 期试验主要是探索适应症的类型、最适剂量以及研究价值。III 期试验是确证性研究,证实试验药物的疗效和安全性。IV 期试验则是上市后进行的试验。不同期别的临床试验所要求的样本含量和使用的统计学方法都有所不同。

2. 主要指标的确定 由于一个临床试验通常只有一个研究目的,因此,必须明确定义能够反映处理因素效应的主要观察指标,安全性也可以是主要指标。主要指标的选择应考虑相关领域已有的公认准则和标准,通常情况只选 1~2 个主要指标。主要指标是临床试验评价和样本含量估计的主要依据。

3. 设立合理的对照 因为研究对象是人,如何设立对照组必须慎重考虑,决不允许研究工作所设立的对照组对受试者的健康有所危害。在临床疗效的研究中,可以使用安慰剂对照,但要以保护受试者的根本利益为原则,有其严格的适用范围。如要评价一种新药对某型菌痢疗效如何,就不宜设立安慰剂对照。标准对照是临床试验通常采用的对照形式,即采用目前通用的治疗方法或疗效较好的常规阳性药物作为对照。

4. 对照的实施 为了避免研究者及受试者对不同组别产生的不同心理反应,通常需采用“盲法(blind method)”进行试验。盲法分双盲(double blind)和单盲(single blind)两种。所谓双盲是指研究者和受试者在整个试验过程中都不知道受试者所接受的是何种处理(试验药或对照药);单盲是指仅受试者处于盲态。盲法可以避免研究者和受试者对试验结果的人为干扰,是控制临床试验结果出现偏倚的重要措施。

5. 意向性分析的原则 意向性分析的原则(intention to treat principle, ITT)是指主要分析应包括所有随机化的受试者。ITT原则不管受试者随机化后是否违背方案、是否接受处理、是否有随机化后的观察结果、依从性好坏、是否完成治疗等,均纳入分析。根据意向性分析原则确定的数据集称为全分析集(full analysis set, FAS),基于全分析集的分析结果为主要分析结果。此外,还需确定符合方案集(per protocol set, 简称PPS),即符合试验方案,依从性好且完成试验过程的受试者集合。实际中需同时对FAS和PPS进行分析,如果两个结果不一致,下结论时需作出解释。

二、临床试验的设计类型

常用的临床试验设计类型有平行组设计、交叉设计、析因设计等。

(一) 平行组设计

平行组设计(parallel groups design)是最常用的临床试验设计类型,是指将受试者随机地分配到试验的各组,各组同时进行试验。平行组设计可设置一个或多个对照组,试验药也可设置多个剂量组。对照组可分为阳性或安慰剂对照,阳性对照一般选用针对所选适应症的当前公认的有效治疗药物,安慰剂的使用则必须符合医学伦理学要求。最简单的临床试验设计方法是设置一个试验组和一个对照组,称为双臂试验(two-arm trial)。有时设多个对照组,如设置一个安慰剂组和一个阳性对照组,称为三臂试验(three-arm trial)。设置多个试验组则常用来探索试验药物不同剂量的作用。

例 15-1 为评价吡格列酮治疗2型糖尿病的疗效和安全性,以磺酰脲类降糖药为阳性对照,进行多中心、随机、平行组设计临床试验,其设计格式如图15-1所示。

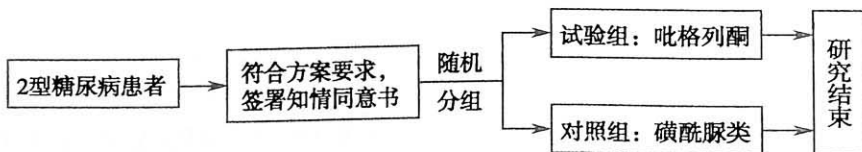


图 15-1 平行组设计示意图

平行组设计的主要特点:实施起来较为简单,可以将受试者不等比例地分配到各治疗组,但与其他设计类型相比,该设计通常需要更多的受试者。

(二) 交叉设计

交叉设计(cross-over design)是一种特殊的自身对照设计,是将自身比较和组间比较综合应用的一种设计方法,即每个受试者随机地在两个或多个不同试验阶段分别接受指定的处理(试验药或对照药)。例如,在一项用于治疗偏头痛的新药临床试验中,将每个受试者随机分配到AB或BA两个不同的试验顺序组中;AB顺序组的患者在第一阶段服用新药,在第二阶段服用安慰剂;而BA顺序组则相反,患者在第一阶段服用安慰剂,在第二阶段服用新药。

例 15-2 为评价两种降压药物A、B的作用,进行随机双盲交叉设计临床试验,其设计格式如图15-2所示。

交叉设计的主要优点:由于同一受试者接受多种处理,可以明显节省样本量;另外,该方法能够很好地控制个体间的差异和时间对处理因素的影响,试验效率比较高。主要缺点:同一个

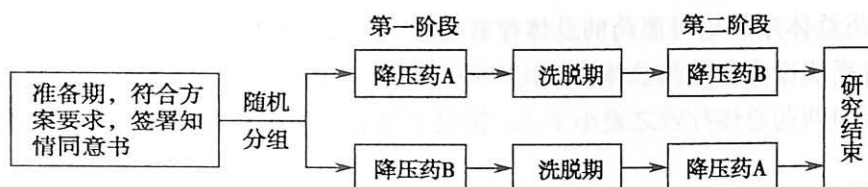


图 15-2 交叉设计示意图

受试者可能需要接受多种处理和经历多个洗脱期，从而使研究周期过长，如果受试者无法坚持到最后而退出试验，则造成数据缺失；另外，必须安排洗脱阶段，否则会直接影响对处理因素作用的正确评估。在临床上交叉设计多用于生物等效性研究、或者评价可以缓解症状但无根治作用药物的疗效，如治疗肿瘤化疗引起的呕吐、降血压等药物的疗效比较。

（三）析因设计

析因设计(factorial design)是一种多因素的不同水平进行的交叉分组试验设计，通过不同因素不同水平的组合，对两个或多个处理及其交互作用同时进行评价。例如，欲研究某中药复方治疗高胆固醇血症的效果，包括该中药复方中甲药和乙药对降低胆固醇的作用，以及甲药和乙药是否有交互作用。将高胆固醇患者完全随机地分配到四个处理组，用不同方法治疗：第一组用基础治疗(既不用甲药，也不用乙药)，第二组在基础疗法的基础上加用甲药，第三组在基础疗法的基础上加用乙药，第四组在基础疗法的基础上加用甲药和乙药，比较不同组别胆固醇降低量。这样不仅可推断处理因素(甲药、乙药)是否影响试验结果(胆固醇的降低量)，还可检验处理因素之间是否有交互作用。

在析因设计中，通常用数字表达式表示不同因素和水平数的设计，如 $2 \times 3 \times 2$ 析因设计表示有3个因素，第一个因素有2个水平，第二个因素有3个水平，第三个因素有2个水平。最简单的是 2×2 析因设计，即两因素两水平的析因设计。

析因设计是多因素的交叉分组试验设计，其主要特点是可以在一个试验中安排多个处理因素，同时分析多个因素的主效应和交互作用，并能够通过比较寻求不同因素和水平的最佳组合。其缺点是在因素或水平数较多的情况下，需要的试验组数和样本含量都比较大，临床上不容易实现。

三、临床试验的比较类型

一般统计检验的原假设是两组(或多组)总体参数相同，而备择假设为两组(或多组)总体参数间不同。在本书前面介绍的大部分内容都是这种检验，称为差异性检验。但临床试验中根据比较的目的不同、对照组的设置不同，比较的类型也有所不同，分为优效性(superiority)试验、等效性(equivalence)试验和非劣效性(non-inferiority)试验三种。

（一）优效性试验

检验一种药物是否优于安慰剂或另一种药物的试验，称为优效性试验。优效性试验的原假设为试验药总体疗效小于或等于对照药的总体疗效，而备择假设为试验药总体疗效比对照药好。拒绝了原假设即可得出试验药比对照药优效的结论。有时，试验药比对照药优于某一具有临床意义的数值时才是优效，这时优效性试验称为临床优效性试验，需要制定一个相应的界值，即试验药与对照药之间相差的临床上认可的最小值 Δ (高优指标)，对此只需要计算两组差值的置信区间，如果置信区间的下限 $C_L \geq \Delta$ ，则可以认为试验药物有效，如规定降压药物舒张压下降的 $\Delta = 10\text{mmHg}$ ，则两组差值的下限必须大于或等于 10mmHg ，才能够判定该药物有效。

（二）非劣效性试验

检验一种药物是否不劣于另一种药物的试验，称为非劣效性(non-inferiority)试验。其原

假设为试验药总体疗效比对照药的总体疗效要差,且两药总体疗效之差大于或等于非劣效界值 Δ ;而备择假设为试验药总体疗效比对照药的总体疗效要好,或者试验药总体疗效虽然比对照药差,但两药总体疗效之差小于 Δ 。拒绝了原假设便可得出试验药比对照药非劣效的结论。

1. 非劣效性界值的确定 临床非劣效性试验的一个重要问题是非劣效界值的确定。非劣效性界值 Δ 是一个有临床意义的值,若 Δ 选择过大,可能会接受疗效达不到要求的药物;若 Δ 选择过小,则可能无法获得非劣效结果。统计学上, Δ 的确定一般采用两步法,先估计出阳性对照(以安慰剂为对照)的绝对疗效 M_1 ,再根据 M_1 确定出 Δ 。 Δ 是由主要研究者和统计学专家根据既往研究或循证医学证据共同确定的,最终由主要研究者确认。 M_1 的确定采用综合分析法,其中最常用的是meta分析法(可参考有关书籍),即计算出阳性对照与安慰剂效应之差的95%双侧置信区间下限。获得 M_1 后,非劣效界值取 $\Delta=fM_1$ (建议取 $f=0.5$)。 f 值越接近0,越不容易得出显著性结论。如果没有历史资料可供参考, Δ 值可由研究者根据实际临床意义决定。

2. 非劣效检验方法 非劣效性检验可以通过假设检验方法进行统计推断,其原假设为 $H_0: C-T \geq \Delta$, $H_1: C-T < \Delta$,其中 C 和 T 分别为标准对照组和试验组的效应值。更简单的方法是通过置信区间估计进行统计推断,即按照单侧 $1-\alpha$ 可信度,计算标准对照组与试验组效应差值的置信区间,若置信区间的上限 $C_U < \Delta$ 则可下非劣效的结论。例如,某项研究得出的标准对照组与试验组两组有效率差值的单侧97.5%的置信区间为 $(-\infty, 0.12)$,而预先规定的非劣效界值 $\Delta=0.10$, $C_U > \Delta$,按照 $\alpha=0.025$ 的检验水准,不能得出试验组非劣于对照组的结论。

(三) 等效性试验

对于等效性检验,只需要在两个方向上同时进行两次单侧检验,如果两个原假设均被拒绝,即前者推论试验组不比标准对照组差,后者推论试验组不比标准对照组好,则可以推断两组具有等效性。具体可以按照 $1-\alpha$ 的可信度,计算两组差值的双侧置信区间,若置信区间的上下限 (C_L, C_U) 完全在 $(-\Delta, \Delta)$ 范围内,则可以下等效性的结论。

第四节 样本含量估算

为了保证研究结论具有一定可靠性,常需要在设计阶段估算所需要的最少实验单位数,即样本含量(sample size)。样本含量过小,假设检验效能不够,无法显现不同处理组间的差别;同时样本含量也不是越大越好,样本量过大会增加研究的费用和实际工作的困难,浪费人力、物力和时间,并且可能影响数据的质量。

一、影响样本量的条件

一般来说,统计学上样本含量估算取决于四个要素:

1. 假设检验的I类错误概率 α 的大小,I类错误概率 α 越小,所需样本含量越大。
2. 假设检验的II类错误概率 β 或检验效能 $1-\beta$ 的大小。一般要求检验效能最好在0.80及以上,II类错误概率 β 越小,所需样本含量越大。

3. 总体间差值 δ 的大小。如两总体均数的差值 $\delta=|\mu_1-\mu_2|$,或两总体率的差值 $\delta=|\pi_1-\pi_2|$ 。 δ 值越小,所需样本含量越大。若研究者无法获得 δ 的信息,可通过查阅文献或预实验来估计。

4. 总体变异性的的大小。均数比较时需了解个体变异大小,即总体标准差 σ ;率的比较需要了解总体率 π 的大小。 σ 越大或 π 越接近50%,所需样本量越大。这些参数一般未知,可通过查阅文献或预实验来估计。

除上述四个要素外,还需要注意:对于设置安慰剂对照的优效性研究,选取的临床有效性界值 Δ 越大,所需要的样本含量越大;对于非劣效性和等效性研究,选取的允许差别的界值 Δ 越小,所需样本含量越大。

二、常用的样本含量估算方法

样本含量的估算方法有多种,其公式往往是根据检验统计量的公式,并考虑检验效能的大小,反推而来。原则上,不同的检验方法都有确定的样本含量估算方法。下面介绍假设检验中常用的几种方法。

1. 样本均数与总体均数比较(或配对比较)的样本含量

$$n = \left[\frac{z_{\alpha/2} \pm z_{\beta}}{\delta/\sigma} \right]^2 \quad (15-1)$$

式中, n 为所需要的样本含量,配对设计时 n 为对子数; δ 为总体差值; σ 为总体标准差(配对设计为 σ_d); $z_{\alpha/2}$ 为标准正态分布的双侧临界值;单侧检验时,可改为单侧临界值 z_{α} ; z_{β} 为标准正态分布的单侧临界值。

例 15-3 研究维生素 E 缺乏时对肝中维生素 A 含量的影响,将大白鼠配对后分为两组,分别喂以正常饲料和维生素 E 缺乏饲料。已知其标准差为 550IU/g,若肝中维生素含量 A 差异为 700IU/g 在专业上认为有意义,取 $\alpha=0.05$, $\beta=0.05$,需要多大样本量?

本例 $\sigma=550$, $\delta=700$, $z_{0.05/2}=1.96$, $z_{0.05}=1.64$

$$n = \left[\frac{1.96+1.64}{700/550} \right]^2 \approx 8$$

即需要 16 只大白鼠配成 8 对。

2. 两组样本均数比较的样本含量

$$n = \left[\frac{z_{\alpha/2} + z_{\beta}}{\delta/\sigma} \right]^2 (Q_1^{-1} + Q_2^{-1}) \quad (15-2)$$

式中 $z_{\alpha/2}$ 、 z_{β} 含义同上。 Q_1 与 Q_2 为样本比例,即 $Q_1=n_1/n$, $Q_2=n_2/n$, $n=n_1+n_2$ 。若 $n_1=n_2$,则 $Q_1=Q_2=0.5$ 。

例 15-4 欲比较 A、B 两种药物对四氧嘧啶糖尿病模型小鼠的降血糖作用。假设两药使得空腹血糖下降值相差 2.76mmol/L 及以上有专业意义,若 $\sigma=1.70$ mmol/L, α 取双侧 0.05,检验效能为 0.90,每组例数相等,问每组需要多少只小鼠?若 B 组的样本量是 A 组的两倍,则每组又各需要多少只小鼠?

本例 $\sigma=1.70$, $\delta=2.76$, $z_{0.05/2}=1.96$, $z_{0.10}=1.282$;若两组样本含量相等,则 $Q_1=Q_2=0.5$,可算得

$$n = \left[\frac{(z_{\alpha/2} + z_{\beta})\sigma}{\delta} \right]^2 (Q_1^{-1} + Q_2^{-1}) = \left[\frac{(1.96+1.282) \times 1.70}{2.76} \right]^2 (0.5^{-1} + 0.5^{-1}) \approx 16$$

$n_1=n_2=16/2=8$,即每组需要 8 只小鼠。

若 B 组的样本量是 A 组的两倍,即 $Q_1=1/3$, $Q_2=1-Q_1=2/3$,则

$$n = \left[\frac{(z_{\alpha/2} + z_{\beta})\sigma_d}{\delta} \right]^2 (Q_1^{-1} + Q_2^{-1}) = \left[\frac{(1.96+1.282) \times 1.70}{2.76} \right]^2 [(1/3)^{-1} + (2/3)^{-1}] \approx 18$$

故 A 组需 $n_1=Q_1n=1/3 \times 18=6$ 只; B 组需 $n_2=Q_2n=2/3 \times 18=12$ 只。

可以证明,如果其他条件相同,当两组样本含量相同时,所需要的样本含量最少。

3. 两样本率检验的样本含量

$$n = \left[\frac{z_{\alpha/2} \sqrt{\pi_c(1-\pi_c)(Q_1^{-1} + Q_2^{-1})} + z_{\beta} \sqrt{\pi_1(1-\pi_1)/Q_1 + \pi_2(1-\pi_2)/Q_2}}{\pi_1 - \pi_2} \right]^2 \quad (15-3)$$

式中 π_c 为两总体合计概率, $\pi_c = Q_1\pi_1 + Q_2\pi_2$, 其中 π_1 和 π_2 为两组总体率, Q_1 与 Q_2 为样本比例, 即 $Q_1 = n_1/n$, $Q_2 = n_2/n$, $n = n_1 + n_2$, $z_{\alpha/2}$ 和 z_{β} 符号意义同前。

例 15-5 欲比较甲、乙两种药物治疗心肌梗死溶栓的效果, 预试验甲组溶栓的有效率为 94%, 乙组溶栓的有效率为 85%。若取双侧 $\alpha = 0.05$, 单侧 $\beta = 0.10$, 甲药组的样本含量占 60%, 乙药组占 40%, 试问比较两组有效率是否有差别各需要多少例样本?

本例 $\pi_1 = 0.94$, $\pi_2 = 0.85$, $Q_1 = 0.60$, $Q_2 = 0.40$, $z_{0.05/2} = 1.96$, $z_{\beta} = z_{0.10} = 1.282$, $\pi_c = 0.60 \times 0.94 + 0.40 \times 0.85 = 0.904$

代入式(15-3)得

$$\begin{aligned} n &= \left[\frac{z_{\alpha/2} \sqrt{\pi_c(1-\pi_c)(Q_1^{-1} + Q_2^{-1})} + z_{\beta} \sqrt{\pi_1(1-\pi_1)/Q_1 + \pi_2(1-\pi_2)/Q_2}}{\pi_1 - \pi_2} \right]^2 \\ &= \left[\frac{1.96 \sqrt{0.904(1-0.904)(0.60^{-1} + 0.40^{-1})} + 1.282 \sqrt{0.94(1-0.94)/0.60 + 0.85(1-0.85)/0.40}}{0.94 - 0.85} \right]^2 \\ &\approx 495 \end{aligned}$$

故甲药组需 $n_1 = Q_1 n = 0.60 \times 495 = 297$ 例患者, 乙药组需要 $n_2 = Q_2 n = 0.40 \times 495 = 198$ 例患者。

练习题

一、单项选择题

- 实验性研究随机化分组的目的是()
 - 减少抽样误差
 - 减少实验例数
 - 提高检验效能
 - 提高检验准确度
 - 保持各组的非处理因素均衡一致
- 关于实验指标的准确度和精密度, 正确的说法是()
 - 精密度较准确度更重要
 - 准确度较精密度更重要
 - 精密度主要受随机误差的影响
 - 准确度主要受随机误差的影响
 - 精密度包含准确度
- 在临床试验设计选择对照时, 最高效的对照形式是()
 - 历史对照
 - 空白对照
 - 标准对照
 - 安慰剂对照
 - 自身对照
- 实验设计的三大原则是()
 - 随机、对照、盲法
 - 随机、均衡、重复
 - 随机、对照、均衡
 - 对照、重复、样本大小
 - 随机、对照、重复

5. 某医师研究某新药治疗缺血性脑卒中恢复期的临床疗效, 对照组采用阳性药物溶栓胶囊, 这属于()
- A. 空白对照
B. 历史对照
C. 标准对照
D. 安慰剂对照
E. 实验对照
6. 估计样本量时, 在其他条件不变时, 设定的Ⅱ类错误概率愈小, 则()
- A. 所需的样本量愈小
B. 所需的样本量愈大
C. 不影响样本量大小
D. 样本量的估计愈准确
E. 样本量的估计愈不准确
7. 阳性药为对照的临床非劣效性试验中, 原假设 H_0 是()
- A. $C - T \geq \Delta$
B. $C - T > \Delta$
C. $C - T \leq -\Delta$
D. $T - C > \Delta$
E. $T - C \leq \Delta$
8. 下列关于随机化的叙述, 不正确的是()
- A. 随机化可以避免结果出现偏倚
B. 随机化是统计推断的前提
C. 随机化可以使各组非处理因素的分布尽量保持均衡一致
D. 随机化可以防止研究者人为影响研究结果
E. 随机化可以减少随机误差
9. 临床试验采用双盲法的重要意义是()
- A. 便于试验实施
B. 减少患者在试验中脱落
C. 防止出现过大的随机误差
D. 减少混杂因素的影响
E. 减少试验中的偏倚
10. 临床试验需要在设计阶段确定主要指标的目的在于()
- A. 便于试验实施
B. 减少测量的随机误差
C. 减少非处理因素的影响
D. 避免结果的任意性
E. 更好地提高检验效能

二、计算与分析

1. 欲比较甲、乙两种药物治疗心肌梗死溶栓的效果, 预试验甲组溶栓的有效率为 95%, 乙组溶栓的有效率为 85%。若取双侧 $\alpha = 0.05$, $\beta = 0.10$, 两组病例数相同的情况下, 临床试验每组最少需观察多少病例?

2. 为研究双歧杆菌辅助治疗新生儿高胆红素血症的疗效, 对试验组和对照组经皮测胆红素下降值进行比较。假定两组标准差相等, $\sigma = 4.5 \mu\text{mol/L}$, 并假设专业上认为胆红素下降值相差 $2.5 \mu\text{mol/L}$ 有意义, 若试验组与对照组样本含量的比例为 2:1, 现规定 $\alpha = 0.05$, $\beta = 0.10$, 做双侧检验对照组需要多少病例才能发现差异?

3. 为探讨天然牛磺酸对高铅动物模型铅含量的影响, 将实验大白鼠模型随机分到牛磺酸组和不使用药物的对照组。预实验结果: 给药 24 小时后, 测得两组动物血铅含量均值分别为 $2.40 \mu\text{g/L}$ 和 $3.45 \mu\text{g/L}$, 两组合并标准差为 $0.60 \mu\text{g/L}$ 。若取 $\alpha = 0.05$, $\beta = 0.10$, 要得到两组血铅含量不同的结论(双侧检验), 试估计每组需要多少只实验大白鼠模型?

4. 为确定一种降脂药物的起始用药剂量, 将 30 例新诊断的高血脂患者按就诊的先后顺序依次分入低、中、高三个剂量组, 经一段时间治疗后, 通过比较三组患者的治疗后低密

度脂蛋白变化值来选择该降脂药的剂量。请根据以上描述回答：

- (1) 在这项研究中,研究的三要素分别是什么?
- (2) 请从实验设计角度对此项研究进行评价,并对此研究设计提出改进意见。

(贺 佳)





附录 1 CONSORT statement-RCT 研究报告的信息(2010)

随机临床试验 CONSORT 2010 对照检查清单

论文章节 / 主题	条目号	对照检查的条目
文题和摘要		
	1a	文题能识别是随机临床试验
	1b	结构式摘要, 包括试验设计、方法、结果、结论几个部分(具体的指导建议参见“CONSORT for abstracts”)
引言		
背景和目的	2a	科学背景和对试验理由的解释
	2b	具体目的和假设
方法		
试验设计	3a	描述试验设计(诸如平行设计、析因设计), 包括受试者分配入各组的比例
	3b	试验开始后对试验方法所作的重要改变(如合格受试者的挑选标准), 并说明原因
受试者	4a	受试者合格标准
	4b	资料收集的场所和地点
干预措施	5	详细描述各组干预措施的细节以使他人能够重复, 包括它们实际上是在何时、如何实施的
结局指标	6a	完整而确切地说明预先设定的主要和次要结局指标, 包括它们是在何时、如何测评的
	6b	试验开始后对结局指标是否有任何更改, 并说明原因
样本量	7a	如何确定样本量
	7b	必要时, 解释中期分析和试验中止原则
随机方法:		
序列的产生	8a	产生随机分配序列的方法
	8b	随机方法的类型, 任何限定的细节(如怎样分区组和各区组样本多少)
分配隐藏机制	9	用于执行随机分配序列的机制(例如按序编码的封装法), 描述干预措施分配之前为隐藏序列号所采取的步骤
实施	10	谁产生随机分配序列, 谁招募受试者, 谁给受试者分配干预措施
盲法	11a	如果实施了盲法, 分配干预措施之后对谁设盲(例如受试者、医护提供者、结局评估者), 以及盲法是如何实施的
	11b	如有必要, 描述干预措施的相似之处
统计学方法	12a	用于比较各组主要和次要结局指标的统计学方法
	12b	附加分析的方法, 诸如亚组分析和校正分析
结果		
受试者流程(极力推荐使用流程图)	13a	随机分配到各组的受试者例数, 接受已分配治疗的例数, 以及纳入主要结局分析的例数
	13b	随机分组后, 各组脱落和被剔除的例数, 并说明原因
招募受试者	14a	招募期和随访时间的长短, 并说明具体日期
	14b	为什么试验中断或停止
基线资料	15	用一张表格列出每一组受试者的基线数据, 包括人口学资料和临床特征
纳入分析的例数	16	各组纳入每一种分析的受试者数目(分母), 以及是否按最初的分组分析
结局和估计值	17a	各组每一项主要和次要结局指标的结果, 效应估计值及其精确性(如 95% 可信区间)
	17b	对于二分类结局, 建议同时提供相对效应值和绝对效应值

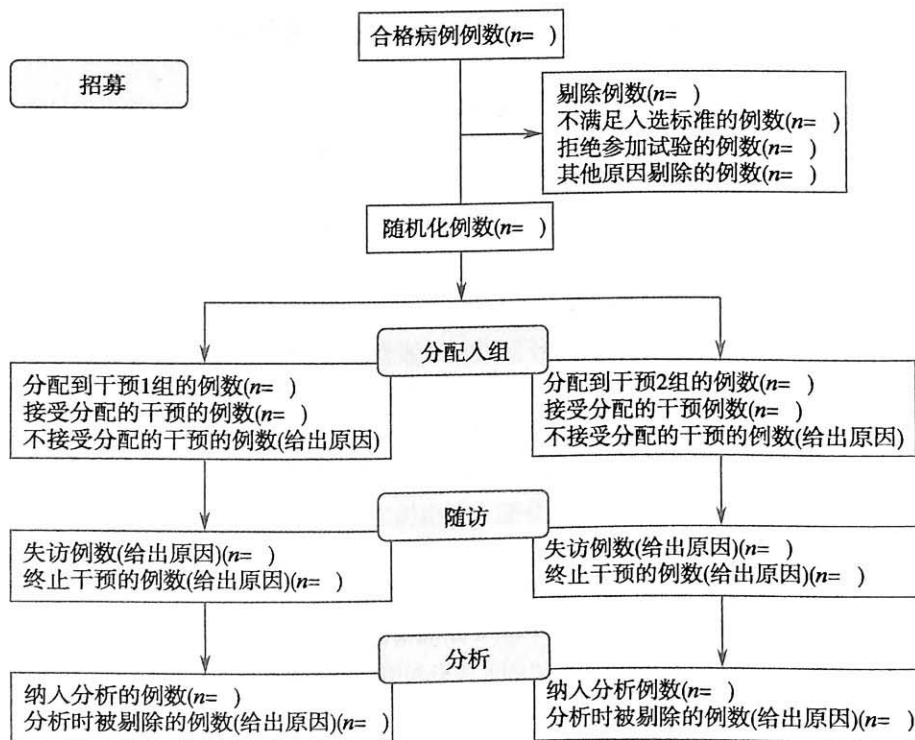


续表

论文章节 / 主题	条目号	对照检查的条目
辅助分析	18	所做的其他分析的结果, 包括亚组分析和校正分析, 指出哪些是预先设定的分析, 哪些是新尝试的分析
危害	19	各组出现的所有严重危害或意外效果(具体的指导建议参见“CONSORT for harms”)
讨论		
局限性	20	试验的局限性, 报告潜在偏倚和不精确的原因, 以及出现多种分析结果的原因(如果有这种情况的话)
可推广性	21	试验结果被推广的可能性(外部可靠性, 实用性)
解释	22	与结果相对应的解释, 权衡试验结果的利弊, 并且考虑其他相关证据
其他信息		
试验注册	23	临床试验注册号和注册机构名称
试验方案	24	如果有的话, 在哪里可以获取完整的试验方案
资助	25	资助和其他支持(如提供药品)的来源, 提供资助者所起的作用

注: 我们极力推荐结合“CONSORT 2010 说明与详述”阅读本声明, 那份文件对全部条目作了详细阐述。我们还推荐必要时阅读关于群组随机试验、非劣效性和等效性试验、非药物治疗、草药干预以及实效性试验的各种 CONSORT 扩展版。与本清单有关的各种扩展版及最新参考资料, 请见 www.consort-statement.org。

CONSORT 2010 流程图



以上全部内容来源: ① Schulz KF, Altman DG, Moher D, for the CONSORT Group. CONSORT 2010 Statement: updated guidelines for reporting parallel group randomised trials. *Ann Int Med*, 2010; 152. ② Moher D, Hopewell S, Schulz KF, Montori V, Gøtzsche PC, Devereaux PJ, Elbourne D, Egger M, Altman DG, for the CONSORT Group. CONSORT 2010 Explanation and Elaboration: updated guidelines for reporting parallel group randomised trial. *BMJ*, 2010, 340: e869. (<http://www.consort-statement.org/consort-statement/>)

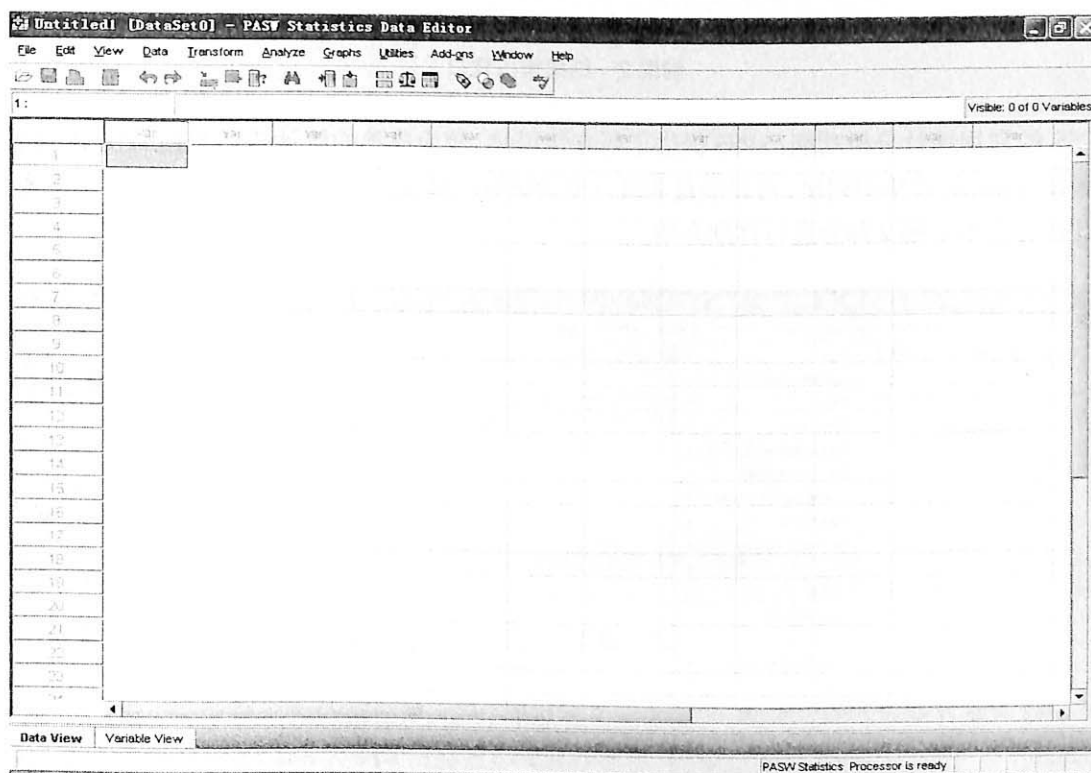
附录 2 SPSS 统计软件上机实习

1. 概述

SPSS(statistical package for the social sciences)为“社会科学统计软件包”,由美国斯坦福大学的三位研究生于 20 世纪 60 年代末研制,目前已成为非专业统计人员的首选统计软件。SPSS 最突出的特点就是操作界面友好,输出结果美观。SPSS 使用 Windows 的窗口方式展示各种功能,使用对话框展示功能选择项,对于使用 Windows 的用户,只要了解统计分析方法,就可以方便地使用该软件为特定的科研工作服务。SPSS 在全球的用户分布于通信、医疗、银行、证券、保险、制造、商业、科研教育等多个领域和行业,是世界上应用最广泛的专业统计软件之一。本书采用 SPSS17.0。

SPSS 的基本界面和常用功能简介如下:

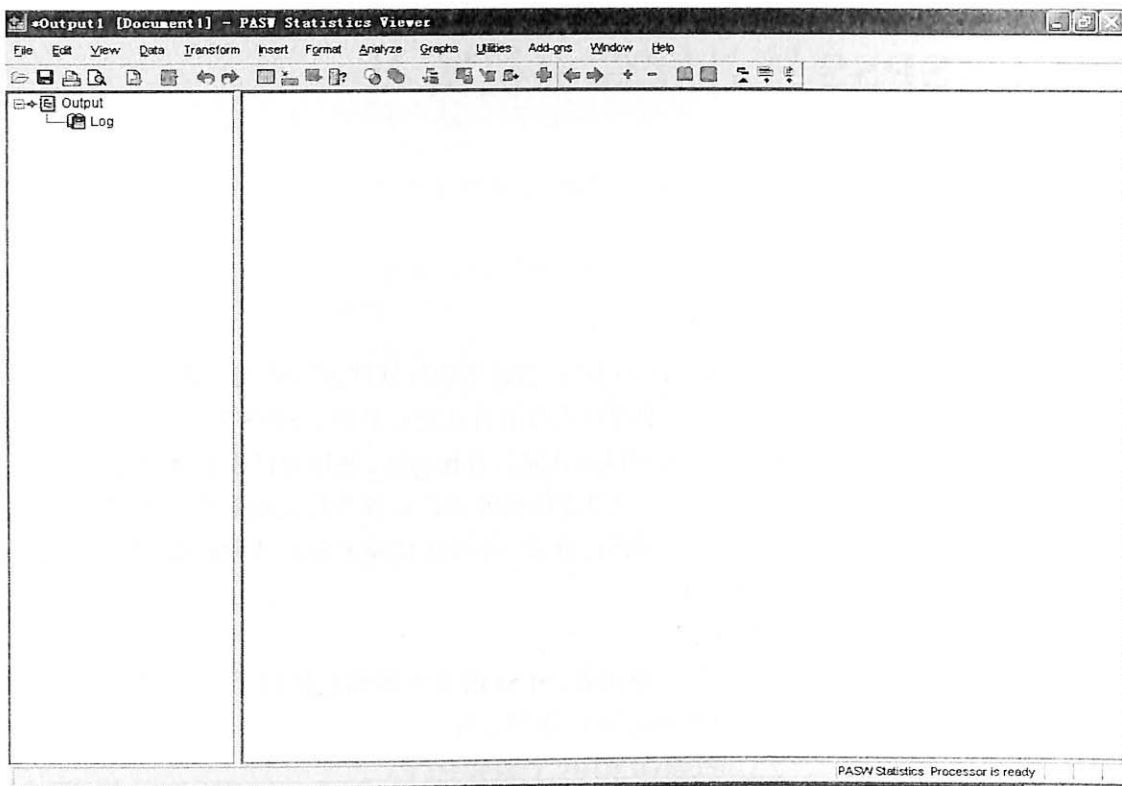
(1) SPSS 的基本界面:对于非统计专业的使用者,SPSS 的基本界面包括两个常用窗口:数据编辑窗口(Data Editor)和结果输出窗口(Viewer)。分别如附图 1、附图 2 所示。



附图 1 数据编辑窗口

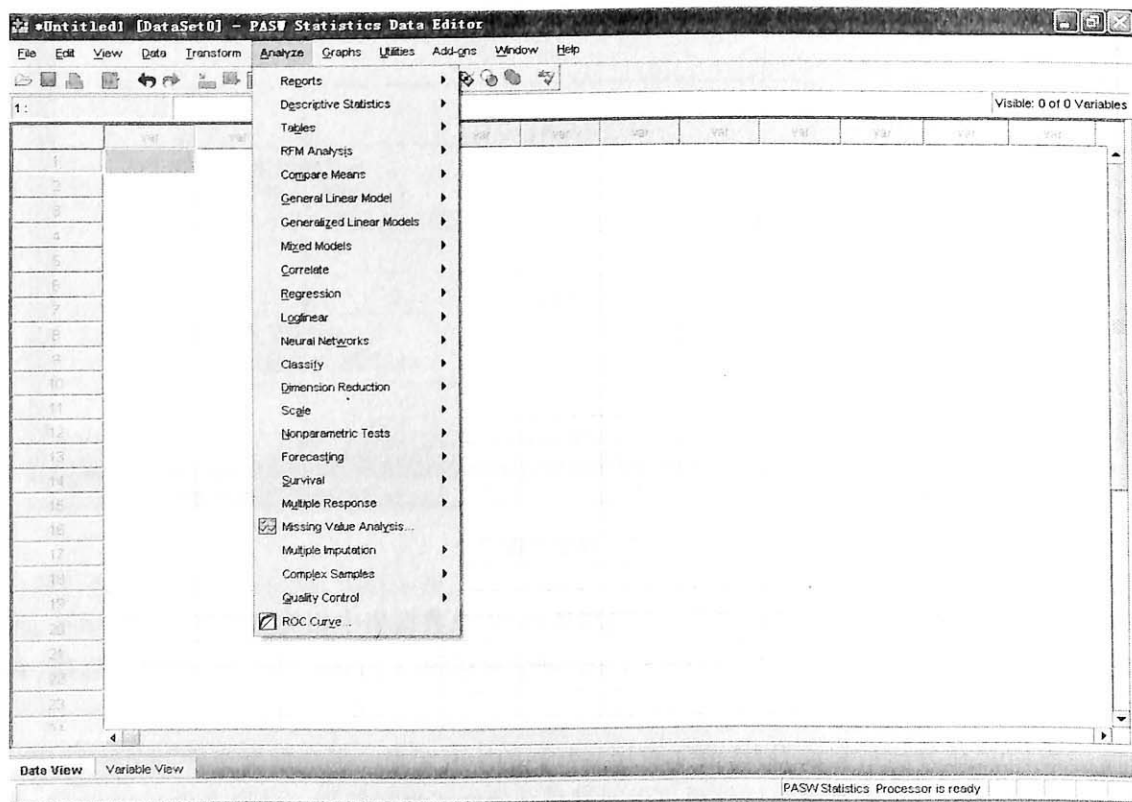
数据编辑窗口主要用于研究数据的录入、编辑和显示,以及数据集中相关变量名、变量标签、变量属性的定义和修改。数据编辑窗口由数据视图(Data View)和变量视图(Variable View)两个窗口组成,两者之间可以互相切换。数据文件的创建与保存详见 2.1 节。

结果输出窗口会在分析后自动打开,显示程序运行后的所有结果。多个数据文件的分析结果将显示在同一个结果输出窗口中。双击某部分的结果可以对其显示的样式进行编辑。结果文件可以保存,其扩展名为“.spo”。



附图2 结果输出窗口

(2) SPSS 的常用统计分析功能: SPSS 提供了所有常用的、较为成熟的统计描述与统计分析过程, 大部分统计方法都在 Analyze 菜单中列出, 可以满足非统计专业研究的基本统计分析需要。如附图 3 所示。具体的统计分析过程将在本章第 2 部分进行详细介绍。



附图3 SPSS 的分析菜单

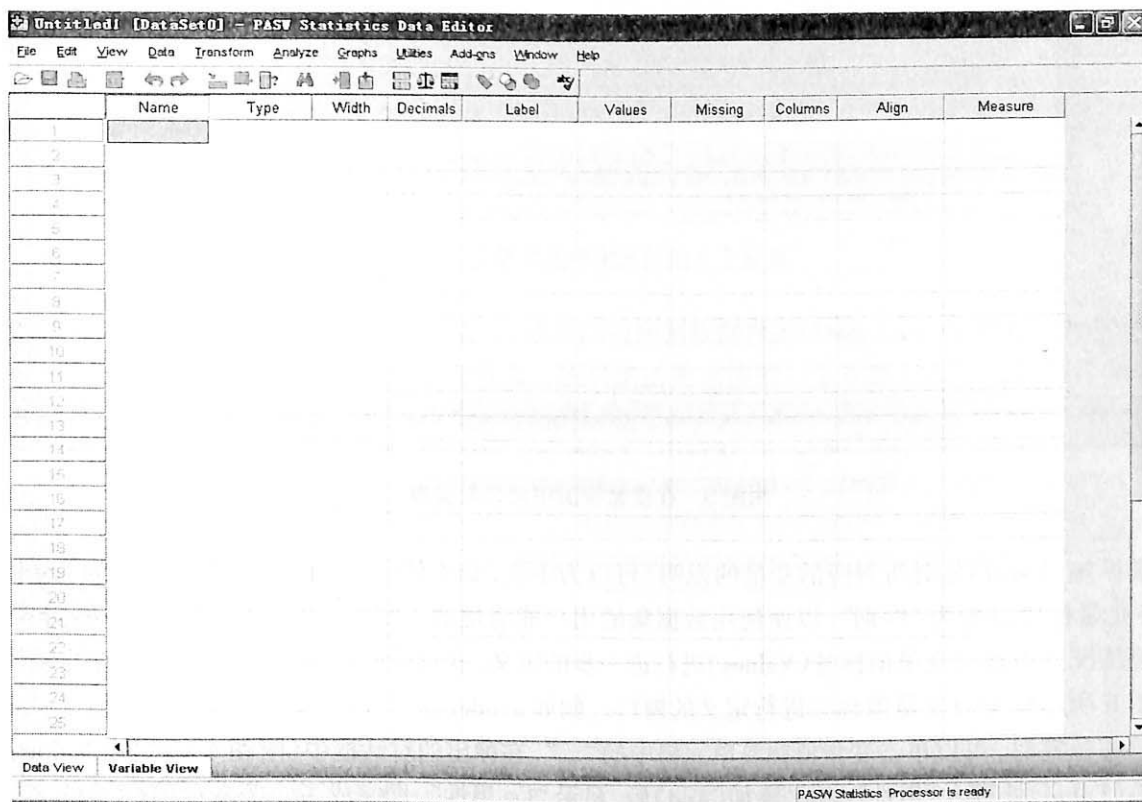
2. 统计功能的实现

2.1 数据文件的建立

建立数据文件是采用 SPSS 开始工作的第一步,主要是指把医学科研工作过程中采集的研究数据(Data)按照 SPSS 软件的格式要求存入到计算机的磁盘中,以便调用、修改、分析。SPSS 采用类似 Excel 表格的方式输入与管理数据,也可以直接导入 Excel、Text、dBASE、SAS、Stata 等数据集。在 SPSS 中创建新的数据集时,通过“File”→“New”→“Data”打开数据编辑窗口后创建。SPSS 数据集的扩展名为“.sav”。

为了建立和使用数据集时方便,建议用户创建新数据集时,分两步进行:

(1) 定义数据集的框架:即先进行数据集中涉及的所有变量的定义,包括变量名、变量标签、变量属性等。变量的定义在数据编辑窗口(Data Editor)的变量视图(Variable View)中完成。如附图 4 所示。



附图 4 变量视图

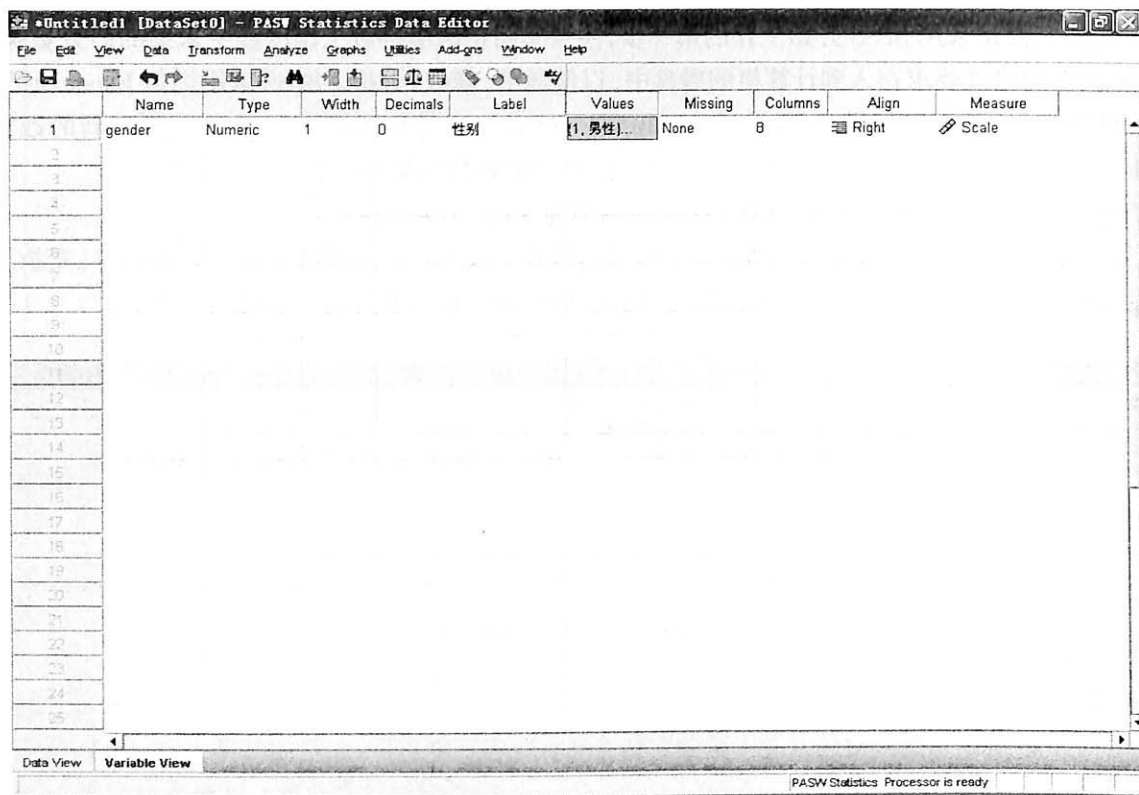
在变量视图中,双击第一行的空白单元格,即可定义变量名(Name)、类型(Type)、宽度(Width)、小数点位数(Decimals)、变量标签(Label)、变量值标签(Values)等。

其中,变量名就是所研究的指标在软件中可被识别的名称,通常由用户自己定义。定义时需遵守 SPSS 软件的变量名命名规则,否则将无法被识别或者报错。SPSS 中变量名的命名规则为:①最长为 64 个字节;②以字母或汉字开头,不能以“_”或“.”结尾,其中不能有空格、通配符或某些特殊字符,如?、*、!、,等;③变量名须唯一,不区分大小写;④变量名不能与 SPSS 的系统关键词相同,不能使用逻辑关系运算符 ALL、AND、OR 等,如果输入了系统关键词,则系统会提示错误。下面,我们以“性别”(变量名:gender)这一常见的名义变量为例,简述新变量的定义过程。

如附图 5 所示,录入了“gender”这一变量名后,后面的各个属性会出现默认值,用户可根据变量的具体性质进行修改,变量标签除外。单击要修改的单元格后,有的单元格后会出现“...”,表明系统提供了备



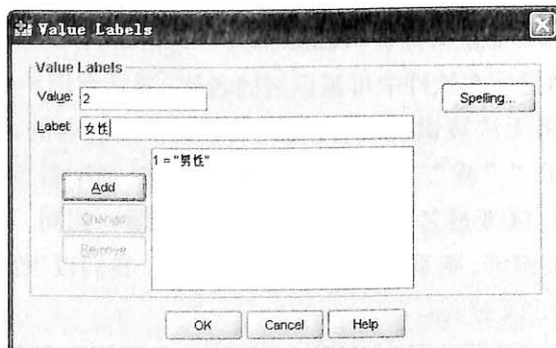
选项,如在变量类型中单击“...”后,就会弹出对话框,显示SPSS软件所提供的8种变量类型:标准数值型(Numeric)、逗号数值型(Comma)、加点数值型(Dot)、科学记数(Scientific notation)、日期型(Date)、自定义(Custom currency)、字符型(String)。最常用的是标准数值型、日期型、字符型三种,为了分析方便,大多数医学研究的变量都会被定义成标准数值型。



附图5 在变量视图中定义新变量

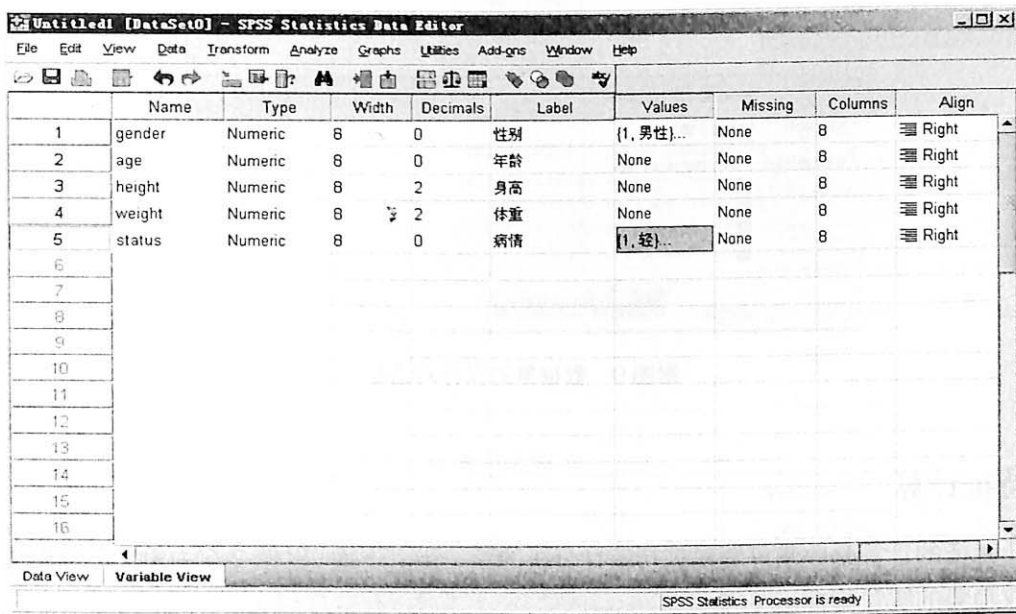
变量标签(Label)是对所对应的变量的说明,可以为中文,如本例中,我们将变量名设置为“gender”,此时,可将变量标签设置为“性别”,以便使用数据集的用户能清楚地了解变量的具体含义。一些分类资料的具体赋值情况则可通过变量值标签(Values)进行进一步的定义,变量值标签也就是对变量赋值的说明。

附图6所示即为对变量值标签进行定义的窗口。例如gender这一变量,赋值1代表男性,2代表女性,定义变量值标签时,可以单击变量值标签单元格中的“...”,在弹出的对话框中(附图6),取值(Value)处键入“1”,标签(Label)处键入“男性”,单击添加(Add)后,显示“1=男性”,即完成了一条变量值标签的定义,同样的操作可定义“2=女性”。变量值标签的定义可以帮助使用者对数据集有更好地了解,也为日后使用数据集提供了方便。



附图6 定义变量值标签

定义好一个变量的信息后,双击其下面的一行即可进行新变量的定义。如附图7所示,定义了性别(gender)、年龄(age)、身高(height)、体重(weight)、病情(status)等5个变量。其中,病情的变量值标签定义为不同的严重程度:1=轻,2=中,3=重。



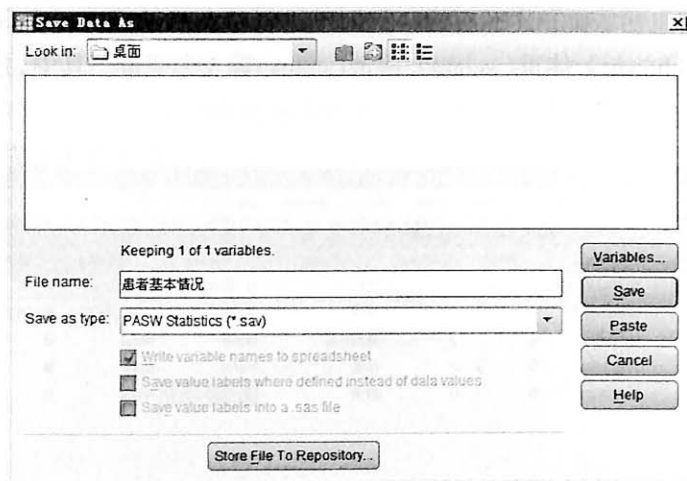
附图7 变量视图中定义好的5个变量

(2) 数据录入: 变量名及其属性定义好之后,就可以切换到数据视图(Data View)中进行数据录入了。此时,各列的列名已经变成了刚才定义好的变量名。所采集的数据按照一个观测对象一行的顺序录入。如,采集了20名患者的基本资料,录入好的数据集将如附图8所示。

	gender	age	height	weight	status
1	2	45	165.00	56.00	1
2	1	60	170.00	67.00	2
3	1	56	176.00	70.50	1
4	2	45	156.00	50.00	1
5	1	39	169.00	65.00	1
6	2	60	167.00	56.50	3
7	2	56	166.00	60.00	3
8	1	58	178.00	70.00	2
9	2	46	165.00	57.00	1
10	2	38	169.00	49.00	1
11	1	54	174.00	68.50	2
12	1	58	176.00	69.00	2
13	1	43	178.00	71.00	1
14	2	42	165.00	53.00	1
15	1	58	176.00	67.50	3
16	2	67	166.00	59.00	3
17	1	69	178.00	71.00	1
18	2	70	156.00	49.50	3
19	1	59	177.00	63.00	2
20	2	65	154.00	54.00	3

附图8 20名患者的基本资料

(3) 数据集的保存: 建立好新的数据集之后,可以点击“File”→“Save”在弹出的对话框中选择要保存文件的路径,在“File name”后面键入数据集的名称,点击“Save”即可。如附图9所示。本例,数据集的名称为“患者基本情况.sav”,保存在“桌面”上。



附图9 数据集的保存对话框

2.2 统计特征计算

变量统计特征的计算是收集好资料进行统计分析的第一步。下面,以例 2-6 为例,介绍描述计量资料集中趋势和离散趋势的统计指标。

例 2-6 的数据录入如附图 10 所示,每列表示一位患者,一行表示该患者一天的收缩压:

	甲患者收缩压	乙患者收缩压	var	var	var	var	var	var	var
1	162.00	164.00							
2	145.00	160.00							
3	178.00	163.00							
4	142.00	159.00							
5	186.00	166.00							
6									
7									
8									
9									
10									
11									
12									
13									
14									
15									

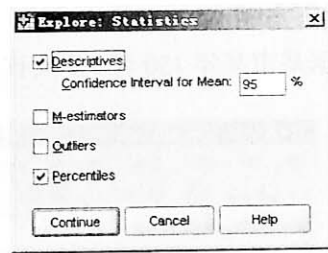
附图 10 两名患者测得的 5 天收缩压

统计描述指标的输出可通过“Analyze”→“Descriptive Statistics”→“Explore...”实现。弹出的对话框如附图 11 所示。

选择要进行统计描述的变量,单击按钮“➡”,将变量选入到“Dependent List”列表框,点击“Statistics”,在弹出的对话框中选择“Descriptives”和“Percentiles”,即可得到计量资料常用的统计描述指标。如附图 12 所示。



附图 11 Explore 对话框



附图 12 Explore 中的 Statistics 对话框

例 2-6 的输出结果如下：

Descriptives			
		Statistic	Std. Error
甲患者收缩压	Mean	162.6000	8.715 50
	95% Confidence Interval for Mean		
		Lower Bound	138.4019
		Upper Bound	186.7981
	5% Trimmed Mean	162.4444	
	Median	162.0000	
	Variance	379.800	
	Std. Deviation	19.488 46	
	Minimum	142.00	
	Maximum	186.00	
	Range	44.00	
	Interquartile Range	38.50	
Skewness	.128	.913	
Kurtosis	-2.522	2.000	
乙患者收缩压	Mean	162.4000	1.288 41
	95% Confidence Interval for Mean		
		Lower Bound	158.8228
		Upper Bound	165.9772
	5% Trimmed Mean	162.3889	
	Median	163.0000	
	Variance	8.300	
	Std. Deviation	2.880 97	
	Minimum	159.00	
	Maximum	166.00	
	Range	7.00	
	Interquartile Range	5.50	
Skewness	-.038	.913	
Kurtosis	-1.804	2.000	

其中，“Mean”为均数，“Median”为中位数，“Variance”为方差，“Std. Deviation”为标准差，“Minimum”为最小值，“Maximum”为最大值，“Range”为极差，“Interquartile Range”为四分位数间距。对于服从正态分布的变量，通常采用均数和标准差进行统计描述，而非正态资料则采用中位数和四分位数间距描述。本例，甲患者 5 天收缩压的平均值为 162.6mmHg，标准差为 19.49mmHg；乙患者 5 天收缩压的平均值为 162.4mmHg，标准差为 2.88mmHg。可见，甲、乙两患者收缩压集中趋势相近，但甲患者 5 天收缩压的变异水平较大。



2.3 画统计图

对于绘制常用的统计图,较为简便的方法可通过“Graphs”→“Legacy Dialogs”中选择不同类型的图实现。以下结合第五章的例子分别进行说明。

2.3.1 直方图

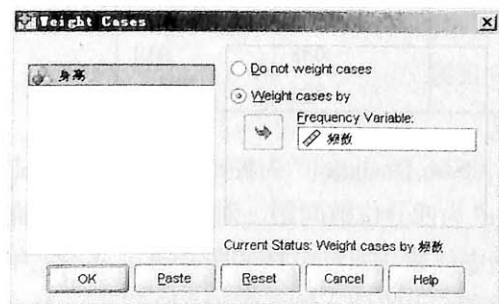
根据某市某年 150 名 3 岁女孩身高频数表(见表 5-11)绘制成频数分布图。数据录入如附图 13 所示。

	身高	频数	var	var	var	var	var	var	var
1	81	1							
2	83	3							
3	85	8							
4	87	10							
5	89	19							
6	91	23							
7	93	26							
8	95	24							
9	97	17							
10	99	10							
11	101	6							
12	103	2							
13	105	1							
14									

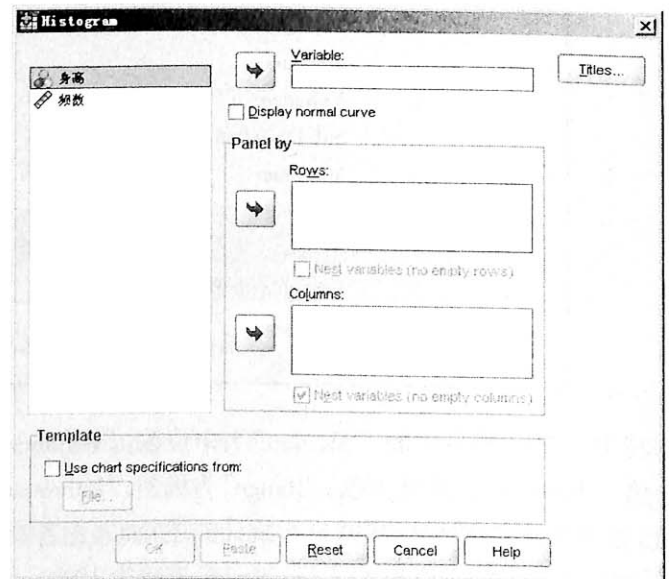
附图 13 表 5-11 对应的数据集

由于 SPSS 软件是针对原始资料输出直方图的,因此对于表 5-11 的频数表资料,可先根据“频数”对“身高”数据进行加权。通过“Data”→“Weight Cases...”实现。如附图 14 所示,点击“Weight cases by”,将“频数”选入“Frequency Variable”列表框中,点击“Ok”。

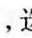
直方图的输出可通过“Graphs”→“Legacy Dialogs”→“Histogram...”实现。弹出的对话框如附图 15 所示。



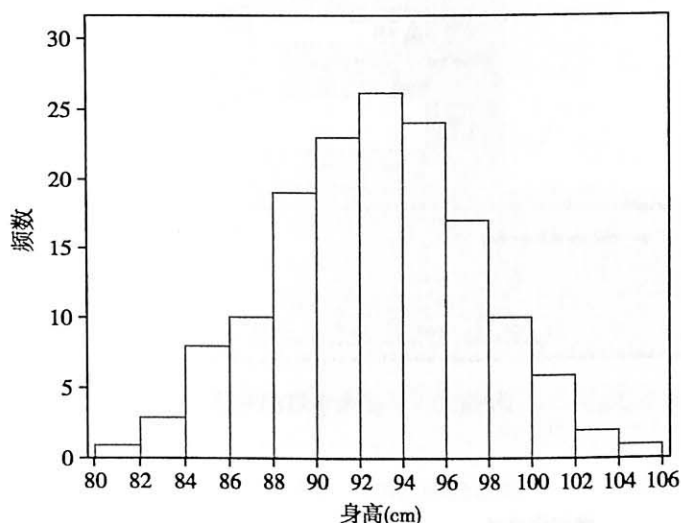
附图 14 数据加权对话框



附图 15 Histogram 对话框

选择观测变量“身高”，单击按钮“”，选入到“Variable”列表框，点击“Ok”，即可得到原始的直方图。选中该直方图后，双击即可进入编辑状态。需要对图的某个部分进行自定义时，只需选中该部分后双击即可进行定义。例如：要对横坐标的刻度进行修改，可选中横坐标，双击后，在弹出的“Properties”对话框中选择“Scale”标签页实现。

编辑后输出的直方图如附图 16 所示。





附图 16 某市某年 150 名 3 岁女孩身高频数分布

当需绘制表 5-12 所对应的分群金字塔图 (population pyramid) 时，数据录入如附图 17 所示。其中，“HbA1c”为各个组段的下限，“f”为各组段的频数，“组别”区别不同的患者类型。

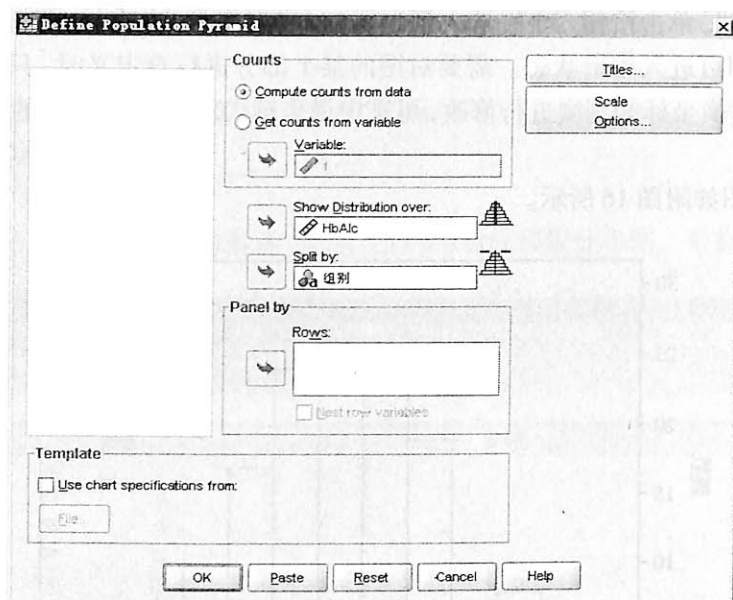
	HbA1c	f	组别	var	var
1	4.8	1	1 糖尿病患者		
2	5.2	2	2 糖尿病患者		
3	5.6	3	3 糖尿病患者		
4	6.0	3	3 糖尿病患者		
5	6.4	7	7 糖尿病患者		
6	6.8	7	7 糖尿病患者		
7	7.2	16	16 糖尿病患者		

附图 17 表 5-12 对应的数据集

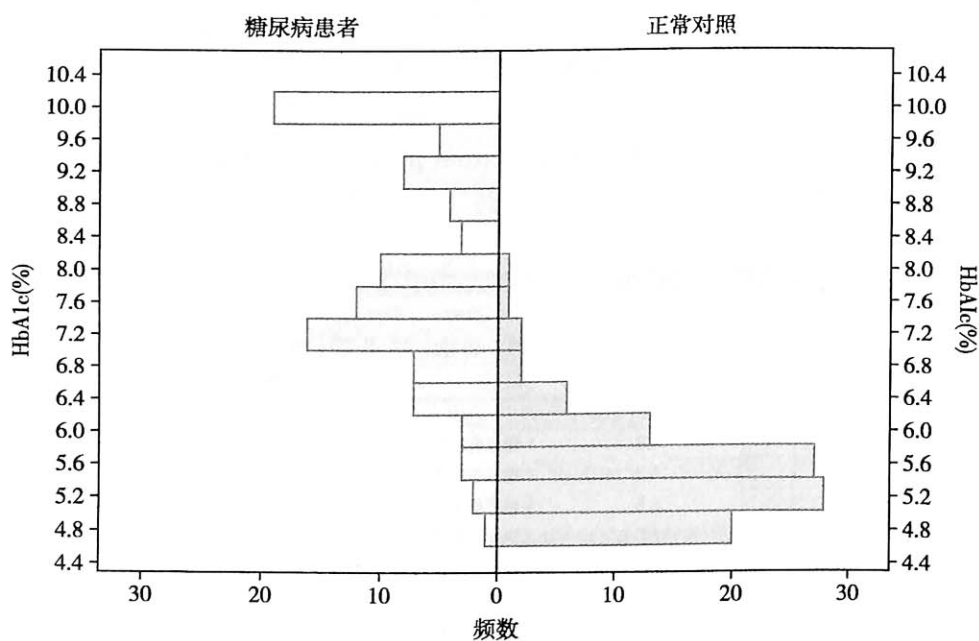
同一般的直方图绘制一样，绘制分群金字塔图时，需要先对数据加权，加权的方法同附图 14，本例权重变量为“f”。

分群金字塔图的输出可通过“Graphs”→“Legacy Dialogs”→“Population Pyramid...”实现。在弹出的对话框中选择“Compute counts from data”，选中“HbA1c”，单击按钮“”，选入到“Show Distribution over:”框，选中“组别”，单击按钮“”，选入到“Split by:”框中。如附图 18 所示。

点击“OK”可得到原始的分群金字塔图，双击图形后可进行编辑，选中并双击需修改的部分后，输出的分群金字塔图如附图 19 所示。



附图 18 分层金字塔图对话框



附图 19 糖尿病患者和正常对照 HbA1c(%) 的频数分布

2.3.2 线图

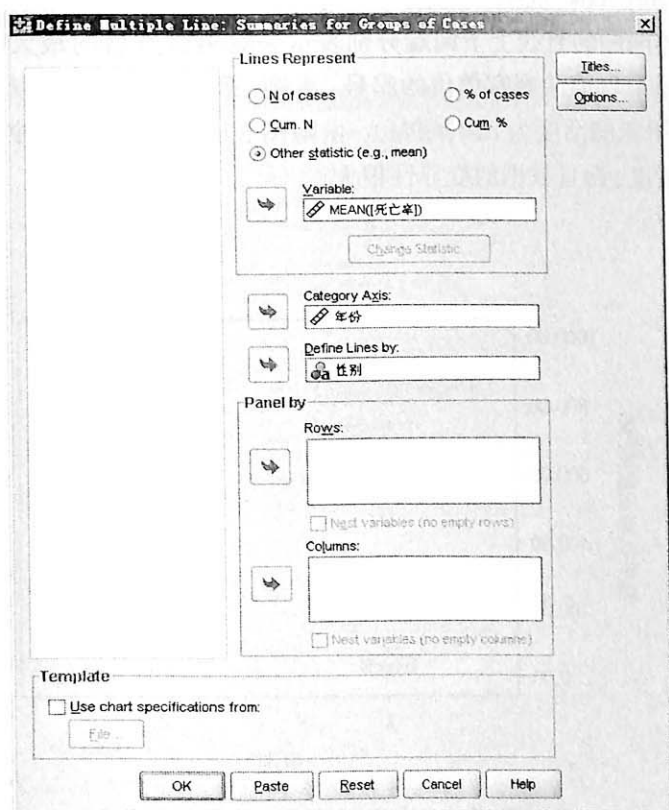
根据某地 1968—1974 年男女结核病死亡率(1/10 万)资料(见表 5-13)绘制普通线图。数据录入如附图 20 所示。其中,“性别”为分组变量,“死亡率”为观测指标,“年份”为观察的时间。

线图的输出可通过“Graphs”→“Legacy Dialogs”→“Line...”实现。由于要比较男性、女性的死亡率需绘制复式线图,因此,首先在弹出的对话框中选择“Multiple”,点击“Define”。再选择“Other statistic(e.g. mean)”,把指标变量“结核病死亡率”选入“Variable”框中,把时间变量“年份”选入“Category Axis”框,把分组变量“性别”选入“Define lines by”框。如附图 21 所示。

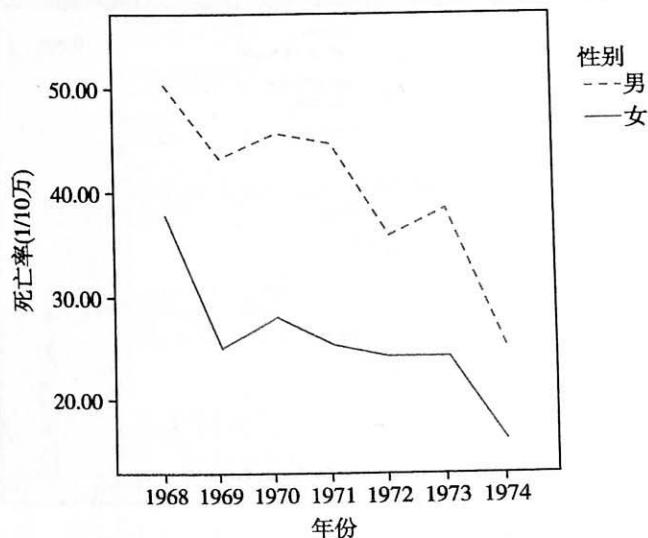
点击“OK”可得到原始的普通线图,按需要双击线图,选中并双击需修改的部分后,输出的线图如附图 22 所示。

年份	死亡率	性别
1968	50.19	男
1969	42.97	男
1970	45.37	男
1971	44.42	男
1972	35.59	男
1973	38.31	男
1974	25.29	男
1968	37.54	女
1969	25.00	女
1970	27.88	女
1971	25.10	女
1972	24.08	女
1973	24.10	女
1974	16.00	女

附图 20 表 5-13 对应的数据集



附图 21 Define Multiple Line 对话框



附图 22 某地 1968—1974 年结核病死亡率 (1/10 万)

需绘制半对数线图时，只需先绘制普通线图，输出后。选中输出的普通线图双击进入编辑状态，单击选中纵轴，再双击后进行编辑，在弹出的属性选项卡中把纵轴的尺度改为以 10 为底的对数尺度即可得到。具体操作此处不再赘述。



2.3.3 箱式图

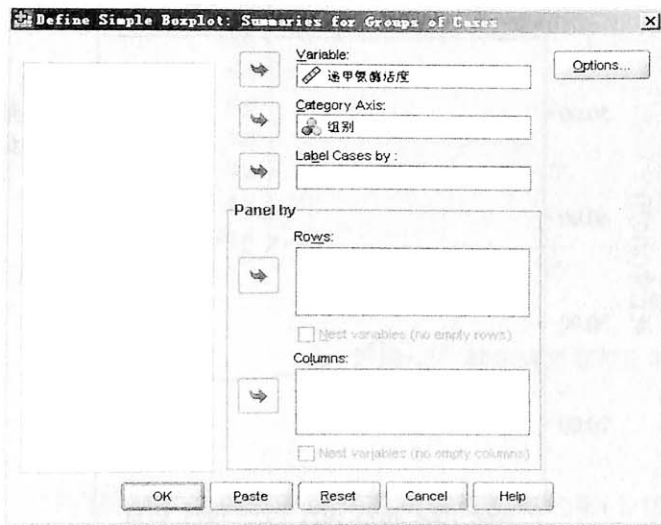
根据大白鼠正常肝和肝肿瘤中递甲氨酶(CPM)的活度(见表 5-15)绘制箱式图。数据录入如附图 23 所示。其中,“递甲氨酶活度”为观测指标,“组别”为分组变量:1=正常肝,2=肿瘤肝。

	递甲氨酶活度	组别	var	var	var	var
1	19.00	1				
2	30.00	1				
3	43.00	1				
4	70.00	1				
5	64.00	1				
6	91.00	1				
7	35.00	1				

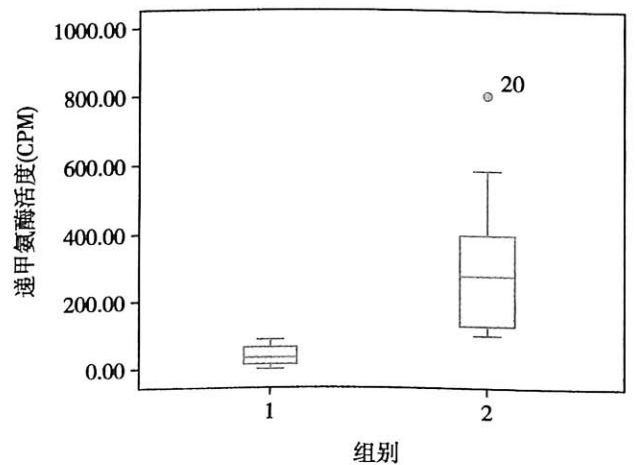
附图 23 表 5-15 对应的数据集

箱式图的绘制可通过“Graphs”→“Legacy Dialogs”→“Boxplot...”实现。在弹出的“Boxplot”对话框中选择“Simple”和“Summaries for groups of cases”,点击“Define”。在弹出的“Define Simple Boxplot”对话框中把“递甲氨酶活度”选入“Variable”框中、把“组别”选入“Category Axis”框中。如附图 24 所示。

点击“OK”可得箱式图。如附图 25 所示,图中箱体两端的直线上下两端分别表示去除离群点后的最大值和最小值。箱体直线上方出现的带数字的圆点,表示离群值的观察单位的编号,本例,第 20 例大白鼠取值较大,该例属于肿瘤肝组,通过原始数据可查得其递甲氨酶活度为 814(CPM)。由附图 25 可见,大白鼠肿瘤肝中递甲氨酶的活度明显高于正常肝中递甲氨酶的活度,而且数据的变异性很大。



附图 24 Define Simple Boxplot 对话框



附图 25 大白鼠正常肝与肿瘤肝中递甲氨酶的活度(CPM)

2.3.4 误差条图

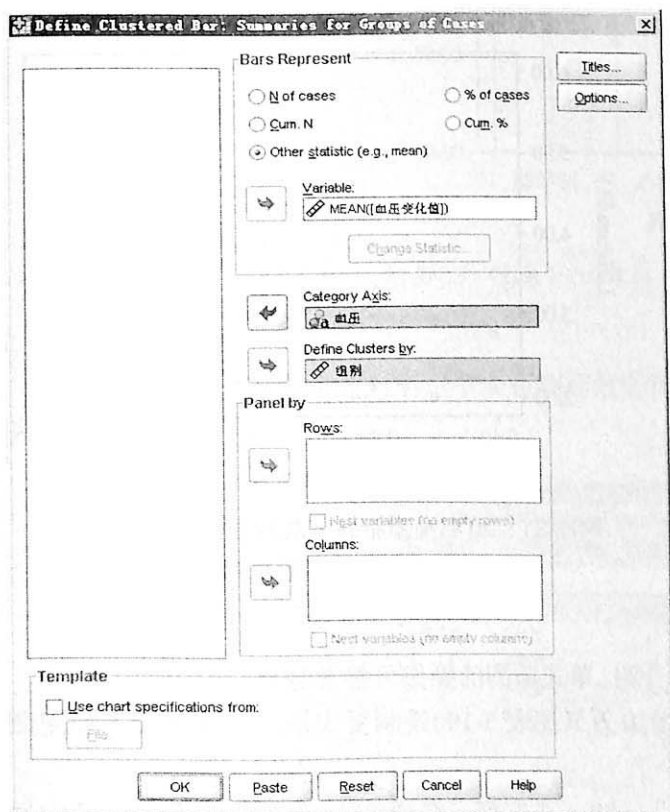
根据试验组和对照组 6 周后血压的变化情况(见表 5-16)的数据进行介绍。数据录入如附图 26 所示。其中,“组别”为分组变量,赋值为试验组、对照组;“血压变化值”表示观测指标,“血压”赋值为舒张压、收缩压。

组别	血压变化值	血压
1	12	舒张压
2	12	舒张压
3	10	舒张压
4	0	舒张压
5	16	舒张压
6	10	舒张压
7	14	舒张压

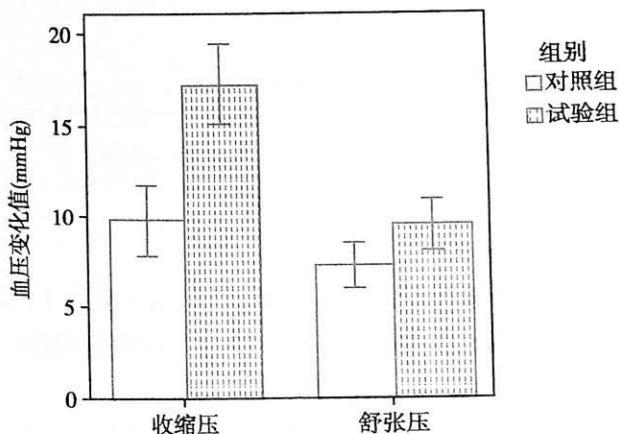
附图 26 表 5-16 对应的数据集

第五章图 5-7 所对应的误差条图的绘制可通过“Graphs”→“Legacy Dialogs”→“Bar...”实现。在弹出的“Bar Charts”对话框中选择“Clustered”和“Summaries for groups of cases”，点击“Define”。在弹出的“Define Clustered Bar”对话框中，点击“Other statistic(e.g. mean)”，将“血压变化值”选入“Variable”框中，第一个分层变量“血压”选入“Category Axis”框中，第二个分层变量“组别”选入“Define Clusters by”框中。如附图 27 所示。

点击“Options...”，在弹出的对话框中，选择“Display error bars”，并在“Error Bars Represent”下方的框中，选择“Standard error”，以使输出的误差线代表标准误的大小，可在“Multiplier:”后的框中键入需输出几倍标准误，本例定义为“1.0”。点击“Continue”，最后点击“OK”可得误差条图。如附图 28 所示。



附图 27 Define Clustered Bar 对话框

附图 28 试验组和对照组血压的平均变化情况($\bar{X} \pm SE$)

2.3.5 散点图

根据高血脂患者载脂蛋白 B 与低密度脂蛋白的关系(见表 5-17)绘制散点图。数据录入如附图 29 所示。

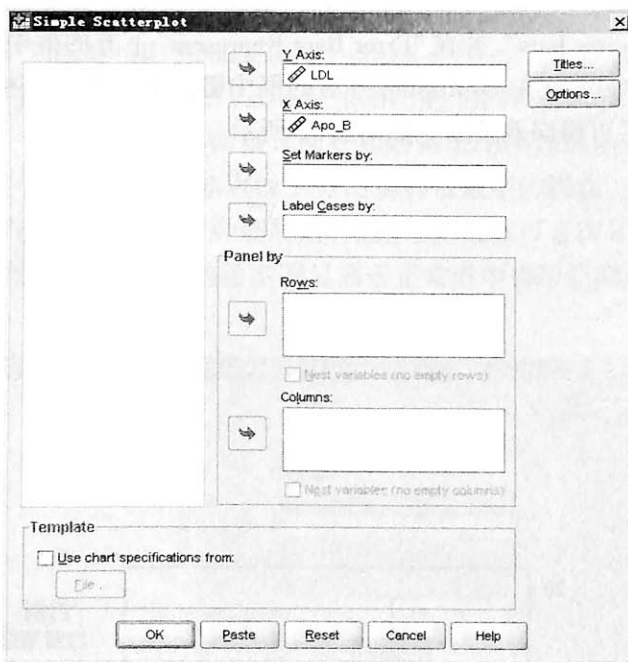


	Apo_B	LDL	var	var	var	y
1	0.80	2.98				
2	0.60	2.76				
3	0.90	3.22				
4	0.80	3.84				
5	0.90	3.12				
6	0.90	4.18				
7	0.70	2.00				

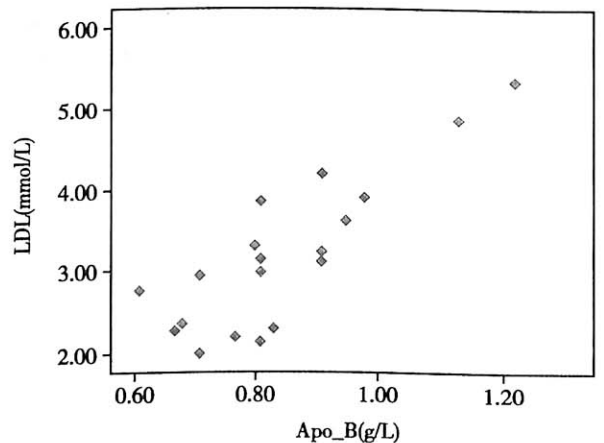
附图 29 表 5-17 对应的数据集

散点图的绘制可通过“Graphs”→“Legacy Dialogs”→“Scatter/Dot”实现。在弹出的“Scatter/Dot”对话框中选择“Simple scatter”，点击“Define”。在“Simple Scatterplot”对话框中，把指标“LDL”选入“Y Axis”框、把指标“Apo_B”选入“X Axis”框。如附图 30 所示。

点击“OK”得到原始的散点图，按需要进行编辑即可得附图 31。



附图 30 Simple Scatterplot 对话框



附图 31 20 名高血脂患者载脂蛋白 B 与低密度脂蛋白关系的散点图

2.3.6 直条图

单式条图的绘制较为简单，这里结合复式条图进行介绍，单式条图的操作可参考进行。

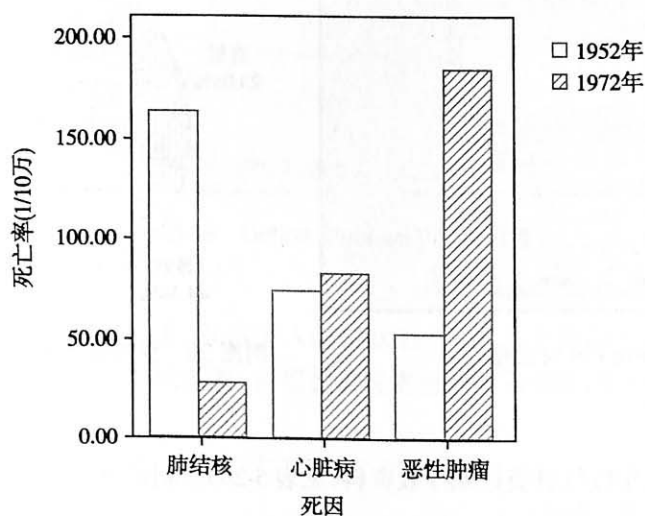
根据某地区 1952 年与 1972 年三种疾病的死亡率(1/10 万)(见表 5-19)绘制复式条图。数据录入如附图 32 所示。

复式条图的绘制可通过“Graphs”→“Legacy Dialogs”→“Bar...”实现。在弹出的“Bar Charts”对话框中选择“Clustered”(如绘制单式条图则选择“Simple”)和“Summaries for groups of cases”，点击“Define”。在弹出的“Define Clustered Bar”对话框中，点击“Other statistic(e.g. mean)”，将“死亡率”选入“Variable”框中，第一个分层变量“死因”选入“Category Axis”框，第二个分层变量“年份”选入“Define Clusters by”框中。操作过程与界面同本章的节 2.3.4，只是本例中无需通过“Options...”定义误差线。

	死因	年份	死亡率	var	var	var	var
1	肺结核	1952	163.20				
2	心脏病	1952	72.50				
3	恶性肿瘤	1952	52.50				
4	肺结核	1972	27.40				
5	心脏病	1972	82.50				
6	恶性肿瘤	1972	183.50				
7							
8							
9							

附图 32 表 5-19 对应的数据集

单击“OK”得到原始的复式条图。双击后可进行编辑,得到附图 33。



附图 33 某地 1952 年与 1972 年三种疾病死亡率比较

2.3.7 圆图

根据复方猪胆囊治疗老年性气管炎近期疗效资料(见表 5-20)绘制单纯型近期疗效的圆图。数据录入如附图 34 所示。

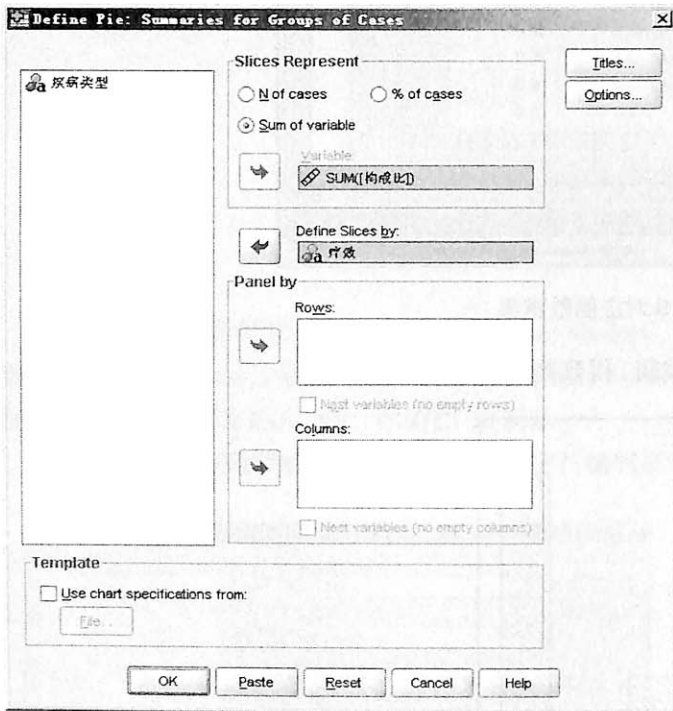
	疗效	疾病类型	构成比	var	var	var	var
1	临床治愈	单纯型	27.15				
2	显效	单纯型	44.34				
3	有效	单纯型	23.08				
4	无效	单纯型	5.43				
5							
6							
7							
8							
9							

附图 34 表 5-20(单纯型)对应的数据集

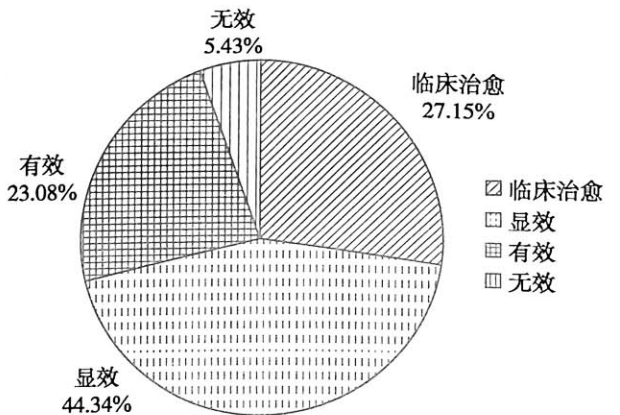


圆图的绘制可通过“Graphs”→“Legacy Dialogs”→“Pie...”实现。在弹出的“Pie Charts”对话框中选择“Summaries for groups of cases”，点击“Define”。在弹出的“Define Pie”对话框中，单击“Sum of variable”，把“构成比”选入“Variable”框，分组变量“疗效”选入“Define Slices by”框。如附图 35 所示。

点击“OK”得到原始的圆图。可根据需要进行修改得到附图 36。



附图 35 Define Pie 对话框



附图 36 复方猪胆囊治疗单纯型老年气管炎近期疗效

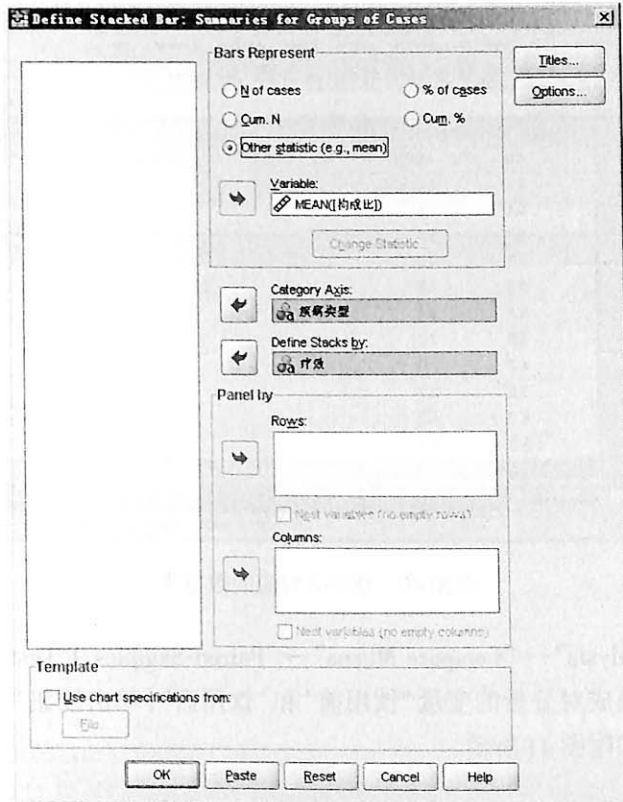
2.3.8 百分比条图

根据复方猪胆囊治疗老年性气管炎近期疗效资料(见表 5-20)绘制百分比条图。数据录入如附图 37 所示。


行号	疗效	疾病类型	构成比
1	临床治愈	单纯型	27.15
2	显效	单纯型	44.34
3	有效	单纯型	23.08
4	无效	单纯型	5.43
5	临床治愈	哮喘型	12.64
6	显效	哮喘型	45.06
7	有效	哮喘型	36.26
8	无效	哮喘型	6.04
9			

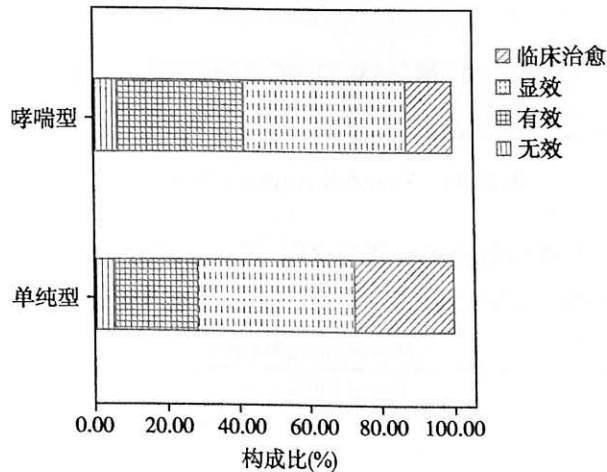
附图 37 表 5-20 对应的数据集

百分比条图的绘制可通过“Graphs”→“Legacy Dialogs”→“Bar...”实现。在弹出的“Bar Charts”对话框中选择“Stacked”和“Summaries for groups of cases”，点击“Define”。在弹出的“Define Stacked Bar”对话框中，选择“Other statistic(e.g. mean)”，将“构成比”选入“Variable”框中，把分组变量“疾病类型”选入“Category Axis”框，把“疗效”选入“Define Stacks by”框。如附图 38 所示。



附图 38 Define Stacked Bar 对话框

点击“OK”，选中输出的百分比条图，双击进入编辑状态，点击右上角的工具按钮“ (Transpose chart coordinate system)”，可得到原始的百分比条图，再根据需要进行修改得到附图 39。



附图 39 复方猪胆囊治疗老年性气管炎近期疗效比较

2.4 t 检验

2.4.1 配对 t 检验

根据例 7-2 的资料介绍配对 t 检验。

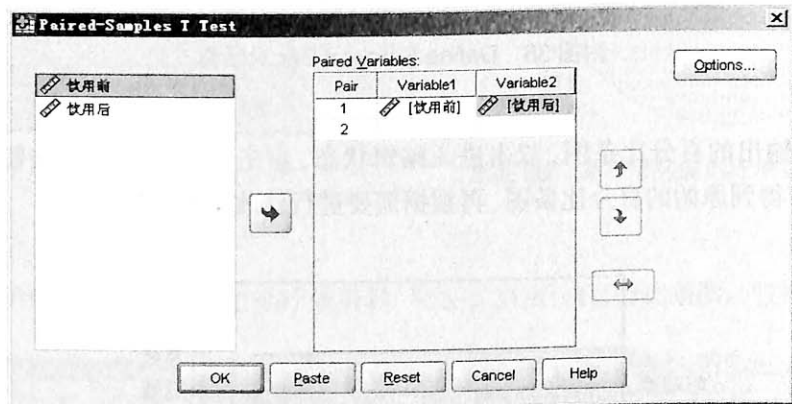
研究男性志愿者饮用咖啡前后运动状态下的心肌血流量，数据录入如附图 40 所示。其中，每个对子观测到的数据放在同一行。本例，每个志愿者饮用咖啡前后的心肌血流量观测值放在同一行，共 12 行。



	饮用前	饮用后	var	var	var	var	var
1	4.8	4.8					
2	5.1	4.9					
3	6.4	4.5					
4	5.7	5.4					
5	5.6	4.7					
6	5.3	3.8					
7	5.1	4.1					
8	4.9	3.2					
9	4.7	3.0					
10	3.5	3.2					
11	5.2	5.3					
12	5.3	5.1					

附图 40 例 7-2 对应的数据集

配对 t 检验可通过“Analysis”→“Compare Means”→“Paired-Samples T Test...”实现。在弹出的对话框左侧的变量列表中单击选择成对分析的变量“饮用前”和“饮用后”，单击按钮“➔”，将变量选入到“Paired Variable(s)”变量列表中。如附图 41 所示。



附图 41 Paired-Samples T Test 对话框

如需输出饮用前后差值的总体均数的 95% 可信区间，可以在附图 41 所示的对话框中，单击“Options...”，设置“Confidence Interval”为 95%，点击“Continue”。最后单击“OK”完成。输出的主要结果如下：

		Paired Differences					t	df	Sig. (2-tailed)
		Mean	Std. Deviation	Std. Error Mean	95% Confidence Interval of the Difference				
					Lower	Upper			
Pair 1	饮用前 - 饮用后	.8000	.7410	.2139	.3292	1.2708	3.740	11	.003

结果中，从左到右依次给出了“饮用前 - 饮用后”差值的均数(Mean)、标准差(Std. Deviation)、均数的标准误(Std. Error Mean)、差值总体均数的 95% 可信区间(95% Confidence Interval of the Difference)，以及 t 值(t)、自由度(df)、双侧 P 值(Sig. 2-tailed)。本例： $t=3.740$ ， $P=0.003$ ，可以认为饮用咖啡前后运动者的心肌血流量存在差异。

2.4.2 两组独立样本的 t 检验

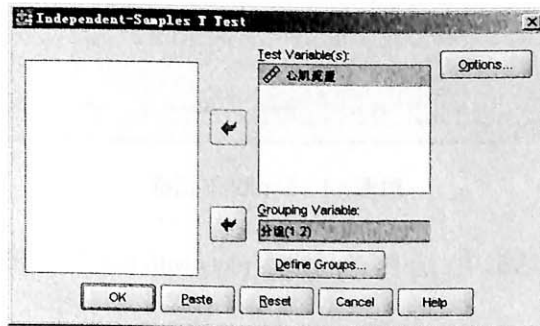
根据例 7-3 的资料介绍两组独立样本的 t 检验。

研究低氧环境和正常含氧环境中运动者的心肌血流量,数据录入如附图 42 所示。其中,分组变量为一列,本例为“分组”(1=正常组,2=低氧组);观测指标“心肌流量”为一列。

Case	分组	心肌流量
1	1	3.5
2	1	3.1
3	1	3.1
4	1	2.7
5	1	2.5
6	1	2.3
7	1	2.3
8	1	2.2
9	1	2.2
10	2	6.4
11	2	5.7
12	2	5.6
13	2	5.3
14	2	5.1
15	2	4.9
16	2	4.7
17	2	3.5

附图 42 例 7-3 对应的数据集

两组独立样本的 t 检验可通过:“Analyze”→“Compare Means”→“Independent-Samples T Test...”实现。在弹出的对话框左侧的变量列表中单击选择观测指标“心肌流量”,单击按钮“➡”,将变量选入到“Test Variable(s)”列表中。选中分组变量“分组”,单击按钮“➡”,将变量选入到“Grouping Variable”框中。单击“Define Groups...”,在弹出的对话框中,录入两组的赋值“1”和“2”。如附图 43 所示。



附图 43 Independent-Samples T Test 对话框

如需输出两均数差的 95% 可信区间,可以单击“Options...”,设置“Confidence Interval”为 95%,点击“Continue”。最后单击“OK”完成。输出的主要结果如下:

	Levene's Test for Equality of Variances		t-test for Equality of Means					95% Confidence Interval of the Difference	
			t	df	Sig. (2-tailed)	Mean Difference	Std. Error Difference		
	F	Sig.					Lower	Upper	
Equal variances assumed	1.027	.327	-7.579	15	.000	-2.4944	.3291	-3.1960	-1.7929
Equal variances not assumed			-7.332	10.684	.000	-2.4944	.3402	-3.2460	-1.7429



结果整体上分为两部分,方差齐性检验的结果“Levene’s Test for Equality of Variances”和两组独立样本 t 检验的结果“t-test for Equality of Means”。其中, t 检验的结果包括了方差齐性假定满足“Equal variances assumed”和不满足“Equal variances not assumed”两种情况的检验结果,从左到右依次给出了 t 值(t)、自由度(df)、双侧 P 值(Sig. 2-tailed),均数差(Mean Difference)、均数差的标准误(Std. Error Difference)、两均数差的95%可信区间(95% Confidence Interval of the Difference)。

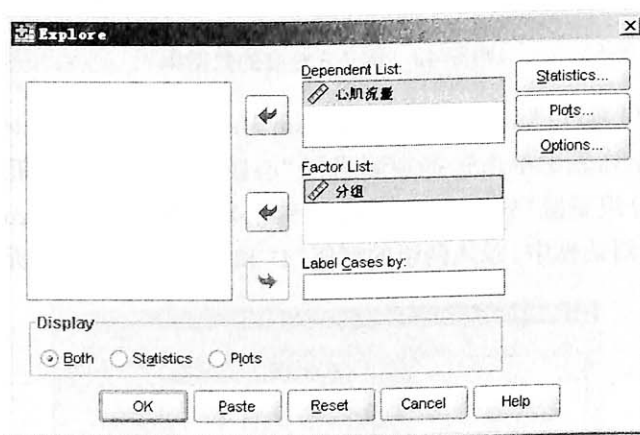
在看结果时,首先要看方差齐性检验的结果,即两样本所来自的总体是否方差相等。本例 $F = 1.027$, $P = 0.327 > 0.05$,尚不能认为两样本方差不齐,可以采用方差齐性假定满足的 t 检验结果,对应于“Equal variances assumed”一行。本例: $t = -7.579$, $P < 0.001$,可以认为两种环境中运动者的心肌血流量不同。

如果方差齐性检验的结果中 $P \leq \alpha$,即两总体方差不齐,则应采用 t' 检验。SPSS 的操作过程与上述两组独立样本的 t 检验相同,只是在选择 t 检验的结果时,需选择方差齐性假定不满足,即“Equal variances not assumed”所对应的那一行的结果即可。

2.4.3 正态性检验

Student t 检验有两个应用前提:样本所来自的总体服从正态分布(即正态性),以及两独立样本比较时,要求其来自的两总体方差相等(即方差齐性)。注意到,方差齐性的结果在进行两独立样本 t 检验的 SPSS 结果中会自动给出。本节我们介绍一下如何对资料进行正态性检验,仍然结合例 7-3 的资料介绍。

正态性检验可通过“Analyze”→“Descriptive Statistics”→“Explore...”实现。在弹出的对话框左侧的变量列表中,选中观测指标“心肌流量”,单击按钮“➔”,将变量选入到“Dependent List”列表框中;将分组变量“分组”,选入到“Factor List”框中。如附图 44 所示。



附图 44 Explor 对话框

单击“Plots...”,在弹出的对话框中,选中“Normality plots with tests”,点击“Continue”。最后单击“OK”完成。输出的主要检验结果如下:

分组		Kolmogorov-Smirnov ^a			Shapiro-Wilk		
		Statistic	df	Sig.	Statistic	df	Sig.
心肌流量	正常组	.218	9	.200*	.872	9	.130
	低氧组	.174	8	.200*	.957	8	.781

a. Lilliefors Significance Correction

*. This is a lower bound of the true significance.

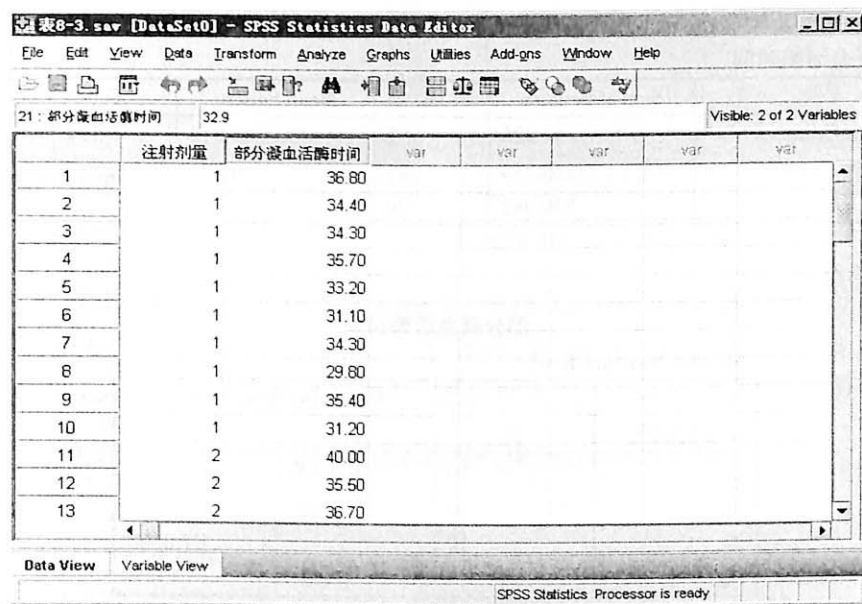
正态性检验采用了两种方法:Kolmogorov-Smirnov 法和 Shapiro-Wilk 法,分别给出了两组的统计量值(Statistic)、自由度(df)和 P 值(Sig.)。其中,Shapiro-Wilk 法主要适用于样本含量少于 100 的资料。本例,选择 Shapiro-Wilk 法的结果,正常组: $P = 0.130$;低氧组: $P = 0.781$,两组的 P 值均大于 0.10,说明两组资料满足正态性假定,可采用 Student t 检验。

2.5 方差分析

2.5.1 完全随机设计的方差分析

根据例 8-1 的资料介绍完全随机设计的方差分析。

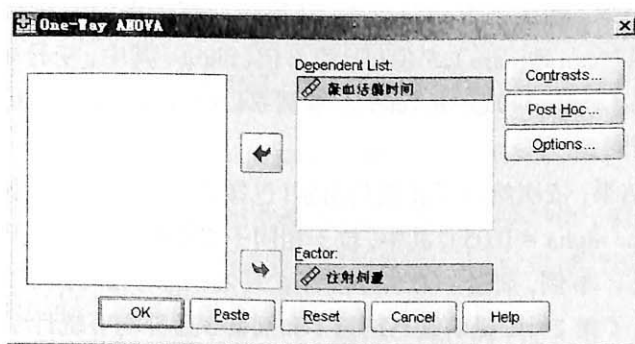
研究药物不同剂量的部分凝血活酶时间,数据录入如附图 45 所示。其中,分组变量为一列,本例为“注射剂量”(1=“0.5U”、2=“1U”、3=“2U”);观测指标“部分凝血活酶时间”为一列。



Case	注射剂量	部分凝血活酶时间
1	1	36.80
2	1	34.40
3	1	34.30
4	1	35.70
5	1	33.20
6	1	31.10
7	1	34.30
8	1	29.80
9	1	35.40
10	1	31.20
11	2	40.00
12	2	35.50
13	2	36.70

附图 45 例 8-1 的数据集

多个独立样本均数比较的方差分析可通过“Analyze”→“Compare Means”→“One-Way Anova...”实现。在弹出的对话框左侧的变量列表中单击选择“部分凝血活酶时间”,单击按钮“→”,将变量选入到“Dependent List”中;单击选择分组变量“注射剂量”,单击按钮“→”,将变量选入到“Factor List”中。如附图 46 所示。



附图 46 One-Way ANOVA 对话框

对于方差分析,可直接在附图 46 的界面上进行多重比较和方差齐性检验的定义,SPSS 将同时给出两者的结果。

均数间多重比较的实现:单击“Post Hoc...”,在弹出对话框中选择多重比较的方法,再点击“Continue”返回主界面。SPSS 提供了很多常用的多重比较方法,包括:LSD、Bonferroni、Sidak、SNK、Tukey、Dunnnett 等,供用户根据研究需要进行选择。本例,选择 SNK 法。

方差齐性检验的实现:单击“Options...”,在弹出的对话框中选择“Homogeneity of variance test”,然后单击“Continue”返回主界面。

最后,单击“OK”完成。输出的主要结果如下:



(1) 方差齐性检验的结果

Test of Homogeneity of Variances

部分凝血活酶时间

Levene Statistic	df1	df2	Sig.
1.847	2	27	.177

(2) 方差分析的结果

ANOVA

部分凝血活酶时间

	Sum of Squares	df	Mean Square	F	Sig.
Between Groups	91.225	2	45.612	6.524	.005
Within Groups	188.757	27	6.991		
Total	279.982	29			

(3) SNK 检验的结果

部分凝血活酶时间

Student-Newman-Keuls^a

注射剂量	N	Subset for alpha = 0.05	
		1	2
1	10	33.6200	
3	10	35.1000	
2	10		37.8300
Sig.		.221	1.000

Means for groups in homogeneous subsets are displayed.

a. Uses Harmonic Mean Sample Size = 10.000.

结果 1 为进行多个独立样本方差齐性检验的 Levene 检验结果,依次输出检验统计量(Levene Statistic)和 P 值(Sig.)。本例 Levene Statistic = 1.847, $P=0.177$, 表示各组 48 小时部分凝血活酶时间的观测值满足方差齐性。

结果 2 为方差分析的结果,列出了方差分析表,从第一列其依次为变异来源、离均差平方和(Sum of Squares)、自由度(df)、均方(Mean Square)、 F 值(F)和 P 值(Sig.)。其中,变异来源中,包括:组间(Between Groups)、组内(误差)(Within Groups)和总的(Total)。本例 $F=6.524$, $P=0.005$, 可以认为三种不同剂量 48 小时部分凝血活酶时间不全相同。

结果 3 为 SNK 检验的结果,依次给出了比较的组别(已按照均数由小到大排好序)、样本量(N)、在 0.05 水准下的检验结果(Subset for alpha = 0.05),其中,位于相同子集中的均数差异无统计学意义,位于不同子集中的均数差异有统计学意义。本例,剂量 1(0.5U)和剂量 3(2U)的均数均在子集 1 中,差异无统计学意义,而只有剂量 2(1U)的均数在子集 2 中,说明其与剂量 1 和剂量 3 差异均有统计学意义。因此,尚不能认为剂量 1 和剂量 3 的 48 小时部分凝血活酶时间不同,可认为剂量 2 与另外两个剂量的 48 小时部分凝血活酶时间均不同,剂量 2 的最长。

2.5.2 随机区组设计的方差分析

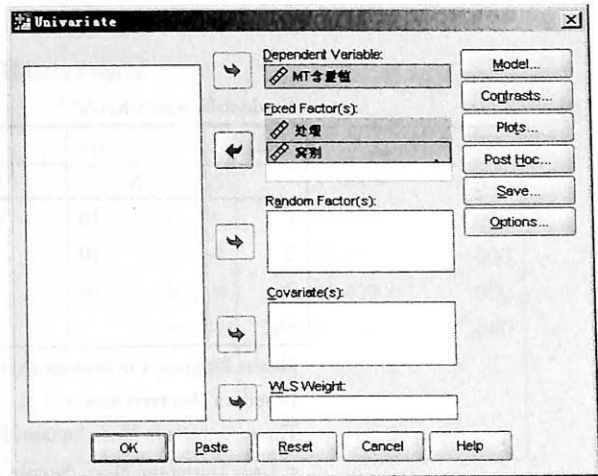
根据例 8-2 的资料介绍随机区组设计的方差分析。

研究三种不同处理的大鼠 MT 含量,数据录入如附图 47 所示。其中,分组变量为一列,本例为“处理”(1=“对照组”、2=“氯化镉组”、3=“Rgl+氯化镉组”);区组变量为一列,本例为“窝别”;观测指标为一列,本例为“MT 含量值”。

随机区组设计的方差分析可通过“Analyze”→“General Linear Model”→“Univariate...”实现。在弹出的对话框中,将左侧的变量列表中“MT 含量值”选入到“Dependent Variable”中;将变量“处理”和“窝别”选入到“Fixed Factor(s)”中。如附图 48 所示。

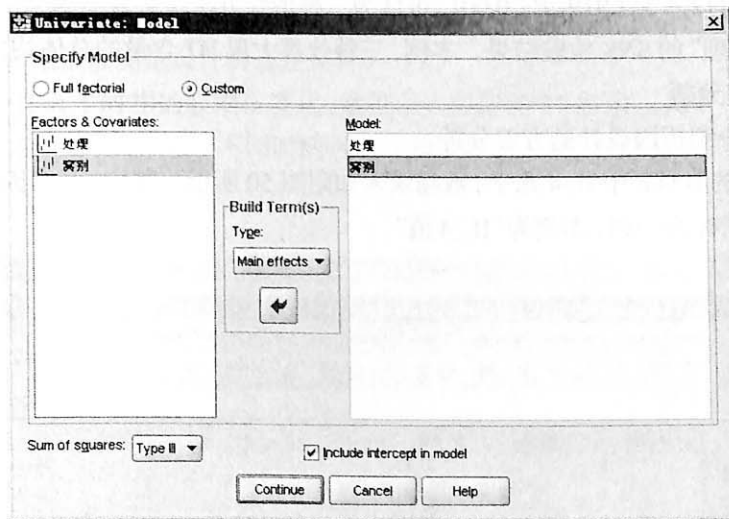
	处理	窝别	MT含量值	var1	var2
1	1	1	40.6		
2	1	2	44.8		
3	1	3	36.7		
4	1	4	49.9		
5	1	5	59.8		
6	1	6	54.5		
7	1	7	38.4		
8	1	8	41.6		
9	1	9	46.8		

附图 47 例 8-2 的数据集



附图 48 Univariate 对话框

单击“Model...”，在弹出对话框中的“Specify Model”下选择“Custom”；“Build Term(s)”中的“Type:”下选择“Main effects”，然后将左侧“Factors & Covariates”中“处理”和“窝别”选入“Model”中；在“Sum of squares”下选择“Type III”，将“Include intercept in Model”选中。然后单击“Continue”。如附图 49 所示。



附图 49 Univariate: Model 对话框

点击“Post Hoc...”，在“Factor(s)”选择分组变量“处理”，单击按钮“➡”，将变量选入到“Post Hoc Tests for:”中；在“Equal Variances Assumed”框中，选择多重比较的方法。本例，选择“SNK”法。然后单击“Continue”。最后单击“OK”完成。输出的主要结果如下：

(1) 方差分析的结果

Tests of Between-Subjects Effects

Dependent Variable: MT 含量值

Source	Type III Sum of Squares	df	Mean Square	F	Sig.
Corrected Model	34 355.761 ^a	11	3123.251	64.567	.000
Intercept	222 551.307	1	222 551.307	4600.797	.000
处理	33 078.798	2	16 539.399	341.919	.000
窝别	1276.963	9	141.885	2.933	.025
Error	870.702	18	48.372		
Total	257 777.770	30			
Corrected Total	35 226.463	29			

a. R Squared = .975 (Adjusted R Squared = .960)



(2) SNK 法的结果

MT 含量值

Student-Newman-Keuls^{a, b}

处理	N	Subset		
		1	2	3
1	10	45.780		
2	10		85.500	
3	10			127.110
Sig.		1.000	1.000	1.000

Means for groups in homogeneous subsets are displayed.

Based on observed means.

The error term is Mean Square(Error)= 48.372.

a. Uses Harmonic Mean Sample Size = 10.000.

b. Alpha = 0.05.

结果(1)是随机区组设计方差分析的结果,表中依次给出了变异来源(Source)、Ⅲ型离均差平方和(Type III Sum of Squares)、自由度(df)、均方(Mean Square)、 F 值(F)和 P 值(Sig.)。其中,变异来源包括:校正模型(Corrected Model)、常数项(Intercept)、治疗组、区组、误差(Error)、总变异(Total)、校正的总变异(Corrected Total)。本例,处理对应的 $F=341.919$, $P<0.001$,可认为三种治疗方法缓解胃痛时间的总体均值不全相同。

结果(2)是针对“处理”的SNK检验结果。本例,三种处理大鼠MT含量的总体均值两两均不相同。

2.5.3 析因设计的方差分析

根据例 8-5 的资料介绍析因设计的方差分析。

研究四种不同处理的 BALF 中 IL-4 水平,数据录入如附图 50 所示。其中,两个因素各为一列,1、2 分别表示不同的水平;观测指标为一列,本例为“IL_4 值”。

	A因素	B因素	IL_4值	var	var	var	var
1	1	1	37.43				
2	1	1	36.83				
3	1	1	36.32				
4	1	1	35.04				
5	1	1	36.88				
6	1	1	36.60				
7	1	1	32.02				
8	1	1	30.58				
9	1	1	33.30				
10	1	1	38.19				
11	1	2	37.94				
12	1	2	33.63				
13	1	2	39.30				

附图 50 例 8-5 的数据集

析因设计的方差分析过程与节 2.5.2 介绍的随机区组方差分析的 SPSS 操作过程相似。均通过“Analyze”→“General Linear Model”→“Univariate...”实现。首先,在 Univariate 对话框中,将左侧的变量列表中“IL_4 值”选入到“Dependent Variable”中;将变量“A 因素”和“B 因素”选入到“Fixed Factor(s)”中。点击“Model...”,在弹出的对话框中的“Specify Model”下选择默认项“Full factorial”,并单击“Continue”。最后单击“OK”完成。

输出的主要结果如下:

Tests of Between-Subjects Effects

Dependent Variable: IL_4 值

Source	Type III Sum of Squares	df	Mean Square	F	Sig.
Corrected Model	1512.560 ^a	3	504.187	33.450	.000
Intercept	61 253.320	1	61 253.320	4063.855	.000
A 因素	250.650	1	250.650	16.629	.000
B 因素	836.219	1	836.219	55.479	.000
A 因素 * B 因素	425.691	1	425.691	28.242	.000
Error	542.618	36	15.073		
Total	63 308.498	40			
Corrected Total	2055.178	39			

a. R Squared = .736(Adjusted R Squared = .714)

上表为本例的方差分析表,表中各列的意义同节 2.5.2 介绍的随机区组方差分析表,此处不再赘述。本例,“A 因素”对应的 $F=16.629, P<0.001$, 可认为 A_1 组与 A_2 组 IL-4 值总体均数不相等;“B 因素”对应的 $F=55.479, P<0.001$, 可认为 B_1 组与 B_2 组 IL-4 值总体均数不相等;“A 因素 * B 因素”表示 AB 的交互作用,其 $F=28.242, P<0.001$, 说明 A 与 B 两处理因素之间存在交互作用。

2.5.4 重复测量设计的方差分析

根据例 8-6 的资料介绍重复测量设计的方差分析。

研究三种麻醉诱导在五个时相的收缩压变化,数据录入如附图 51 所示。其中,处理因素为一列,本例为“诱导方法”,1=“A”、2=“B”、3=“C”;不同时间点的观测值各为一列,本例为不同诱导时相的患者收缩压测量值,从 T0-T4。

	诱导方法	T0	T1	T2	T3	T4	var
1	1	120.00	108.00	112.00	120.00	117.00	
2	1	118.00	109.00	115.00	126.00	123.00	
3	1	119.00	112.00	119.00	124.00	118.00	
4	1	121.00	112.00	119.00	126.00	120.00	
5	1	127.00	121.00	127.00	133.00	126.00	
6	2	121.00	120.00	118.00	131.00	137.00	
7	2	122.00	121.00	119.00	129.00	133.00	
8	2	128.00	129.00	126.00	135.00	142.00	
9	2	117.00	115.00	111.00	123.00	131.00	
10	2	118.00	114.00	116.00	123.00	133.00	
11	3	131.00	119.00	118.00	135.00	129.00	
12	3	129.00	128.00	121.00	148.00	132.00	
13	3	123.00	123.00	120.00	143.00	136.00	

附图 51 例 8-6 的数据集

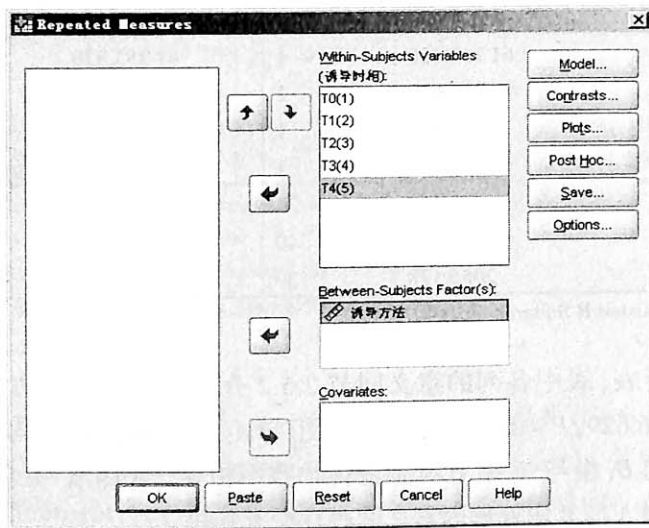
重复测量设计的方差分析可通过“Analysis”→“General Linear Model”→“Repeated Measures...”实现。

在弹出的“Repeated Measures Define Factor(s)”对话框中,“Within-Subject Factor Name”文本框中填入名称“诱导时相”;在“Number of Levels”文本框中填入数字“5”,表示有 5 个时间点的数据;单击“Add”按钮,在 Add 按钮右侧变量列表会出现“时点(5)”,点击“Define”按钮。

在弹出的“Repeated Measures”对话框中,在左侧的变量列表中单击选择分析变量“T0”,单击按钮“➡”,



将变量“T0”选入到“Within-Subjects Variables(诱导时相):”变量列表中。对变量“T1”、“T2”、“T3”、“T4”也进行类似变量“T0”的操作。将分组变量“诱导方法”选入“Between-Subjects Factor(s):”列表框中。如附图 52 所示。



附图 52 Repeated Measures 对话框

单击“OK”完成。输出的主要结果如下：

(1) 受试对象内的方差分析表

Tests of Within-Subjects Effects

Measure: MEASURE_1

Source		Type III Sum of Squares	df	Mean Square	F	Sig.
诱导时相	Sphericity Assumed	2336.453	4	584.113	106.558	.000
	Greenhouse-Geisser	2336.453	2.715	860.644	106.558	.000
	Huynh-Feldt	2336.453	4.000	584.113	106.558	.000
	Lower-bound	2336.453	1.000	2336.453	106.558	.000
诱导时相 * 诱导方法	Sphericity Assumed	837.627	8	104.703	19.101	.000
	Greenhouse-Geisser	837.627	5.430	154.272	19.101	.000
	Huynh-Feldt	837.627	8.000	104.703	19.101	.000
	Lower-bound	837.627	2.000	418.813	19.101	.000
Error(诱导时相)	Sphericity Assumed	263.120	48	5.482		
	Greenhouse-Geisser	263.120	32.577	8.077		
	Huynh-Feldt	263.120	48.000	5.482		
	Lower-bound	263.120	12.000	21.927		

(2) 受试对象间的方差分析表

Tests of Between-Subjects Effects

Measure: MEASURE_1

Transformed Variable: Average

Source	Type III Sum of Squares	df	Mean Square	F	Sig.
Intercept	1 155 433.080	1	1 155 433.080	14 649.223	.000
诱导方法	912.240	2	456.120	5.783	.017
Error	946.480	12	78.873		

结果(1)为受试对象内的分析结果,其方差分析表报告的各项指标同节 2.5.2 介绍的随机区组方差分析表,此处不再赘述。本例,无论是否满足球形假定,其检验 F 值与 P 值(包括 Sphericity Assumed、

Greenhouse-Geisser、Huynh-Feldt、Lower-bound)相同,“麻醉诱导时相”对应的 $F=106.558, P<0.001$,说明不同时间点之间的差异有统计学意义;“诱导时相 * 诱导方法”表示时间与处理的交互作用,其对应的 $F=19.101, P<0.001$,说明时间与处理的交互作用有统计学意义。

结果(2)为受试对象间的分析结果。本例,“诱导方法”对应的 $F=5.783, P=0.017$,可认为不同诱导方法之间的差异有统计学意义。

2.6 χ^2 检验

2.6.1 四格表资料的 χ^2 检验

根据例 9-1 的资料介绍四格表资料的 χ^2 检验。

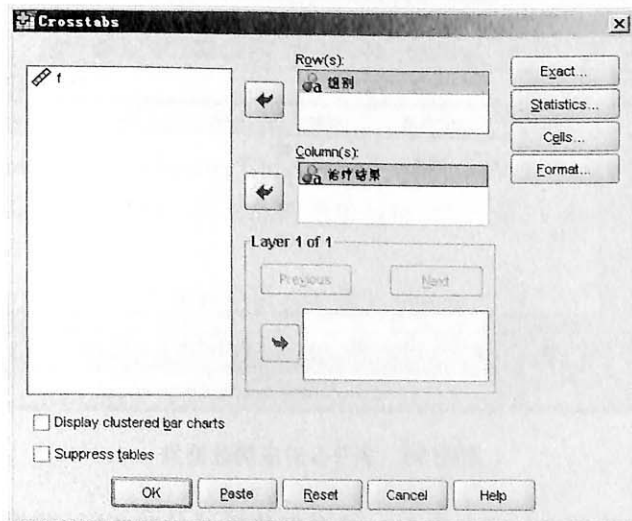
研究吲达帕胺片治疗原发性高血压,数据录入如附图 53 所示。其中,“组别”为分组变量,“治疗结果”为观测指标,“f”为四格表资料中四个格子的频数,即不同组别下某个治疗结果出现的频数。

	组别	治疗结果	f	var	var	var
1	对照组	有效	20.00			
2	对照组	无效	24.00			
3	试验组	有效	21.00			
4	试验组	无效	5.00			
5						
6						

附图 53 表 9-1 对应的数据集

注意到,四格表资料是已经经过整理的数据,而统计软件通常是根据原始数据进行分析的。因此,在做 χ^2 检验前,首先需要用“f”对数据集进行加权。数据加权的同本章 2.3.1,此处不再赘述。

四格表资料的 χ^2 检验可通过“Analyze”→“Descriptive Statistics”→“Crosstabs...”实现。在弹出的对话框左侧的变量列表中选中行变量“组别”,单击按钮“→”,将变量选入到“Row(s)”列表框中,将列变量“治疗结果”选入“Column(s)”列表框中。如附图 54 所示。



附图 54 Crosstabs 对话框



点击“Statistics”，选择“Chi-square”；点击“Continue”。点击“Cell”，可以根据结果显示的需要，选择“Observed”（显示四个格子的实际频数）、“Expected”（计算四个格子的理论频数）、“Row”（显示行百分比）和“Column”（显示列百分比）及“Total”（显示合计的行和列百分比），点击“Continue”。

最后，单击“OK”完成。输出的主要结果如下：

Chi-Square Tests

	Value	df	Asymp. Sig.(2-sided)	Exact Sig.(2-sided)	Exact Sig.(1-sided)
Pearson Chi-Square	8.399 ^a	1	.004		
Continuity Correction ^b	7.007	1	.008		
Likelihood Ratio	8.884	1	.003		
Fisher's Exact Test				.005	.003
N of Valid Cases	70				

a. 0 cells(.0%)have expected count less than 5. The minimum expected count is 10.77.

b. Computed only for a 2x2 table

结果中分别给出了 Pearson 卡方(Pearson Chi-Square), 连续性校正的卡方(Continuity Correction), 对数似然比方法计算的卡方(Likelihood Ratio), Fisher's 精确概率法(Fisher's Exact Test), 有效记录数(N of Valid Cases)等。

每种方法对应的结果包括: 统计量(Value)、自由度(df)、双侧近似 P 值(Asymp. Sig.(2-sided))、双侧确切 P 值(Exact Sig.(2-sided))和单侧确切 P 值(Exact Sig.(1-sided))。

并且, 在表的下方通过备注的方式给出了是否满足 χ^2 检验的条件, 本例, “备注 a”显示: “0 cells(.0%) have expected count less than 5. The minimum expected count is 10.77.” 即没有格子的理论频数小于 5, 最小的理论频数为 10.77。因此, 可采用 Pearson 卡方检验的结果, $\chi^2=8.399$, $P=0.004$, 可以认为两组治疗原发性高血压的总体有效率不等, 即可认为吲达帕胺片治疗原发性高血压是有效的。

对于需要采用连续性校正的卡方检验, 或者 Fisher 精确概率法计算时, SPSS 的操作过程相同, 注意到, 在输出的结果中, 其实已经同时给出了上述两种方法的结果, 大家只需要根据结果下方“备注 a”的提示, 来判断应该选择何种方法的输出结果即可。

2.6.2 配对四格表资料的 χ^2 检验

根据例 9-4 的资料介绍配对四格表资料的 χ^2 检验。

研究两种培养基的阳性培养率, 数据录入如附图 55 所示。其中, “A 培养基”、“B 培养基”变量表示两种培养基的培养结果, “频数”变量表示两种培养基培养结果不同组合下的频数。

	A培养基	B培养基	频数
1	+	+	48
2	+	-	24
3	-	+	20
4	-	-	106

附图 55 表 9-5 对应的数据集

配对四格表资料的 χ^2 检验操作过程与节 2.6.1 中的四格表 χ^2 检验相同, 要先进行数据加权(本例中权重变量为“频数”), 再进行 χ^2 检验。唯一不同的是点击“Statistics”后, 选择“McNemar”。

输出的主要结果如下:

	Value	Exact Sig. (2-sided)
McNemar Test		.652 ^a
N of Valid Cases	198	

a. Binomial distribution used.

SPSS 软件的“Crosstabs”功能不输出 McNemar 检验的统计量值,仅输出 P 值[Exact Sig.(2-sided)]。本例, $P=0.652$, 尚不能认为两种培养基的阳性率不同。

2.6.3 行 × 列表资料 χ^2 检验

根据例 9-5 的资料介绍行 × 列表资料的 χ^2 检验。

研究三种方案治疗急性肝炎的有效率,数据录入如附图 56 所示。

	组别	治疗效果	频数	var	var	var
1	西药组	有效	51.00			
2	中药组	有效	35.00			
3	中西药结合组	有效	59.00			
4	西药组	无效	49.00			
5	中药组	无效	45.00			
6	中西药结合组	无效	15.00			

附图 56 表 9-6 对应的数据集

行 × 列表资料的 χ^2 检验操作过程与节 2.6.1 中的四格表 χ^2 检验相同,要先进行数据加权,本例权重变量为“频数”。

输出的主要结果如下:

	Value	df	Asymp. Sig. (2-sided)
Pearson Chi-Square	22.808 ^a	2	.000
Likelihood Ratio	24.149	2	.000
N of Valid Cases	254		

a. 0 cells (.0%) have expected count less than 5. The minimum expected count is 31.76.

结果中分别给出了 Pearson 卡方(Pearson Chi-Square),对数似然比方法计算的卡方(Likelihood Ratio)和有效记录数(N of Valid Cases)。每种方法对应的结果包括:统计量(Value)、自由度(df)、双侧近似 P 值(Asymp. Sig.(2-sided))。

本例 $\chi^2=22.808$, $P<0.001$, 可认为三种疗法的有效率不全相等。

需进一步进行两两比较时,可在校正检验水准 α 的基础上,分别对欲比较的两个组进行四格表 χ^2 检验(操作过程见节 2.6.1)。校正 α 的原则与方法详见本书第 9 章。

2.7 非参数检验

2.7.1 配对资料的符号秩和检验

根据例 10-1 的资料介绍配对资料的符号秩和检验。

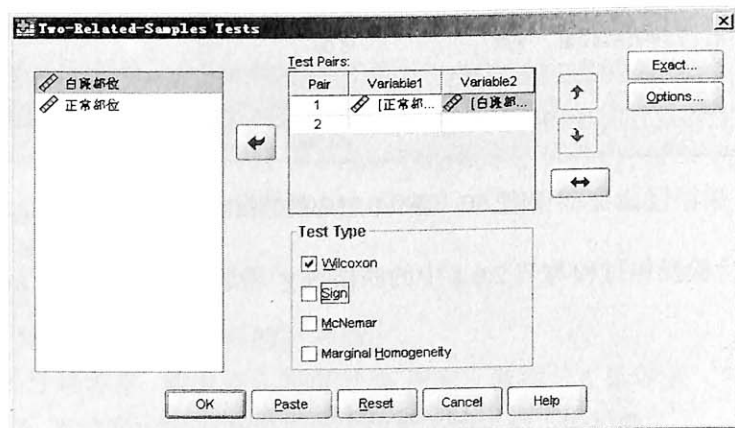


研究白癜风病人的 IL-6 指标在白斑部位与正常部位有无差异,数据录入如附图 57 所示。一名病人的两个部位的 IL6 指标放在同一行。

	白斑部位	正常部位
1	40.03	88.57
2	97.13	88.00
3	80.32	123.72
4	25.32	39.03
5	19.61	24.37
6	14.50	92.75
7	49.63	121.57
8	44.56	89.76

附图 57 表 10-1 对应的数据集

Wilcoxon 符号秩和检验可通过“Analyze”→“Nonparametric Test”→“2 Related Samples...”实现。在弹出的对话框左侧的变量列表中选中分析变量,单击按钮“➡”,将变量“正常部位”和“白斑部位”选入到“Test Pairs”变量列表中的“Variable1”和“Variable2”中,并在“Test Type”中选择“Wilcoxon”,如附图 58 所示。



附图 58 Two-Related-Samples Tests 对话框

单击“OK”完成。主要输出结果如下:

Test Statistics ^b	
	白斑部位 - 正常部位
Z	-2.240 ^a
Asymp. Sig. (2-tailed)	.025

a. Based on positive ranks.

b. Wilcoxon Signed Ranks Test

Wilcoxon 符号秩检验的主要检验结果包括:统计量(Z)和 P 值(Asymp. Sig.(2-tailed))。本例, $Z=-2.240$, $P=0.025$,可认为白斑部位与正常部位的白介素有差异。

2.7.2 两样本比较的秩和检验

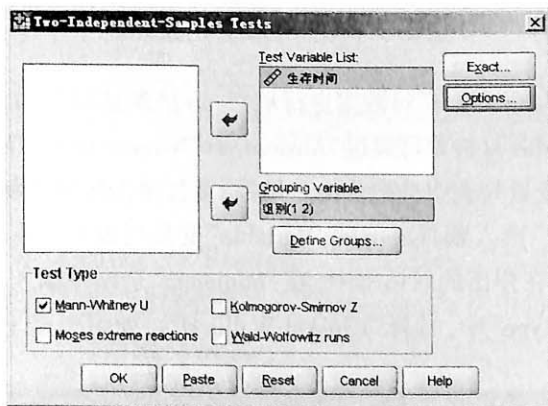
根据例 10-3 的资料介绍两样本比较的秩和检验。

研究有无淋巴细胞转移的胃癌患者对生存时间的影响,数据录入如附图 59 所示。其中,“组别”为分组变量,1=无淋巴细胞转移,2=有淋巴细胞转移。

	组别	生存时间
1	1	12.00
2	1	25.00
3	1	27.00
4	1	29.00
5	1	38.00
6	1	42.00
7	1	46.00
8	1	46.00
9	1	56.00
10	1	60.00
11	2	5.00
12	2	8.00
13	2	12.00

附图 59 表 10-4 对应的数据集

两样本比较的 Wilcoxon 秩和检验可通过“Analyze”→“Nonparametric Test”→“2 Independent Samples...”实现。在弹出的对话框左侧的变量列表中选中分析变量“生存时间”，单击按钮“➡”，将变量选入到“Test Variable List”列表框中，将变量“组别”选入到“Grouping Variable”变量列表中。并点击“Define Groups...”，在弹出的对话框中，分别在“Group 1”选框中输入 1，在“Group 2”选框中输入 2，单击“Continue”。在“Test Type”中，选择“Mann-Whitney U”。如附图 60 所示。



附图 60 Two-Independent-Samples Tests 对话框

单击“OK”完成。输出的主要结果如下：

Test Statistics ^b	
	生存时间
Mann-Whitney U	33.000
Wilcoxon W	138.000
Z	-2.172
Asymp. Sig. (2-tailed)	.030
Exact Sig. [2*(1-tailed Sig.)]	.031 ^a

a. Not corrected for ties.

b. Grouping Variable: 组别



两组 Wilcoxon 符号秩和检验的主要结果包括 Mann-Whitney U 统计量(Mann-Whitney U), Wilcoxon W 统计量(Wilcoxon W), Z 检验统计量(Z), 近似双侧 P 值(Asymp. Sig.(2-tailed))和确切的 P 值{ Exact Sig. [2*(1-tailed Sig.)] }。本例, $Z=-2.172, P=0.030$, 可认为两组患者的平均生存时间不同。

对于等级资料的比较, 所收集的资料如为频数表(见例 10-4), 则需先根据频数对数据进行加权, 再采用上述过程操作即可。需要注意的是, 分组变量的赋值必须是数值型。

2.7.3 多个样本比较的秩和检验

根据例 10-5 的资料介绍多个样本比较的秩和检验。

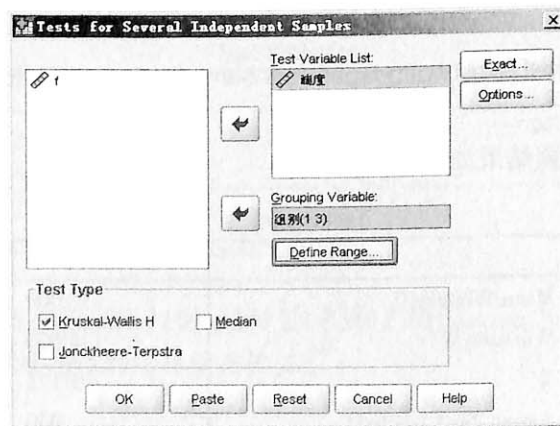
研究霍乱菌苗不同途径的免疫效果, 数据录入如附图 61 所示。其中“滴度”为血清抗体滴度水平的编秩, 滴度“1:10”至“1:320”依次编为“1”至“6”; “f”为各个滴度出现的频数; “组别”为分组变量, 1=气雾组 80 亿 /ml, 2=气雾组 100 亿 /ml, 3=皮下注射组。

滴度	f	组别
1	2	1
2	15	1
3	10	1
4	5	1
5	1	1
6	4	2
7	7	2
8	12	2
9	7	2

附图 61 表 10-6 对应的数据集

本例为频数表资料, 需先根据频数“f”对数据进行加权, 方法参见节 2.6.1。

多个样本比较的 Kruskal-Wallis H 检验可通过“Analyze”→“Nonparametric Test”→“K Independent Samples...”实现。在弹出的对话框左侧的变量列表中选中分析变量“滴度”, 单击按钮“→”, 将变量选入到“Test Variable List”列表中, 将分组变量“组别”选入到“Grouping Variable”变量列表中。再点击“Define Range...”(分组变量的赋值范围, 本例为 1 到 3), 在弹出的对话框中, 在“Minimum”选框中输入“1”, 在“Maximum”选框中输入“3”, 单击“Continue”。在“Test Type”中, 选择“Kruskal-Wallis H”。如附图 62 所示。



附图 62 Test for Several Independent Samples 对话框

单击“OK”完成。输出的主要结果如下:

Test Statistics^{a, b}

	滴度
Chi-Square	12.267
df	2
Asymp. Sig.	.002

a. Kruskal Wallis Test

b. Grouping Variable: 组别

多个样本比较的 Kruskal-Wallis H 检验的主要结果包括统计量 (Chi-Square), 自由度 (df) 和 P 值 (Asymp. Sig.)。本例, $\chi^2 = 12.267$, $P = 0.002$, 可认为三组血清抗体滴度水平不全相等。

2.8 线性回归与相关

2.8.1 线性回归

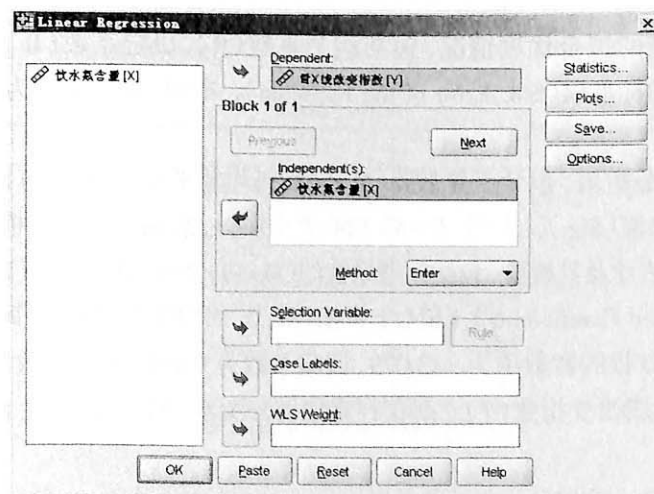
根据例 11-1 的资料介绍线性回归分析。

研究饮水氟含量与成人骨 X 线改变指数的关系, 数据录入如附图 63 所示。其中, “Y” 为应变量 “成人骨 X 线改变指数”; “X” 为自变量 “饮水氟含量”。

	X	Y
1	0.24	0.40
2	0.80	0.56
3	1.00	1.91
4	1.80	0.86
5	3.12	5.25
6	4.10	3.40
7	5.60	58.38
8	10.27	70.33
9	10.81	116.30

附图 63 表 11-1 的数据集

两变量直线回归分析可通过 “Analyze” → “Regression” → “Linear...” 实现。在弹出的对话框左侧的变量列表中选中应变量 “Y”, 单击按钮 “→”, 将应变量选入 “Dependent”; 选中自变量 “X”, 单击按钮 “←”, 将自变量选入 “Independent(s)” 列表中。如附图 64 所示。



附图 64 Linear Regression 对话框



单击“Statistics...”，在弹出的对话框中“Regression Coefficient”下选择“Estimates”和“Confidence intervals”分别输出回归系数的相关估计量及其95%可信区间；选择“Model fit”，输出拟合优度检验的相关信息。其中，“Estimates”和“Model fit”为默认选项。然后单击“Continue”。

单击“Save...”，在弹出的对话框中“Prediction Intervals”下选择“Mean”和“Individual”可分别输出条件均数的95%可信区间和个体值的容许区间。然后单击“Continue”。

单击“OK”完成。输出的主要结果如下：

(1) 模型的拟合优度情况

Model Summary^b

Model	R	R Square	Adjusted R Square	Std. Error of the Estimate
1	.928 ^a	.861	.841	17.01146

a. Predictors: (Constant), 饮水氟含量

b. Dependent Variable: 骨 X 线改变指数

(2) 模型的方差分析表

ANOVA^b

Model		Sum of Squares	df	Mean Square	F	Sig.
1	Regression	12537.411	1	12537.411	43.324	.000 ^a
	Residual	2025.728	7	289.390		
	Total	14563.139	8			

a. Predictors: (Constant), 饮水氟含量

b. Dependent Variable: 骨 X 线改变指数

(3) 回归系数的估计及其检验

Coefficients^a

Model		Unstandardized Coefficients		Standardized Coefficients	t	Sig.	95.0% Confidence Interval for B	
		B	Std. Error	Beta			Lower Bound	Upper Bound
1	(Constant)	-13.079	8.500		-1.539	.168	-33.178	7.020
	饮水氟含量	9.939	1.510	.928	6.582	.000	6.368	13.510

a. Dependent Variable: 骨 X 线改变指数

结果(1)为所拟合模型的拟合优度情况,包括相关系数(R)、决定系数(R Square)、校正的决定系数(Adjusted R Square)、估计的标准误(Std. Error of the Estimate)。本例,相关系数为0.928,决定系数为0.861,校正决定系数为0.841。

结果(2)为模型的方差分析表,包括变异来源(Model)、离均差平方和(Sum of Squares)、自由度(df)、均方(Mean Square)、F值(F)和P值(Sig.)。本例, $F=43.324$, $P<0.001$,表明所建立的模型有统计学意义。

结果(3)为回归系数的估计及其检验,包括模型系数的(Model)、回归系数估计(Unstandardized Coefficients)、标准化回归系数(Standardized Coefficients)、t值(t)、P值(Sig.)、回归系数的95%可信区间(95.0% Confidence Interval for B)。本例,回归方程的常数项为-13.079、回归系数为9.939,回归系数的检验 $t=6.582$, $P<0.001$,说明饮水氟含量(X)与骨X线改变指数(Y)之间存在直线回归关系,回归方程为: $\hat{Y}=-13.08+9.94X$ 。

2.8.2 线性相关

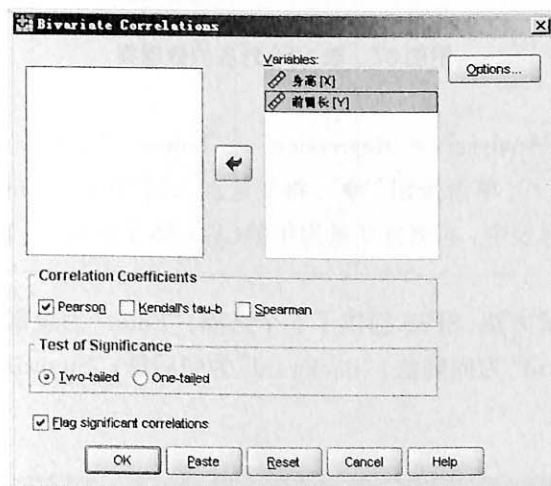
根据例11-2的资料介绍线性相关分析。

研究男青年身高与前臂长的相关性,数据录入如附图65所示。其中,“X”为身高;“Y”为前臂长。

	X	Y	var	var	var
1	170	47			
2	173	42			
3	160	44			
4	155	41			
5	173	47			
6	188	50			
7	178	47			
8	183	46			
9	180	49			
10	165	43			
11	166	44			

附图 65 表 11-3 的数据集

两变量简单线性相关分析可通过“Analyze”→“Correlate”→“Bivariate...”实现。在弹出的对话框左侧的变量列表中选中要分析的变量，单击按钮“➡”，将变量选入到“Variables”变量列表中，本例为“身高[X]”和“前臂长[Y]”。在“Correlation Coefficients”框中选择“Pearson”，表示做线性相关分析。如附图 66 所示。



附图 66 Bivariate Correlations 对话框

单击“OK”完成。输出的主要结果如下：

		身高	前臂长
身高	Pearson Correlation	1	.801**
	Sig. (2-tailed)		.003
	N	11	11
前臂长	Pearson Correlation	.801**	1
	Sig. (2-tailed)	.003	
	N	11	11

** . Correlation is significant at the 0.01 level (2-tailed).

主要结果以矩阵的形式给出，包括两变量的 Pearson 相关系数(Pearson Correlation)、总体相关系数假设检验的 P 值(Sig.(2-tailed))、样本量(N)。本例， $r=0.801$ ， $P=0.003$ ，说明身高与前臂长之间存在线性相关关系。



2.9 多元线性回归

根据例 12-2 的资料介绍多元线性回归。

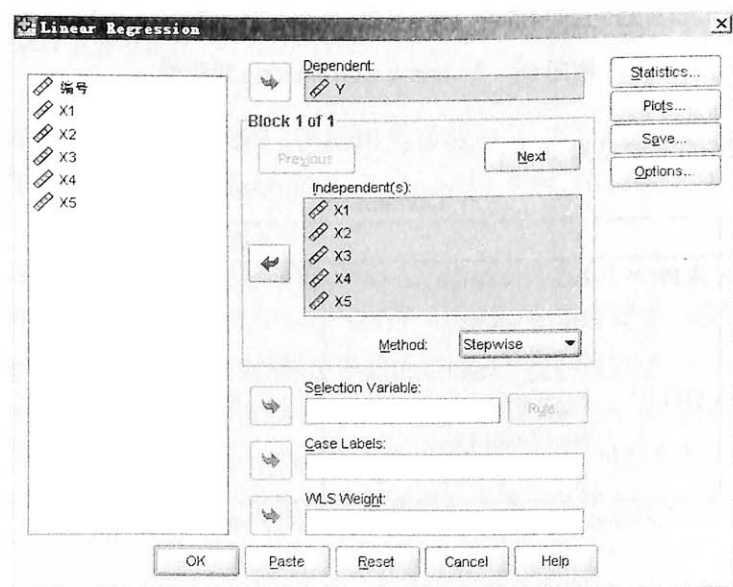
研究糖尿病患者糖化血红蛋白(HbA1c)的主要危险因素,数据录入如附图 67 所示。

编号	X1	X2	X3	X4	X5	Y	var
1	49.00	32.19	6.00	148.00	86.00	7.60	
2	67.00	24.77	2.70	151.00	98.00	7.40	
3	64.00	25.24	7.00	151.00	80.00	7.40	
4	66.00	24.26	4.80	157.00	87.00	7.20	
5	68.00	30.28	3.50	136.00	83.00	7.30	
6	48.00	26.18	7.60	137.00	87.00	7.60	
7	66.00	26.36	5.90	157.00	91.00	7.50	
8	47.00	32.07	5.70	157.00	89.00	7.70	
9	64.00	28.44	6.10	154.00	82.00	7.30	
10	75.00	30.65	6.90	137.00	86.00	7.70	
11	53.00	23.43	7.10	161.00	86.00	7.50	
12	46.00	30.56	2.90	146.00	79.00	7.30	

附图 67 表 12-5 对应的数据集

多元线性回归分析可通过“Analyze”→“Regression”→“Linear...”实现。在弹出的对话框左侧的变量列表中选中应变量糖化血红蛋白(Y),单击按钮“→”,将变量选入到“Dependent”框中;选择自变量,单击按钮“←”,将其放入“Independent”列表中,本例自变量为年龄(X_1)、体重指数(X_2)、总胆固醇(X_3)、收缩压(X_4)和舒张压(X_5)。

在“Method”框中选择自变量方法,SPSS 提供了 5 个选项:“Enter”为全部自变量进入法,是系统的默认值;“Remove”为消去法;“Forward”为向前法;“Backward”为向后法;“Stepwise”为逐步回归法。本例,选择“Stepwise”。如附图 68 所示。



附图 68 Linear Regression 对话框

点击“Options...”,在弹出的对话框中,选中“Stepping Method Criteria”框内的“Use probability of F”,分别在“Entry:”、“Removal:”后键入纳入、剔除标准,本例为0.10、0.15。单击“Continue”。

最后单击“OK”完成。输出的主要结果如下:

(1) 逐步法中每一步所拟合的模型的拟合优度情况

Model Summary

Model	R	R Square	Adjusted R Square	Std. Error of the Estimate
1	.693 ^a	.480	.451	.207 54
2	.751 ^b	.564	.513	.195 63
3	.819 ^c	.671	.610	.175 09

a. Predictors: (Constant), X3

b. Predictors: (Constant), X3, X2

c. Predictors: (Constant), X3, X2, X4

(2) 逐步法中每一步所拟合的模型的方差分析表

ANOVA^d

Model		Sum of Squares	df	Mean Square	F	Sig.
1	Regression	.717	1	.717	16.640	.001 ^a
	Residual	.775	18	.043		
	Total	1.492	19			
2	Regression	.841	2	.421	10.993	.001 ^b
	Residual	.651	17	.038		
	Total	1.492	19			
3	Regression	1.001	3	.334	10.889	.000 ^c
	Residual	.491	16	.031		
	Total	1.492	19			

a. Predictors: (Constant), X3

b. Predictors: (Constant), X3, X2

c. Predictors: (Constant), X3, X2, X4

d. Dependent Variable: Y

(3) 逐步法中每一步所拟合的模型的自变量情况及其参数估计与检验

Coefficients^a

Model		Unstandardized Coefficients		Standardized Coefficients	t	Sig.
		B	Std. Error	Beta		
1	(Constant)	6.774	.156		43.545	.000
	X3	.110	.027	.693	4.079	.001
2	(Constant)	6.040	.432		13.967	.000
	X3	.111	.025	.697	4.350	.000
	X2	.027	.015	.289	1.805	.089
3	(Constant)	4.799	.667		7.193	.000
	X3	.097	.024	.611	4.125	.001
	X2	.031	.014	.330	2.287	.036
	X4	.008	.004	.341	2.285	.036

a. Dependent Variable: Y



结果(1)为逐步法中每一步所拟合模型的拟合优度情况简表,包括复相关系数(R)、决定系数(R Square)、校正决定系数(Adjusted R Square)、估计标准误(Std. Error of the Estimate)。由表及其备注可知,本例共进行了3步筛选,其中模型1仅含有X3、模型2含有X3和X2、模型3含有X3、X2和X4。最后一个模型,即模型3为最优模型,复相关系数为0.819,决定系数为0.671,校正决定系数为0.610。

结果(2)为逐步法中每一步所拟合模型的方差分析表,包括模型序号及变异来源(Model)、离均差平方和(Sum of Squares)、自由度(df)、均方(Mean Square)、*F*值(*F*)和*P*值(Sig.)。本例,3个模型均有统计学意义,其中,最优模型(模型3)对应的 $F=10.889, P=0.000$ 。

结果(3)为模型参数的估计及检验结果,包括模型序号及包含的自变量(model)、未标准化的偏回归系数及其标准误(unstandardized coefficients)、标准化偏回归系数(standardized coefficients)、*t*值(*t*)、*P*值(sig.)。最后得到的回归方程为: $\hat{Y}=4.799+0.031X_2+0.097X_3+0.008X_4$,可以认为体重指数(X_2)、总胆固醇(X_3)和收缩压(X_4)是影响糖化血红蛋白(Y)的主要因素。

2.10 logistic 回归

2.10.1 二分类资料的 logistic 回归

根据例 13-2 的资料介绍二分类资料的 logistic 回归。

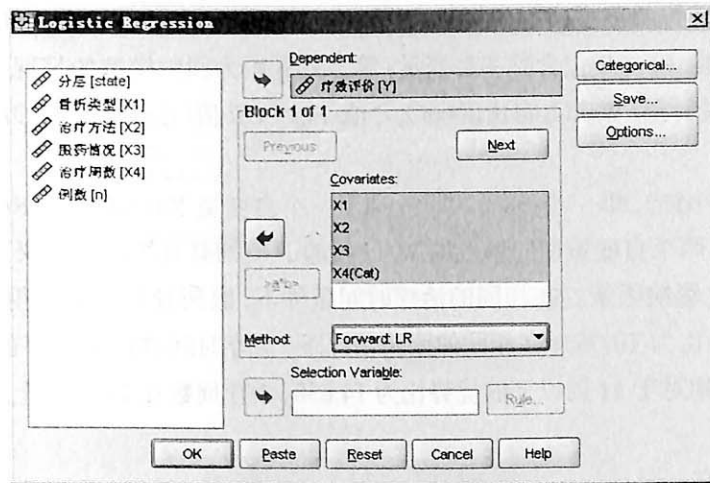
研究某种药物治疗骨折效果,数据录入如附图 69 所示。其中, state 为分层因素; n 为每层观察到的频数; Y 为疗效评价: 0=差, 1=好; X1 为骨折类型: 0=闭合, 1=开放; X2 为是否手术: 0=非手术, 1=手术; X3 为是否服药: 0=未服药, 1=服药; X4 为治疗时间: 1=“1周~”, 2=“11周~”, 3=“21周~”。

	state	X1	X2	X3	X4	Y	n	Sig.
1	1	0.00	0.00	0.00	1.00	1.00	0	
2	2	0.00	0.00	0.00	2.00	1.00	2	
3	3	0.00	0.00	0.00	3.00	1.00	7	
4	4	0.00	0.00	1.00	1.00	1.00	10	
5	5	0.00	0.00	1.00	2.00	1.00	19	
6	6	0.00	0.00	1.00	3.00	1.00	4	
7	7	0.00	1.00	0.00	1.00	1.00	0	
8	8	0.00	1.00	0.00	2.00	1.00	3	
9	9	0.00	1.00	0.00	3.00	1.00	17	
10	10	0.00	1.00	1.00	1.00	1.00	5	
11	11	0.00	1.00	1.00	2.00	1.00	28	
12	12	0.00	1.00	1.00	3.00	1.00	19	
13	13	1.00	0.00	0.00	1.00	1.00	1	

附图 69 例 13-2 对应的数据集

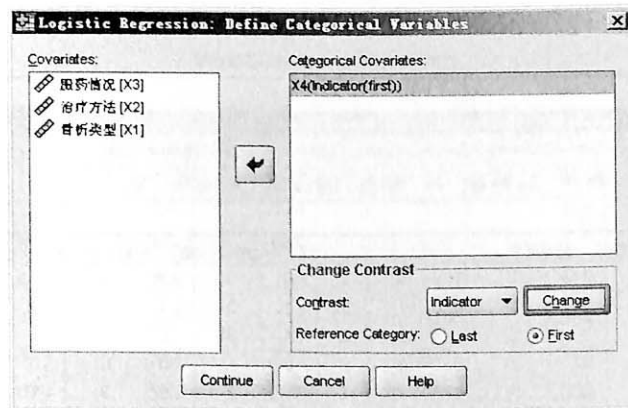
本例观察到的资料为每层下的例数(频数表资料),需首先对原始数据进行加权,加权的方法参见节 2.6.1。本例,权重变量为“n”。

二分类资料的 logistic 回归可通过“Analyze”→“Regression”→“Binary logistic...”实现。在弹出的对话框左侧的变量列表中选中应变量 Y,单击按钮“>”,将应变量选入到“Dependent”栏框中,本例应变量为疗效评价(Y);在弹出的对话框左侧的变量列表中选中所要分析的自变量,单击按钮“>”,将自变量选入“Covariates”列表框中。在下方的“Method”列表中选择“Forward: LR”。如附图 70 所示。



附图 70 Logistic Regression 对话框

单击“Categorical...”，赋哑变量。将需赋哑变量的自变量选入“Categorical Covariates”列表框中，本例选入 X4。在“Change Contrast”中定义哑变量赋值的对照水平。本例选择“Reference Category”为“First”，再单击“Change”，以完成对照水平的定义，本例为以第一水平为对照组。单击“Continue”。如附图 71 所示。



附图 71 赋哑变量的对话框

单击“Options...”，选择“CI for exp(B): 95%”，表示输出 OR 值及其 95% 可信区间。并在“Probability for Stepwise”中键入纳入(Entry:)、剔除(Removal:)标准。本例为 0.05、0.10。单击“Continue”。

最后，单击“OK”完成。输出的主要结果如下：

		Variables in the Equation					95% C.I. for EXP(B)		
		B	S.E.	Wald	df	Sig.	Exp(B)	Lower	Upper
Step 1 ^a	X4			106.893	2	.000			
	X4(1)	2.149	.289	55.267	1	.000	8.578	4.867	15.117
	X4(2)	3.299	.323	104.602	1	.000	27.073	14.388	50.940
	Constant	-2.528	.238	112.433	1	.000	.080		
Step 2 ^b	X3	2.309	.355	42.174	1	.000	10.060	5.012	20.192
	X4			125.018	2	.000			
	X4(1)	2.684	.310	74.842	1	.000	14.638	7.970	26.887
	X4(2)	4.761	.444	114.981	1	.000	116.863	48.949	279.006
	Constant	-4.647	.422	121.502	1	.000	.010		

a. Variable(s) entered on step 1: X4.

b. Variable(s) entered on step 2: X3.



主要结果中包括所进行的逐步回归的过程,以及每一步的 logistic 回归模型情况。其中,第一列中的 Step 表示逐步回归的过程,每一步包含哪些自变量;第二列开始为回归模型的情况,包括:偏回归系数(B)、标准误(SE)、Wald 检验统计量(Wald)、自由度(df)、P 值(Sig)、OR 值(Exp(B))和 OR 的 95% 可信区间(95% C.I.for EXP(B))。

本例,共进行了两步筛选,第一步(Step1)仅入选了一个自变量 X4;第二步(Step2)入选了两个自变量 X3、X4,为最终方程。这两个自变量回归系数的 Wald 检验 P 值均具有统计学意义($P < 0.001$),提示它们是骨折治疗效果(Y)的独立影响因素。在相同的治疗时间条件下,服药骨折病人获得好疗效的可能性比不服药骨折病人更大,其优势比为 10.060;在相同的服药情况下,治疗时间越长获得好的疗效的可能性越大,其中治疗周数在 11 周以上相对于 11 周以下的优势比为 14.638,治疗周数在 21 周以上相对于 11 周以下的优势比为 116.863。

2.10.2 条件 logistic 回归

根据例 13-3 的资料介绍条件 logistic 回归。

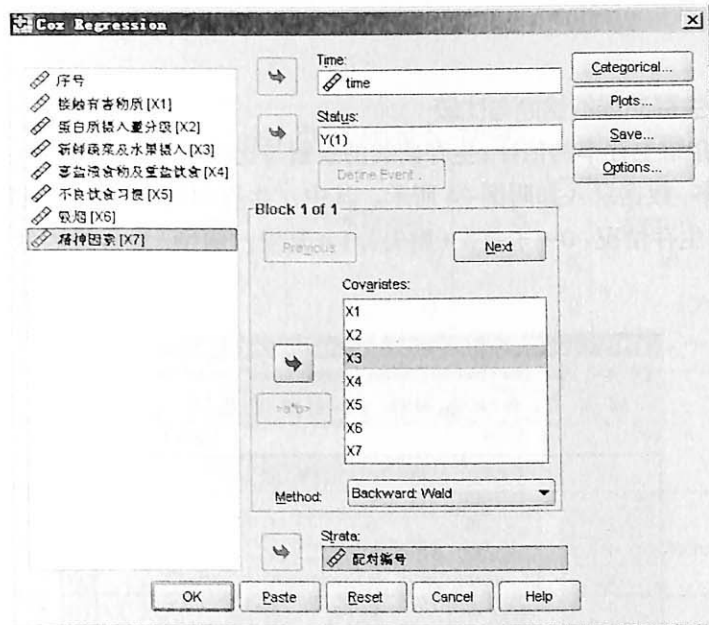
研究胃癌发病的危险因素,数据录入如附图 72 所示。其中,自变量(X1~X7)与应变量(Y)的赋值情况同表 13-9,此处略。由于 SPSS 进行条件 logistic 回归时需借助生存分析的相关模块完成,因此,在数据集中虚拟了一个时间变量“time”,其本身的赋值没有实际意义,赋值也不会影响最终的输出结果。需要注意的是,通常假定对照组的存活时间长于病例组,因此在赋值时,对照组的时间需大于病例组的时间。本例,病例组的 time=1,对照组的 time=2。

序号	配对编号	X1	X2	X3	X4	X5	X6	X7	Y	time
1	1	1	2	2	0	0	3	2	1	1.00
2	2	1	1	1	1	2	1	0	0	2.00
3	3	2	2	2	1	3	0	2	1	1.00
4	4	2	0	3	2	0	1	0	0	2.00
5	5	3	1	1	1	2	0	3	1	1.00
6	6	3	0	2	1	0	2	0	0	2.00
7	7	4	1	1	1	0	3	1	0	1.00
8	8	4	0	2	1	0	1	0	0	2.00
9	9	5	1	0	1	0	0	2	1	1.00
10	10	5	0	1	1	0	1	0	0	2.00
11	11	6	1	2	1	3	2	2	1	1.00
12	12	6	0	4	1	0	0	2	0	2.00
13	13	7	1	0	0	4	2	0	1	1.00

附图 72 例 13-3 的数据集

条件 logistic 回归可通过“Analyze”→“Survival”→“Cox Regression...”实现。在弹出的对话框左侧的变量列表中选中时间变量 time,单击按钮“▶”,将时间变量选入到“Time”框中,将应变量 Y 选入到“Status”框中,点击“Define Event”(定义事件赋值)录入“1”;将自变量选入“Covariates”列表框中,并在下方的“Method”列表中选择“Backward: Wald”。将“配对变量”选入“Strata”框中。如附图 73 所示。

单击“Options...”,选择“CI for exp(B): 95%”,表示输出 OR 值及其 95% 可信区间。并在“Probability for Stepwise”中键入纳入(Entry:)、剔除(Removal:)标准。本例为 0.15、0.20。单击“Continue”。



附图 73 Cox Regression 对话框

最后,单击“OK”完成。输出的主要结果如下:

		Variables in the Equation					95.0% CI for Exp(B)		
		B	SE	Wald	df	Sig.	Exp(B)	Lower	Upper
Step 1	X1	-.322	1.284	.063	1	.802	.725	.058	8.987
	X2	-.206	.369	.314	1	.575	.813	.395	1.675
	X3	-.197	.889	.049	1	.825	.822	.144	4.690
	X4	.418	.288	2.100	1	.147	1.519	.863	2.673
	X5	.930	.395	5.546	1	.019	2.534	1.169	5.492
	X6	.873	.517	2.852	1	.091	2.394	.869	6.594
	X7	1.099	.582	3.570	1	.059	3.002	.960	9.388
Step 2	X1	-.325	1.290	.063	1	.801	.723	.058	9.058
	X2	-.229	.353	.421	1	.516	.795	.398	1.588
	X4	.426	.288	2.195	1	.138	1.531	.871	2.691
	X5	.949	.388	5.964	1	.015	2.582	1.206	5.529
	X6	.859	.517	2.761	1	.097	2.361	.857	6.501
Step 3	X7	1.096	.581	3.563	1	.059	2.993	.959	9.344
	X2	-.253	.340	.552	1	.457	.776	.398	1.513
	X4	.431	.287	2.260	1	.133	1.540	.877	2.702
	X5	.950	.392	5.867	1	.015	2.586	1.199	5.580
Step 4	X6	.819	.492	2.769	1	.096	2.268	.864	5.949
	X7	1.059	.561	3.554	1	.059	2.882	.959	8.663
	X4	.404	.286	1.986	1	.159	1.497	.854	2.625
	X5	.881	.368	5.742	1	.017	2.414	1.174	4.964
	X6	.832	.495	2.820	1	.093	2.297	.870	6.062
	X7	1.151	.560	4.230	1	.040	3.162	1.056	9.471

主要结果与节 2.10.1 中介绍的二分类 logistic 回归结果类似,可参考学习。本例,第四步得到的方程为最终方程,其中含有 4 个自变量喜盐渍食物及重盐饮食(X4)、不良饮食习惯(X5)、吸烟(X6)、精神因素(X7)。均为危险因素,其对应的 OR 值分别为 1.497、2.414、2.297 和 3.162。可见,改变喜盐渍食物及重盐饮食、不良饮食习惯、吸烟等嗜好、减少负面的精神因素,可降低患胃癌的风险。



2.11 生存分析

2.11.1 生存率的估计、生存曲线的绘制与比较

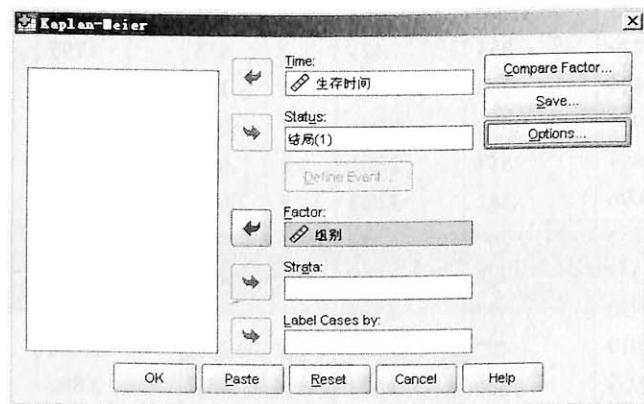
根据例 14-2 的资料介绍生存率的估计、生存曲线的绘制与比较。

研究乳腺癌的生存率,数据录入如附图 74 所示。其中,“生存时间”为患者从手术后到患者复发的时间(个月);“结局”为患者的生存情况:0=未复发(删失),1=复发;“组别”为分组因素:1=肿瘤直径 $\leq 2\text{cm}$,2=肿瘤直径 $> 5\text{cm}$ 。

	生存时间	结局	组别	var	var
1	10	1	1		
2	10	0	1		
3	13	1	1		
4	18	1	1		
5	25	0	1		
6	29	1	1		
7	30	1	1		
8	33	1	1		
9	46	1	1		
10	50	0	1		
11	54	1	1		
12	68	0	1		

附图 74 例 14-2 的数据集

生存率的估计、生存曲线的绘制与比较可通过“Analyze”→“Survival”→“Kaplan-Meier...”实现。在弹出的对话框左侧的变量列表选中“生存时间”,单击按钮“➡”,选入“Time:”框中;选中“结局”,单击按钮“➡”,选入“Status:”框中;选中“组别”,单击按钮“➡”,选入到“Factor:”框中。如附图 75 所示。



附图 75 Kaplan-Meier 对话框

单击“Status:”下方的“Define Event...”,定义事件发生的赋值。本例为“复发”,取值为“1”。在弹出的对话框中,“Value(s) indicating event has occurred”下选择“Single value:”,在其后的框中键入“1”。单击“Continue”。

单击“Compare Factor...”,在弹出的对话框中,“Test Statistics”下,选择“Log rank”。单击“Continue”。

单击“Options...”,在弹出的对话框中,“Statistics”下选择“Survival table(s)”和“Mean and median survival”以显示不同时间点的生存率以及生存时间的均数和中位数;选择“Plots”下的“Survival”以绘制生存曲线。单击“Continue”。

单击“OK”完成。输出的主要结果如下：

(1) 病例情况概述

Case Processing Summary

组别	Total N	N of Events	Censored	
			N	Percent
1	15	9	6	40.0%
2	21	21	0	.0%
Overall	36	30	6	16.7%

(2) 不同组别中每个病例的生存情况

Survival Table

组别	Time	Status	Cumulative Proportion Surviving at the Time		N of Cumulative Events	N of Remaining Cases	
			Estimate	Std. Error			
1	1	10.000	1	.933	.064	1	14
	2	10.000	0	.	.	1	13
	3	13.000	1	.862	.091	2	12
	4	18.000	1	.790	.108	3	11
	5	25.000	0	.	.	3	10
	6	29.000	1	.711	.123	4	9
	7	30.000	1	.632	.132	5	8
	8	33.000	1	.553	.137	6	7
	9	46.000	1	.474	.138	7	6
	10	50.000	0	.	.	7	5
	11	54.000	1	.379	.139	8	4
	12	68.000	0	.	.	8	3
	13	71.000	1	.253	.139	9	2
	14	88.000	0	.	.	9	1
	15	95.000	0	.	.	9	0
2	1	5.000	1	.952	.046	1	20
	2	9.000	1	.905	.064	2	19
	3	13.000	1	.	.	3	18
	4	13.000	1	.810	.086	4	17
	5	14.000	1	.762	.093	5	16
	6	15.000	1	.714	.099	6	15
	7	19.000	1	.667	.103	7	14
	8	20.000	1	.619	.106	8	13
	9	21.000	1	.571	.108	9	12
	10	22.000	1	.524	.109	10	11
	11	24.000	1	.476	.109	11	10
	12	25.000	1	.429	.108	12	9
	13	26.000	1	.381	.106	13	8
	14	27.000	1	.333	.103	14	7
	15	28.000	1	.286	.099	15	6
	16	32.000	1	.238	.093	16	5
	17	47.000	1	.190	.086	17	4
	18	52.000	1	.143	.076	18	3
	19	54.000	1	.095	.064	19	2
	20	60.000	1	.048	.046	20	1
	21	86.000	1	.000	.000	21	0



(3) 生存时间的均数和中位数情况

Means and Medians for Survival Time

组别	Mean ^a				Median			
	Estimate	Std. Error	95% Confidence Interval		Estimate	Std. Error	95% Confidence Interval	
			Lower Bound	Upper Bound			Lower Bound	Upper Bound
1	51.888	8.600	35.032	68.744	46.000	16.738	13.193	78.807
2	29.143	4.352	20.613	37.673	24.000	3.052	18.019	29.981
Overall	37.772	4.554	28.845	46.698	28.000	2.824	22.466	33.534

a. Estimation is limited to the largest survival time if it is censored.

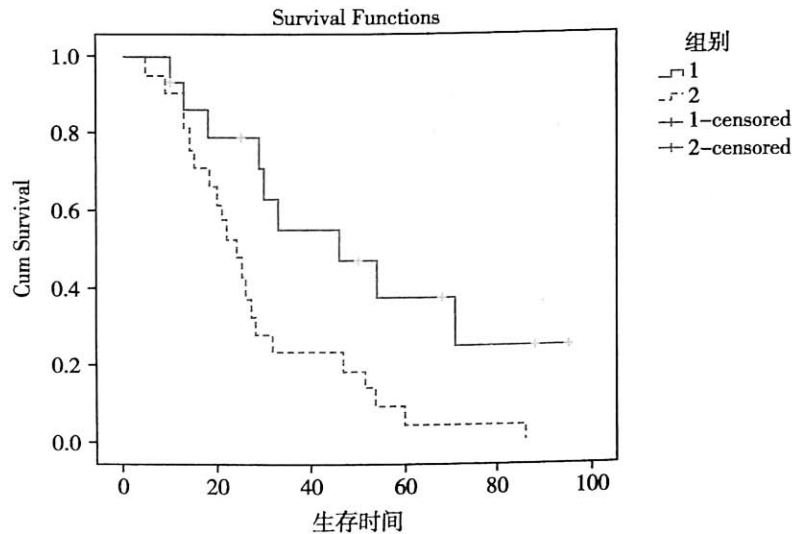
(4) 两组生存曲线比较的 log rank 检验结果

Overall Comparisons

	Chi-Square	df	Sig.
Log Rank (Mantel-Cox)	6.351	1	.012

Test of equality of survival distributions for the different levels of 组别.

(5) 两组生存曲线比较图(附图 76)



附图 76 两组生存曲线图

结果(1)为病例情况的概述,包括组别、分析的病例总数(Total N)、发生事件的病例数(N of Events)、截尾病例的情况(Censored)。本例,组1(肿瘤直径 $\leq 2\text{cm}$)、组2(肿瘤直径 $> 5\text{cm}$)分别分析15例、22例,共分析36例;其中,组1复发9例,截尾6例,截尾病例占40.0%;组2复发21例,截尾0例;两组共复发30例,截尾6例,截尾病例占16.7%。

结果(2)为不同组别中每个病例的生存情况,包括组别、生存时间(Time)、生存状态(Status)、累计生存率(Cumulative Proportion Surviving at the Time)、事件的累计发生例数(N of Cumulative Events)、未发生事件的例数(N of Remaining Cases)。本例事件定义为“复发”。

结果(3)为生存时间的均数和中位数情况,包括组别、生存时间的均数(Mean)、生存时间的中位数(Median),反映的均数和中位数的信息包括估计值(Estimate)、标准误(Std. Error)、95%可信区间(95% Confidence Interval)。本例,组1(肿瘤直径 $\leq 2\text{cm}$)生存时间的中位数为46.000个月,标准误为16.738个月,95%可信区间为(13.193, 78.807)个月;组2(肿瘤直径 $> 5\text{cm}$)生存时间的中位数为24.000个月,标准误为3.052个月,95%可信区间为(18.019, 29.981)个月。

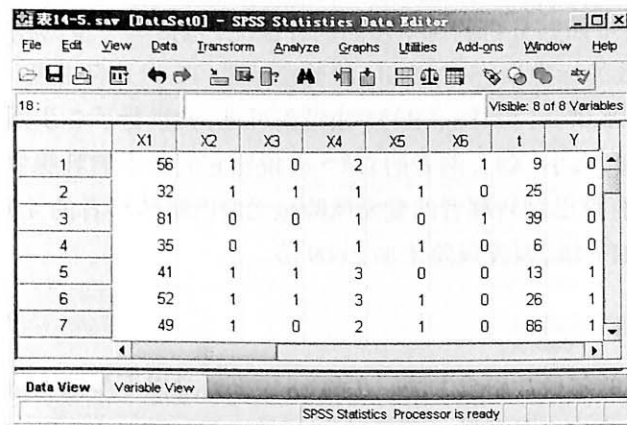
结果(4)为两组生存曲线比较的 log rank 检验结果,包括检验统计量(Chi-Square)、自由度(df)、P 值(Sig.)。本例, $\chi^2=6.351$, $P=0.012$, 可认为肿瘤直径 $\leq 2\text{cm}$ 的患者较肿瘤直径 $> 5\text{cm}$ 的患者生存曲线不同。

结果(5)为两组生存曲线比较图。图中随访时间为横轴,生存率为纵轴“+”表示在对应的生存时间(个月)上出现了截尾病例。实线代表组 1,虚线代表组 2,图中显示组 1(肿瘤直径 $\leq 2\text{cm}$)生存曲线较高、下降比较平缓,而组 2(肿瘤直径 $> 5\text{cm}$)生存曲线较低、下降陡峭,故肿瘤直径 $\leq 2\text{cm}$ 的患者较肿瘤直径 $> 5\text{cm}$ 的患者生存率高,复发率低。

2.11.2 多变量 Cox 回归分析

根据例 14-4 的资料介绍多变量 Cox 回归分析。

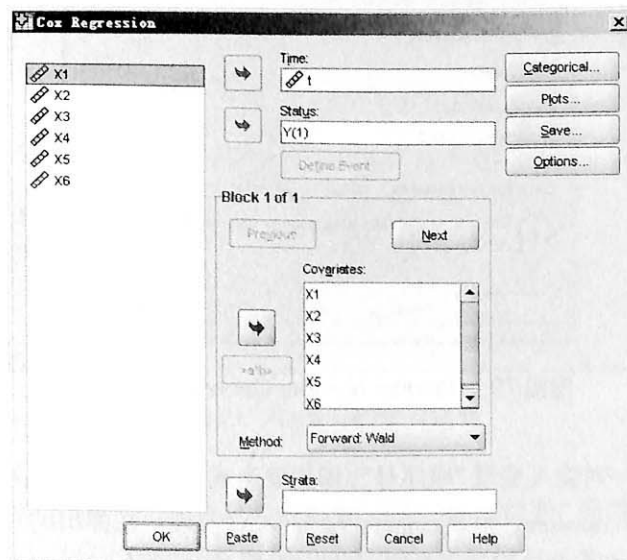
研究乳腺癌患者手术治疗后生存率的影响因素,数据录入如附图 77 所示。其中,自变量(X1~X6)与生存时间(t)、生存结局(Y)的赋值情况同表 14-4,此处略。



	X1	X2	X3	X4	X5	X6	t	Y
1	56	1	0	2	1	1	9	0
2	32	1	1	1	1	0	25	0
3	81	0	0	1	0	1	39	0
4	35	0	1	1	1	0	6	0
5	41	1	1	3	0	0	13	1
6	52	1	1	3	1	0	26	1
7	49	1	0	2	1	0	86	1

附图 77 例 14-4 的数据集

Cox 回归分析可通过“Analyze”→“Survival”→“Cox Regression...”实现。在弹出的对话框中左侧的变量列表中,选中生存时间变量,单击按钮“→”,选入到“Time:”框中,本例为“t”;选中生存状态变量,单击按钮“→”,选入到“Status:”框中,本例为“Y”,并单击“Define Event...”定义事件发生的赋值,方法参见节 2.11.1;选中所有的自变量,单击按钮“→”,选入到“Covariates”框中,本例为“X1”~“X6”。并在“Method”下拉菜单中选择“Forward: wald”,以筛选自变量,否则默认为“Enter”,全部自变量均进入模型。如附图 78 所示。



附图 78 Cox Regression 对话框



单击“Options...”，在“Model Statistics”下，选择“CI for exp(B)”，以输出 HR 的 95% 可信区间；在“Probability for Stepwise”下的“Entry:”和“Removal:”后面的框中分别输入进行逐步回归的纳入、剔除标准，本例分别为 0.05、0.10。单击“Continue”。

单击“OK”完成。输出的主要结果如下：

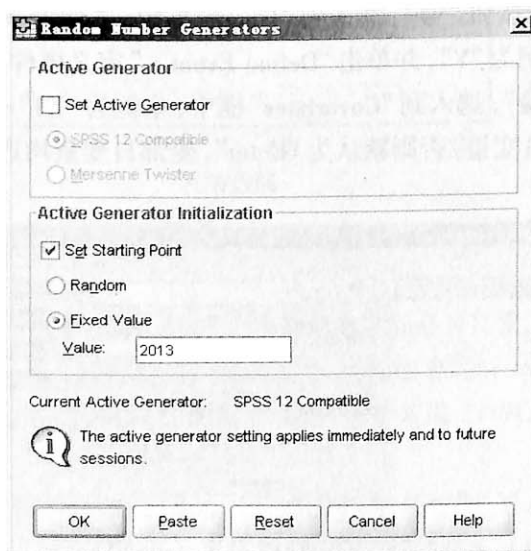
		Variables in the Equation					95.0% CI for Exp(B)		
		B	SE	Wald	df	Sig.	Exp(B)	Lower	Upper
Step 1	X4	.958	.282	11.559	1	.001	2.606	1.500	4.527
Step 2	X3	1.550	.518	8.944	1	.003	4.711	1.706	13.008
	X4	.959	.297	10.434	1	.001	2.609	1.458	4.668

结果给出了进行 Cox 逐步回归分析的每一步的估计情况，包括每一步的模型中所含有的自变量（第一列）、回归系数(B)、回归系数的标准误(SE)、Wald 检验统计量(Wald)、自由度(df)、P 值(Sig.)、HR 值(Exp(B))、HR 的 95% 可信区间(95.0%CI for Exp(B))。由结果可见，共进行了 2 步回归，最终模型中含有两个自变量：淋巴结转移(X3)和肿瘤大小(X4)，两者的 $HR > 1$ ，说明它们是影响乳腺癌患者术后复发的危险因素。在肿瘤大小相同的情况下，有淋巴结转移者的复发风险是无淋巴结转移者的 4.711 倍；同样，在淋巴结转移情况相同时，肿瘤大小每增加一级，复发风险增加 2.609 倍。

2.12 随机数的生成

结合表 15-1 介绍可重现的随机数生成方法。在 SPSS 中可通过以下步骤生成可重现的随机数：

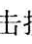
(1) 在生成随机数之前，先定义种子数。可通过“Transform”→“Random Number Generators...”实现。在弹出的对话框中“Active Generator Initialization”下选择“Set Starting Point”中的“Fixed Value”，在“Value:”后的框中键入预设的种子数，本例设置固定种子数为 2013。单击“OK”完成。如附图 79 所示。

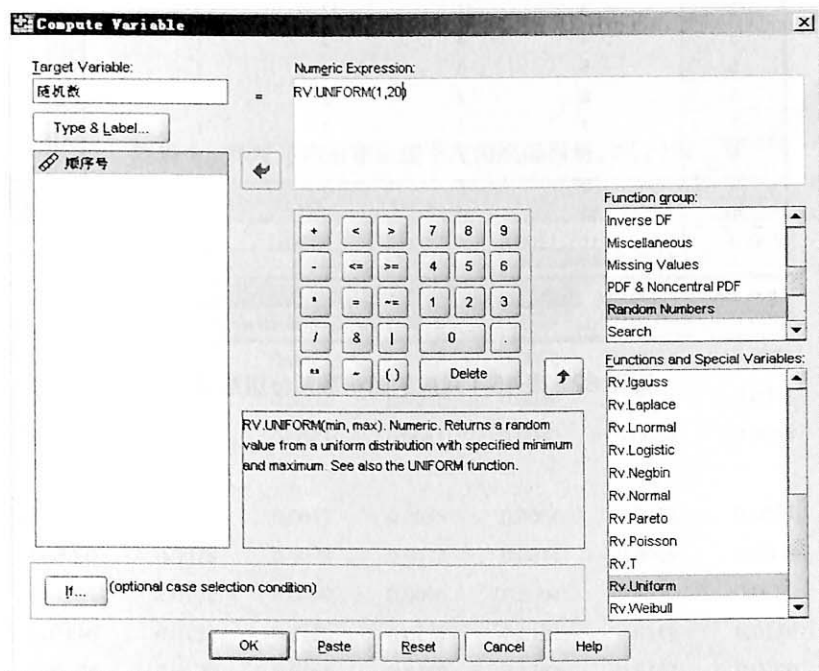


附图 79 Random Number Generators 对话框


(2) 在空的数据集中第一列输入变量“顺序号”，即想要生成的随机数的数量。

(3) 生成随机数。通过“Transform”→“Compute Variable...”实现。在弹出的对话框左侧“Target Variable:”框中键入所生成的随机数欲对应的变量名，本例为“随机数”；在右侧的“Function group:”中先选择“Random Numbers”，再从其下方的“Functions and Special Variables:”列表中选择欲生成的随机数的分布类型，SPSS 提

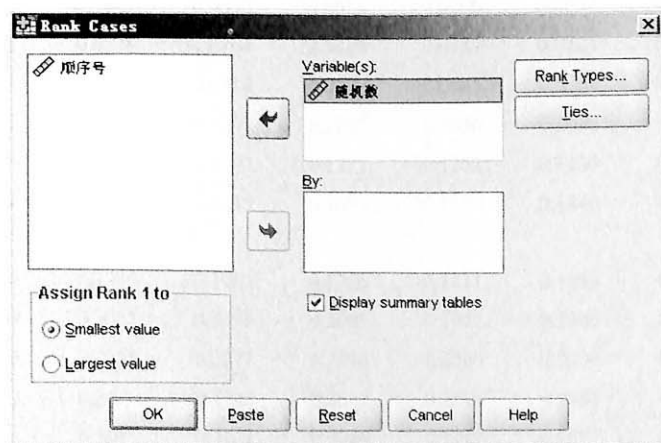
供多种分布类型的随机数,包括 t 分布、正态分布、 F 分布、Poisson 分布等,本例,选择生成均匀分布的随机数“Rv. Uniform”。点击按钮“”。在“Numeric Expression:”框中的“RV. UNIFORM(?,?)”函数内显示的“?”处定义随机数的取值范围,分别输入最小值“1”、最大值“20”,该范围可由用户自行定义。单击“OK”完成。如附图 80 所示。



附图 80 Compute Variable 对话框

(4) 对随机数排序。通过“Transform”→“Rank Cases...”实现。在弹出的对话框中,将左侧的“随机数”选中,单击按钮“”,将“随机数”选入到“Variable(s):”框中。单击“OK”完成。如附图 81 所示。

(5) 根据随机数的秩次和分组原则进行分组。



附图 81 Rank Cases 对话框

经过上述 5 步操作,可得到如附图 82 所示的数据集,其中“R 随机数”为随机数的秩次,“组别”为根据分组原则进行分组后的组号。为了简便易读,数据集中所有的变量均定义为整数。可见,前三位受试者进入第二组,第四位至第九位受试者进入第一组,第十位受试者进入第二组,依此类推。



表15-1.sav [DataSet1] - SPSS Statistics Data Editor

Visible: 4 of 4 Variables

	顺序号	随机数	R随机数	组别	var
1	1	7	11	2	
2	2	16	15	2	
3	3	17	17	2	
4	4	4	3	1	
5	5	5	4	1	
6	6	4	2	1	
7	7	1	1	1	
8	8	7	10	1	
9	9	5	6	1	
10	10	20	20	2	
11	11	6	9	1	

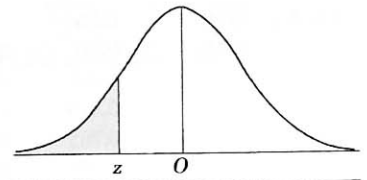
Data View Variable View

SPSS Statistics Processor is ready

附图 82 表 15-1 对应的随机数及分组结果

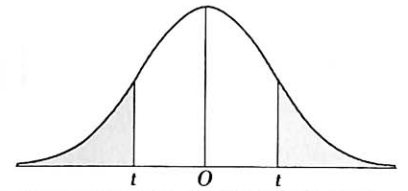
(吴 骋)

附录3 统计用表

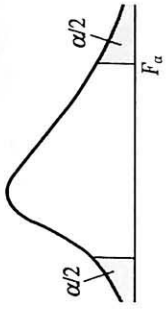


附表1 标准正态分布曲线下左侧尾部面积, $\Phi(z)$ 值

u	0.00	0.01	0.02	0.03	0.04	0.05	0.06	0.07	0.08	0.09
-3.0	0.0013	0.0013	0.0013	0.0012	0.0012	0.0011	0.0011	0.0011	0.0010	0.0010
-2.9	0.0019	0.0018	0.0018	0.0017	0.0016	0.0016	0.0015	0.0015	0.0014	0.0014
-2.8	0.0026	0.0025	0.0024	0.0023	0.0023	0.0022	0.0021	0.0021	0.0020	0.0019
-2.7	0.0035	0.0034	0.0033	0.0032	0.0031	0.0030	0.0029	0.0028	0.0027	0.0026
-2.6	0.0047	0.0045	0.0044	0.0043	0.0041	0.0040	0.0039	0.0038	0.0037	0.0036
-2.5	0.0062	0.0060	0.0059	0.0057	0.0055	0.0054	0.0052	0.0051	0.0049	0.0048
-2.4	0.0082	0.0080	0.0078	0.0075	0.0073	0.0071	0.0069	0.0068	0.0066	0.0064
-2.3	0.0107	0.0104	0.0102	0.0099	0.0096	0.0094	0.0091	0.0089	0.0087	0.0084
-2.2	0.0139	0.0136	0.0132	0.0129	0.0125	0.0122	0.0119	0.0116	0.0113	0.0110
-2.1	0.0179	0.0174	0.0170	0.0166	0.0162	0.0158	0.0154	0.0150	0.0146	0.0143
-2.0	0.0228	0.0222	0.0217	0.0212	0.0207	0.0202	0.0197	0.0192	0.0188	0.0183
-1.9	0.0287	0.0281	0.0274	0.0268	0.0262	0.0256	0.0250	0.0244	0.0239	0.0233
-1.8	0.0359	0.0351	0.0344	0.0336	0.0329	0.0322	0.0314	0.0307	0.0301	0.0294
-1.7	0.0446	0.0436	0.0427	0.0418	0.0409	0.0401	0.0392	0.0384	0.0375	0.0367
-1.6	0.0548	0.0537	0.0526	0.0516	0.0505	0.0495	0.0485	0.0475	0.0465	0.0455
-1.5	0.0668	0.0655	0.0643	0.0630	0.0618	0.0606	0.0594	0.0582	0.0571	0.0559
-1.4	0.0808	0.0793	0.0778	0.0764	0.0749	0.0735	0.0721	0.0708	0.0694	0.0681
-1.3	0.0968	0.0951	0.0934	0.0918	0.0901	0.0885	0.0869	0.0853	0.0838	0.0823
-1.2	0.1151	0.1131	0.1112	0.1093	0.1075	0.1056	0.1038	0.1020	0.1003	0.0985
-1.1	0.1357	0.1335	0.1314	0.1292	0.1271	0.1251	0.1230	0.1210	0.1190	0.1170
-1.0	0.1587	0.1562	0.1539	0.1515	0.1492	0.1469	0.1446	0.1423	0.1401	0.1379
-0.9	0.1841	0.1814	0.1788	0.1762	0.1736	0.1711	0.1685	0.1660	0.1635	0.1611
-0.8	0.2119	0.2090	0.2061	0.2033	0.2005	0.1977	0.1949	0.1922	0.1894	0.1867
-0.7	0.2420	0.2389	0.2358	0.2327	0.2296	0.2266	0.2236	0.2206	0.2177	0.2148
-0.6	0.2743	0.2709	0.2676	0.2643	0.2611	0.2578	0.2546	0.2514	0.2483	0.2451
-0.5	0.3085	0.3050	0.3015	0.2981	0.2946	0.2912	0.2877	0.2843	0.2810	0.2776
-0.4	0.3446	0.3409	0.3372	0.3336	0.3300	0.3264	0.3228	0.3192	0.3156	0.3121
-0.3	0.3821	0.3783	0.3745	0.3707	0.3669	0.3632	0.3594	0.3557	0.3520	0.3483
-0.2	0.4207	0.4168	0.4129	0.4090	0.4052	0.4013	0.3974	0.3936	0.3897	0.3859
-0.1	0.4602	0.4562	0.4522	0.4483	0.4443	0.4404	0.4364	0.4325	0.4286	0.4247
-0.0	0.5000	0.4960	0.4920	0.4880	0.4840	0.4801	0.4761	0.4721	0.4681	0.4641

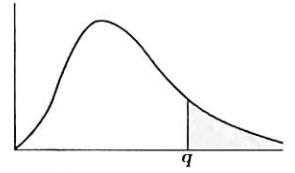
附表2 t 分布界值表(双侧尾部面积)

自由度 ν	概率, P										
	单侧: 双侧:	0.25 0.50	0.20 0.40	0.10 0.20	0.05 0.10	0.025 0.05	0.01 0.02	0.005 0.01	0.0025 0.005	0.001 0.002	0.0005 0.001
1		1.000	1.376	3.078	6.314	12.706	31.821	63.657	127.321	318.309	636.619
2		0.816	1.061	1.886	2.920	4.303	6.965	9.925	14.089	22.327	31.599
3		0.765	0.978	1.638	2.353	3.182	4.541	5.841	7.543	10.215	12.924
4		0.741	0.941	1.533	2.132	2.776	3.747	4.604	5.598	7.173	8.610
5		0.727	0.920	1.476	2.015	2.571	3.365	4.032	4.773	5.893	6.869
6		0.718	0.906	1.440	1.943	2.447	3.143	3.707	4.317	5.208	5.959
7		0.711	0.896	1.415	1.895	2.365	2.998	3.499	4.029	4.785	5.408
8		0.706	0.889	1.397	1.860	2.306	2.896	3.355	3.833	4.501	5.041
9		0.703	0.883	1.383	1.833	2.262	2.821	3.250	3.690	4.297	4.781
10		0.700	0.879	1.372	1.812	2.228	2.764	3.169	3.581	4.144	4.587
11		0.697	0.876	1.363	1.796	2.201	2.718	3.106	3.497	4.025	4.437
12		0.695	0.873	1.356	1.782	2.179	2.681	3.055	3.428	3.930	4.318
13		0.694	0.870	1.350	1.771	2.160	2.650	3.012	3.372	3.852	4.221
14		0.692	0.868	1.345	1.761	2.145	2.624	2.977	3.325	3.787	4.140
15		0.691	0.866	1.341	1.753	2.131	2.602	2.947	3.286	3.733	4.073
16		0.690	0.865	1.337	1.746	2.120	2.583	2.921	3.252	3.686	4.015
17		0.689	0.863	1.333	1.740	2.110	2.567	2.898	3.222	3.646	3.965
18		0.688	0.862	1.330	1.734	2.101	2.552	2.878	3.197	3.610	3.922
19		0.688	0.861	1.328	1.729	2.093	2.539	2.861	3.174	3.579	3.883
20		0.687	0.860	1.325	1.725	2.086	2.528	2.845	3.153	3.552	3.850
21		0.686	0.859	1.323	1.721	2.080	2.518	2.831	3.135	3.527	3.819
22		0.686	0.858	1.321	1.717	2.074	2.508	2.819	3.119	3.505	3.792
23		0.685	0.858	1.319	1.714	2.069	2.500	2.807	3.104	3.485	3.768
24		0.685	0.857	1.318	1.711	2.064	2.492	2.797	3.091	3.467	3.745
25		0.684	0.856	1.316	1.708	2.060	2.485	2.787	3.078	3.450	3.725
26		0.684	0.856	1.315	1.706	2.056	2.479	2.779	3.067	3.435	3.707
27		0.684	0.855	1.314	1.703	2.052	2.473	2.771	3.057	3.421	3.690
28		0.683	0.855	1.313	1.701	2.048	2.467	2.763	3.047	3.408	3.674
29		0.683	0.854	1.311	1.699	2.045	2.462	2.756	3.038	3.396	3.659
30		0.683	0.854	1.310	1.697	2.042	2.457	2.750	3.030	3.385	3.646
31		0.682	0.853	1.309	1.696	2.040	2.453	2.744	3.022	3.375	3.633
32		0.682	0.853	1.309	1.694	2.037	2.449	2.738	3.015	3.365	3.622
33		0.682	0.853	1.308	1.692	2.035	2.445	2.733	3.008	3.356	3.611
34		0.682	0.852	1.307	1.691	2.032	2.441	2.728	3.002	3.348	3.601
35		0.682	0.852	1.306	1.690	2.030	2.438	2.724	2.996	3.340	3.591
36		0.681	0.852	1.306	1.688	2.028	2.434	2.719	2.990	3.333	3.582
37		0.681	0.851	1.305	1.687	2.026	2.431	2.715	2.985	3.326	3.574
38		0.681	0.851	1.304	1.686	2.024	2.429	2.712	2.980	3.319	3.566
39		0.681	0.851	1.304	1.685	2.023	2.426	2.708	2.976	3.313	3.558
40		0.681	0.851	1.303	1.684	2.021	2.423	2.704	2.971	3.307	3.551
50		0.679	0.849	1.299	1.676	2.009	2.403	2.678	2.937	3.261	3.496
60		0.679	0.848	1.296	1.671	2.000	2.390	2.660	2.915	3.232	3.460
70		0.678	0.847	1.294	1.667	1.994	2.381	2.648	2.899	3.211	3.435
80		0.678	0.846	1.292	1.664	1.990	2.374	2.639	2.887	3.195	3.416
90		0.677	0.846	1.291	1.662	1.987	2.368	2.632	2.878	3.183	3.402
100		0.677	0.845	1.290	1.660	1.984	2.364	2.626	2.871	3.174	3.390
200		0.676	0.843	1.286	1.653	1.972	2.345	2.601	2.839	3.131	3.340
500		0.675	0.842	1.283	1.648	1.965	2.334	2.586	2.820	3.137	3.310
1000		0.675	0.842	1.282	1.646	1.962	2.330	2.581	2.813	3.098	3.300
∞		0.6745	0.8416	1.2816	1.6449	1.9600	2.3263	2.5758	2.8070	3.0902	3.2905



附表3 F分布界值表(方差齐性检验用, 双侧界值) $P=0.05$

分母的自由度 v_2	分子的自由度 v_1															
	1	2	3	4	5	6	7	8	9	10	12	15	20	30	60	∞
1	647.79	799.50	864.16	899.58	921.85	937.11	948.22	956.66	963.29	968.63	976.71	984.87	993.10	1001.41	1009.80	1018.26
2	38.51	39.00	39.17	39.25	39.30	39.33	39.36	39.37	39.39	39.40	39.41	39.43	39.45	39.46	39.48	39.50
3	17.44	16.04	15.44	15.10	14.88	14.73	14.62	14.54	14.47	14.42	14.34	14.25	14.17	14.08	13.99	13.90
4	12.22	10.05	9.98	9.60	9.36	9.20	9.07	8.98	8.90	8.84	8.75	8.66	8.56	8.46	8.36	8.26
5	10.01	8.43	7.76	7.39	7.15	6.98	6.85	6.76	6.68	6.62	6.52	6.43	6.33	6.23	6.12	6.02
6	8.81	7.26	6.60	6.23	5.99	5.82	5.70	5.60	5.52	5.46	5.37	5.27	5.17	5.07	4.96	4.85
7	8.07	6.54	5.89	5.52	5.29	5.12	4.99	4.90	4.82	4.76	4.67	4.57	4.47	4.36	4.25	4.14
8	7.57	6.06	5.42	5.05	4.82	4.65	4.53	4.43	4.36	4.30	4.20	4.10	4.00	3.89	3.78	3.67
9	7.21	5.71	5.08	4.72	4.48	4.32	4.20	4.10	4.03	3.96	3.87	3.77	3.67	3.56	3.45	3.33
10	6.94	5.46	4.83	4.47	4.24	4.07	3.95	3.85	3.78	3.72	3.62	3.52	3.42	3.31	3.20	3.08
11	6.72	5.26	4.63	4.28	4.04	3.88	3.76	3.66	3.59	3.53	3.43	3.33	3.23	3.12	3.00	2.88
12	6.55	5.10	4.47	4.12	3.89	3.73	3.61	3.51	3.44	3.37	3.28	3.18	3.07	2.96	2.85	2.72
13	6.41	4.97	4.35	4.00	3.77	3.60	3.48	3.39	3.31	3.25	3.15	3.05	2.95	2.84	2.72	2.60
14	6.30	4.86	4.24	3.89	3.66	3.50	3.38	3.29	3.21	3.15	3.05	2.95	2.84	2.73	2.61	2.49
15	6.20	4.77	4.15	3.80	3.58	3.41	3.29	3.20	3.12	3.06	2.96	2.86	2.76	2.64	2.52	2.40
16	6.12	4.69	4.08	3.73	3.50	3.34	3.22	3.12	3.05	2.99	2.89	2.79	2.68	2.57	2.45	2.32
17	6.04	4.62	4.01	3.66	3.44	3.28	3.16	3.06	2.98	2.92	2.82	2.72	2.62	2.50	2.38	2.25
18	5.98	4.56	3.95	3.61	3.38	3.22	3.10	3.01	2.93	2.87	2.77	2.67	2.56	2.44	2.32	2.19
19	5.92	4.51	3.90	3.56	3.33	3.17	3.05	2.96	2.88	2.82	2.72	2.62	2.51	2.39	2.27	2.13
20	5.87	4.46	3.86	3.51	3.29	3.13	3.01	2.91	2.84	2.77	2.68	2.57	2.46	2.35	2.22	2.09
21	5.83	4.42	3.82	3.48	3.25	3.09	2.97	2.87	2.80	2.73	2.64	2.53	2.42	2.31	2.18	2.04
22	5.79	4.38	3.75	3.41	3.22	3.05	2.93	2.84	2.76	2.70	2.60	2.50	2.39	2.27	2.14	2.00
23	5.75	4.35	3.72	3.41	3.18	3.02	2.90	2.81	2.73	2.67	2.57	2.47	2.36	2.24	2.11	1.97
24	5.72	4.32	3.69	3.38	3.15	2.99	2.87	2.78	2.70	2.64	2.54	2.44	2.33	2.21	2.08	1.94
25	5.69	4.29	3.67	3.35	3.13	2.97	2.85	2.75	2.68	2.61	2.51	2.41	2.30	2.18	2.05	1.91
26	5.66	4.27	3.65	3.33	3.10	2.94	2.82	2.73	2.65	2.59	2.49	2.39	2.28	2.16	2.03	1.88
27	5.63	4.24	3.63	3.31	3.08	2.92	2.80	2.71	2.63	2.57	2.47	2.36	2.25	2.13	2.00	1.85
28	5.61	4.22	3.61	3.29	3.06	2.90	2.78	2.69	2.61	2.55	2.45	2.34	2.23	2.11	1.98	1.83
29	5.59	4.20	3.59	3.27	3.04	2.88	2.76	2.67	2.59	2.53	2.43	2.32	2.21	2.09	1.96	1.81
30	5.57	4.18	3.46	3.25	3.03	2.87	2.75	2.65	2.57	2.51	2.41	2.31	2.20	2.07	1.94	1.79
40	5.42	4.05	3.34	3.13	2.90	2.74	2.62	2.53	2.45	2.39	2.29	2.18	2.07	1.94	1.80	1.64
60	5.29	3.93	3.31	3.01	2.79	2.63	2.51	2.41	2.33	2.27	2.17	2.06	1.94	1.82	1.67	1.48
120	5.15	3.80	3.23	2.89	2.67	2.52	2.39	2.30	2.22	2.16	2.05	1.94	1.82	1.69	1.53	1.31
∞	5.02	3.69	3.12	2.79	2.57	2.41	2.29	2.19	2.11	2.05	1.94	1.83	1.71	1.57	1.39	1.00

附表4 F界值表(方差分析用,单侧界值) 上行: $P=0.05$ 下行: $P=0.01$

分母的 自由度 v_2	分子的自由度 v_1											
	1	2	3	4	5	6	7	8	9	10	11	12
1	161	200	216	225	230	234	237	239	241	242	243	224
	4052	4999	5403	5625	5764	5859	5928	5981	6022	6056	6082	6106
2	18.51	19.00	19.16	19.25	19.30	19.33	19.36	19.37	19.38	19.39	19.40	19.41
	98.49	99.00	99.17	99.25	99.30	99.33	99.34	99.36	99.38	99.40	99.41	99.42
3	10.13	9.55	9.28	9.12	9.01	8.94	8.88	8.84	8.81	8.78	8.76	8.74
	34.12	30.82	29.46	28.71	28.24	27.91	27.67	27.49	27.34	27.23	27.31	27.05
4	7.71	6.94	6.59	6.39	6.26	6.16	6.09	6.04	6.00	5.96	5.93	5.91
	21.20	18.00	16.59	15.98	15.52	15.21	14.98	14.80	14.66	14.54	14.45	14.37
5	6.61	5.79	5.41	5.19	5.05	4.95	4.88	4.82	4.78	4.74	4.70	4.68
	16.26	17.27	12.06	11.39	10.97	10.67	10.45	10.27	10.15	10.05	9.96	9.89
6	5.99	5.15	4.76	4.53	4.39	4.28	4.21	4.15	4.10	4.06	4.03	4.00
	13.74	10.92	9.78	9.15	8.75	8.47	8.26	8.10	7.98	7.87	7.79	7.72
7	5.59	4.74	4.35	4.12	3.97	3.87	3.79	3.73	3.68	3.63	3.60	3.57
	12.25	9.55	8.45	7.85	7.46	7.19	7.00	6.84	6.71	6.62	6.54	6.47
8	5.32	4.46	4.07	3.84	3.69	3.58	3.50	3.44	3.39	3.34	3.31	3.28
	11.26	8.65	7.59	7.01	6.63	6.37	6.19	6.03	5.91	5.82	5.74	5.67
9	5.12	4.26	3.86	3.63	3.48	3.37	3.29	3.23	3.18	3.13	3.10	3.07
	10.56	8.02	6.99	6.42	6.06	5.80	5.62	5.47	5.35	5.26	5.18	5.11
10	4.69	4.10	3.71	3.48	3.33	3.22	3.14	3.07	3.02	2.97	2.94	2.91
	10.04	7.56	6.55	5.99	5.64	5.39	5.21	5.06	4.95	4.85	4.78	4.71
11	4.84	3.98	3.59	3.36	3.20	3.09	3.01	2.95	2.90	2.86	2.82	2.79
	9.65	7.20	6.22	5.67	5.32	5.07	4.88	4.74	4.63	4.54	4.46	4.40
12	4.75	3.88	3.49	3.26	3.11	3.00	2.92	2.85	2.80	2.76	2.72	2.69
	9.33	6.93	5.95	5.41	5.06	4.82	4.65	4.50	4.39	4.30	4.22	4.16
13	4.67	3.80	3.41	3.18	3.02	2.92	2.84	2.77	2.72	2.67	2.63	2.60
	9.07	6.70	5.74	5.20	4.85	4.62	4.44	4.30	4.19	4.10	4.02	3.96
14	4.60	3.74	3.34	3.11	2.96	2.85	2.77	2.70	2.65	2.60	2.56	2.53
	8.86	6.51	5.56	5.03	4.69	4.46	4.28	4.14	4.03	3.94	3.86	3.80
15	4.54	3.68	3.29	3.06	2.90	2.79	2.76	2.64	2.59	2.55	2.51	2.48
	8.68	6.36	5.42	4.89	4.56	4.32	4.14	4.00	3.89	3.80	3.73	3.67
16	4.49	3.63	3.24	3.01	2.85	2.74	2.66	2.59	2.54	2.49	2.45	2.42
	8.53	6.23	5.29	4.77	4.44	4.20	4.03	3.89	3.78	3.69	3.61	3.55
17	4.45	3.59	3.20	2.96	2.81	2.70	2.62	2.55	2.50	2.45	2.41	2.38
	8.40	6.11	5.18	4.67	4.34	4.10	3.93	3.79	3.68	3.59	3.52	3.45
18	4.41	3.55	3.16	2.93	2.77	2.66	2.58	2.51	2.46	2.41	2.37	2.34
	8.28	6.01	5.09	4.58	4.25	4.01	3.85	3.71	3.60	3.51	3.44	3.37
19	4.38	3.52	3.13	2.90	2.74	2.63	2.55	2.48	2.43	2.38	2.34	2.31
	8.18	5.93	5.01	4.50	4.17	3.94	3.77	3.63	3.52	3.43	3.36	3.30
20	4.35	3.49	3.10	2.87	2.71	2.60	2.52	2.45	2.40	2.35	2.31	2.28
	8.10	5.85	4.94	4.43	4.10	3.87	3.71	3.56	3.45	3.37	3.30	3.23
21	4.32	3.47	3.07	2.84	2.68	2.57	2.49	2.42	2.37	2.32	2.28	2.25
	8.02	5.78	4.87	4.37	4.04	3.81	3.65	3.51	3.40	3.31	3.24	3.17
22	4.30	3.44	3.05	2.82	2.66	2.55	2.47	2.40	2.35	2.30	2.26	2.23
	7.94	5.72	4.82	4.31	3.99	3.76	3.59	3.45	3.35	3.26	3.18	3.12
23	4.28	3.42	3.03	2.80	2.64	2.53	2.45	2.38	2.32	2.28	2.24	2.20
	7.88	5.66	4.76	4.26	3.94	3.71	3.54	3.41	3.30	3.21	3.14	3.07
24	4.26	3.40	3.01	2.78	2.62	2.51	2.43	2.36	2.30	2.26	2.22	2.18
	7.82	5.61	4.72	4.22	3.90	3.67	3.50	3.36	3.25	3.17	3.09	3.03
25	4.24	3.38	2.99	2.76	2.60	2.49	2.41	2.34	2.28	2.24	2.20	2.16
	7.77	5.57	4.68	4.18	3.86	3.63	3.46	3.32	3.21	3.13	3.05	2.99



续表

分母的 自由度 v_2	分子的自由度 v_1											
	14	16	20	24	30	40	50	75	100	200	500	∞
1	245	246	248	249	250	251	252	253	253	254	254	254
	6142	6169	6208	6234	6258	6286	6302	6323	6334	6352	6361	6366
2	19.42	19.43	19.44	19.45	19.46	19.47	19.47	19.48	19.49	19.49	19.50	19.50
	99.43	99.44	99.45	99.46	99.47	99.48	99.48	99.49	99.49	99.49	99.50	99.50
3	8.71	8.69	8.66	8.64	8.62	8.60	8.58	8.57	8.56	8.54	8.54	8.53
	26.92	26.83	26.69	26.60	26.50	26.41	26.35	26.27	26.23	26.18	26.14	26.12
4	5.87	5.84	5.80	5.77	5.74	5.71	5.70	5.68	5.66	5.65	5.64	5.63
	14.24	14.15	14.02	13.93	13.83	13.74	13.69	13.61	13.57	13.52	13.48	13.46
5	4.64	4.60	4.56	4.53	4.50	4.46	4.44	4.42	4.40	4.38	4.37	4.36
	9.77	9.68	9.55	9.47	9.38	9.29	9.24	9.17	9.13	9.07	9.04	9.02
6	3.96	3.92	3.87	3.84	3.81	3.77	3.75	3.72	3.71	3.69	3.68	3.67
	7.60	7.52	7.39	7.31	7.23	7.14	7.09	7.02	6.99	6.94	6.90	6.88
7	3.52	3.49	3.44	3.41	3.38	3.34	3.32	3.29	3.28	3.25	3.24	3.23
	6.35	6.27	6.15	6.07	5.98	5.90	5.85	5.78	5.75	5.70	5.67	5.65
8	3.23	3.20	3.15	3.12	3.08	3.05	3.03	3.00	2.98	2.96	2.94	2.93
	5.56	5.48	5.36	5.28	5.20	5.11	5.06	5.00	4.96	4.91	4.88	4.86
9	3.02	2.98	2.93	2.90	2.86	2.82	2.80	2.77	2.76	2.73	2.72	2.71
	5.00	4.92	4.80	4.73	4.64	4.56	4.51	4.45	4.41	4.36	4.33	4.31
10	2.86	2.82	2.77	2.74	2.70	2.67	2.64	2.61	2.59	2.56	2.55	2.54
	4.60	4.52	4.41	4.33	4.25	4.17	4.12	4.05	4.01	3.96	3.93	3.91
11	2.74	2.70	2.65	2.61	2.57	2.53	2.50	2.47	2.45	2.42	2.41	2.40
	4.29	4.21	4.10	4.02	3.94	3.86	3.80	3.74	3.70	3.66	3.62	3.60
12	2.64	2.60	2.54	2.50	2.46	2.42	2.40	2.36	2.35	2.32	2.31	2.30
	4.05	3.98	3.86	3.78	3.70	3.61	3.56	3.49	3.46	3.41	3.38	3.36
13	2.55	2.51	2.46	2.42	2.38	2.34	2.32	2.28	2.26	2.24	2.22	2.21
	3.85	3.78	3.67	3.59	3.51	3.42	3.37	3.30	3.27	3.21	3.18	3.16
14	2.48	2.44	2.39	2.35	2.31	2.27	2.24	2.21	2.19	2.16	2.14	2.13
	3.70	3.52	3.51	3.43	3.34	3.26	3.21	3.14	3.11	3.06	3.02	3.00
15	2.43	2.39	2.33	2.29	2.25	2.21	2.18	2.15	2.12	2.10	2.08	2.07
	3.56	3.48	3.36	3.29	3.20	3.12	3.07	3.00	2.97	2.92	2.89	2.87
16	2.37	2.33	2.28	2.24	2.20	2.16	2.13	2.09	2.07	2.04	2.02	2.01
	3.45	3.37	3.25	3.18	3.10	3.01	2.96	2.89	2.86	2.80	2.77	2.75
17	2.33	2.29	2.23	2.19	2.15	2.11	2.08	2.04	2.02	1.99	1.97	1.96
	3.35	3.27	3.16	3.08	3.00	2.92	2.86	2.79	2.76	2.70	2.67	2.65
18	2.29	2.25	2.19	2.15	2.11	2.07	2.04	2.00	1.98	1.95	1.93	1.92
	3.27	3.19	3.07	3.00	2.91	2.83	2.78	2.71	2.68	2.62	2.59	2.57
19	2.26	2.21	2.15	2.11	2.07	2.02	2.00	1.96	1.94	1.91	1.90	1.88
	3.19	3.12	3.00	2.92	2.84	2.76	2.70	2.63	2.60	2.54	2.51	2.49
20	2.23	2.18	2.12	2.08	2.04	1.99	1.96	1.92	1.90	1.87	1.85	1.84
	3.13	3.05	2.94	2.86	2.77	2.69	2.63	2.56	2.53	2.47	2.44	2.42
21	2.20	2.15	2.09	2.05	2.00	1.96	1.93	1.89	1.87	1.84	1.82	1.81
	3.07	2.99	2.88	2.80	2.72	2.63	2.58	2.51	2.47	2.42	2.38	2.36
22	2.18	2.13	2.07	2.03	1.98	1.93	1.91	1.87	1.84	1.81	1.80	1.78
	3.02	2.94	2.83	2.75	2.67	2.58	2.53	2.46	2.42	2.37	2.33	2.31
23	2.14	2.10	2.04	2.00	1.96	1.91	1.88	1.84	1.82	1.79	1.77	1.76
	2.97	2.89	2.78	2.70	2.62	2.53	2.48	2.41	2.37	2.32	2.28	2.26
24	2.13	2.09	2.02	1.98	1.94	1.89	1.86	1.82	1.80	1.76	1.74	1.73
	2.93	2.85	2.74	2.66	2.58	2.49	2.44	2.36	2.33	2.27	2.23	2.21
25	2.11	2.06	2.00	1.96	1.92	1.87	1.84	1.80	1.77	1.74	1.72	1.71
	2.89	2.81	2.70	2.62	2.54	2.45	2.40	2.32	2.29	2.23	2.19	2.17

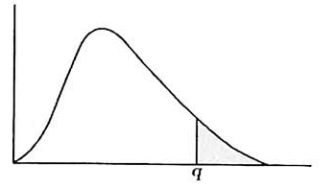


续表

分母的 自由度 v_2	分子的自由度 v_1											
	1	2	3	4	5	6	7	8	9	10	11	12
26	4.22	3.37	2.98	2.74	2.59	2.47	2.39	2.32	2.27	2.22	2.18	2.15
	7.72	5.53	4.64	4.14	3.82	3.59	3.42	3.29	3.17	3.09	3.02	2.96
27	4.21	3.35	2.96	2.73	2.57	2.46	2.37	2.30	2.25	2.20	2.16	2.13
	7.68	5.49	4.60	4.11	3.79	3.56	3.39	3.26	3.14	3.06	2.98	2.93
28	4.20	3.34	2.95	2.71	2.56	2.44	2.36	2.29	2.24	2.19	2.15	2.12
	7.64	5.45	4.57	4.07	3.76	3.53	3.36	3.23	3.11	3.03	2.95	2.90
29	4.18	3.33	2.93	2.70	2.54	2.43	2.35	2.28	2.22	2.18	2.14	2.10
	7.60	5.42	4.54	4.04	3.73	3.50	3.33	3.20	3.08	3.00	2.92	2.87
30	4.17	3.32	2.92	2.69	2.53	2.42	2.34	2.27	2.21	2.16	2.12	2.09
	7.56	5.39	4.51	4.02	3.70	3.47	3.30	3.17	3.06	2.98	2.91	2.84
32	4.15	3.30	2.90	2.67	2.51	2.40	2.32	2.25	2.19	2.14	2.10	2.07
	7.50	5.35	4.46	3.97	3.66	3.42	3.25	3.12	3.01	2.94	2.86	2.80
34	4.13	3.28	2.88	2.65	2.49	2.38	2.30	2.23	2.17	2.12	2.08	2.05
	7.44	5.29	4.42	3.93	3.61	3.38	3.21	3.08	2.98	2.89	2.82	2.76
36	4.11	3.26	2.86	2.63	2.48	2.36	2.28	2.21	2.15	2.10	2.06	2.03
	7.39	5.25	4.38	3.89	3.58	3.35	3.18	3.04	2.94	2.86	2.78	2.72
38	4.10	3.25	2.85	2.62	2.46	2.35	2.26	2.19	2.14	2.09	2.05	2.02
	7.35	5.21	4.31	3.86	3.54	3.32	3.15	3.02	2.91	2.82	2.75	2.69
40	4.08	3.23	2.84	2.61	2.45	2.34	2.25	2.18	2.12	2.07	2.04	2.00
	7.31	15.18	4.31	3.83	3.51	3.29	3.12	2.99	2.88	2.80	2.73	2.66
42	4.07	3.22	2.83	2.59	2.44	2.32	2.24	2.17	2.11	2.06	2.02	1.99
	7.27	5.15	4.29	3.80	3.49	3.26	3.10	2.96	2.86	2.77	2.70	2.64
44	4.06	3.21	2.82	2.58	2.43	2.31	2.23	2.16	2.10	2.05	2.01	1.96
	7.24	5.12	4.26	3.78	3.46	3.24	3.07	2.94	2.84	2.75	2.68	2.62
46	4.05	3.20	2.81	2.57	2.42	2.30	2.22	2.14	2.09	2.04	2.00	1.97
	7.21	5.10	4.24	3.76	3.44	3.22	3.05	2.92	2.82	2.73	2.66	2.60
48	4.04	3.19	2.80	2.56	2.41	2.30	2.21	2.14	2.08	2.03	1.99	1.96
	7.19	5.08	4.22	3.74	3.42	3.20	3.04	2.90	2.80	2.71	2.64	2.58
50	4.03	3.18	2.79	2.56	2.40	2.29	2.20	2.13	2.07	2.02	1.98	1.95
	7.17	5.06	4.20	3.72	3.41	3.18	3.02	2.88	2.78	2.70	2.62	2.56
60	4.00	3.15	2.76	2.52	2.37	2.25	2.17	2.10	2.04	1.99	1.95	1.92
	7.08	4.98	4.13	3.65	3.34	3.12	2.95	2.82	2.72	2.63	2.56	2.50
70	3.98	3.13	2.74	2.50	2.35	2.23	2.14	2.07	2.01	1.97	1.93	1.89
	7.01	4.92	4.08	3.60	3.29	3.07	2.91	2.77	2.67	2.59	2.51	2.45
80	3.96	3.11	2.72	2.48	2.33	2.21	2.12	2.05	1.99	1.95	1.91	1.88
	6.96	4.88	4.04	3.56	3.25	3.04	2.87	2.74	2.64	2.55	2.48	2.41
100	3.94	3.09	2.70	2.46	2.30	2.19	2.10	2.03	1.97	1.92	1.88	1.85
	6.90	4.82	3.98	3.51	3.20	2.99	2.82	2.69	2.59	2.51	2.43	2.36
125	3.92	3.07	2.68	2.44	2.29	2.17	2.08	2.01	1.95	1.90	1.86	1.83
	6.84	4.78	3.94	3.47	3.17	2.95	2.79	2.65	2.56	2.47	2.40	2.33
150	3.91	3.06	2.67	2.43	2.27	2.16	2.07	2.00	1.94	1.89	1.85	1.82
	6.81	4.75	3.91	3.44	3.14	2.92	2.76	2.62	2.53	2.44	2.37	2.30
200	3.89	3.04	2.65	2.41	2.26	2.14	2.05	1.98	1.92	1.87	1.83	1.80
	6.76	4.71	3.88	3.41	3.11	2.90	2.73	2.60	2.50	2.41	2.34	2.28
400	3.86	3.02	2.62	2.39	2.23	2.12	2.03	1.96	1.90	1.85	1.81	1.78
	6.70	4.66	3.83	3.36	3.06	2.85	2.69	2.55	2.436	2.37	2.29	2.23
1000	3.85	3.00	2.61	2.38	2.22	2.10	2.02	1.95	1.89	1.84	1.80	1.76
	6.66	4.62	3.80	3.34	3.04	2.82	2.66	2.53	2.43	2.34	2.26	2.20
∞	3.84	2.99	2.60	2.37	2.21	2.09	2.01	1.94	1.88	1.83	1.79	1.75
	6.64	4.60	3.78	3.32	3.02	2.80	2.64	2.51	2.41	2.32	2.24	2.18

续表

分母的 自由度 v_2	分子的自由度 v_1											
	14	16	20	24	30	40	50	75	100	200	500	∞
26	2.10	2.05	1.99	1.95	1.90	1.85	1.82	1.78	1.76	1.72	1.70	1.69
	2.86	2.77	2.66	2.58	2.50	2.41	2.36	2.28	2.25	2.19	2.15	2.13
27	2.08	2.03	1.97	1.93	1.88	1.84	1.80	1.76	1.74	1.71	1.68	1.67
	2.83	2.74	2.63	2.55	2.47	2.38	2.33	2.25	2.21	2.16	2.12	2.10
28	2.06	2.02	1.96	1.91	1.87	1.81	1.78	1.75	1.72	1.69	1.67	1.65
	2.80	2.71	2.60	2.52	2.44	2.35	2.30	2.22	2.18	2.13	2.09	2.06
29	2.05	2.00	1.94	1.90	1.85	1.80	1.77	1.73	1.71	1.68	1.65	1.64
	2.77	2.68	2.57	2.49	2.41	2.32	2.27	2.19	2.15	2.10	2.06	2.03
30	2.04	1.99	1.93	1.89	1.84	1.79	1.76	1.72	1.69	1.66	1.64	1.62
	2.74	2.66	2.55	2.47	2.38	2.29	2.24	2.16	2.13	2.07	2.03	2.01
32	2.02	1.97	1.91	1.86	1.82	1.76	1.74	1.69	1.67	1.64	1.61	1.59
	2.70	2.62	2.51	2.42	2.34	2.25	2.20	2.12	2.08	2.02	1.98	1.96
34	2.00	1.95	1.89	1.84	1.80	1.74	1.71	1.67	1.64	1.61	1.59	1.57
	2.66	2.58	2.47	2.38	2.30	2.21	2.15	2.08	2.04	1.98	1.94	1.91
36	7.98	1.93	1.87	1.82	1.78	1.83	1.69	1.65	1.62	1.59	1.56	1.55
	2.62	2.54	2.43	2.35	2.26	2.17	2.12	2.04	2.00	1.94	1.90	1.87
38	1.96	1.92	1.85	1.80	1.76	1.71	1.67	1.63	1.60	1.57	1.54	1.53
	2.59	2.51	2.40	2.32	2.22	2.14	2.08	2.00	1.97	1.90	1.86	1.84
40	1.95	1.90	1.84	1.79	1.74	1.69	1.66	1.61	1.59	1.55	1.53	1.51
	2.56	2.49	2.37	2.29	2.20	2.11	2.05	1.97	1.94	1.88	1.84	1.81
42	1.94	1.89	1.82	1.78	1.73	1.68	1.64	1.60	1.57	1.54	1.51	1.49
	2.54	2.46	2.35	2.26	2.17	2.08	2.02	1.94	1.91	1.85	1.80	1.78
44	1.82	1.88	1.81	1.76	1.72	1.66	1.63	1.58	1.56	1.52	1.50	1.48
	2.52	2.44	2.32	2.24	2.15	2.06	2.00	1.92	1.88	1.82	1.78	1.75
46	1.91	1.87	1.80	1.75	1.71	1.65	1.62	1.57	1.54	1.51	1.48	1.46
	2.50	2.42	2.30	2.22	2.13	2.04	1.98	1.90	1.86	1.80	1.76	1.72
48	1.90	1.85	1.79	1.74	1.70	1.64	1.61	1.56	1.53	1.50	1.47	1.45
	2.48	2.40	2.28	2.20	2.11	2.02	1.96	1.88	1.84	1.78	1.73	1.70
50	1.90	1.85	1.78	1.74	1.69	1.63	1.60	1.55	1.52	1.48	1.46	1.44
	2.46	2.39	2.26	2.18	2.10	2.00	1.94	1.86	1.82	1.76	1.71	1.68
60	1.86	1.81	1.75	1.70	1.65	1.59	1.56	1.50	1.48	1.44	1.41	1.39
	2.40	2.32	2.20	2.12	2.03	1.93	1.87	1.79	1.74	1.68	1.63	1.60
70	1.84	1.79	1.72	1.67	1.62	1.56	1.53	1.47	1.45	1.40	1.37	1.35
	2.35	2.28	2.15	2.07	1.98	1.88	1.82	1.74	1.69	1.62	1.56	1.53
80	1.82	1.77	1.70	1.65	1.60	1.54	1.51	1.45	1.42	1.38	1.35	1.32
	2.32	2.24	2.11	2.03	1.94	1.84	1.78	1.70	1.65	1.57	1.52	1.49
100	1.79	1.75	1.68	1.63	1.57	1.51	1.48	1.42	1.39	1.34	1.30	1.28
	2.26	2.19	2.06	1.98	1.89	1.79	1.73	1.64	1.59	1.51	1.46	1.43
125	1.77	1.72	1.65	1.60	1.55	1.49	1.45	1.39	1.36	1.31	1.27	1.25
	2.23	2.15	2.03	1.94	1.85	1.75	1.68	1.59	1.54	1.46	1.40	1.37
150	1.76	1.71	1.64	1.59	1.54	1.47	1.44	1.37	1.34	1.29	1.25	1.22
	2.20	2.12	2.00	1.91	1.83	1.72	1.66	1.56	1.51	1.43	1.37	1.33
200	1.74	1.69	1.62	1.57	1.52	1.45	1.42	1.35	1.32	1.26	1.22	1.19
	2.17	2.09	1.97	1.88	1.79	1.69	1.62	1.53	1.48	1.39	1.33	1.28
400	1.72	1.67	1.60	1.54	1.49	1.42	1.38	1.32	1.28	1.22	1.16	1.13
	2.12	2.04	1.92	1.84	1.74	1.64	1.57	1.47	1.42	1.32	1.24	1.19
1000	1.70	1.65	1.58	1.53	1.47	1.41	1.36	1.30	1.26	1.19	1.13	1.08
	2.09	2.01	1.89	1.81	1.71	1.61	1.54	1.44	1.38	1.28	1.19	1.11
∞	1.69	1.64	1.57	1.52	1.46	1.40	1.35	1.28	1.24	1.17	1.11	1.00
	2.07	1.99	1.87	1.79	1.69	1.59	1.52	1.41	1.36	1.25	1.15	1.00

附表5 q 界值表(Newman-Keuls 法用) 上行: $P=0.05$ 下行: $P=0.01$ 

v	组数, a								
	2	3	4	5	6	7	8	9	10
5	3.64	4.60	5.22	5.67	6.03	6.33	6.58	6.80	6.99
	5.70	6.98	7.80	8.42	8.91	9.32	9.67	9.97	10.24
6	3.46	4.34	4.90	5.30	5.63	5.89	6.12	6.32	6.49
	5.24	6.33	7.03	7.56	7.97	8.32	8.61	8.87	9.10
7	3.34	4.16	4.68	5.06	5.36	5.61	5.82	6.00	6.16
	4.95	5.92	6.54	7.01	7.37	7.68	7.94	8.17	8.37
8	3.26	4.04	4.53	4.89	5.17	5.40	5.60	5.77	5.92
	4.75	5.64	6.20	6.62	6.96	7.24	7.47	7.68	7.86
9	3.20	3.95	4.41	4.76	5.02	5.24	5.43	5.59	5.74
	4.60	5.43	5.96	6.35	6.66	6.91	7.13	7.33	7.49
10	3.15	3.88	4.33	4.65	4.91	5.12	5.30	5.46	5.60
	4.48	5.27	5.77	6.14	6.43	6.67	6.87	7.05	7.21
12	3.08	3.77	4.20	4.51	4.75	4.95	5.12	5.27	5.39
	4.32	5.05	5.50	5.84	6.10	6.32	6.51	6.67	6.81
14	3.03	3.70	4.11	4.41	4.64	4.83	4.99	5.13	5.25
	4.21	4.89	5.32	5.63	5.88	6.08	6.26	6.41	6.54
16	3.00	3.65	4.05	4.33	4.56	4.74	4.90	5.03	5.15
	4.13	4.79	5.19	5.49	5.72	5.92	6.08	6.22	6.35
18	2.97	3.61	4.00	4.28	4.49	4.67	4.82	4.96	5.07
	4.07	4.70	5.09	5.38	5.60	5.79	5.94	6.08	6.20
20	2.95	3.58	3.96	4.23	4.45	4.62	4.77	4.90	5.01
	4.02	4.64	5.02	5.29	5.51	5.69	5.84	5.97	6.09
30	2.89	3.49	3.85	4.10	4.30	4.46	4.60	4.72	4.82
	3.89	4.45	4.80	5.05	5.24	5.40	5.54	5.65	5.76
40	2.86	3.44	3.79	4.04	4.23	4.39	4.52	4.63	4.73
	2.82	4.37	4.70	4.93	5.11	5.26	5.39	5.50	5.60
60	2.83	3.40	3.74	3.98	4.16	4.31	4.44	4.55	4.65
	3.76	4.28	4.59	4.82	4.99	5.13	5.25	5.36	5.45
120	2.80	3.36	3.68	3.92	4.10	4.24	4.36	4.47	4.56
	3.70	4.20	4.50	4.71	4.87	5.01	5.12	5.21	5.30
∞	2.77	3.31	3.63	3.86	4.03	4.17	4.29	4.39	4.47
	3.64	4.12	4.40	4.60	4.76	4.88	4.99	5.08	5.16



附表6 百分率的置信区间 上行:95%置信区间 下行:99%置信区间

n	x													
	0	1	2	3	4	5	6	7	8	9	10	11	12	13
1	0~98													
	0~100													
2	0~84	1~99												
	0~93	0~100												
3	0~71	1~91	9~99											
	0~83	0~96	4~100											
4	0~60	1~81	7~93											
	0~73	0~89	3~97											
5	0~52	1~72	5~85	15~95										
	0~65	0~81	2~92	8~98										
6	0~46	0~64	4~78	12~88										
	0~59	0~75	2~86	7~93										
7	0~41	0~58	4~71	10~82	18~90									
	0~53	0~68	2~80	6~88	12~94									
8	0~37	0~53	3~65	9~76	16~84									
	0~48	0~63	1~74	5~83	10~90									
9	0~34	0~48	3~60	7~70	14~79	21~86								
	0~45	0~59	1~69	4~78	9~85	15~91								
10	0~31	0~45	3~56	7~65	12~74	19~81								
	0~41	0~54	1~65	4~74	8~81	13~87								
11	0~28	0~40	2~52	6~61	11~69	17~77	23~83							
	0~38	0~51	1~61	3~69	7~77	11~83	17~89							
12	0~26	0~38	2~48	5~57	10~65	15~72	21~79							
	0~36	0~48	1~57	3~66	6~73	10~79	15~85							
13	0~25	0~36	2~45	5~54	9~61	14~68	19~75	25~81						
	0~34	0~45	1~54	3~62	6~69	9~76	14~81	19~86						
14	0~23	0~34	2~43	5~51	8~58	13~65	18~71	23~77						
	0~32	0~42	1~51	3~59	5~66	9~72	13~78	17~83						
15	0~22	0~32	2~41	4~48	8~55	12~62	16~68	21~73	27~79					
	0~30	0~40	1~49	2~56	5~63	8~69	12~74	16~79	21~84					
16	0~21	0~30	2~38	4~46	7~52	11~59	15~65	20~70	25~75					
	0~28	0~38	1~46	2~53	5~60	8~66	11~71	15~76	19~81					
17	0~20	0~29	2~36	4~34	7~50	10~56	14~62	18~67	23~72	28~77				
	0~27	0~36	1~44	2~51	4~57	7~63	10~69	14~74	18~78	22~82				
18	0~19	0~27	1~35	3~41	6~48	10~54	13~59	17~64	22~69	26~74				
	0~26	0~35	1~42	2~49	4~55	7~61	10~66	13~71	17~75	21~79				
19	0~18	0~26	1~33	3~40	6~46	9~51	13~57	16~62	20~67	24~71	29~76			
	0~24	0~33	1~40	2~47	4~53	6~58	9~63	12~68	16~73	19~77	23~81			
20	0~17	0~25	1~32	3~38	6~44	9~49	12~54	15~59	19~64	23~69	27~73			
	0~23	0~32	1~39	2~45	4~51	6~56	9~61	11~66	15~70	18~74	22~78			
21	0~16	0~24	1~30	3~36	5~42	8~47	11~52	15~57	18~62	22~66	26~70	30~74		
	0~22	0~30	1~37	2~43	3~49	6~54	8~59	11~63	14~68	17~71	21~76	24~80		
22	0~15	0~23	1~29	3~35	5~40	8~45	11~50	14~55	17~59	21~64	24~68	28~72		
	0~21	0~29	1~36	2~42	3~47	5~52	8~57	10~61	13~66	16~70	20~73	23~77		
23	0~15	0~22	1~28	3~34	5~39	8~44	10~48	13~53	16~57	20~62	23~66	27~69	31~73	
	0~21	0~28	1~35	2~40	3~45	5~50	7~55	10~59	13~63	15~67	19~71	22~75	25~78	
24	0~14	0~21	1~27	3~32	5~37	7~42	10~47	13~51	16~55	19~59	22~63	26~67	29~71	
	0~20	0~27	0~33	2~39	3~44	5~49	7~53	9~57	12~61	15~65	18~69	21~73	24~76	
25	0~14	0~20	1~26	3~31	5~36	7~41	9~45	12~49	15~54	18~58	21~61	24~65	28~69	31~72
	0~19	0~16	0~32	1~37	3~42	5~47	7~51	9~56	11~60	14~63	17~67	20~71	23~74	26~77



续表

n	x													
	0	1	2	3	4	5	6	7	8	9	10	11	12	13
26	0~13	0~20	1~25	2~30	4~35	7~39	9~44	12~48	14~52	17~56	20~60	23~63	27~67	30~70
	0~18	0~25	1~31	1~36	3~41	4~46	5~50	9~54	11~58	13~62	16~65	19~69	22~72	25~75
27	0~13	0~19	1~24	2~29	4~34	6~38	9~42	11~46	19~50	17~54	19~58	22~61	26~65	29~68
	0~18	0~25	0~30	1~35	3~40	4~44	6~48	8~52	10~56	13~60	15~63	18~67	21~70	24~73
28	0~12	0~18	1~24	2~28	4~33	6~37	8~41	11~45	13~49	16~52	19~56	22~59	25~63	28~66
	0~17	0~24	0~29	1~34	3~39	4~43	6~47	8~51	10~55	12~58	15~62	17~65	20~68	23~71
29	0~12	0~18	1~23	2~27	4~32	6~36	8~40	10~44	13~47	15~51	18~54	21~58	24~61	26~64
	0~17	0~23	0~28	1~33	2~37	4~42	6~46	8~49	10~53	12~57	14~60	17~63	19~66	22~70
30	0~12	0~17	1~22	2~27	4~31	6~35	8~39	10~42	12~46	15~49	17~53	20~56	23~59	26~63
	0~16	0~22	0~27	1~32	2~36	4~40	5~44	7~48	9~52	11~55	14~58	16~62	19~65	21~68
31	0~11	0~17	1~22	2~26	4~30	6~34	8~38	10~41	12~45	14~48	17~51	19~55	22~58	25~61
	0~16	0~22	0~27	1~31	2~35	4~39	5~43	7~47	9~50	11~54	13~57	16~60	18~63	20~66
32	0~11	0~16	1~21	2~25	4~29	5~33	7~36	9~40	12~43	14~47	16~50	19~53	21~56	24~59
	0~15	0~21	0~26	1~30	2~34	4~38	5~42	7~46	9~49	11~52	13~56	15~59	17~62	20~65
33	0~11	0~15	1~20	2~24	3~28	5~32	7~36	9~39	11~42	13~46	16~49	18~52	20~55	23~58
	0~15	0~20	0~25	1~30	2~34	3~37	5~41	7~44	8~48	10~51	12~54	14~57	17~60	19~63
34	0~10	0~15	1~19	2~23	3~28	5~31	7~35	9~38	11~41	13~44	15~48	17~51	20~54	22~56
	0~14	0~20	0~25	1~29	2~33	3~36	5~40	6~43	8~47	10~50	12~53	14~56	16~59	18~62
35	0~10	0~15	1~19	2~23	3~27	5~30	6~34	8~37	10~40	13~43	15~46	17~49	19~52	22~55
	0~14	0~20	0~24	1~28	2~32	3~35	5~39	6~42	8~45	10~49	12~52	14~55	16~57	18~60
36	0~10	0~15	1~18	2~22	3~26	5~29	6~33	8~36	10~39	12~42	14~45	16~48	19~51	21~54
	0~14	0~19	0~23	1~27	2~31	3~35	5~38	6~41	8~44	9~47	11~50	13~53	15~56	17~59
37	0~10	0~14	1~18	2~22	3~25	5~28	6~32	8~35	10~38	12~41	14~44	16~47	18~50	20~54
	0~13	0~18	0~23	1~27	2~30	3~34	4~37	6~40	7~43	9~46	11~49	13~52	15~55	17~58
38	0~10	0~14	1~18	2~21	3~25	5~28	6~32	8~34	10~37	11~40	13~43	15~46	18~49	20~51
	0~13	0~18	0~22	1~26	2~30	3~33	4~36	6~39	7~42	9~45	11~48	12~51	14~54	16~56
39	0~9	0~14	1~17	2~21	3~24	4~27	6~31	8~33	9~36	11~39	13~42	15~45	17~48	19~50
	0~13	0~18	0~21	1~25	2~29	3~32	4~35	6~38	7~41	9~44	10~47	12~49	14~53	16~55
40	0~9	0~13	1~17	2~21	3~24	4~27	6~30	8~33	9~35	11~38	13~41	15~44	14~47	19~49
	0~12	0~17	0~21	1~25	2~28	3~32	4~35	5~38	7~40	9~43	10~46	12~49	13~52	15~54
41	0~9	0~13	1~17	2~20	3~23	4~26	6~29	7~32	9~35	11~37	12~40	14~43	16~46	18~48
	0~12	0~17	0~21	1~24	2~28	3~31	4~34	5~37	7~40	8~42	10~45	11~48	13~50	15~53
42	0~9	0~13	1~16	2~20	3~23	4~26	6~28	7~31	9~34	10~37	12~39	14~42	16~45	18~47
	0~12	0~17	0~20	1~24	2~27	3~30	4~33	5~36	7~39	8~42	9~44	11~47	13~49	15~52
43	0~9	0~12	1~16	2~19	3~23	4~25	5~28	7~31	8~33	10~36	12~39	14~41	15~44	17~45
	0~12	0~16	0~20	1~23	2~26	3~30	4~33	5~35	6~38	8~41	9~43	11~46	13~49	14~51
44	0~9	0~12	1~15	2~19	3~22	4~25	5~28	7~30	8~33	10~35	11~38	13~40	15~43	17~45
	0~11	0~16	0~19	1~23	2~26	3~29	4~32	5~35	6~37	8~40	9~42	11~45	12~47	14~51
45	0~8	0~12	1~15	2~18	3~21	4~24	5~27	7~30	8~32	9~34	11~37	13~39	15~42	16~44
	0~11	0~15	0~19	1~22	2~25	3~28	4~31	5~34	6~37	8~39	9~42	10~44	12~47	14~49
46	0~8	0~12	1~15	2~18	3~21	4~24	5~26	7~29	8~31	9~34	11~36	13~39	14~41	16~43
	0~11	0~15	0~19	1~22	2~25	3~28	4~31	5~33	6~36	7~39	9~41	10~43	12~46	13~48
47	0~8	0~12	1~15	2~17	3~20	4~23	6~26	6~28	8~31	9~34	11~36	12~38	14~40	16~43
	0~11	0~15	0~18	1~21	2~24	2~27	3~30	5~33	6~35	7~38	9~40	10~42	11~45	13~47
48	0~8	0~11	1~14	2~17	3~20	4~22	5~25	6~28	8~30	9~33	11~35	12~37	14~40	15~42
	0~10	0~14	0~18	1~21	2~24	2~27	3~29	5~32	6~35	7~37	8~40	10~42	11~44	13~47
49	0~8	0~11	1~14	2~17	2~20	4~22	5~25	6~27	7~30	9~32	10~35	12~37	13~39	15~41
	0~10	0~14	0~17	1~20	1~24	2~26	3~29	4~32	6~34	7~36	8~39	9~41	11~44	12~46
50	0~7	0~11	1~14	2~17	2~19	3~22	5~24	6~26	7~29	9~31	10~34	11~36	13~38	15~41
	0~10	0~14	0~17	1~20	1~23	2~26	3~28	4~31	5~33	7~36	8~38	9~40	11~43	12~45

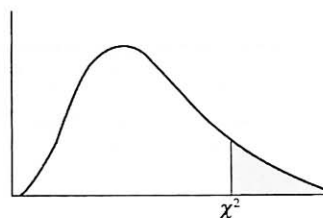
续表

n	x											
	14	15	16	17	18	19	20	21	22	23	24	25
26												
27	32~71											
	27~76											
28	31~69											
	26~74											
29	30~68	33~71										
	25~72	28~75										
30	28~66	31~69										
	24~71	27~74										
31	27~64	30~67	33~70									
	23~69	26~72	28~75									
32	26~62	29~65	32~68									
	22~67	25~70	27~73									
33	26~61	28~64	31~67	34~69								
	21~66	24~69	26~71	29~74								
34	25~59	27~62	30~65	32~68								
	21~64	23~67	25~70	28~72								
35	24~58	26~61	29~63	31~66	34~69							
	20~63	22~66	24~68	27~71	29~73							
36	23~57	26~59	28~62	30~65	33~67							
	19~62	22~64	23~67	26~69	28~72							
37	23~55	25~58	27~61	30~63	32~66	34~68						
	19~60	21~63	23~65	25~68	28~70	30~73						
38	22~54	24~57	26~59	29~62	31~64	33~67						
	18~59	20~61	22~64	25~66	27~69	29~71						
39	21~53	23~55	26~58	28~60	30~63	32~65	35~68					
	18~58	20~60	22~63	24~65	26~68	28~70	30~72					
40	21~52	23~54	25~57	27~59	29~62	32~64	34~66					
	17~57	19~59	21~61	23~64	25~66	27~68	30~71					
41	20~51	22~53	24~56	26~58	29~60	31~63	33~65	35~67				
	17~55	19~58	21~60	23~63	25~65	27~67	29~69	31~71				
42	20~50	22~52	24~54	26~57	28~59	30~61	32~64	34~66				
	16~54	18~57	20~59	22~61	24~64	26~66	28~67	30~70				
43	19~49	21~51	23~53	25~56	27~58	29~60	31~62	33~65	36~67			
	16~53	18~56	19~58	21~60	23~62	25~65	27~66	29~69	31~71			
44	19~48	21~50	22~52	24~55	26~57	28~59	30~61	33~63	35~65			
	15~52	14~55	19~57	21~59	23~61	25~63	26~65	28~68	30~70			
45	18~47	20~49	22~51	24~54	26~56	28~58	30~60	32~62	34~64	36~66		
	15~51	17~54	19~56	20~58	22~60	24~62	26~64	28~66	30~68	32~70		
46	18~46	20~48	21~50	23~53	25~55	27~57	29~59	31~61	33~63	35~65		
	15~50	16~53	18~55	20~57	22~59	23~61	25~63	27~65	29~67	31~69		
47	18~45	19~47	21~49	23~52	25~54	26~56	28~58	30~60	32~62	34~64	36~66	
	14~19	16~52	18~54	19~56	21~58	23~60	25~62	26~64	28~66	30~68	32~70	
48	17~44	19~46	21~48	22~51	24~53	26~55	28~57	30~59	31~61	33~63	35~65	
	14~49	16~51	17~53	19~55	21~27	22~59	24~61	26~63	28~65	29~67	31~69	
49	17~43	18~45	20~47	22~50	24~52	25~54	27~56	29~58	31~60	33~62	34~64	36~66
	14~48	15~50	17~52	19~54	20~56	22~58	23~60	25~62	27~64	29~66	31~68	32~70
50	16~43	18~45	20~47	21~49	23~51	25~63	26~55	28~57	30~59	32~61	34~63	36~65
	14~47	15~49	17~51	18~53	20~55	21~57	23~59	25~61	26~63	28~65	30~67	32~68



续表

x	n						x	n					
	50	60	70	80	90	100		50	60	70	80	90	100
1	0~11	0~9	0~8	0~7	0~6	0~5	26	31~57	26~49	22~44	20~39	18~36	
	0~14	0~12	0~10	0~9	0~8	0~7		27~61	23~53	20~48	17~43	16~39	
2	0~14	1~11	0~10	1~9	0~8	0~7	27	32~58	27~51	24~45	21~40	19~37	
	0~17	0~14	0~13	0~11	0~10	0~9		29~62	24~55	21~49	18~44	16~40	
3	1~17	1~14	1~12	1~11	1~10	1~8	28	34~60	29~52	25~46	22~42	20~38	
	1~20	1~17	1~15	1~13	0~12	0~10		30~64	25~56	22~50	19~45	17~41	
4	2~19	2~16	2~14	2~13	1~11	1~10	29	35~62	30~54	26~48	23~43	20~39	
	1~23	1~20	1~17	1~15	1~14	1~12		32~65	27~57	23~51	20~46	18~42	
5	3~22	3~18	3~16	2~14	2~13	2~11	30	37~63	31~55	27~49	24~44	21~40	
	2~26	2~22	2~19	1~17	1~15	1~13		33~67	28~59	24~53	21~47	19~43	
6	5~24	4~20	3~18	3~16	3~14	2~12	31	33~57	28~50	25~45	22~41	20~44	
	3~29	3~24	2~21	2~19	2~17	2~14		29~60	25~45	22~49	20~44	20~44	
7	6~27	5~23	4~20	4~17	3~15	3~14	32	34~58	29~51	26~46	23~42	21~45	
	4~31	4~26	3~23	3~21	2~18	2~16		30~62	26~55	23~50	21~45	21~45	
8	7~29	6~25	5~21	5~19	4~17	4~15	33	35~59	31~53	27~47	24~43	21~46	
	6~33	4~29	4~25	3~22	3~20	3~17		32~63	27~56	24~51	21~46	21~46	
9	9~31	7~26	6~23	5~20	5~18	4~16	34	36~61	32~54	28~48	25~44	22~47	
	7~36	5~30	5~27	4~24	4~21	3~18		33~64	28~58	25~52	22~47	22~47	
10	10~34	8~29	7~25	6~22	6~20	5~18	35	38~62	33~55	29~50	26~45	23~48	
	8~38	7~32	6~28	5~25	4~22	4~19		34~66	30~59	26~53	23~48	23~48	
11	12~36	10~30	8~26	7~23	6~21	5~19	36	34~56	30~51	27~40	24~49	24~49	
	10~40	8~34	7~30	6~21	5~24	4~20		31~60	27~54	24~49	24~49	24~49	
12	13~38	11~32	9~28	8~25	7~22	6~20	37	35~58	31~52	28~47	25~50	25~50	
	11~43	9~36	7~32	6~28	6~25	5~21		32~61	28~55	25~50	25~50	25~50	
13	15~41	12~34	10~30	9~26	8~23	7~21	38	36~59	32~53	29~48	26~51	26~51	
	12~45	10~38	8~33	7~30	6~27	6~23		33~62	29~56	26~51	26~51	26~51	
14	16~43	13~36	11~31	10~27	9~25	8~22	39	37~60	33~54	29~49	27~52	27~52	
	14~47	11~40	9~35	8~31	7~28	6~24		34~64	30~57	27~52	27~52	27~52	
15	18~44	15~38	13~33	11~29	10~26	9~24	40	39~61	34~55	30~50	28~53	28~53	
	15~49	12~42	10~37	9~33	8~30	7~26		35~65	31~59	28~53	28~53	28~53	
16	20~46	16~40	14~34	12~30	11~27	9~25	41	35~56	31~51	29~54	29~54	29~54	
	17~51	14~44	11~38	10~34	9~31	8~27		32~60	29~54	29~54	29~54	29~54	
17	21~48	14~81	15~36	13~32	12~28	10~26	42	36~57	32~52	30~55	30~55	30~55	
	18~53	15~46	12~40	11~35	10~32	9~29		33~61	30~55	30~55	30~55	30~55	
18	23~50	19~43	16~37	14~33	12~30	11~27	43	37~59	33~53	30~56	30~56	30~56	
	20~55	16~47	14~41	12~37	10~33	9~30		34~62	30~56	30~56	30~56	30~56	
19	25~53	20~45	17~38	15~34	13~31	12~28	44	38~60	34~54	31~57	31~57	31~57	
	21~57	17~49	15~43	13~38	11~35	10~31		35~63	31~57	31~57	31~57	31~57	
20	27~55	22~47	18~40	16~36	14~32	13~29	45	39~61	35~55	32~58	32~58	32~58	
	23~59	19~51	16~44	14~39	12~36	11~32		36~64	32~58	32~58	32~58	32~58	
21	28~57	23~49	20~41	17~37	15~33	14~30	46	36~56	33~59	33~59	33~59	33~59	
	24~61	20~52	17~46	15~41	13~31	12~33		33~59	33~59	33~59	33~59	33~59	
22	30~59	25~50	21~43	18~39	16~35	14~31	47	37~57	34~60	34~60	34~60	34~60	
	26~63	22~54	18~47	16~42	14~38	12~34		34~60	34~60	34~60	34~60	34~60	
23	32~61	26~52	22~45	19~40	17~36	15~32	48	38~58	35~61	35~61	35~61	35~61	
	28~65	23~56	19~49	17~44	15~39	13~35		35~61	35~61	35~61	35~61	35~61	
24	34~63	28~53	23~46	20~41	18~37	16~33	49	39~59	36~62	36~62	36~62	36~62	
	29~67	24~58	21~50	18~45	16~41	14~36		36~62	36~62	36~62	36~62	36~62	
25	36~64	29~55	25~48	21~43	19~38	17~35	50	40~60	37~63	37~63	37~63	37~63	
	31~69	26~59	22~52	19~46	17~42	15~38		37~63	37~63	37~63	37~63	37~63	

附表7 χ^2 分布界值表

自由度 ν	概率, P (右侧尾部面积)												
	0.995	0.990	0.975	0.950	0.900	0.750	0.500	0.250	0.100	0.050	0.025	0.010	0.005
1					0.02	0.10	0.45	1.32	2.71	3.84	5.02	6.63	7.88
2	0.01	0.02	0.05	0.10	0.21	0.58	1.39	2.77	4.11	5.99	7.38	9.21	10.60
3	0.07	0.11	0.22	0.35	0.58	1.21	2.37	4.11	6.25	7.81	9.35	11.34	12.84
4	0.21	0.30	0.48	0.71	1.06	1.92	3.36	5.39	7.78	9.49	11.14	13.28	14.86
5	0.41	0.55	0.83	1.15	1.61	2.67	4.35	6.63	9.24	11.07	12.83	15.09	16.75
6	0.68	0.87	1.24	1.64	2.20	3.45	5.35	7.84	10.64	12.59	14.45	16.81	18.55
7	0.99	1.24	1.69	2.17	2.83	4.25	6.35	9.04	12.02	14.07	16.01	18.48	20.28
8	1.34	1.65	2.18	2.73	3.49	5.07	7.34	10.22	13.36	15.51	17.53	20.09	21.95
9	1.73	2.09	2.70	3.33	4.17	5.90	8.34	11.39	14.68	16.92	19.02	21.67	23.59
10	2.16	2.56	3.25	3.94	4.87	6.74	9.34	12.55	15.99	18.31	20.48	23.21	25.19
11	2.60	3.05	3.82	4.57	5.58	7.58	10.34	13.70	17.28	19.68	21.92	24.72	26.76
12	3.07	3.57	4.40	5.23	6.30	8.44	11.34	14.85	18.55	21.03	23.34	26.22	28.30
13	3.57	4.11	5.01	5.89	7.04	9.30	12.34	15.98	19.81	22.36	24.74	27.69	29.82
14	4.07	4.66	5.63	6.57	7.79	10.17	13.34	17.12	21.06	23.68	26.12	29.14	31.32
15	4.60	5.23	6.26	7.26	8.55	11.04	14.34	18.25	22.31	25.00	27.49	30.58	32.80
16	5.14	5.81	6.91	7.96	9.31	11.91	15.34	19.37	23.54	26.30	28.85	32.00	34.27
17	5.70	6.41	7.56	8.67	10.09	12.79	16.34	20.49	24.77	27.59	30.19	33.41	35.72
18	6.26	7.01	8.23	9.39	10.86	13.68	17.34	21.60	25.99	28.87	31.53	34.81	37.16
19	6.84	7.63	8.91	10.12	11.65	14.56	18.34	22.72	27.20	30.14	32.85	36.19	38.58
20	7.43	8.26	9.59	10.85	12.44	15.45	19.34	23.83	28.41	31.41	34.17	37.57	40.00
21	8.03	8.90	10.28	11.59	13.24	16.34	20.34	24.93	29.62	32.67	35.48	38.93	41.40
22	8.64	9.54	10.98	12.34	14.04	17.24	21.34	26.04	30.81	33.92	36.78	40.29	42.80
23	9.26	10.20	11.69	13.09	14.85	18.14	22.34	27.14	32.01	35.17	38.08	41.64	44.18
24	9.89	10.86	12.40	13.85	15.66	19.04	23.34	28.24	33.20	36.42	39.36	42.98	45.56
25	10.52	11.52	13.12	14.61	16.47	19.94	24.34	29.34	34.38	37.65	40.65	44.31	46.93
26	11.16	12.20	13.84	15.38	17.29	20.84	25.34	30.43	35.56	38.89	41.92	45.64	48.29
27	11.81	12.88	14.57	16.15	18.11	21.75	26.34	31.53	36.74	40.11	43.19	46.96	49.64
28	12.46	13.56	15.31	16.93	18.94	22.66	27.34	32.62	37.92	41.34	44.46	48.28	50.99
29	13.12	14.26	16.05	17.71	19.77	23.57	28.34	33.71	39.09	42.56	45.72	49.59	52.34
30	13.79	14.95	16.79	18.49	20.60	24.48	29.34	34.80	40.26	43.77	46.98	50.89	53.67
40	20.71	22.16	24.43	26.51	29.05	33.66	39.34	45.62	51.81	55.70	59.34	63.69	66.77
50	27.99	29.71	32.36	34.76	37.69	42.94	49.33	56.33	63.17	67.50	70.42	76.15	79.49
60	35.53	37.48	40.48	43.19	46.46	52.29	59.33	66.98	74.40	79.08	83.30	88.38	91.95
70	43.28	45.44	48.76	51.74	55.33	61.70	69.33	77.58	85.53	90.53	95.02	100.42	104.22
80	51.17	53.54	57.15	60.39	64.28	71.14	79.33	88.13	96.58	101.88	106.63	112.33	116.32
90	59.20	61.75	65.65	69.13	73.29	80.62	89.33	98.64	107.56	113.14	118.14	124.12	128.30
100	67.33	70.06	74.22	77.93	82.36	90.13	99.33	109.14	118.50	124.34	129.56	135.81	140.17

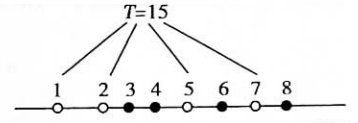


附表8 T临界值表(配对比较的符号秩和检验用)

n	单侧: 0.05	0.025	0.01	0.005
	双侧: 0.10	0.05	0.02	0.010
5	0—15	—	—	—
6	2—19	0—21	—	—
7	3—25	2—26	0—28	—
8	5—31	3—33	1—35	0—36
9	8—37	5—40	3—42	1—44
10	10—45	8—47	5—50	3—52
11	13—53	10—56	7—59	5—61
12	17—61	13—65	9—69	7—71
13	21—70	17—74	12—79	9—82
14	25—80	21—84	15—90	12—93
15	30—90	25—95	19—101	15—105
16	35—101	29—107	23—113	19—117
17	41—112	34—119	27—126	23—130
18	47—124	40—131	32—139	27—144
19	53—137	46—144	37—153	32—158
20	60—150	52—158	43—167	37—173
21	67—164	58—173	49—182	42—189
22	75—178	65—188	55—198	48—205
23	83—193	73—203	62—214	54—222
24	91—209	81—219	69—231	61—239
25	100—225	89—236	76—249	68—257
26	110—241	98—253	84—267	75—276
27	119—259	107—271	92—286	83—295
28	130—276	116—290	101—305	91—315
29	140—295	126—309	110—325	100—335
30	151—314	137—328	120—345	109—356
31	163—333	147—349	130—366	118—378
32	175—353	159—369	140—388	128—400
33	187—374	170—391	151—410	138—423
34	200—395	182—413	162—433	148—447
35	213—417	195—435	173—457	159—471
36	227—439	208—458	185—481	171—495
37	241—462	221—482	198—505	182—521
38	256—485	235—506	211—530	194—547
39	271—509	249—531	224—556	207—573
40	286—534	264—556	238—582	220—600
41	302—559	279—582	252—609	233—628
42	319—584	294—609	266—637	247—656
43	336—610	310—636	281—665	261—685
44	353—637	327—663	296—694	276—714
45	371—664	343—692	312—723	291—744
46	389—692	361—720	328—753	307—774
47	407—721	378—750	345—783	322—806
48	426—750	396—780	362—814	339—837
49	446—779	415—810	379—846	355—870
50	466—809	434—841	397—878	373—902

附表9 T界值表(两样本比较的秩和检验用)

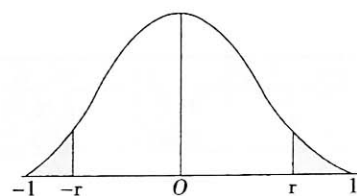
	单侧	双侧		单侧	双侧
1行	$P=0.05$	$P=0.10$;	2行	$P=0.025$	$P=0.05$
3行	$P=0.01$	$P=0.02$;	4行	$P=0.005$	$P=0.01$



n_1 (较小 n)	$n_2 - n_1$										
	0	1	2	3	4	5	6	7	8	9	10
2				3~13	3~15	3~17	4~18	4~20	4~22	4~24	5~25
							3~19	3~21	3~23	3~25	4~26
3	6~15	6~18	7~20	8~22	8~25	9~27	10~29	10~32	11~34	11~37	12~39
			6~21	7~23	7~26	8~28	8~31	9~33	9~36	10~38	10~41
					6~27	6~30	7~32	7~35	7~38	8~40	8~43
							6~33	6~36	6~39	7~41	7~44
4	11~25	12~28	13~31	14~34	15~37	16~40	17~43	18~46	19~49	20~52	21~55
	10~26	11~29	12~32	13~35	14~38	14~42	15~45	16~48	17~51	18~54	19~57
		10~30	11~33	11~37	12~40	13~43	13~47	14~50	15~53	15~57	16~60
			10~34	10~38	11~41	11~45	12~48	12~52	13~55	13~59	14~62
5	19~36	20~40	21~44	23~47	24~51	26~54	27~58	28~62	30~65	31~69	33~72
	17~38	18~42	20~45	21~49	22~53	23~57	24~61	26~64	27~68	28~72	29~76
	16~39	17~43	18~47	19~51	20~55	21~59	22~63	23~67	24~71	25~75	26~79
	15~40	16~44	16~49	17~53	18~57	19~61	20~65	21~69	22~73	22~78	23~82
6	28~50	29~55	31~59	33~63	35~67	37~71	38~76	40~80	42~84	44~88	46~92
	26~52	27~57	29~61	31~65	32~70	34~74	35~79	37~83	38~88	40~92	42~96
	24~54	25~59	27~63	28~68	29~73	30~78	32~82	33~87	34~92	36~96	37~101
	23~55	24~60	25~65	26~70	27~75	28~80	30~84	31~89	32~94	33~99	32~104
7	39~66	41~71	43~76	45~81	47~86	49~91	52~95	54~100	46~105	58~110	61~114
	36~69	38~74	40~79	42~84	44~89	46~94	48~99	50~104	52~109	54~114	56~119
	34~71	35~77	37~82	39~87	40~93	42~98	44~103	45~109	47~114	49~119	51~124
	32~73	34~78	35~84	37~89	38~95	40~100	41~106	43~111	44~117	45~122	47~128
8	51~85	54~90	56~96	59~101	62~106	64~112	67~117	69~123	72~128	75~133	77~139
	49~87	51~93	53~99	55~105	58~110	60~116	62~122	65~127	67~133	70~138	72~144
	45~91	47~97	49~103	51~109	53~115	56~120	58~126	60~132	62~138	64~144	66~150
	43~93	45~99	47~105	49~111	51~117	53~123	54~130	56~136	58~142	60~148	62~154
9	66~105	69~111	72~117	75~123	78~129	81~135	84~141	87~147	90~153	93~159	96~165
	62~109	65~115	68~121	71~127	73~134	76~140	79~146	82~152	84~159	87~165	90~171
	59~112	61~119	63~126	66~132	68~139	71~145	73~152	76~158	78~165	81~171	83~178
	56~115	58~122	61~128	63~135	65~142	67~149	69~156	72~162	74~169	76~176	78~183
10	82~128	86~134	89~141	92~148	96~154	99~161	103~167	106~174	110~180	113~187	117~193
	78~132	81~139	84~146	88~152	91~159	94~166	97~173	100~180	103~187	107~193	110~200
	74~136	77~143	79~151	82~158	85~165	88~172	91~179	93~187	96~194	99~201	102~208
	71~139	73~147	76~154	79~161	81~169	84~176	86~184	89~191	92~198	94~206	97~213

附表10 H 界值表(三样本比较的秩和检验用)

N	n_1	n_2	n_3	P	
				0.05	0.01
7	3	2	2	4.71	
	3	3	1	5.14	
8	3	3	2	5.36	
	4	2	2	5.33	
	4	3	1	5.21	
	5	2	1	5.00	
9	3	3	3	5.60	7.20
	4	3	2	5.44	6.44
	4	4	1	4.97	6.67
	5	2	2	5.16	6.53
	5	3	1	4.96	
10	4	3	3	5.79	6.75
	4	4	2	5.46	7.04
	5	3	2	5.25	6.91
	5	4	1	4.99	6.96
11	4	4	3	5.60	7.14
	5	3	3	5.65	7.08
	5	4	2	5.27	7.21
	5	5	1	5.13	7.31
12	4	4	4	5.69	7.65
	5	4	3	5.66	7.45
	5	5	2	5.34	7.34
13	5	4	4	5.66	7.76
	5	5	3	5.71	7.58
14	5	5	4	5.67	7.82
15	5	5	5	5.78	8.00



附表 11 t 界值表(双侧尾部面积)

自由度 ν	概率, P									
	单侧: 双侧:	0.25 0.50	0.10 0.20	0.05 0.10	0.025 0.05	0.01 0.02	0.005 0.01	0.0025 0.005	0.001 0.002	0.000 0.001
1		0.707	0.951	0.988	0.997	1.000	1.000	1.000	1.000	1.000
2		0.500	0.800	0.900	0.950	0.980	0.990	0.995	0.998	0.999
3		0.404	0.687	0.805	0.878	0.934	0.959	0.974	0.986	0.991
4		0.347	0.608	0.729	0.811	0.882	0.917	0.942	0.963	0.974
5		0.309	0.551	0.669	0.755	0.833	0.875	0.906	0.935	0.951
6		0.281	0.507	0.621	0.707	0.789	0.834	0.870	0.905	0.925
7		0.260	0.472	0.582	0.666	0.750	0.798	0.836	0.875	0.898
8		0.242	0.443	0.549	0.632	0.715	0.765	0.805	0.847	0.842
9		0.228	0.419	0.521	0.602	0.685	0.735	0.776	0.820	0.847
10		0.216	0.398	0.497	0.576	0.658	0.708	0.750	0.795	0.823
11		0.206	0.380	0.476	0.553	0.634	0.684	0.726	0.772	0.801
12		0.197	0.365	0.457	0.532	0.612	0.661	0.703	0.750	0.780
13		0.189	0.351	0.441	0.514	0.592	0.641	0.683	0.730	0.760
14		0.182	0.338	0.426	0.497	0.574	0.623	0.664	0.711	0.742
15		0.176	0.327	0.412	0.482	0.558	0.606	0.647	0.694	0.725
16		0.170	0.317	0.400	0.468	0.542	0.590	0.631	0.678	0.708
17		0.165	0.308	0.389	0.456	0.529	0.575	0.616	0.662	0.693
18		0.160	0.299	0.378	0.444	0.515	0.561	0.602	0.648	0.679
19		0.156	0.291	0.369	0.433	0.503	0.549	0.589	0.635	0.665
20		0.152	0.284	0.360	0.423	0.492	0.537	0.576	0.622	0.652
21		0.148	0.277	0.352	0.413	0.482	0.526	0.565	0.610	0.640
22		0.145	0.271	0.344	0.404	0.472	0.515	0.554	0.599	0.629
23		0.141	0.265	0.337	0.396	0.462	0.505	0.543	0.588	0.618
24		0.138	0.260	0.330	0.388	0.453	0.496	0.534	0.578	0.607
25		0.136	0.255	0.323	0.381	0.445	0.487	0.524	0.568	0.597
26		0.133	0.250	0.317	0.374	0.437	0.479	0.515	0.559	0.588
27		0.131	0.245	0.311	0.367	0.430	0.471	0.507	0.550	0.579
28		0.128	0.241	0.306	0.361	0.423	0.463	0.499	0.541	0.570
29		0.126	0.237	0.301	0.355	0.416	0.456	0.491	0.533	0.562
30		0.124	0.233	0.296	0.349	0.409	0.449	0.484	0.526	0.554
31		0.122	0.229	0.291	0.344	0.403	0.442	0.477	0.518	0.546
32		0.120	0.225	0.287	0.339	0.397	0.436	0.470	0.511	0.539
33		0.118	0.222	0.283	0.334	0.392	0.430	0.464	0.504	0.532
34		0.116	0.219	0.279	0.329	0.386	0.424	0.458	0.498	0.525
35		0.115	0.216	0.275	0.325	0.381	0.418	0.452	0.492	0.519
36		0.113	0.213	0.271	0.320	0.376	0.413	0.446	0.486	0.513
37		0.111	0.210	0.267	0.316	0.371	0.408	0.441	0.480	0.507
38		0.110	0.207	0.264	0.312	0.367	0.403	0.435	0.474	0.501
39		0.108	0.204	0.261	0.308	0.362	0.398	0.430	0.469	0.495
40		0.107	0.202	0.257	0.304	0.358	0.393	0.425	0.463	0.490
41		0.106	0.199	0.254	0.301	0.354	0.389	0.420	0.458	0.484
42		0.104	0.197	0.251	0.297	0.350	0.384	0.416	0.453	0.479
43		0.103	0.195	0.248	0.294	0.346	0.380	0.411	0.449	0.474
44		0.102	0.192	0.246	0.291	0.342	0.376	0.407	0.444	0.469
45		0.101	0.190	0.243	0.288	0.338	0.372	0.403	0.439	0.465
46		0.100	0.188	0.240	0.285	0.335	0.368	0.399	0.435	0.460
47		0.099	0.186	0.238	0.282	0.331	0.365	0.395	0.431	0.456
48		0.098	0.184	0.235	0.279	0.328	0.361	0.391	0.427	0.451
49		0.097	0.182	0.233	0.276	0.325	0.358	0.387	0.423	0.447
50		0.096	0.181	0.231	0.273	0.322	0.354	0.384	0.419	0.443

附表12 r_s 界值表

n	概率, P									
	单侧:	0.25	0.10	0.05	0.025	0.01	0.005	0.0025	0.001	0.0005
	双侧:	0.50	0.20	0.10	0.05	0.02	0.01	0.005	0.002	0.001
4		0.600	1.000	1.000						
5		0.500	0.800	0.900	1.000	1.000				
6		0.371	0.657	0.829	0.886	0.943	1.000	1.000		
7		0.321	0.571	0.714	0.786	0.893	0.929	0.964	1.000	1.000
8		0.310	0.524	0.643	0.738	0.833	0.881	0.905	0.952	0.976
9		0.267	0.483	0.600	0.700	0.783	0.833	0.867	0.917	0.933
10		0.248	0.455	0.564	0.648	0.745	0.794	0.830	0.879	0.903
11		0.236	0.427	0.536	0.618	0.709	0.755	0.800	0.845	0.873
12		0.217	0.406	0.503	0.587	0.678	0.727	0.769	0.818	0.846
13		0.209	0.385	0.484	0.560	0.648	0.703	0.747	0.791	0.824
14		0.200	0.367	0.464	0.538	0.626	0.679	0.723	0.771	0.802
15		0.189	0.354	0.446	0.521	0.604	0.650	0.700	0.750	0.779
16		0.182	0.341	0.429	0.503	0.582	0.635	0.679	0.729	0.762
17		0.176	0.328	0.414	0.503	0.582	0.635	0.679	0.729	0.762
18		0.176	0.328	0.414	0.485	0.566	0.615	0.662	0.713	0.748
19		0.170	0.317	0.401	0.472	0.550	0.600	0.643	0.695	0.728
20		0.161	0.299	0.380	0.447	0.520	0.570	0.612	0.662	0.696
21		0.156	0.292	0.370	0.435	0.508	0.556	0.599	0.648	0.681
22		0.152	0.284	0.361	0.425	0.496	0.544	0.586	0.634	0.667
23		0.148	0.278	0.353	0.415	0.486	0.532	0.573	0.622	0.654
24		0.144	0.271	0.344	0.406	0.476	0.521	0.562	0.610	0.642
25		0.142	0.265	0.337	0.398	0.466	0.511	0.551	0.598	0.630
26		0.138	0.259	0.331	0.390	0.457	0.501	0.541	0.587	0.619
27		0.136	0.255	0.324	0.382	0.448	0.491	0.531	0.577	0.608
28		0.133	0.250	0.317	0.375	0.440	0.483	0.522	0.567	0.598
29		0.130	0.245	0.312	0.368	0.433	0.475	0.513	0.558	0.589
30		0.128	0.240	0.306	0.362	0.425	0.467	0.504	0.549	0.580
31		0.126	0.236	0.301	0.356	0.418	0.459	0.496	0.541	0.571
32		0.124	0.232	0.296	0.350	0.412	0.452	0.489	0.533	0.563
33		0.121	0.229	0.291	0.345	0.405	0.446	0.482	0.525	0.554
34		0.120	0.225	0.287	0.340	0.399	0.439	0.475	0.517	0.547
35		0.118	0.222	0.283	0.335	0.394	0.433	0.468	0.510	0.539
36		0.116	0.219	0.279	0.330	0.388	0.427	0.426	0.504	0.533
37		0.114	0.216	0.275	0.325	0.382	0.421	0.456	0.497	0.526
38		0.113	0.212	0.271	0.321	0.378	0.415	0.450	0.491	0.519
39		0.111	0.210	0.267	0.317	0.373	0.410	0.444	0.485	0.513
40		0.110	0.207	0.264	0.313	0.368	0.405	0.439	0.479	0.507
41		0.108	0.204	0.261	0.309	0.364	0.400	0.433	0.473	0.501
42		0.107	0.202	0.257	0.305	0.359	0.395	0.428	0.468	0.495
43		0.105	0.199	0.254	0.301	0.355	0.391	0.423	0.463	0.490
44		0.104	0.197	0.251	0.298	0.351	0.386	0.419	0.458	0.484
45		0.103	0.194	0.248	0.294	0.347	0.382	0.414	0.453	0.479
46		0.102	0.192	0.246	0.291	0.343	0.378	0.410	0.448	0.474
47		0.101	0.190	0.243	0.288	0.340	0.374	0.405	0.443	0.469
48		0.100	0.188	0.240	0.285	0.336	0.370	0.401	0.439	0.465
49		0.098	0.186	0.238	0.282	0.333	0.366	0.397	0.434	0.460
50		0.097	0.184	0.235	0.279	0.329	0.363	0.393	0.430	0.456

附表13 随机数字表

88	56	53	27	59	33	35	72	67	47	77	34	55	45	70	08	18	27	38	90	16	95	86	70	75
09	72	95	84	29	49	41	31	06	70	42	38	06	45	18	64	84	73	31	65	52	53	37	97	15
12	96	88	17	31	65	19	69	02	83	60	75	86	90	68	24	64	19	35	51	56	61	87	39	12
85	94	57	24	16	92	09	84	38	76	22	00	27	69	85	29	81	94	78	10	21	94	47	90	12
38	64	43	59	93	98	77	87	68	07	91	51	67	62	44	40	98	05	93	78	23	32	65	41	18
53	44	09	42	72	00	41	86	79	79	68	47	22	00	20	35	55	31	51	51	00	83	63	22	55
40	76	66	26	84	57	99	99	90	37	36	63	32	08	58	37	40	13	68	97	87	64	81	07	83
02	17	79	18	05	12	59	52	57	02	22	07	90	47	03	28	14	11	30	79	20	69	22	40	98
95	17	82	06	53	31	51	10	96	46	92	06	88	07	77	56	11	50	81	69	40	23	72	51	39
35	76	22	42	92	96	11	83	44	80	34	68	35	48	77	33	42	40	90	60	73	96	53	97	86
26	29	13	56	41	85	47	04	66	08	34	72	57	59	13	82	43	80	46	15	38	26	61	70	04
77	80	20	75	82	72	82	32	99	90	63	95	73	76	63	89	73	44	99	05	48	67	26	43	18
46	40	66	44	52	91	36	74	43	53	30	82	13	54	00	78	45	63	98	35	55	03	36	67	68
37	56	08	18	09	77	53	84	46	47	31	91	18	95	58	24	16	74	11	53	44	10	13	85	57
61	65	61	68	66	37	27	47	39	19	84	83	70	07	48	53	21	40	06	71	95	06	79	88	54
93	43	69	64	07	34	18	04	52	35	56	27	09	24	86	61	85	53	83	45	19	90	70	99	00
21	96	60	12	99	11	20	99	45	18	48	13	93	55	34	18	37	79	49	90	65	97	38	20	46
95	20	47	97	97	27	37	83	28	71	00	06	41	41	74	45	89	09	39	84	51	67	11	52	49
97	86	21	78	73	10	65	81	92	59	58	76	17	14	97	04	76	62	16	17	17	95	70	45	80
62	92	06	34	13	59	71	74	17	32	27	55	10	24	19	23	71	82	13	74	63	52	52	01	41
04	31	17	21	56	33	73	99	19	87	26	72	39	27	67	53	77	57	68	93	60	61	97	22	61
61	06	98	03	91	87	14	77	43	96	43	00	65	98	50	45	60	33	01	07	98	99	46	50	47
85	93	85	86	88	72	87	08	62	40	16	06	10	89	20	23	21	34	74	97	76	38	03	29	63
21	74	32	47	45	73	96	07	94	52	09	65	90	77	47	25	76	16	19	33	53	05	70	53	30
15	69	53	82	88	79	96	23	53	10	65	39	07	16	29	45	33	02	43	70	02	87	40	41	45
02	89	08	04	49	20	21	14	68	86	87	63	93	95	17	11	29	01	95	80	35	14	97	35	33
87	18	15	89	79	85	43	01	72	73	08	61	74	51	69	89	74	39	82	15	94	51	33	41	67
98	83	71	94	22	59	97	50	99	52	08	52	85	08	40	87	80	61	65	31	91	51	80	32	44
10	08	58	21	66	72	68	49	29	31	89	85	84	46	06	59	73	19	85	23	65	09	29	75	63
47	90	56	10	08	88	02	84	27	83	42	29	72	23	19	66	56	45	65	79	20	71	53	20	25
22	85	61	68	90	49	64	92	85	44	16	40	12	89	88	50	14	49	81	06	01	82	77	45	12
67	80	43	79	33	12	83	11	41	16	25	58	19	68	70	77	02	54	00	52	53	43	37	15	26
27	62	50	96	72	79	44	61	40	15	14	53	40	65	39	27	31	58	50	28	11	39	03	34	25
33	78	80	87	15	38	30	06	38	21	14	47	47	07	26	54	96	87	53	32	40	36	40	69	76
13	13	92	66	99	47	24	49	57	74	32	25	43	62	17	10	97	11	69	84	99	63	22	32	98
10	27	53	96	23	71	50	54	36	23	54	31	04	82	98	04	14	12	15	09	26	78	25	47	47
28	41	50	61	88	64	85	27	20	18	83	36	36	05	56	39	71	65	09	62	94	76	62	11	89
34	21	42	57	02	59	19	18	97	48	80	30	03	30	98	05	24	67	70	07	84	97	50	87	46
61	81	77	23	23	82	82	11	54	08	53	28	70	58	96	44	07	39	55	43	42	34	43	39	28
61	15	18	13	54	16	86	20	26	88	90	74	80	55	09	14	53	90	51	17	52	01	63	01	59
91	76	21	64	64	44	91	13	32	97	75	31	62	66	54	84	80	32	75	77	56	08	25	70	29
00	97	79	08	06	37	30	28	59	85	53	56	68	53	40	01	74	39	59	73	30	19	99	85	48
36	46	18	34	94	75	20	80	27	77	78	91	69	16	00	08	43	18	73	68	67	69	61	34	25
88	98	99	60	50	65	95	79	42	94	93	62	40	89	96	43	56	47	71	66	46	76	29	67	02
04	37	59	87	21	05	02	03	24	17	47	97	81	56	51	92	34	86	01	82	55	51	33	12	91
63	62	06	34	41	94	21	78	55	09	72	76	45	16	94	29	95	81	83	83	79	88	01	97	30
78	47	23	53	90	34	41	92	45	71	09	23	70	70	07	12	38	92	79	43	14	85	11	47	23
87	68	62	15	43	53	14	36	59	25	54	47	33	70	15	59	24	48	40	35	50	03	42	99	36
47	60	92	10	77	88	59	53	11	52	66	25	69	07	64	48	68	64	71	06	61	65	70	22	12
56	88	87	59	41	65	28	04	67	53	95	79	88	37	31	50	41	06	94	76	81	83	17	16	33
02	57	45	86	67	73	43	07	34	48	44	26	87	93	29	77	09	61	67	84	06	69	44	77	75
31	54	14	13	17	48	62	11	90	60	68	12	93	64	28	46	24	79	16	76	14	60	25	51	01
28	50	16	43	36	28	97	85	58	99	67	22	52	76	23	24	70	36	54	54	59	28	61	71	96
63	29	62	66	50	02	63	45	52	38	67	63	47	54	75	83	24	78	43	20	92	63	13	47	48
45	65	58	26	51	76	96	59	38	72	86	57	45	71	46	44	67	76	14	55	44	88	01	62	12
39	65	36	63	70	77	45	85	50	51	74	13	39	35	22	30	53	36	02	95	49	34	88	73	61
73	71	98	16	04	29	18	94	51	23	76	51	94	84	86	79	93	96	38	63	08	58	25	58	94
72	20	56	20	11	72	65	71	08	86	79	57	95	13	91	97	48	72	66	48	09	71	17	24	89
75	17	26	99	76	89	37	20	70	01	77	31	61	95	46	26	97	05	73	51	53	33	18	72	87
37	48	60	82	29	81	30	15	39	14	48	38	75	93	29	06	87	37	78	48	45	56	00	84	47



中英文名词对照索引

- I类错误 type I error 66
II类错误 type II error 66
Cox 比例风险回归模型 Cox proportional hazards regression model, PHREG 145
Fisher 确切概率法 Fisher's exact test 86
Kruskal-Wallis 检验 Kruskal-Wallis test 99
logistic 回归分析 logistic regression analysis 125
 t 分布 t -distribution 52
Wald 检验 Wald test 128
Wilcoxon 符号秩检验 Wilcoxon signed-rank test 95
Wilcoxon 秩和检验 Wilcoxon rank sum test 97
 χ^2 检验 chi-square test 84
- A
- 安慰剂对照 placebo control 153
- B
- 百分条图 percentage bar chart 46
百分位数 percentile 12
半对数线图 semi-logarithmic linear chart 41
备择假设 alternative hypothesis 56
比数比 odds ratio, OR 126
变量 variable 3
变异 variation 3
变异系数 coefficient of variation 15
标准差 standard deviation 14
标准对照 standard control 153
标准化回归系数 standardized regression coefficient 118
标准化率 standardized rate 30
病死率 case fatality rate 32
- C
- 参数 parameter 4
参数估计 parameter estimation 51
参数检验方法 parametric test 95
常数项 constant term 104
超几何分布 hypergeometric distribution 86
重复 replication 155
重复测量设计 repeated measurement design 80
抽样误差 sampling error 4, 50
处理因素 treatment 151
- D
- 单独效应 simple effect 78
单盲 single blind 156
单样本 t 检验 one-sample t -test 60
等效性 equivalence 157
点估计 point estimation 51
定量数据 quantitative data 3
定性数据 qualitative data 3
对照 control 153
多重比较 multiple comparison 75
多元线性回归 multiple linear regression 114
- F
- 发病率 incidence rate 32
方差 variance 14
方差分析 analysis of variance, ANOVA 70
方差齐性 homogeneity of variance 62
非比例风险模型 non-proportional hazards model 148
非参数检验方法 nonparametric test 95
非劣效性 non-inferiority 157
分位数 - 分位数图 quantile-quantile plot, Q-Q plot 25
风险比 hazard ratio, HR 146
风险函数 hazard function 141
负相关 negative correlation 108
复相关系数 multiple correlation coefficient 118

G

- 概率 probability 4
 概率分布 probability distribution 4
 概率 - 概率图 (probability-probability plot, P-P plot)
 25
 构成比 proportion 28

H

- 合并方差 pooled variance 62
 患病率 prevalence rate 32
 回归系数 regression coefficient 104

J

- 极差 range 13
 几何均数 geometric mean 10
 计分检验 score test 128
 假设检验 hypothesis test 55
 检验效能 power of a test 67
 简单相关 simple correlation 108
 交叉设计 cross-over design 156
 交互效应 interaction effect 78
 校正决定系数 adjusted R-square 119
 截距 intercept 104
 近似 t 检验 separate variance estimation t -test 63
 精密度 precision 153
 决定系数 coefficient of determination 111, 119
 均数的标准误 standard error of the mean 50

K

- 可信区间 confidence interval, CI 51
 可信限 confidence limit 51
 空白对照 blank control 153

L

- 累积生存概率 cumulative probability of survival
 140
 离均差平方和 sum of squares 14
 理论频数 theoretical frequency 84
 历史对照 historical control 154

- 连续性校正法 correction for continuity 85
 两独立样本 t 检验 two-sample t -test 62
 两因素方差分析 two-way ANOVA 73
 临床试验 clinical trial 155
 率 rate 28
 率的标准误 standard error of rate 51

M

- 盲法 blind method 156

N

- 年龄别死亡率 age-specific death rate 32

P

- 配对设计 paired design 60
 配对样本均数 t 检验 paired t test 60
 偏回归系数 partial regression coefficient 114
 偏似然函数 partial likelihood function 146
 频数表 frequency table 7
 平均数 average 9
 平行组设计 parallel groups design 156

Q

- 区间估计 interval estimation 51

S

- 三臂试验 three-arm trial 156
 散点图 scatter plot 44
 删失数据 censored data 139
 生存分析 survival analysis 139
 生存函数 survival function 140
 生存率 survival rate 140
 生存时间 survival time 139
 生存数据 survival data 139
 时变 time-dependent 148
 实际频数 actual frequency 84
 实验对象 experimental subject 151
 实验对照 experimental control 153
 实验设计 experimental design 151



实验效应 experimental effect 152
 试验 trial 151
 数据 data 3
 双臂试验 two-arm trial 156
 双变量正态分布 bivariate normal distribution 108
 双盲 double blind 156
 水平 level 151
 死亡率 mortality rate 31
 死因别死亡率 cause specific death rate 32
 死因构成 proportion of dying of a specific cause 32
 四分位数间距 quartile range 14
 四格表 fourfold table 84
 似然比检验 likelihood ratio test 128
 算术均数 arithmetic mean 9
 随机测量误差 random measurement error 4
 随机对照试验 randomized controlled trial, RCT 155
 随机化 randomization 154
 随机区组设计 randomized block design 73
 随机数 random number 154
 随机数字表 table of random number 154

T

条件 logistic 回归 conditional logistic regression 131
 同质 homogeneity 2
 统计表 statistical table 36
 统计量 statistic 4
 统计图 statistical chart 39

W

完全数据 complete data 139
 完全随机设计 completely randomized design 70
 无相关 zero correlation 109
 误差 error 4
 误差条图 error bars 44

X

析因设计 factorial design 77, 157

系统误差 systematic error 4
 显著性检验 significant test 55
 显著性水准 significant level 57
 线图 line chart 41
 线性回归方程 linear regression equation 104
 相对比 relative ratio 29
 相对数 relative number 28
 相对危险度 relative risk, RR 126
 相关系数 correlation coefficient 109
 相互对照 mutual control 154
 箱式图 box plot 43
 向后选择法 backward elimination 119
 向前选择法 forward selection 119

Y

哑变量 dummy variable 121
 研究对象 study subject 151
 研究因素 study factor 151
 样本 sample 3
 样本含量 sample size 158
 医学统计学 medical statistics 1
 应变量 dependent variable 104
 优效性 superiority 157
 有序数据 ordinal data 3
 原假设 null hypothesis 56
 圆图 pie chart 46

Z

正态分布 normal distribution 9
 正相关 positive correlation 108
 直方图 histogram 8, 40
 直条图 bar chart 45
 直线相关 linear correlation 108
 治愈率 cure rate 32
 中位生存期 median survival time 140
 中位数 median 11
 逐步选择法 stepwise selection 119
 主效应 main effect 78
 准确度 accuracy 153
 自变量 independent variable 104



自身对照 self-control 153

自由度 degree of freedom 14

总体 population 3

最大似然法 maximum likelihood estimate, MLE
127

最小二乘法 method of least squares 104

全国高等学校教材

供基础、临床、预防、口腔医学类专业用

- | | | |
|-------------------|-------------------|----------------------|
| 1. 医用高等数学/第6版 | 19. 诊断学/第8版 | 37. 医学计算机应用/第5版 |
| 2. 医学物理学/第8版 | 20. 医学影像学/第7版 | 38. 体育/第5版 |
| 3. 基础化学/第8版 | 21. 内科学/第8版 | 39. 医学细胞生物学/第5版 |
| 4. 有机化学/第8版 | 22. 外科学/第8版 | 40. 医学遗传学/第6版 |
| 5. 医学生物学/第8版 | 23. 妇产科学/第8版 | 41. 临床药理学/第5版 |
| 6. 系统解剖学/第8版 | 24. 儿科学/第8版 | 42. 医学统计学/第6版 |
| 7. 局部解剖学/第8版 | 25. 神经病学/第7版 | 43. 医学伦理学/第4版 |
| 8. 组织学与胚胎学/第8版 | 26. 精神病学/第7版 | 44. 临床流行病学与循证医学/第4版 |
| 9. 生物化学与分子生物学/第8版 | 27. 传染病学/第8版 | 45. 康复医学/第5版 |
| 10. 生理学/第8版 | 28. 眼科学/第8版 | 46. 医学文献检索与论文写作/第4版 |
| 11. 医学微生物学/第8版 | 29. 耳鼻咽喉头颈外科学/第8版 | 47. 卫生法/第4版 |
| 12. 人体寄生虫学/第8版 | 30. 口腔科学/第8版 | 48. 医学导论/第4版 |
| 13. 医学免疫学/第6版 | 31. 皮肤性病学/第8版 | 49. 全科医学概论/第4版 |
| 14. 病理学/第8版 | 32. 核医学/第8版 | 50. 麻醉学/第3版 |
| 15. 病理生理学/第8版 | 33. 流行病学/第8版 | 51. 急诊与灾难医学/第2版 |
| 16. 药理学/第8版 | 34. 卫生学/第8版 | 52. 医患沟通 |
| 17. 医学心理学/第6版 | 35. 预防医学/第6版 | 53. 肿瘤学概论* |
| 18. 法医学/第6版 | 36. 中医学/第8版 | |

全套教材均为卫生部“十二五”规划教材

全套教材(除*外)均为“十二五”普通高等教育本科国家级规划教材

策划编辑 蔡向阳 张旭 封面设计 李蹊 郭淼
责任编辑 蔡向阳 孙雪冰 版式设计 赵京津 邹桂荣

本书附赠网络增值服务, 激活方法:

1. 注册并登录人卫医学网教育频道 (edu.ipmph.com)
2. 点击进入“网络增值服务”, 搜索找到本书
3. 点击“激活”并输入“激活码”



ISBN 978-7-117-17078-9



定价: 42.00 元